

UNIVERSIDADE ESTADUAL DE CAMPINAS

UMA CONTRIBUIÇÃO AO DIMENSIONAMENTO DE  
MÁQUINAS EXTRUSORAS PARA PRODUTOS CERÂMICOS

LOIR AFONSO MOREIRA

Trabalho apresentado como requisito  
parcial para obtenção do Título de  
Mestre em Engenharia Mecânica, à Co-  
missão de Pós-Graduação da Faculda-  
de de Engenharia de Campinas.

- CAMPINAS -

1977

UNICAMP  
BIBLIOTECA CENTRAL

*Dedico as horas que desejei  
estar com minha esposa e  
filha.*

## A G R A D E C I M E N T O S

Este trabalho foi realizado no Centro de Tecnologia da Universidade Estadual de Campinas.

A orientação é do Professor Doutor DINO FERRARESI , a quem externo minha gratidão pelo interesse, apoio, incentivo e pelo suporte imprescindível à concretização deste trabalho.

Ao Centro de Tecnologia da Universidade Estadual de Campinas, seus funcionários e engenheiros e em especial ao Engº. GERALDO NONATO TELLES, o meu reconhecimento.

À Srta. TAKA OTA, pela paciente dedicação e impecável trabalho de datilografia.

À MECÂNICA BONFANTI S/A pelo seu interesse no desenvolvimento de uma tecnologia nacional, não medindo esforços na execução dos dispositivos necessários, realização dos ensaios de campo e, em particular, ao Dr. Engº. ROBERTO GORTON pelo pronto atendimento às nossas solicitações.

Finalmente, a todos aqueles que direta ou indiretamente colaboraram para a realização deste trabalho.

## R E S U M O

O projeto de máquinas extrusoras, utilizadas no processo de fabricação de produtos cerâmicos, tem sido realizado em bases empíricas, praticamente sem nenhum conhecimento dos fatores envolvidos. Partindo de modelos tradicionais que mostraram alguma eficiência e durabilidade, constroem-se atualmente extrusoras de vários tamanhos, geralmente com alguns de seus componentes superdimensionados e outros subdimensionados, acarretando respectivamente, maior custo aquisitivo e maiores despesas de manutenção. A finalidade deste trabalho é contribuir na otimização do projeto destas máquinas, através do fornecimento de uma técnica experimental e do procedimento analítico a ser adotado em sua análise e dimensionamento. Em particular, oferecer aos engenheiros projetistas da MECÂNICA BONFANTI S/A os elementos necessários para a otimização do projeto da extrusora MVB-14 de sua fabricação.

Pretende, ainda, contribuir no dimensionamento de máquinas que apresentem problemas mecânicos semelhantes, isto é, máquinas onde se torna problemática a obtenção de dados de projeto sem uma análise experimental.

A B S T R A C T

In the past, the design of machines for extrusion of ceramic products has been performed on empirical basis, practically without any knowledge of the involved factors. Based on traditional models which displayed some efficiency and durability, different sizes of extrusion machines are presently being built, generally with some of its components overdimensioned and others underdimensioned, causing, respectively, higher acquisition price and increased maintenance expenses.

The objective of this thesis is to contribute to the design optimization of these machines by means of supplying an experimental technique and an analytical procedure which can be adapted in the analysis and dimensioning of such machines. In particular, it offers to the design engineers of Mecânica Bonfanti S/A the necessary elements for the design optimization of their extrusion machine MVB-14. It also intends to contribute to the dimensioning of machines which present similar mechanical problems, it is, machines for which some design data can only be obtained through experimental analysis.

## I N D I C E

<u>CAPÍTULO</u>	<u>PÁGINA</u>
<i>INTRODUÇÃO</i> .....	1
I - <i>CONSIDERAÇÕES SOBRE A MÁQUINA</i> .....	4
1.1. GENERALIDADES .....	4
1.2. MOMENTOS TORÇORES NOS EIXOS DE ACIONAMENTO .....	5
1.3. MOMENTOS TORÇORES NOS EIXOS ACIONADOS .....	6
II - <i>CONSTRUÇÃO DOS DINAMÔMETROS</i> .....	9
2.1. DINAMÔMETRO I .....	9
2.1.1. Generalidades .....	9
2.1.2. Dimensionamento .....	9
2.1.3. Colocação dos extensômetros na região de medida .....	15
2.1.4. Escolha dos extensômetros de medida .....	26
2.1.5. Esquema das ligações dos extensômetros para a determinação do momento torçor $M_I$ ...	27
2.1.6. Determinação da tensão de saída da ponte amplificadora do DINAMÔMETRO I ( $\Delta V_I$ ) .....	29
2.1.7. Previsão da sensibilidade do DINAMÔMETRO I através dos cálculos realizados .....	30
2.2. DINAMÔMETRO II .....	31
2.2.1. Generalidades .....	31
2.2.2. Colocação dos extensômetros na região de medida .....	33
2.2.3. Escolha dos extensômetros de medida .....	43
2.2.4. Esquema das ligações dos extensômetros para a determinação do momento torçor $M_{V4}$ ..	44
2.2.5. Determinação da tensão de saída da PONTE A do DINAMÔMETRO II ( $\Delta V_{AII}$ ) .....	46

2.2.6. Determinação da tensão de saída da PONTE B do DINAMÔMETRO II ( $\Delta V_{BII}$ ) .....	46
2.2.7. Determinação do momento torçor $M_{V4}$ atuan- te no eixo principal da máquina .....	47
2.2.8. Previsão da sensibilidade do DINAMÔMETRO II através dos cálculos realizados .....	48
2.3. DINAMÔMETRO III .....	50
2.3.1. Generalidades .....	50
2.3.2. Colocação dos extensômetros na região de medida .....	52
2.3.3. Escolha dos extensômetros de medida ....	59
2.3.4. Esquema das ligações dos extensômetros para a determinação da força axial P ...	59
2.3.5. Determinação da tensão de saída da ponte amplificadora do DINAMÔMETRO III ( $\Delta V_{III}$ )	60
2.3.6. Previsão da sensibilidade do DINAMÔMETRO III através dos cálculos realizados ....	61
2.4. EXECUÇÃO DOS DINAMÔMETROS .....	62
III - AFERIÇÃO DOS DINAMÔMETROS .....	63
3.1. GENERALIDADES .....	63
3.2. DINAMÔMETRO I .....	65
3.3. DINAMÔMETRO II .....	69
3.4. DINAMÔMETRO III .....	70
IV - ENSAIO E RESULTADOS EXPERIMENTAIS .....	75
4.1. GENERALIDADES .....	75
4.2. ENSAIO COM O DINAMÔMETRO I .....	75
4.3. ENSAIO COM O DINAMÔMETRO II .....	75
4.4. DETERMINAÇÃO DOS MOMENTOS TORÇORES ATUANTES NOS DIVERSOS EIXOS DA MÁQUINA .....	82
4.5. ENSAIO COM O DINAMÔMETRO III .....	100
4.6. MEDIDA DA ROTAÇÃO .....	102

	<u>PÁGINA</u>
V - ANÁLISE DOS RESULTADOS EXPERIMENTAIS .....	104
5.1. GENERALIDADES .....	104
5.1.1. Regressão polinomial .....	104
5.1.2. Determinação do grau r do polinômio .....	105
5.1.3. Coeficiente de determinação e erro padrão de estimativa .....	106
5.2. GRÁFICOS .....	107
5.2.1. Determinação do GRÁFICO ( $M_I \times M_{V4}$ ) .....	111
5.2.2. Determinação do GRÁFICO ( $M_I \times M_{III4}$ ) .....	114
5.2.3. Determinação do GRÁFICO ( $M_I \times M_{III3}$ ) .....	117
5.2.4. Determinação do GRÁFICO ( $M_I \times M_{III4}/M_{III2}$ ) ..	120
5.2.5. Determinação do GRÁFICO ( $M_I \times M_{III3}/M_{III2}$ ) ..	121
5.2.6. Determinação do GRÁFICO ( $M_I \times M_{III3}/M_{III4}$ ) ..	125
5.2.7. Determinação do GRÁFICO ( $M_I \times P$ ) .....	128
VI - VERIFICAÇÃO E DIMENSIONAMENTO DOS PRINCIPAIS COMPO- NENTES .....	131
6.1. GENERALIDADES .....	131
6.2. MOTOR ELÉTRICO .....	131
6.3. PARES DE RODAS DENTADAS .....	138
6.4. ROLAMENTOS .....	166
6.5. EIXO INTERMEDIÁRIO .....	197
VII - CONSIDERAÇÕES FINAIS .....	233
BIBLIOGRAFIA .....	235

## INTRODUÇÃO

O projeto das *MAROMBAS*, utilizadas no processo de fabricação de produtos cerâmicos, tem sido realizado em bases empíricas, praticamente sem nenhum conhecimento dos fatores envolvidos. A partir dos modelos tradicionais que mostraram alguma eficiência e durabilidade (figura 1), constroem-se atualmente extrusoras de vários tamanhos, geralmente com elementos superdimensionados e portanto com um custo adicional de aquisição e operação.

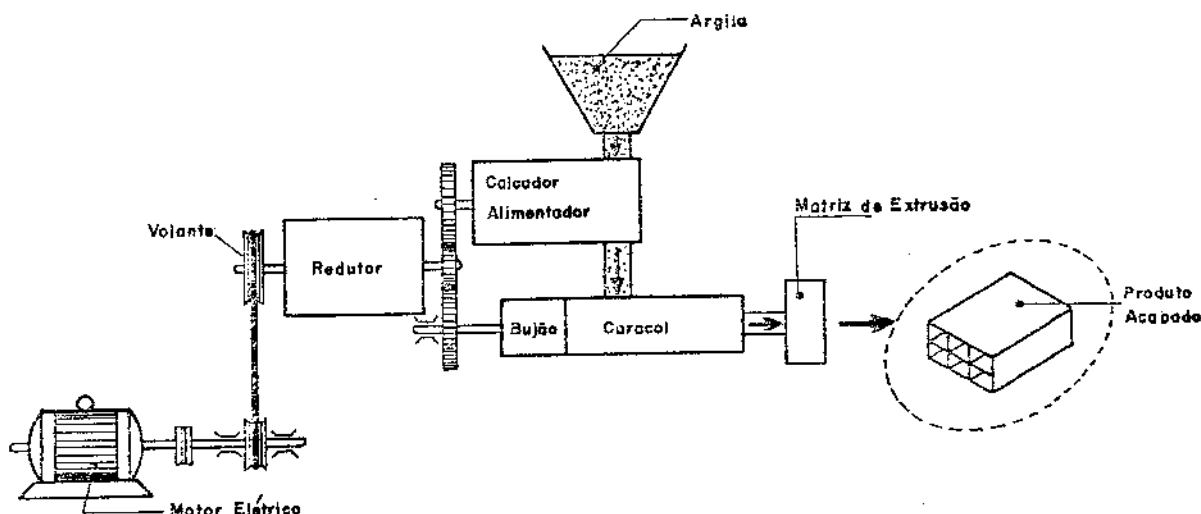


Fig. 1 - Esquema das Partes Principais de uma Maromba para Extrusão de Produtos Cerâmicos

Por outro lado, tem se verificado ruptura e desgaste excessivo de partes construtivas de *MAROMBAS* executadas por diversos fabricantes.

A *MECÂNICA BONFANTI S.A.*, indústria especializada na fabricação de máquinas para produtos cerâmicos, compreendendo perfeitamente que um aprimoramento de suas *MAROMBAS* só seria possível através de estudos teóricos e experimentais, solicitou ao *Centro de Tecnologia da Universidade Estadual de Campinas* a realização de tais estudos com a finalidade de se poder otimi-

zar o projeto da MAROMBA MVB-14 de sua fabricação. Desta forma, executou-se este trabalho que tem por objetivos:

1. Fornecer aos engenheiros projetistas os elementos necessários para a otimização do projeto da MAROMBA MVB-14, através de dados experimentais e um critério racional de dimensionamento.
2. Estudar o comportamento dinâmico, isto é, a distribuição das cargas atuantes nos diferentes componentes mecânicos, para a máquina operando nas diversas condições de trabalho.
3. Possibilitar o dimensionamento de uma linha completa de MAROMBAS de diferentes capacidades.
4. Contribuir no dimensionamento de máquinas que apresentem problemas mecânicos semelhantes, isto é, máquinas que previamente seria problemático o seu dimensionamento sem uma análise experimental.

Para possibilitar a execução do trabalho, foi estudada a colocação de DINAMÔMETROS que permitissem a avaliação das cargas atuantes em pontos estratégicos da máquina (CAPÍTULO I). Tendo em vista o custo dos DINAMÔMETROS e a quantidade de APARELHOS DE MEDIDA a serem empregados, chegou-se a conclusão que três DINAMÔMETROS seriam suficientes. Havendo necessidade da medida e do registro das grandezas mecânicas envolvidas, optou-se pela utilização de DINAMÔMETROS COM EXTENSÔMETROS ELÉTRICOS.

No projeto dos dinamômetros (CAPÍTULO II), é apresentada uma maneira sistemática de se tratar os problemas relativos a EXTENSOMETRIA.

No CAPÍTULO III procedeu-se a AFERIÇÃO DOS DINAMÔMETROS, tendo-se procurado reproduzir na aferição as condições reais de trabalho.

Em seguida, foram programados e executados vários ensaios com uma extrusora MVB-14 operando em diversas condições de trabalho em uma INDÚSTRIA CERÂMICA (CAPÍTULO IV). A análise dos resultados foi realizada com auxílio da computação, utilizando-se um procedimento estatístico, onde se procurou estabelecer a interdependência das grandezas envolvidas (CAPÍTULO V). Através destes dados foi efetuado o dimensionamento dos elementos construtivos, não só pela resistência como também pela vida. Neste di-

mensionamento, consideraram-se apenas os componentes mais representativos e de maior complexidade e que servissem de exemplo para o projeto completo da maromba em questão, bem como de uma linha de fabricação de máquinas semelhantes (CAPÍTULO VI).

## CAPÍTULO I

### CONSIDERAÇÕES SOBRE A MÁQUINA

#### 1.1. GENERALIDADES

A finalidade de uma MAROMBA é a produção, principalmente, de tijolos furados, tijolos maciços e lajotas de vários tipos e tamanhos. Basicamente uma MAROMBA é constituída pelos seguintes componentes (figura 1.1):

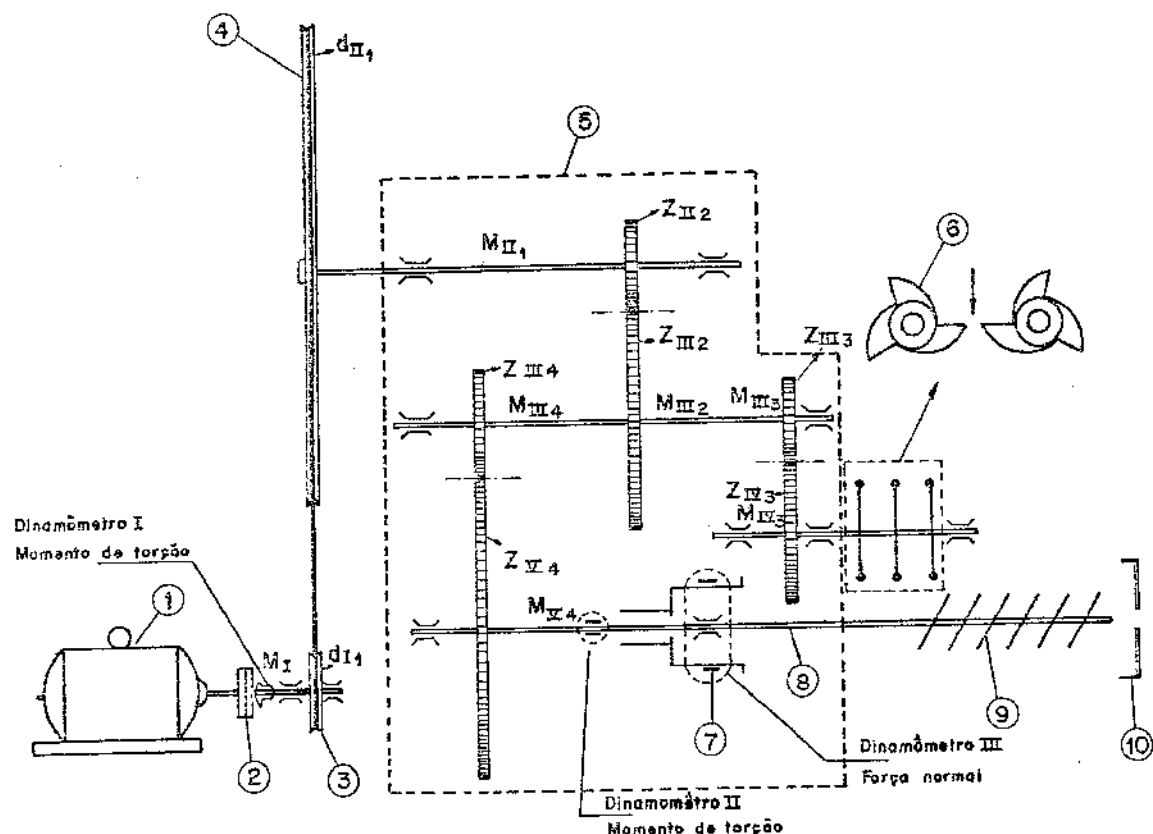


Fig. 1.1 - Esquema da Maromba

- 1- Motor elétrico de acionamento.
- 2- Acoplamento mecânico.
- 3- Polia motora, com correia em V, para acionamento do redutor.
- 4- Volante

- 5- Redutor de engrenagens.
- 6- Calcadores - alimentadores, para alimentação da argila no caracol, constituídos de dois eixos, engrenagens motoras e hélices impulsionadoras, montadas nos eixos.
- 7- Bujão, na entrada do caracol, para vedação e absorção da carga axial originada no processo de extrusão.
- 8- Eixo principal da máquina.
- 9- Caracol, constituido de uma rosca-sem-fim montada no eixo principal.
- 10- Matriz do caracol, onde a argila está sob pressão.

A matéria-prima, convenientemente beneficiada, é admitida nos calcadores-alimentadores através de uma correia transportadora. Nos calcadores a argila é obrigada a atravessar duas grelhas inclinadas e concorrentes. Nessa travessia ela é fragmentada em pequenas porções, nas quais se processa a desareação (câmara de vácuo) sendo a seguir pressionada pelo caracol e forçada através de uma matriz de extrusão que define o tipo e a forma do produto.

#### 1.2. MOMENTOS TORÇORES NOS EIXOS DE AÇÃOAMENTO (EIXO II E EIXO III)

Sendo  $M_I$  (figura 1.1) o momento torçor no eixo de entrada (eixo I), fornecido pelo motor de açãoamento, o momento torçor  $M_{III}$ , no eixo III, devido ao par polia-volante (par motor nº 1), será dado por:

$$M_{III} = M_I \cdot i_1 \cdot \eta_1 \cdot \eta_{II} \quad (1.1)$$

onde,

$$i_1 = \text{RELAÇÃO DE TRANSMISSÃO DO PAR MOTOR nº 1} = \frac{d_{III}}{d_{II}}$$

$$\eta_1 = \text{RENDIMENTO DA CORREIA DE TRANSMISSÃO}$$

$\eta_I, \eta_{II}$  = RENDIMENTO DOS MANCAIS DOS EIXOS I e II, RESPECTIVAMENTE.

No eixo III (eixo intermediário), o momento torçor  $M_{III2}$ , devido ao par motor nº 2, será dado pela equação:

$$M_{III2} = M_{III1} \cdot i_2 \cdot \eta_2 \cdot \eta_{III} \quad (1.2)$$

onde,

$$i_2 = \text{RELAÇÃO DE TRANSMISSÃO DO PAR MOTOR N° 2} = \frac{z_{III2}}{z_{II2}}$$

$\eta_2$  = RENDIMENTO DO PAR MOTOR nº 2 (ENGRANAGENS)

$\eta_{III}$  = RENDIMENTO DOS MANCAIS DO EIXO III.

Como o momento torçor  $M_{III2}$ , subdivide-se em  $M_{III3}$ , e  $M_{III4}$ , para acionar os pares motores nº 3 e 4, respectivamente, segue-se que:

$$M_{III2} = M_{III3} + M_{III4} \quad (1.3)$$

### 1.3. MOMENTOS TORCORES NOS EIXOS ACIONADOS

A divisão do momento torçor, para acionar dois diferentes órgãos da máquina, leva a uma indeterminação na avaliação dos momentos torcores  $M_{III3}$  e  $M_{III4}$  responsáveis pelo acionamento dos eixos dos *calcadores-alimentadores* e do *eixo principal*, respectivamente. Esta indeterminação só é eliminada pela medição, por meio de *DINAMÔMETROS*, dos esforços reais no eixo V (eixo principal) e no eixo de entrada (eixo I).

O momento torçor  $M_{V4}$ , atuante no eixo V devido ao par motor nº 4, é dado por:

$$M_{V4} = M_{III4} \cdot i_4 \cdot \eta_4 \cdot \eta_V \quad (1.4)$$

onde,

$$i_4 = \text{RELAÇÃO DE TRANSMISSÃO DO PAR MOTOR N}^{\circ} 4 = \frac{z_{V4}}{z_{III4}}$$

$\eta_4$  = RENDIMENTO DO PAR MOTOR N<sup>o</sup> 4 (ENGRANAGENS)

$\eta_V$  = RENDIMENTO DOS MANCAIS DO EIXO V

Substituindo-se o valor de  $M_{III4}$ , obtido a partir das equações (1.1), (1.2) e (1.3), na equação (1.4) resulta que:

$$M_{III3} = M_I \cdot i_{III} \cdot \eta_{mIII} - M_{V4} \cdot \frac{1}{i_4 \cdot \eta_4 \cdot \eta_V} \quad (1.5)$$

onde,

$i_{III}$  = RELAÇÃO TOTAL DE TRANSMISSÃO ATÉ O EIXO III =  $i_1 \cdot i_2$

$\eta_{mIII}$  = RENDIMENTO MECÂNICO DA TRANSMISSÃO ATÉ O EIXO III

$\eta_{mIII} = (\eta_1 \cdot \eta_2) \cdot (\eta_I \cdot \eta_{II} \cdot \eta_{III})$

Nota-se da equação (1.5) que o momento torçor  $M_{III3}$ , responsável pelo acionamento dos eixos dos calcadores-alimentadores, pode ser determinado uma vez que sejam conhecidos:

- os valores reais (experimentais) dos momentos  $M_I$  (eixo do motor de acionamento) e  $M_{V4}$  (eixo principal, no qual está montado o caracol).
- os valores dos parâmetros  $i$  (relações de transmissão) e  $\eta$  (rendimentos mecânicos das engrenagens, mancais e correias).

As relações de transmissão  $i$  são conhecidas na máquina e os rendimentos  $\eta$  foram avaliados de acordo com os tipos de engrenagens, mancais e correia.

No presente trabalho foram desenvolvidos três dinamômetros, especialmente projetados e construídos, com as seguintes funções específicas:

DINAMÔMETRO I : medida do momento torçor  $M_I$ , no eixo do motor de acionamento. Este dinamômetro permite a previsão da potência necessária ao motor de acionamento da maromba (figura 1.1).

DINAMÔMETRO II: medida do momento torçor  $M_{V4}$ , no eixo principal da máquina. Este dinamômetro permite levantar a indeterminação na avaliação dos momentos torções no eixo III (eixo intermediário), bem como a otimização do eixo principal da maromba (figura 1.1).

DINAMÔMETRO III: medida da força axial P, no eixo principal da máquina. Este dinamômetro permite a escolha racional do rolamento do eixo principal (figura 1.1).

Desta forma, foi possível a determinação dos esforços reais atuantes nos vários componentes mecânicos da maromba, com a máquina operando nas mais diversas condições de trabalho.

## CAPÍTULO III

### CONSTRUÇÃO DOS DINAMÔMETROS

#### 2.1. DINAMÔMETRO QUE DEVERÁ MEDIR O MOMENTO TORÇOR, $M_I$ , NO EIXO DO MOTOR DE AÇÃO NAMENTO (DINAMÔMETRO I)

##### 2.1.1. GENERALIDADES

O dinamômetro é constituído basicamente de um eixo oco que se deforma sob a ação do momento torçor aplicado pelo motor de acionamento da máquina (figura 2.1). Esta deformação é acompanhada por extensômetros elétricos, convenientemente colados no eixo e ligados em circuito de *ponte de Wheatstone*. A alimentação do circuito, assim como a saída do sinal, é efetuada através de uma ponte amplificadora *Philips* modelo *PR9307*. Devido ao problema da rotação do eixo, a ligação entre o circuito e a ponte amplificadora teve que ser feita através de um conjunto de escovas captadoras colocado na ponta do eixo (figura 2.2). Utilizou-se, também, um registrador, para que se pudesse determinar a variação do sinal de saída em face das diversas condições de trabalho da máquina durante os ensaios.

O projeto do dinamômetro foi efetuado a partir do conhecimento prévio das especificações do motor de acionamento e visando satisfazer aos requisitos quanto a sensibilidade e rigidez. A união entre o dinamômetro e o eixo do motor foi feita através de um acoplamento elástico, especialmente projetado, com o objetivo de se minimizar os desalinhamentos e consequentemente garantir torção praticamente pura.

##### 2.1.2. DIMENSIONAMENTO

###### 2.1.2.1. Estimativa da condição máxima de trabalho

Para o acionamento da máquina, empregou-se um motor de indução, trifásico, em gaiola, com as seguintes ca-

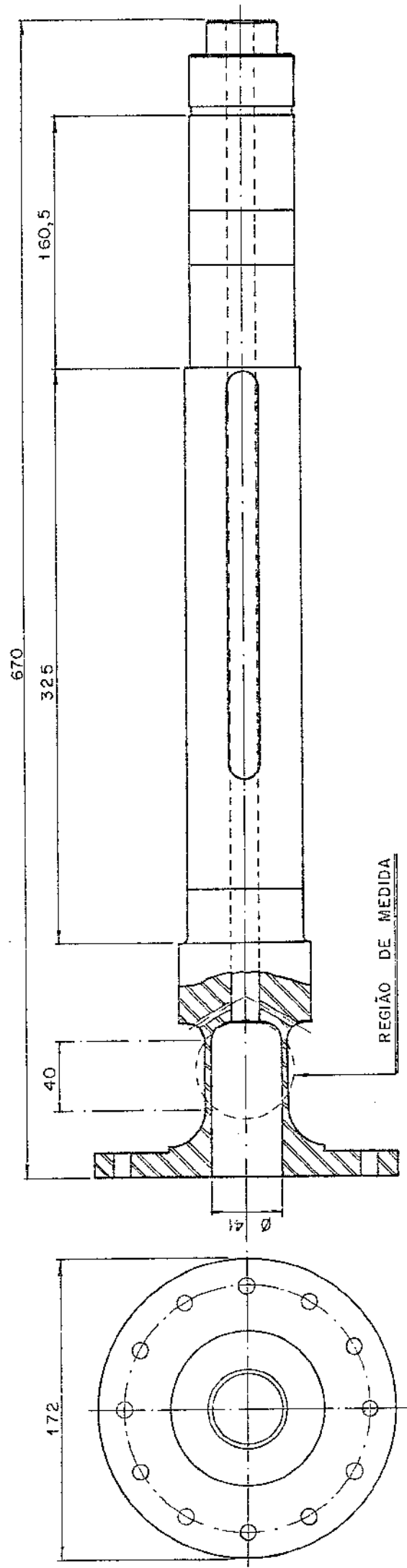


Fig. 2.1 - Região de Medida do Dinamômetro I

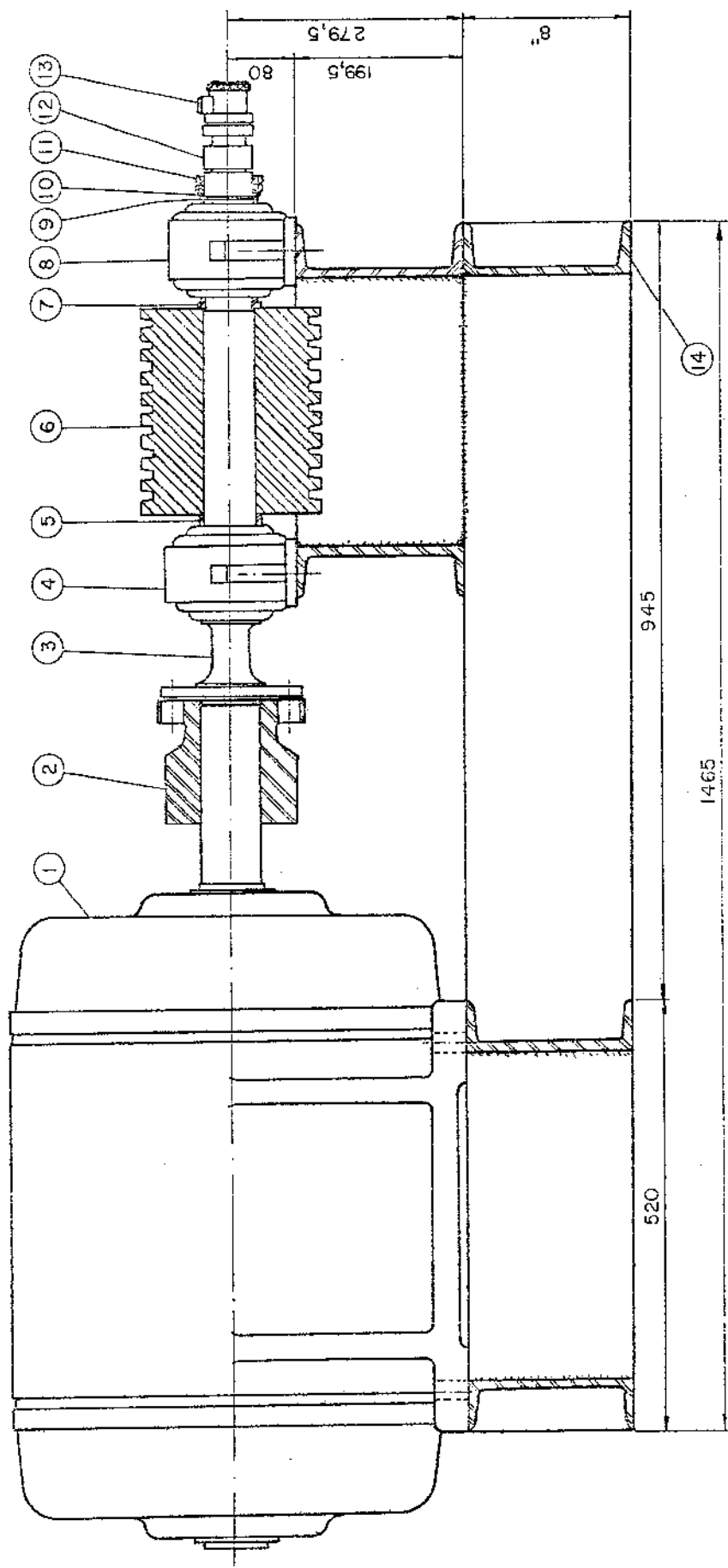


Fig. 2.2 - Desenho de Conjunto do Dinamômetro I

ITEM	QUANT.	DENOMINAÇÃO
14	1	Chassi-viga "U" 8" x 6185x 10,05
13	1	Escova
12	1	Laje de união
11	2	Porca SKF - KM12
10	1	Arruela SKF - MB 12
9	1	Anel separador 68
8	1	Caixa SKF 5513X com rol 2212
7	1	Anel separador 76
6	1	Polia motora
5	1	Anel separador 74
4	1	Caixa SKF - 5515X com rol 2212
3	1	Região de medida
2	1	Flange - eixo do motor
1	1	Motor arno 100 CV

racterísticas:

$$Potência = N = 100 \text{ cv}$$

$$Rotação = n = 1750 \text{ rpm}$$

Desta forma, o momento torçor  $M_{t_n}$ , correspondente a rotação nominal será:

$$M_{t_n} = 71620 \frac{N}{n} \quad (2.1.1)$$

$$M_{t_n} = 71620 \frac{100}{1750} = 4092,57 \text{ kgf.cm}$$

De acordo com as características de fabricação do motor utilizado, o momento torçor máximo aplicado no eixo do motor é:

$$M_{t_{max}} = 1,6 \cdot M_{t_n}$$

$$M_{t_{max}} = 6548,11 \text{ kgf.cm}$$

#### 2.1.2.2. Determinação das dimensões da região de medida

O dinamômetro deve satisfazer simultaneamente as condições de sensibilidade e rigidez. Evidentemente estas duas condições são incompatíveis, uma vez que, enquanto a rigidez exige maiores dimensões da região de medida, para se aumentar a sensibilidade necessita-se da redução das mesmas. Procurando-se encontrar uma solução de compromisso entre sensibilidade e rigidez e levando-se em conta o valor do momento torçor máximo calculado no item anterior, as dimensões escolhidas foram as seguintes (figura 2.1):

$$\text{Diâmetro externo} = d_e = 45 \text{ mm}$$

$$\text{Diâmetro interno} = d_i = 41 \text{ mm}$$

$$\text{Espessura da parede} = e = 2 \text{ mm}$$

Comprimento de medida =  $l = 40 \text{ mm}$

2.1.2.3. Determinação das tensões principais no ponto mais solicitado da secção transversal da região de medida

Dado o acoplamento elástico e a rigidez dos mancais utilizados, pode-se admitir que a região de medida está submetida a torção pura. A distribuição de tensão na secção transversal será, portanto, uma distribuição de tensão de cisalhamento que varia linearmente com o raio [1]. Assim, os pontos mais solicitados da secção serão os pontos do contorno. Baseando-se nas dimensões escolhidas para a região de medida, o módulo de resistência a torção da secção transversal resulta:

$$W_t = \frac{\pi}{16} \left( \frac{d_e^4 - d_i^4}{d_e} \right) \quad (2.1.2)$$

$$W_t = 5,56 \text{ cm}^3$$

Associando-se a um ponto  $O$  do contorno um sistema cartesiano de referência  $0_{xyz}$  (figura 2.3), o tensor de tensão neste ponto será dado por [2]:

$$[T_\sigma]_O = \begin{bmatrix} 0 & \tau_{xy} & 0 \\ \tau_{xy} & 0 & 0 \\ 0 & 0 & 0 \end{bmatrix}$$

onde

$$\tau_{xy} = \frac{M t_{\max}}{W_t}$$

$$\tau_{xy} = 1177,72 \text{ kgf/cm}^2$$

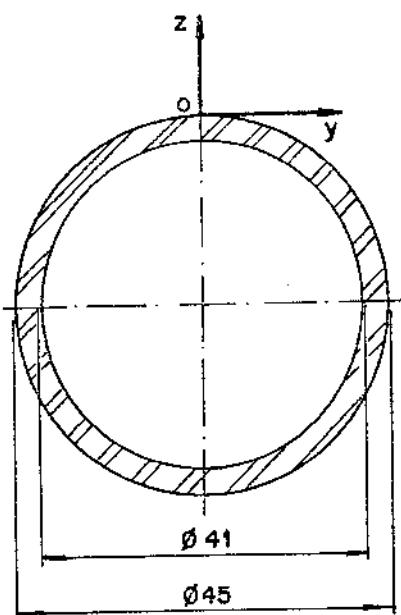


Fig. 2.3 - Sistema Cartesiano de Referência oxz Associado ao Ponto o do Contorno

Finalmente, tendo-se determinado o tensor de tensão, as tensões principais no ponto serão obtidas através da seguinte equação [2]:

$$\begin{vmatrix} -\sigma_n & 1177,72 & 0 \\ 1177,72 & -\sigma_n & 0 \\ 0 & 0 & -\sigma_n \end{vmatrix} = 0$$

Portanto,

$$\sigma_1 = 1177,72 \text{ kgf/cm}^2$$

$$\sigma_2 = 0$$

$$\sigma_3 = -1177,72 \text{ kgf/cm}^2$$

#### 2.1.2.4. Verificação da região de medida

Dadas suas propriedades de linearidade da curva característica e histerese elástica mínima, empregou-se na construção do dinamômetro aço ABNT 4340 de fabricação de Aços Villares S/A, tratado termicamente e de características:

$$\text{Tensão limite de resistência} = \sigma_t = 11300 \text{ kgf/cm}^2$$

Tensão limite de escoamento =  $\sigma_e = 7300 \text{ kgf/cm}^2$   
Módulo de elasticidade longitudinal =  $E = 2100000 \text{ kgf/cm}^2$   
Coeficiente de poisson =  $\mu = 0,30$

Adotou-se para tensão normal admissível a tensão correspondente a um terço da tensão limite de escoamento. Assim, a tensão de trabalho permissível para este material é:

$$\sigma_{ad} = \frac{1}{3} 7300 = 2330 \text{ kgf/cm}^2$$

De acordo com o critério de resistência de Von Mises, a tensão equivalente,  $\sigma_{eq}$ , no ponto mais solicitado da seção, dada por [3]:

$$\sigma_{eq} = \sqrt{\frac{1}{2} \left[ (\sigma_1 - \sigma_2)^2 + (\sigma_2 - \sigma_3)^2 + (\sigma_3 - \sigma_1)^2 \right]} \quad (2.1.3)$$

não deve ultrapassar a tensão admissível. Calculando-se para o ponto em questão a tensão equivalente, tem-se:

$$\sigma_{eq} = 2039,87 \text{ kgf/cm}^2$$

satisfazendo, portanto, as condições de trabalho.

#### 2.1.3. COLOCAÇÃO DOS EXTENSÔMETROS NA REGIÃO DE MEDIDA

Para a colocação dos extensômetros foram estudados os estados de tensão em dois pontos  $O_1$  e  $O_2$  do contorno, diametralmente opostos (figura 2.4).

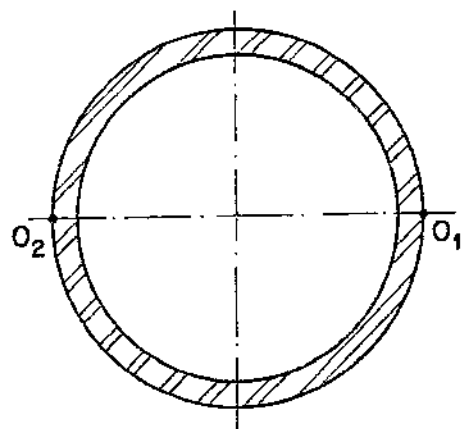


Fig. 2.4 - Pontos  $O_1$  e  $O_2$  do Contorno, Diametralmente  
Opostos

#### 2.1.3.1. Estudo do estado de tensão no ponto $O_1$

Considerou-se, inicialmente, o sistema cartesiano de referência  $O_1xyz$  associado ao ponto  $O_1$  e representado na figura 2.5

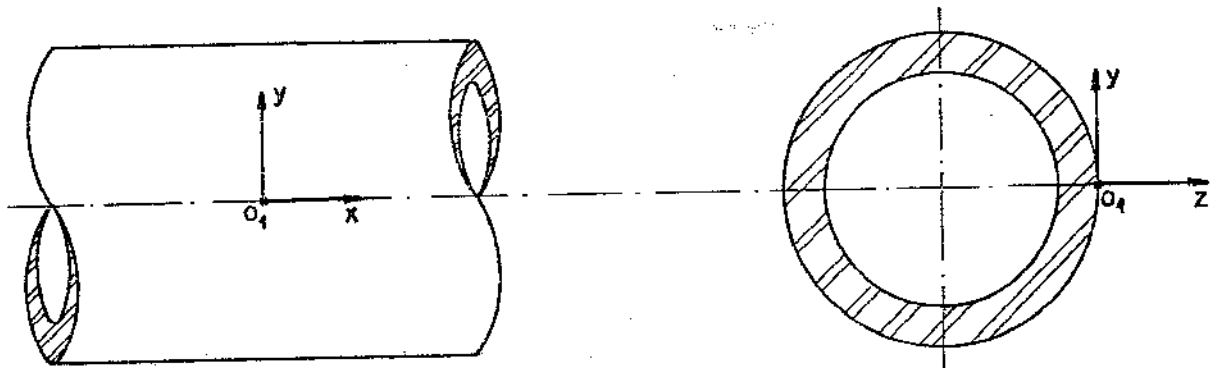


Fig. 2.5 - Sistema de Referência  $O_1xyz$  Associado ao Ponto  $O_1$

Uma vez que o eixo está submetido a torção pura, o estado de tensão no ponto  $O_1$  é um estado de cisalhamento puro, conforme mostra a figura 2.6.

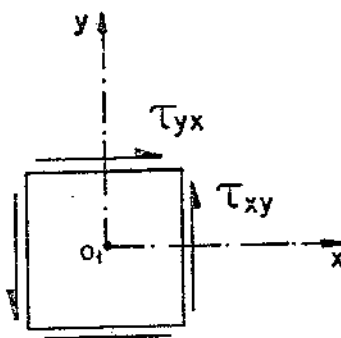


Fig. 2.6 - Estado de Tensão no Ponto  $O_1$

Consequentemente, o tensor de tensão neste ponto, segundo aquele sistema de referência, será dado por [2]:

$$[\tau_{\sigma}]_{O_1} = \begin{bmatrix} 0 & \tau_{xy} & 0 \\ \tau_{xy} & 0 & 0 \\ 0 & 0 & 0 \end{bmatrix}$$

onde,  $\tau_{xy}$  é a tensão de cisalhamento no ponto  $O_1$  devida ao momento torçor  $M_I$ , atuante no eixo do motor de acionamento. Portanto;

$$\tau_{xy} = \frac{16 \cdot d_e}{\pi (d_e^4 - d_i^4)} M_I \quad (2.1.4)$$

O sistema de referência  $O_1xyz$  não é conveniente para a colocação dos extensômetros, dado que estes só medem deformações específicas que por sua vez são causadas por tensões normais. Torna-se necessário, então, determinar um novo sistema de referência. Um sistema de referência particularmente interessante é o que forma  $45^\circ$  com relação ao anterior e correspondendo a uma rotação em torno do eixo  $z$ . Este sistema de referência é o sistema  $O_1x'y'z'$ , representado na figura 2.7.

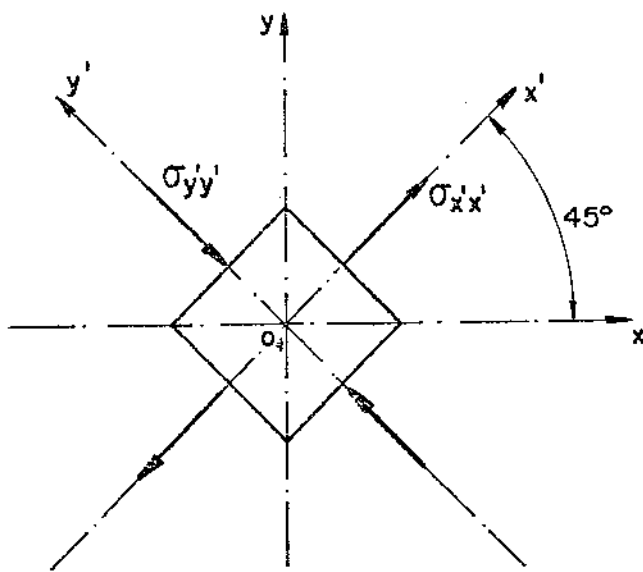


Fig. 2.7 - Sistema de Referência  $O'_1xyz'$

O novo tensor de tensão;  $[T'_\sigma]_{01}$ , com relação ao novo sistema de referência é dado pela seguinte equação matricial [4]:

$$[T'_\sigma]_{01} = [N]^t [T_\sigma]_{01} [N] \quad (2.1.5)$$

onde,  $[N]$  é a matriz constituída dos cosenos diretores do novo sistema de referência relativamente a  $O_1xyz$ :

$$[N] = \begin{bmatrix} \cos(x',x) & \cos(y',x) & \cos(z',x) \\ \cos(x',y) & \cos(y',y) & \cos(z',y) \\ \cos(x',z) & \cos(y',z) & \cos(z',z) \end{bmatrix}$$

Assim, de acordo com a equação anterior,  $[T'_\sigma]_{01}$ , será dado por:

$$[T'_\sigma]_{01} = \begin{bmatrix} \sigma_{xx'} & \tau_{xy'} & \tau_{xz'} \\ \tau_{xy'} & \sigma_{yy'} & \tau_{yz'} \\ \tau_{xz'} & \tau_{yz'} & \sigma_{zz'} \end{bmatrix} \begin{bmatrix} \sqrt{2}/2 & \sqrt{2}/2 & 0 \\ \sqrt{2}/2 & \sqrt{2}/2 & 0 \\ 0 & 0 & 1 \end{bmatrix} \begin{bmatrix} 0 & \tau_{xy} & 0 \\ \tau_{xy} & 0 & 0 \\ 0 & 0 & 0 \end{bmatrix} \begin{bmatrix} \sqrt{2}/2 & -\sqrt{2}/2 & 0 \\ \sqrt{2}/2 & \sqrt{2}/2 & 0 \\ 0 & 0 & 1 \end{bmatrix}$$

Resolvendo-se, vem:

$$[\mathbf{T}' \sigma]_{01} = \begin{bmatrix} \sigma x'x' & \tau x'y' & \tau x'z' \\ \tau x'y' & \sigma y'y' & \tau y'z' \\ \tau x'z' & \tau y'z' & \sigma z'z' \end{bmatrix} = \begin{bmatrix} \tau xy & 0 & 0 \\ 0 & -\tau xy & 0 \\ 0 & 0 & 0 \end{bmatrix}$$

Donde se conclui que:

$$\sigma x'x' = \tau xy$$

$$\sigma y'y' = -\tau xy$$

$$\sigma z'z' = \tau x'y' = \tau y'z' = \tau x'z' = 0$$

#### 2.1.3.2. Estudo do estado de deformação específica no ponto $o_1$

Estando o ponto  $o_1$  submetido a um estado duplo de tensão, o estado de deformação específica neste ponto é obtido pela seguinte equação matricial [5]:

$$\{e\} = [\phi] \{\sigma\} + \{e_T\} \quad (2.1.6)$$

A matriz  $\{e\}$  é uma matriz coluna constituída das deformações específicas no ponto segundo o sistema de referência  $o_1x'y'z'$ :

$$\{e\} = \begin{Bmatrix} ex'x' \\ ey'y' \\ ex'y' \end{Bmatrix}$$

A matriz  $[\phi]$  é uma matriz quadrada em que figuram as constantes elásticas do material:

$$[\phi] = \frac{1}{E} \begin{bmatrix} 1 & -\mu & 0 \\ -\mu & 1 & 0 \\ 0 & 0 & 2(1+\mu) \end{bmatrix}$$

A matriz  $\{\sigma\}$  é uma matriz coluna constituída das tensões no ponto segundo o sistema de referência  $\theta_{1x'y'z'}$

$$\{\sigma\} = \begin{Bmatrix} \sigma x'x' \\ \sigma y'y' \\ \tau x'y' \end{Bmatrix} = \begin{Bmatrix} \tau xy \\ -\tau xy \\ 0 \end{Bmatrix}$$

A matriz  $\{e_T\}$  é uma matriz coluna constituída das deformações específicas no ponto devidas a variação de temperatura. Sendo  $T$  a variação da temperatura e  $\alpha$  o coeficiente de dilatação térmica do material, esta matriz é dada por:

$$\{e_T\} = \alpha T \begin{Bmatrix} 1 \\ 1 \\ 0 \end{Bmatrix}$$

Portanto,

$$\begin{Bmatrix} ex'x' \\ ey'y' \\ ex'y' \end{Bmatrix} = \frac{1}{E} \begin{bmatrix} 1 & -\mu & 0 \\ -\mu & 1 & 0 \\ 0 & 0 & 2(1+\mu) \end{bmatrix} \begin{Bmatrix} \tau xy \\ -\tau xy \\ 0 \end{Bmatrix} + \alpha T \begin{Bmatrix} 1 \\ 1 \\ 0 \end{Bmatrix}$$

Resolvendo-se, obtém-se as seguintes expressões para as deformações específicas no ponto:

$$ex'x' = \tau xy \left( \frac{1+\mu}{E} \right) + \alpha T$$

$$ey'y' = -\tau xy \left( \frac{1+\mu}{E} \right) + \alpha T$$

$$ex'y' = 0$$

#### 2.1.3.3. Colocação dos extensômetros no ponto $\theta_1$

No ponto  $\theta_1$  foram colocados dois extensômetros. O extensômetro  $A_1$ , colocado na direção de  $x'$ , deverá

acompanhar a deformação específica  $ex'x'$ . O extensômetro  $B_1$ , colocado na direção de  $y'$ , deverá acompanhar a deformação específica  $ey'y'$ . De acordo com o item anterior, as deformações específicas  $e_{A_1}$  e  $e_{B_1}$ , sofridas pelos extensômetros  $A_1$  e  $B_1$ , respectivamente, são:

$$e_{A_1} = \tau_{xy} \left( \frac{1+\mu}{E} \right) + \alpha T$$

$$e_{B_1} = -\tau_{xy} \left( \frac{1+\mu}{E} \right) + \alpha T$$

A figura 2.8 apresenta a disposição dos extensômetros  $A_1$  e  $B_1$  no ponto  $o_1$ .

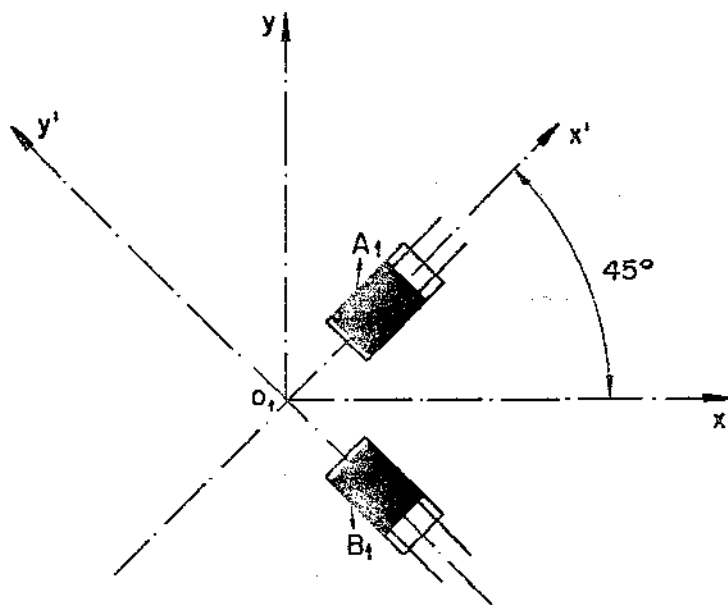


Fig.2.8 - Disposição dos Extensômetros  $A_1$  e  $B_1$  no Ponto  $o_1$

#### 2.1.3.4. Estudo do estado de tensão no ponto $o_2$ , diametralmente oposto a $o_1$

Considerou-se, inicialmente, o sistema cartesiano de referência  $o_2xyz$  associado ao ponto  $o_2$  e representando na figura 2.9.

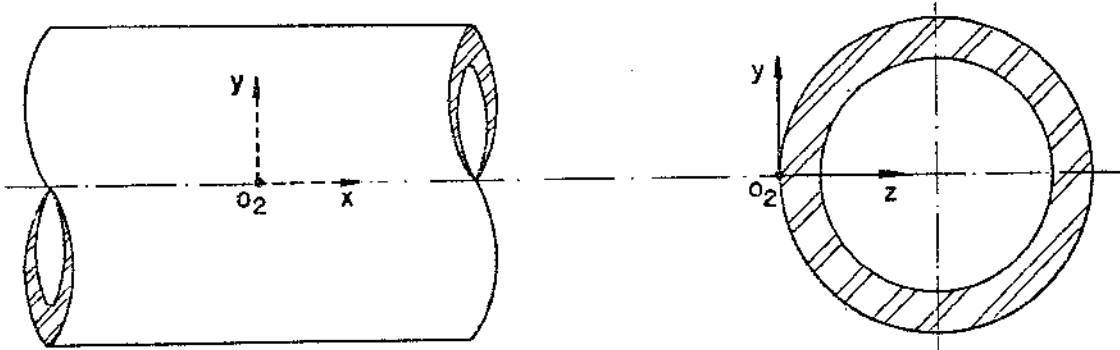


Fig. 2.9 - Sistema de Referência  $o_2xyz$  Associado ao Ponto  $o_2$

O estado de tensão no ponto  $o_2$  é também um estado de cisalhamento puro, conforme mostra a figura 2.10.

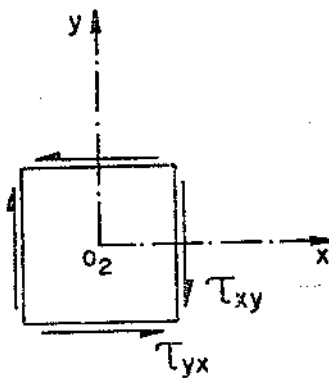


Fig. 2.10 - Estado de Tensão no Ponto  $o_2$

Portanto, o tensor de tensão neste ponto, segundo aquele sistema de referência, será dado por [2]:

$$[T_\sigma]_{o_2} = \begin{bmatrix} 0 & -\tau_{xy} & 0 \\ -\tau_{xy} & 0 & 0 \\ 0 & 0 & 0 \end{bmatrix}$$

De acordo com o que foi exposto no item 2.1.3.1, o sistema de referência  $o_2xyz$  não é conveniente para a colocação dos extensômetros. Da mesma forma, o sistema mais apropriado é  $o_2x'y'z'$ , correspondendo a uma rotação de  $45^\circ$  em torno do eixo  $z$  e re-

presentado na figura 2.11.

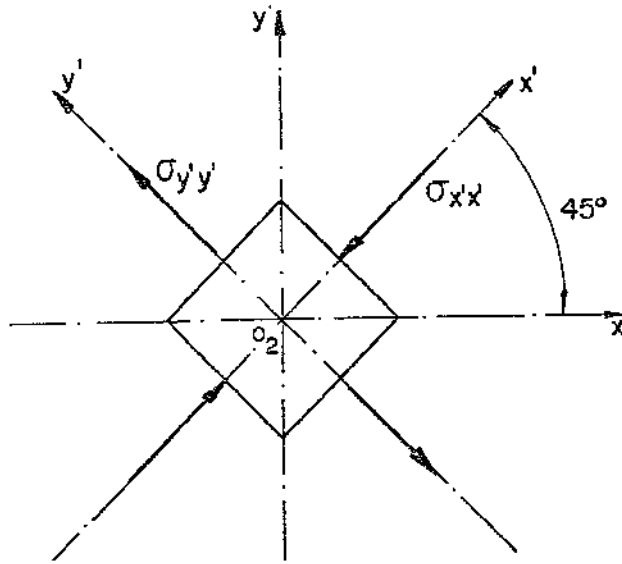


Fig. 2.11 - Sistema de Referência  $o_2x'y'z'$

O novo tensor de tensão,  $[T'_{\sigma}]_{02}$ , com relação ao novo sistema de referência é dado pela equação matricial [4]:

$$[T'_{\sigma}]_{02} = [N]^t [T_{\sigma}]_{02} [N]$$

Portanto,

$$[T'_{\sigma}]_{02} = \begin{bmatrix} \sigma_{x'x'} & \tau_{x'y'} & \tau_{x'z'} \\ \tau_{x'y'} & \sigma_{y'y'} & \tau_{y'z'} \\ \tau_{x'z'} & \tau_{y'z'} & \sigma_{z'z'} \end{bmatrix} \begin{bmatrix} \sqrt{2}/2 & \sqrt{2}/2 & 0 \\ -\sqrt{2}/2 & \sqrt{2}/2 & 0 \\ 0 & 0 & 1 \end{bmatrix} \begin{bmatrix} 0 & -\tau_{xy} & 0 \\ -\tau_{xy} & 0 & 0 \\ 0 & 0 & 0 \end{bmatrix} \begin{bmatrix} \sqrt{2}/2 & -\sqrt{2}/2 & 0 \\ \sqrt{2}/2 & \sqrt{2}/2 & 0 \\ 0 & 0 & 1 \end{bmatrix}$$

Resolvendo-se, vem:

$$[T'_{\sigma}]_{02} = \begin{bmatrix} \sigma_{x'x'} & \tau_{x'y'} & \tau_{x'z'} \\ \tau_{x'y'} & \sigma_{y'y'} & \tau_{y'z'} \\ \tau_{x'z'} & \tau_{y'z'} & \sigma_{z'z'} \end{bmatrix} = \begin{bmatrix} -\tau_{xy} & 0 & 0 \\ 0 & \tau_{xy} & 0 \\ 0 & 0 & 0 \end{bmatrix}$$

Donde se conclui que:

$$\sigma x'x' = -\tau xy$$

$$\sigma y'y' = \tau xy$$

$$\sigma z'z' = \tau x'y' = \tau y'z' = \tau x'z' = 0$$

#### 2.1.3.5. Estado de deformação específica no ponto $O_2$

O estado de deformação específica neste ponto será dado por (item 2.1.3.2):

$$\{e\} = [\phi] \{\sigma\} + \{e_T\}$$

Assim,

$$\begin{Bmatrix} ex'x' \\ ey'y' \\ ex'y' \end{Bmatrix} = \frac{1}{E} \begin{bmatrix} 1 & -\mu & 0 \\ -\mu & 1 & 0 \\ 0 & 0 & 2(1+\mu) \end{bmatrix} \begin{Bmatrix} -\tau xy \\ \tau xy \\ 0 \end{Bmatrix} + \alpha T \begin{Bmatrix} 1 \\ 1 \\ 0 \end{Bmatrix}$$

Efetuando-se, obtém-se as seguintes expressões para as deformações específicas no ponto:

$$ex'x' = -\tau xy \left( \frac{1+\mu}{E} \right) + \alpha T$$

$$ey'y' = \tau xy \left( \frac{1+\mu}{E} \right) + \alpha T$$

$$ex'y' = 0$$

#### 2.1.3.6. Colocação dos extensômetros no ponto $O_2$

No ponto  $O_2$  foram colocados dois extensômetros. O extensômetro  $A_2$ , colocado na direção de  $x'$ , deverá acompanhar a deformação específica  $ex'x'$ . O extensômetro  $B_2$ , colocado na direção de  $y'$ , deverá acompanhar a deformação específica  $ey'y'$ . De acordo com o item anterior as deformações específicas  $e_{A_2}$  e  $e_{B_2}$ , sofridas pelos extensômetros  $A_2$  e  $B_2$ , respec-

tivamente, são:

$$e_{A_2} = \tau_{xy} \left( \frac{1+\mu}{E} \right) + \alpha T$$

$$e_{B_2} = \tau_{xy} \left( \frac{1+\mu}{E} \right) + \alpha T$$

A figura 2.12 apresenta a disposição dos extensômetros  $A_2$  e  $B_2$  no ponto  $O_2$ .

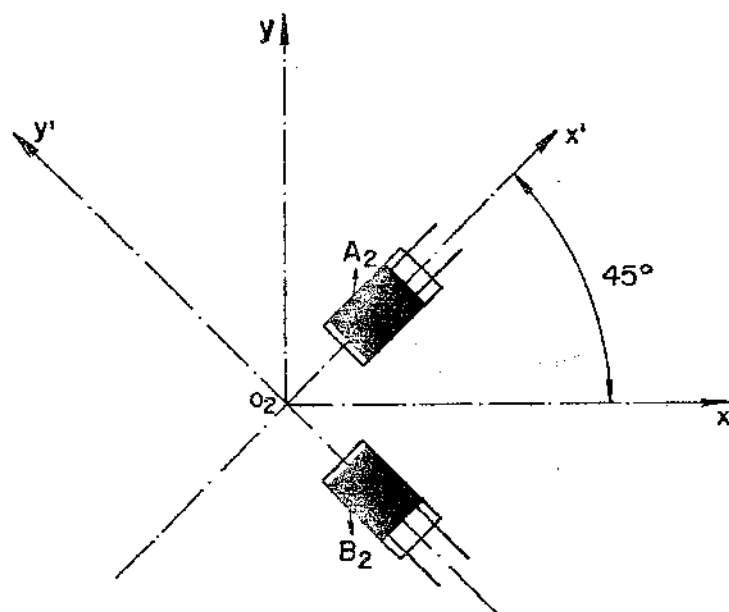


Fig. 2.12 - Disposição dos Extensômetros  $A_2$  e  $B_2$  no Ponto  $O_2$

A figura 2.13 mostra a colocação dos extensômetros  $A_1$ ,  $A_2$ ,  $B_1$  e  $B_2$  no eixo.

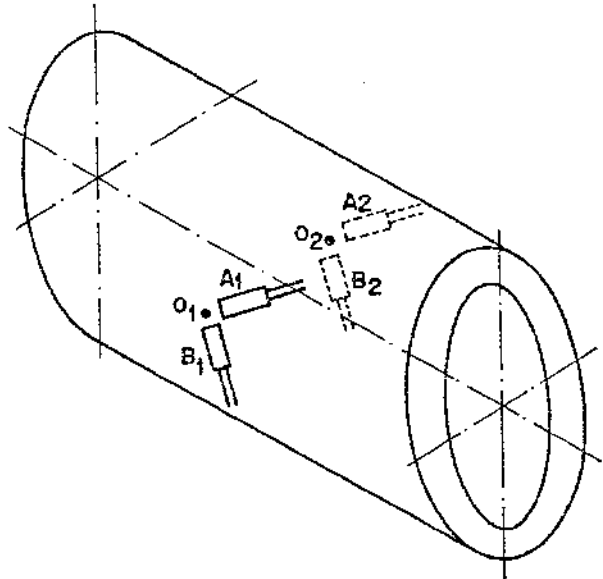


Fig. 2.13 - Disposição dos Extensômetros  $A_1, A_2, B_1$  e  $B_2$  no Eixo

#### 2.1.4. ESCOLHA DOS EXTENSÔMETROS DE MEDIDA

A máxima deformação específica sofrida pelos extensômetros será dada por:

$$\epsilon_{\max} = (\tau_{xy})_{\max} \left( \frac{1+\mu}{E} \right)$$

onde,  $(\tau_{xy})_{\max}$  é a tensão de cisalhamento máxima correspondente ao momento torçor máximo. Portanto,

$$\epsilon_{\max} = 729 \text{ } \mu\text{d}$$

---

Baseando-se nesta deformação específica máxima, foram escolhidas duas rosetas PHILIPS PR9840 K/10 Fe com as seguintes características [6]:

TIPO .....	CHAPA METÁLICA
RESISTÊNCIA (R) .....	$120,0 \pm 0,5\% \Omega$
CORRENTE MÁXIMA ADMISSÍVEL ( $i_{\max}$ ) .....	20 mA
COEFICIENTE DE SENSIBILIDADE (k) .....	$1,99 \pm 1\%$
DEFORMAÇÃO ESPECÍFICA MÁXIMA ( $\epsilon_{\max}$ ) .....	ACIMA DE 4000 $\mu\text{d}$

As rosetas utilizadas foram de um mesmo lote de fabricação de modo a facilitar o balanceamento da Ponte Amplificadora.

2.1.5. ESQUEMA DAS LIGAÇÕES DOS EXTENSÔMETROS PARA A DETERMINAÇÃO DO MOMENTO TORÇOR  $M_t$

Os extensômetros  $A_1$ ,  $A_2$ ,  $B_1$  e  $B_2$  foram acoplados em circuito de PONTE DE WHEATSTONE completa, conforme mostra a figura 2.14.

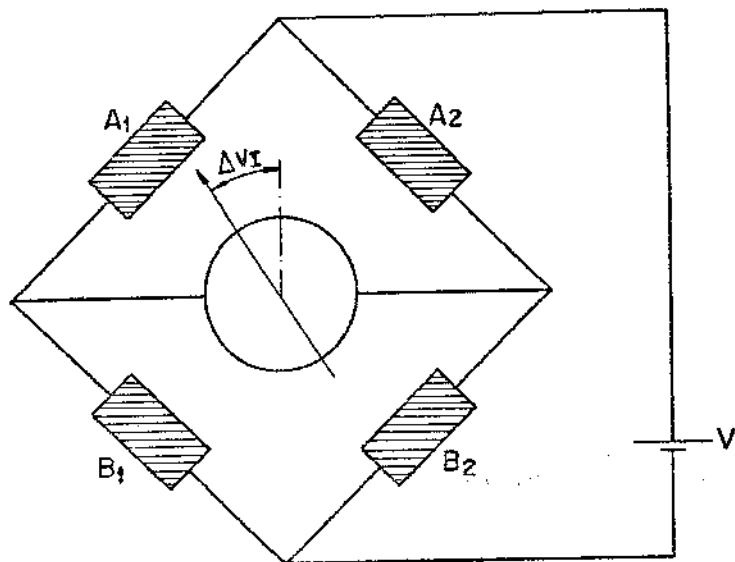


Fig. 2.14 - Esquema da Ligação dos Extensômetros na Região de Medida para a Determinação do Momento Torçor  $M_t$

A ligação entre o circuito e a Ponte Amplificadora foi feita através de um conjunto de escovas captadoras colocado na ponta do eixo (figura 2.15)

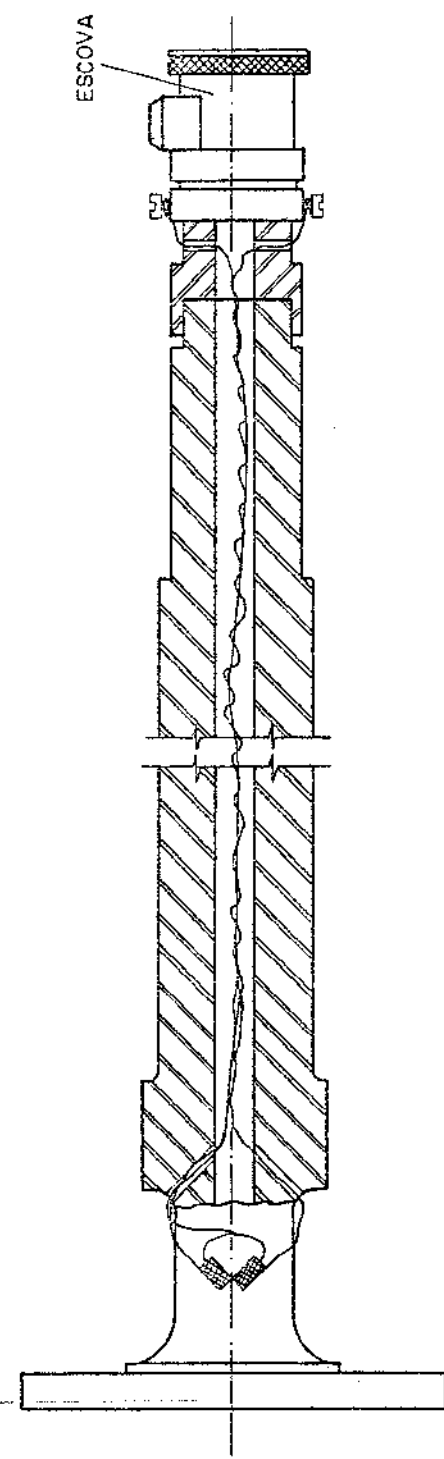


Fig. 2.15 - Esquema da Ligação entre o Circuito e a Ponte Amplificadora

2.1.6. DETERMINAÇÃO DA TENSÃO DE SAÍDA DA PONTE AMPLIFICADORA DO DINAMÔMETRO I ( $\Delta V_I$ )

Sendo  $e_{A_1}$ ,  $e_{B_1}$ ,  $e_{B_2}$  e  $e_{A_2}$  as deformações específicas sofridas pelos extensômetros  $A_1$ ,  $B_1$ ,  $B_2$  e  $A_2$ , respectivamente, a tensão de saída da Ponte Amplificadora será dada por [7]:

$$\Delta V_I = \frac{V_k}{4} (e_{A_1} - e_{B_1} + e_{B_2} - e_{A_2}) \quad (2.1.7)$$

onde,

$V$  = TENSÃO DE ALIMENTAÇÃO DA PONTE

$k$  = COEFICIENTE DE SENSIBILIDADE DOS EXTENSÔMETROS

Substituindo-se  $e_{A_1}$ ,  $e_{B_1}$ ,  $e_{B_2}$  e  $e_{A_2}$  pelos valores obtidos nos itens 2.1.3.3. e 2.1.3.6., tem-se:

$$\Delta V_I = \frac{V_k}{4} \left[ \tau_{xy} \left( \frac{1+\mu}{E} \right) + \alpha T + \tau_{xy} \left( \frac{1+\mu}{E} \right) - \alpha T + \tau_{xy} \left( \frac{1+\mu}{E} \right) + \alpha T + \tau_{xy} \left( \frac{1+\mu}{E} \right) - \alpha T \right]$$

ou ainda,

$$\Delta V_I = \frac{V_k (1+\mu)}{E} \cdot \tau_{xy}$$

Substituindo  $\tau_{xy}$  por seu valor em termos do momento torçor  $M_I$ , atuante no eixo do motor de acionamento, obtém-se:

$$\Delta V_I = \frac{V_k (1+\mu) 16 d_e}{E \pi (d_e^4 - d_i^4)} M_I \quad (2.1.8)$$

A tensão de saída da Ponte Amplificadora do DINAMÔMETRO I,  $\Delta V_I$ , foi registrada para que se pudesse determinar sua variação em

face das diversas condições de trabalho da máquina durante os ensaios. A figura 4.2. apresenta o registro desta tensão por ocasião do ensaio 24.

#### 2.1.7. PREVISÃO DA SENSIBILIDADE DO DINAMÔMETRO I ATRAVÉS DOS CÁLCULOS REALIZADOS

A sensibilidade de um instrumento de medida é definida como sendo a relação entre a variação da leitura ( $dL$ ) e a variação da grandeza a medir ( $dG$ ). Portanto [8],

$$S = \frac{dL}{dG} \quad (2.1.9)$$

Dada a linearidade existente entre a leitura ( $\Delta V_I$ ) e a grandeza a medir ( $M_I$ ), a sensibilidade pode ser dada simplesmente por:

$$S = \frac{\Delta V_I}{M_I} = \frac{V_k(1+\mu) 16 d_e}{E \pi (d_e^4 - d_i^4)}$$

onde,

$\Delta V_I$  = LEITURA NA PONTE AMPLIFICADORA EM [mV]

$M_I$  = MOMENTO TORÇOR APLICADO EM [kgf.cm]

Utilizando-se Ponte Amplificadora marca Philips modelo PR9307 com tensão de alimentação 4 Volts, a sensibilidade  $S$  resulta:

$$S = 0,00089 \text{ mV/kgf.cm}$$

Empregando-se uma amplificação da ponte de 50 divisões da escala do mostrador para 10 mV, a leitura para o momento torçor máximo de 6548,11 kgf.cm será 29 divisões da escala. Para uma divisão da escala do mostrador a leitura será 224,72 kgf.cm/div. Assim, para uma amplificação de 10 mV, o momento torçor mínimo mensurável é 224,72 kgf.cm.

Para amplificações maiores, consegue-se a leitura de momentos torçores menores.

2.2. DINAMÔMETRO QUE DEVERÁ MEDIR O MOMENTO TORÇOR,  $M_{V4}$ , NO EIXO PRINCIPAL (DINAMÔMETRO II)

2.2.1. GENERALIDADES

Na construção deste dinamômetro aproveitou-se o próprio eixo principal da máquina com uma única modificação na ponta do eixo, necessária para a fixação do conjunto de escovas responsável pela captação dos sinais das pontes (figura 2.16). As deformações no eixo, causadas pela ação dos esforços aplicados pelo par motor nº 4, constituído de engrenagens cilíndricas de dentes retos (figura 1.1) são acompanhadas por extensômetros elétricos convenientemente colados e ligados em dois circuitos de meia Ponte de Wheatstone. A alimentação dos circuitos, bem como a saída dos sinais, é efetuada através de duas pontes amplificadoras Philips modelo PR9307. Os sinais das pontes foram ainda lançados em um registrador com o objetivo de se poder determinar suas variações, dadas as diversas condições de trabalho da máquina durante os ensaios.

O material empregado na construção do dinamômetro foi o aço ABNT 4340 com as propriedades e características descritas anteriormente no item 2.1.2.4.

A *Região de Medida* se encontra respetada na figura 2.16 e suas dimensões e propriedades geométricas da secção transversal são:

$$DIÂMETRO = d = 110 \text{ mm}$$

$$COMPRIMENTO = l = 197 \text{ mm}$$

$$MÓDULO DE RESISTÊNCIA A FLEXÃO = W_f = \frac{\pi d^3}{32}$$

$$MÓDULO DE RESISTÊNCIA A TORÇÃO = W_t = \frac{\pi d^3}{16}$$

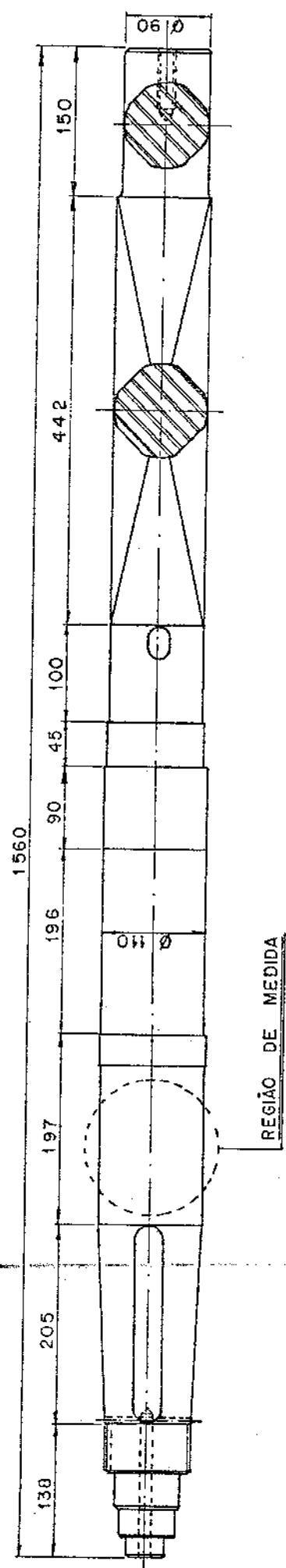


Fig. 2.16 - Região de Medida do Dinamômetro II

### 2.2.2. COLOCAÇÃO DOS EXTENSÔMETROS NA REGIÃO DE MEDIDA

Devido ao par motor nº 4, a região de medida está solicitada simultaneamente a torção e a flexão (figura 2.17).

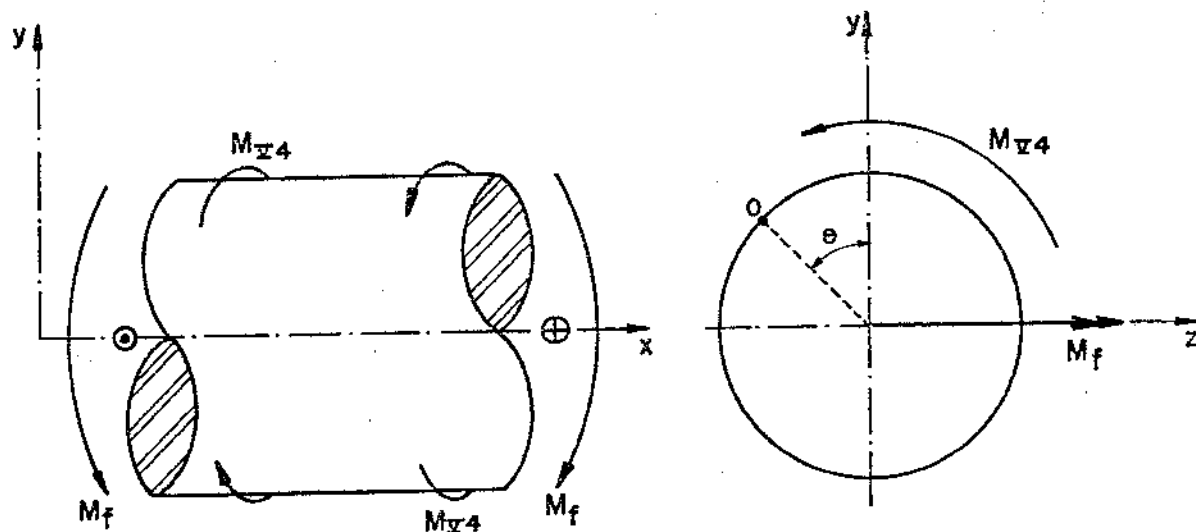


Fig. 2.17- Representação das Solicitações na Região de Medida

Os pontos do contorno onde serão colocados os extensômetros estão submetidos, portanto, a uma tensão de cisalhamento devida ao momento torçor  $M_{V4}$ , constante para todos estes pontos dada por:

$$\tau = \frac{16 \cdot M_{V4}}{\pi \cdot d^3} \quad (2.2.1)$$

e a uma tensão normal devida ao momento fletor  $M_f$  que varia ao longo do contorno segundo a expressão:

$$\sigma = \frac{32 \cdot M_f}{\pi \cdot d^3} \cos \theta \quad (2.2.2)$$

onde,  $\theta$  é o ângulo entre o ponto considerado e o eixo  $y$ . Para a colocação dos extensômetros foram estudados os estados de tensão em dois pontos  $\theta_1$  e  $\theta_2$ , diametralmente opostos (figura 2.18).

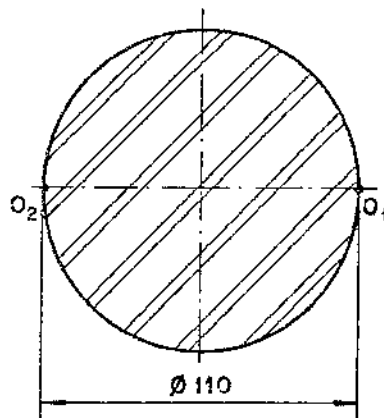


Fig.2.18 - Pontos  $O_2$  e  $O_1$  do Contorno, Diametralmente Opostos

#### 2.2.2.1. Estudo do estado de tensão no ponto $O_1$

Considerou-se, inicialmente, o sistema de referência  $O_1xyz$  associado ao ponto  $O_1$  e representado na figura 2.19.

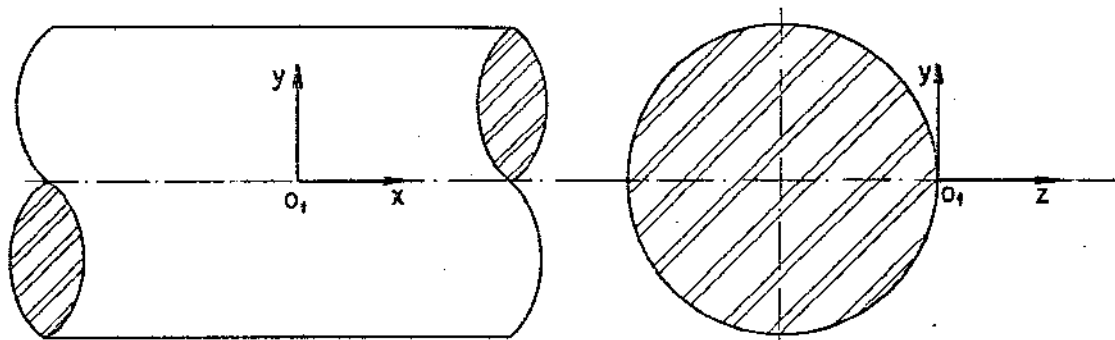


Fig.2.19 - Sistema de Referência  $oxyz$  Associado ao Ponto  $O_1$

Uma vez que o eixo está submetido a torção e flexão simultaneamente, o estado de tensão no ponto  $O_1$  é o representado na figura 2.20.

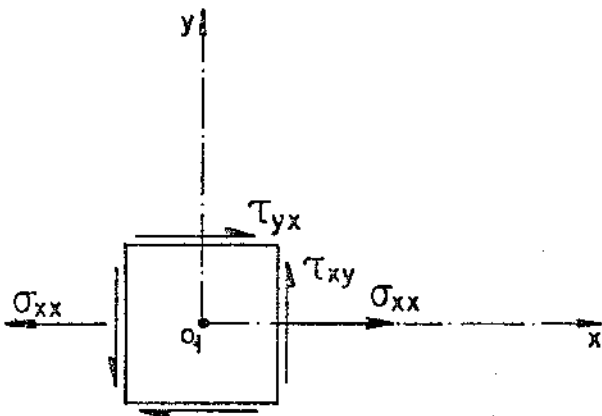


Fig.2.20 - Estado de Tensão no Ponto  $o_1$

Consequentemente, o tensor de tensão neste ponto segundo aquele sistema de referência será dado por [2]

$$[T_\sigma]_{01} = \begin{bmatrix} \sigma_{xx} & \tau_{xy} & 0 \\ \tau_{xy} & 0 & 0 \\ 0 & 0 & 0 \end{bmatrix}$$

onde,  $\tau_{xy}$  e  $\sigma_{xx}$  são dadas pelas equações (2.2.1) e (2.2.2), respectivamente.

O sistema de referência  $o_1xyz$  não é conveniente para a colocação dos extensômetros, uma vez que se colocados segundo este sistema, mediriam somente a tensão normal devida a flexão. Desta forma, é necessário se determinar um novo sistema de referência. Um sistema particularmente interessante é o que forma  $45^\circ$  com relação ao anterior e correspondendo a uma rotação em torno do eixo z.

Este sistema de referência é o sistema  $o_1x'y'z'$ , mostrado na figura 2.21.

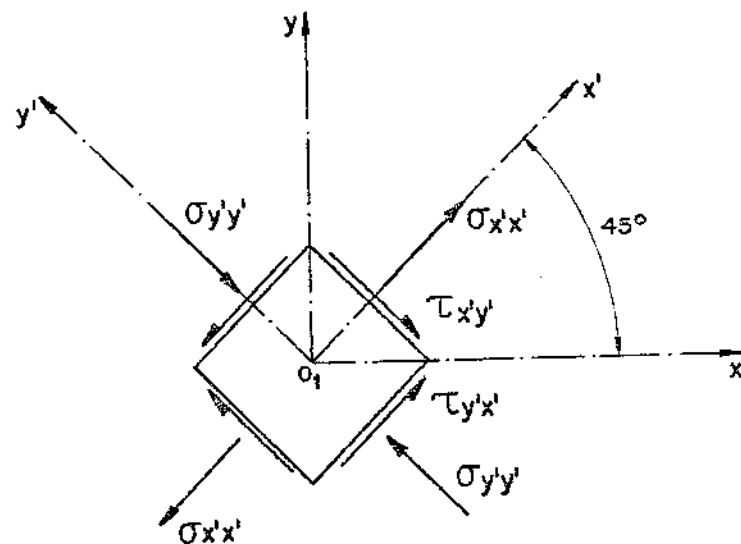


Fig. 2.21 - Sistema de Referência  $O_1x'y'z'$

De acordo com a equação (2.1.5), o tensor de tensão  $[T' \sigma]_{01}$  com relação a  $O_1x'y'z'$ , é dado por:

$$[T' \sigma]_{01} = \begin{bmatrix} \sigma_{x'x'} & \tau_{x'y'} & \tau_{x'z'} \\ \tau_{x'y'} & \sigma_{y'y'} & \tau_{y'z'} \\ \tau_{x'z'} & \tau_{y'z'} & \sigma_{z'z'} \end{bmatrix} = \begin{bmatrix} \sqrt{2}/2 & \sqrt{2}/2 & 0 \\ -\sqrt{2}/2 & \sqrt{2}/2 & 0 \\ 0 & 0 & 1 \end{bmatrix} \begin{bmatrix} \sigma_{xx} & \tau_{xy} & 0 \\ \tau_{xy} & 0 & 0 \\ 0 & 0 & 0 \end{bmatrix} \begin{bmatrix} \sqrt{2}/2 & -\sqrt{2}/2 & 0 \\ \sqrt{2}/2 & \sqrt{2}/2 & 0 \\ 0 & 0 & 1 \end{bmatrix}$$

Resolvendo-se, vem:

$$[T' \sigma]_{01} = \begin{bmatrix} \sigma_{x'x'} & \tau_{x'y'} & \tau_{x'z'} \\ \tau_{x'y'} & \sigma_{y'y'} & \tau_{y'z'} \\ \tau_{x'z'} & \tau_{y'z'} & \sigma_{z'z'} \end{bmatrix} = \begin{bmatrix} \left(\frac{\sigma_{xx}}{2} + \tau_{xy}\right) & -\frac{\sigma_{xx}}{2} & 0 \\ -\frac{\sigma_{xx}}{2} & \left(\frac{\sigma_{xx}}{2} - \tau_{xy}\right) & 0 \\ 0 & 0 & 0 \end{bmatrix}$$

Donde se conclui que:

$$\sigma_{x'x'} = \frac{\sigma_{xx}}{2} + \tau_{xy}$$

$$\sigma_{y'y'} = \frac{\sigma_{xx}}{2} - \tau_{xy}$$

$$\tau_{x'y'} = -\frac{\sigma_{xx}}{2}$$

$$\sigma_{z'z'} = \tau_{y'z'} = \tau_{x'z'} = 0$$

2.2.2.2. Estudo do estado de deformação específica no ponto  $\theta_1$

O estado de deformação específica neste ponto será dado pela equação (2.1.6). Assim,

$$\begin{Bmatrix} e_{x'x'} \\ e_{y'y'} \\ e_{x'y'} \end{Bmatrix} = \frac{1}{E} \begin{bmatrix} 1 & -\mu & 0 \\ -\mu & 1 & 0 \\ 0 & 0 & 2(1+\mu) \end{bmatrix} \begin{Bmatrix} \frac{\sigma_{xx}}{2} + \tau_{xy} \\ \frac{\sigma_{xx}}{2} - \tau_{xy} \\ -\frac{\sigma_{xx}}{2} \end{Bmatrix} + \alpha T \begin{Bmatrix} 1 \\ 1 \\ 0 \end{Bmatrix}$$

Efetuando-se, resulta:

$$e_{x'x'} = \sigma_{xx} \frac{(1-\mu)}{2E} + \tau_{xy} \frac{(1+\mu)}{E} + \alpha T$$

$$e_{y'y'} = \sigma_{xx} \frac{(1-\mu)}{2E} - \tau_{xy} \frac{(1+\mu)}{E} + \alpha T$$

$$e_{x'y'} = -\sigma_{xx} \frac{(1+\mu)}{E}$$

2.2.2.3. Colocação dos extensômetros no ponto  $\theta_1$

No ponto  $\theta_1$  foram colocados dois extensômetros. O extensômetro  $A_1$  colocado na direção de  $x'$ , deverá acompanhar a deformação específica  $e_{x'x'}$ . O extensômetro  $B_1$  colocado na direção de  $y'$ , deverá acompanhar a deformação

específica  $ey'y'$ . De acordo com o item anterior, as deformações específicas  $e_{A_1}$  e  $e_{B_1}$  sofridas pelos extensômetros  $A_1$  e  $B_1$ , respectivamente, são:

$$e_{A_1} = \sigma_{XX} \frac{(1-\mu)}{2E} + \tau_{XY} \frac{(1+\mu)}{E} + \alpha T$$

$$e_{B_1} = \sigma_{XX} \frac{(1-\mu)}{2E} - \tau_{XY} \frac{(1+\mu)}{E} + \alpha T$$

A figura 2.22 mostra a disposição dos extensômetros  $A_1$  e  $B_1$  no ponto  $O_1$ .

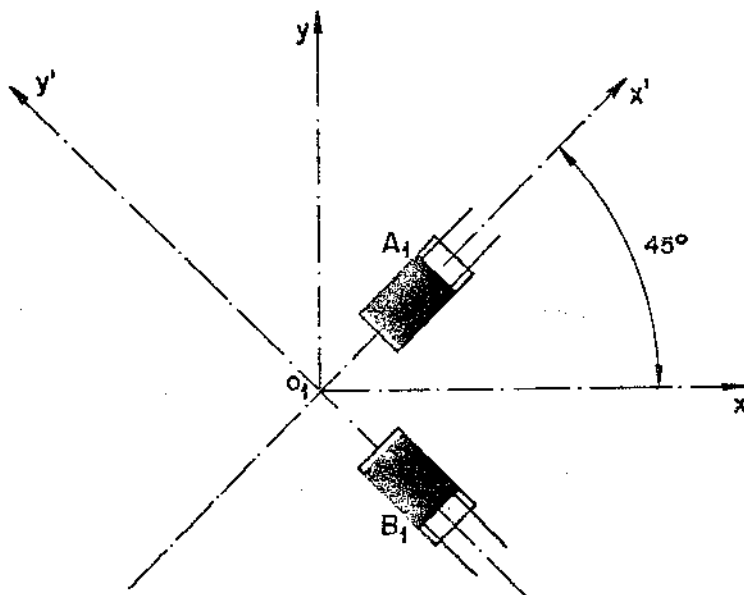


Fig. 2.22 - Disposição dos Extensômetros  $A_1$  e  $B_1$  no Ponto  $O_1$

---

2.2.2.4. Estudo do estado de tensão no ponto  $O_2$ , diametralmente oposto a  $O_1$

Considerou-se, inicialmente, o sistema cartesiano de referência  $O_2xyz$ , associado ao ponto  $O_2$  e representado na figura 2.23.

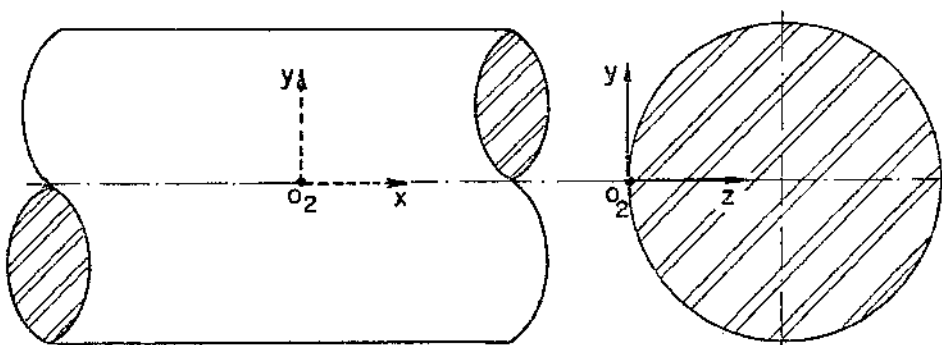


Fig. 2.23 - Sistema de Referência  $o_2xyz$  Associado ao Ponto  $o_2$

O estado de tensão no ponto  $o_2$  se encontra representado na figura 2.24.

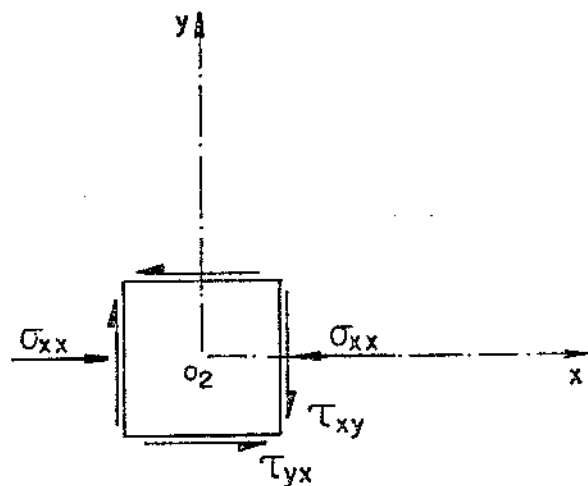


Fig. 2.24 - Estado de Tensão no Ponto  $o_2$

Portanto, o tensor de tensão neste ponto segundo aquele sistema de referência será dado por [2] :

$$[T_\sigma]_{o2} = \begin{bmatrix} -\sigma_{xx} & -\tau_{xy} & 0 \\ -\tau_{xy} & 0 & 0 \\ 0 & 0 & 0 \end{bmatrix}$$

O sistema de referência  $o_2xyz$ , pelo mesmo motivo apresentado quando do estudo do estado de tensão no ponto  $o_1$ , não é conve-

niente para a colocação dos extensômetros. O sistema mais apropriado é  $\sigma_{2x'y'z'}$ , correspondendo a uma rotação de  $45^\circ$  em torno do eixo  $z$  e representado na figura 2.25.

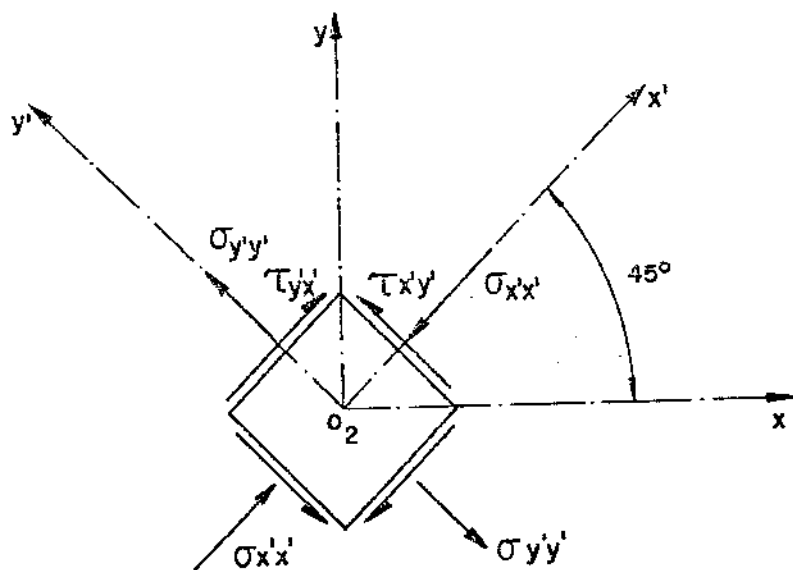


Fig. 2.25- Sistema de Referência  $\sigma_{2x'y'z'}$

O novo tensor de tensão,  $[T']_{\sigma}_{02}$ , com relação ao novo sistema de referência  $\sigma_{2x'y'z'}$ , é dado pela equação (2.1.5). Assim,

$$[T']_{\sigma}_{02} = \begin{bmatrix} \sigma_{xx}' & \tau_{xy}' & \tau_{yx}' \\ \tau_{xy}' & \sigma_{yy}' & \tau_{yz}' \\ \tau_{yx}' & \tau_{yz}' & \sigma_{zz}' \end{bmatrix} = \begin{bmatrix} \sqrt{2}/2 & \sqrt{2}/2 & 0 \\ -\sqrt{2}/2 & \sqrt{2}/2 & 0 \\ 0 & 0 & 1 \end{bmatrix} \begin{bmatrix} -\sigma_{xx} & -\tau_{xy} & 0 \\ -\tau_{xy} & 0 & 0 \\ 0 & 0 & 0 \end{bmatrix} \begin{bmatrix} \sqrt{2}/2 & -\sqrt{2}/2 & 0 \\ \sqrt{2}/2 & \sqrt{2}/2 & 0 \\ 0 & 0 & 1 \end{bmatrix}$$

Resolvendo-se, vem:

$$[T']_{\sigma}_{02} = \begin{bmatrix} \sigma_{xx}' & \tau_{xy}' & \tau_{yx}' \\ \tau_{xy}' & \sigma_{yy}' & \tau_{yz}' \\ \tau_{yx}' & \tau_{yz}' & \sigma_{zz}' \end{bmatrix} = \begin{bmatrix} \left(-\frac{\sigma_{xx}}{2} - \tau_{xy}\right) & \frac{\sigma_{xx}}{2} & 0 \\ \frac{\sigma_{xx}}{2} & \left(\frac{\sigma_{xx}}{2} + \tau_{xy}\right) & 0 \\ 0 & 0 & 0 \end{bmatrix}$$

Donde se conclui que:

$$\sigma_{x'x'} = - \frac{\sigma_{xx}}{2} - \tau_{xy}$$

$$\sigma_{y'y'} = - \frac{\sigma_{xx}}{2} + \tau_{xy}$$

$$\tau_{x'y'} = \frac{\sigma_{xx}}{2}$$

$$\sigma_{z'z'} = \tau_{y'z'} = \tau_{x'z'} = 0$$

#### 2.2.2.5. Estado de deformação específica no ponto 02

De acordo com a equação (2.1.6.), o estado de deformação específica neste ponto é dado por:

$$\begin{Bmatrix} ex'x' \\ ey'y' \\ ex'y' \end{Bmatrix} = \frac{1}{E} \begin{bmatrix} 1-\mu & 0 & \\ -\mu & 1 & 0 \\ 0 & 0 & 2(1+\mu) \end{bmatrix} \begin{Bmatrix} -\frac{\sigma_{xx}}{2} - \tau_{xy} \\ -\frac{\sigma_{xx}}{2} + \tau_{xy} \\ \frac{\sigma_{xx}}{2} \end{Bmatrix} + \alpha T \begin{Bmatrix} 1 \\ 1 \\ 0 \end{Bmatrix}$$

Efetuando-se, obtém-se as seguintes expressões para as deformações específicas no ponto:

$$ex'x' = -\sigma_{xx} \frac{(1-\mu)}{2E} - \tau_{xy} \frac{(1+\mu)}{E} + \alpha T$$

$$ey'y' = -\sigma_{xx} \frac{(1-\mu)}{2E} + \tau_{xy} \frac{(1+\mu)}{E} + \alpha T$$

$$ex'y' = \sigma_{xx} \frac{(1+\mu)}{E}$$

#### 2.2.2.6. Colocação dos extensômetros no ponto $O_2$

No ponto  $O_2$  foram colocados dois extensômetros. O extensômetro  $A_2$ , colocado na direção de  $x'$ , deverá acompanhar a deformação específica  $\epsilon_{xx}'x'$ . O extensômetro  $B_2$ , colocado na direção de  $y'$ , deverá acompanhar a deformação  $\epsilon_{yy}'y'$ . De acordo com o item anterior, as deformações específicas  $\epsilon_{A_2}$  e  $\epsilon_{B_2}$ , sofridas pelos extensômetros  $A_2$  e  $B_2$ , respectivamente, são:

$$\epsilon_{A_2} = -\sigma_{xx}\frac{(1-\mu)}{2E} - \tau_{xy}\frac{(1+\mu)}{E} + \alpha T$$

$$\epsilon_{B_2} = -\sigma_{xx}\frac{(1-\mu)}{2E} + \tau_{xy}\frac{(1+\mu)}{E} + \alpha T$$

A figura 2.26 apresenta a disposição dos extensômetros  $A_2$  e  $B_2$  no ponto  $O_2$ .

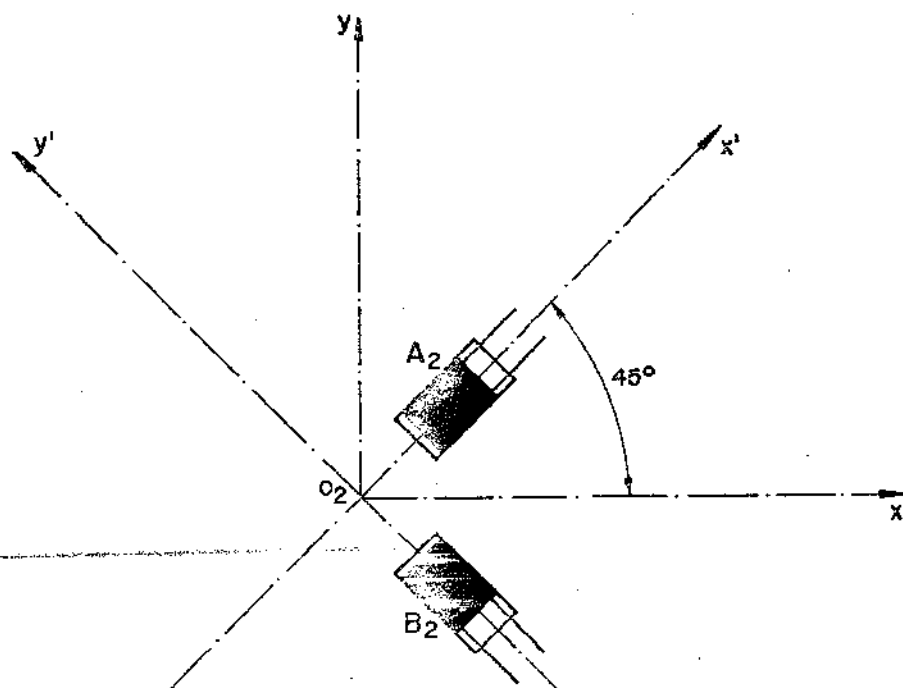


Fig. 2.26 - Disposição dos Extensômetros  $A_2$  e  $B_2$  no Ponto  $O_2$

A figura 2.27 mostra a colocação dos extensômetros  $A_1$ ,  $B_1$ ,  $A_2$  e  $B_2$  no eixo.

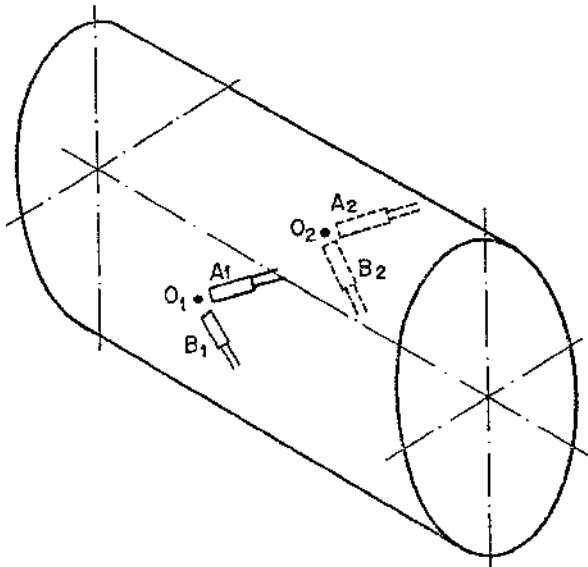


Fig. 2.27- Disposição dos extensômetros  $A_1$ ,  $A_2$ ,  $B_1$  e  $B_2$  no eixo

### 2.2.3. ESCOLHA DOS EXTENSÔMETROS DE MEDIDA

Foram utilizadas duas rosetas PHILIPS PR9845 K/Fe com as seguintes características [6]:

TIPO .....	CHAPA METÁLICA
RESISTÊNCIA (R) .....	$120,0 \pm 0,5\% \Omega$
CORRENTE MÁXIMA ADMISSÍVEL ( $i_{max}$ ) .....	20 mA
COEFICIENTE DE SENSIBILIDADE (k) .....	$2,01 \pm 1\%$
DEFORMAÇÃO ESPECÍFICA MÁXIMA ( $\epsilon_{max}$ ) ..	ACIMA DE 4000 $\mu\text{d}$

As rosetas utilizadas foram de um mesmo lote de fabricação de modo a facilitar o balanceamento das PONTES AMPLIFICADORAS.

2.2.4. ESQUEMÁ DAS LIGAÇÕES DOS EXTENSÔMETROS PARA A DETERMINAÇÃO DO MOMENTO TORÇOR  $M_{V4}$

Os extensômetros  $A_1$  e  $A_2$  foram acoplados em circuito de PONTE DE WHEATSTONE simples, formando a Ponte A, conforme mostra a figura 2.28.

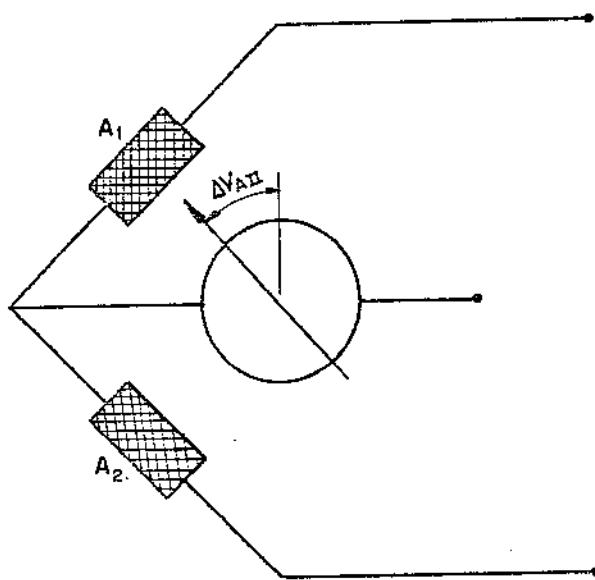


Fig. 2.28 - Ponte Wheatstone simples formada pelos extensômetros  $A_1$  e  $A_2$  (ponte A)

Os extensômetros  $B_1$  e  $B_2$  foram acoplados em circuito de PONTE DE WHEATSTONE simples, formando a Ponte B, conforme mostra a figura 2.29.

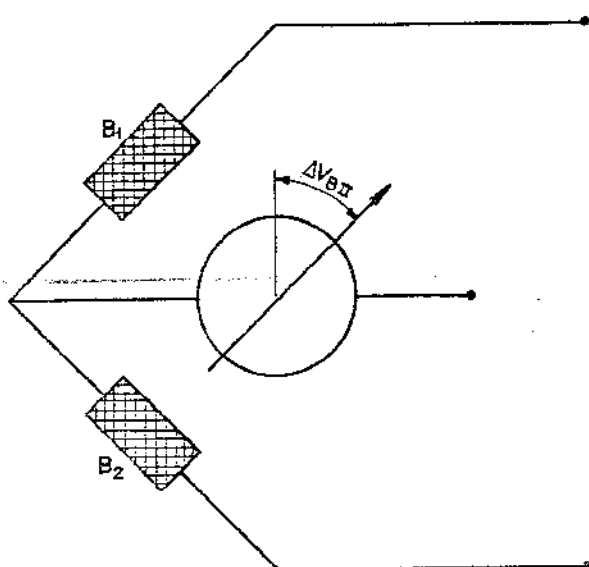


Fig. 2.29 - Ponte de Wheatstone simples formada pelos extensômetros  $B_1$  e  $B_2$  (ponte B)

A ligação entre os circuitos e as PONTES AMPLIFICADORAS foi feita através de um conjunto de escovas captadoras colocado na ponta do eixo (figura 2.30)

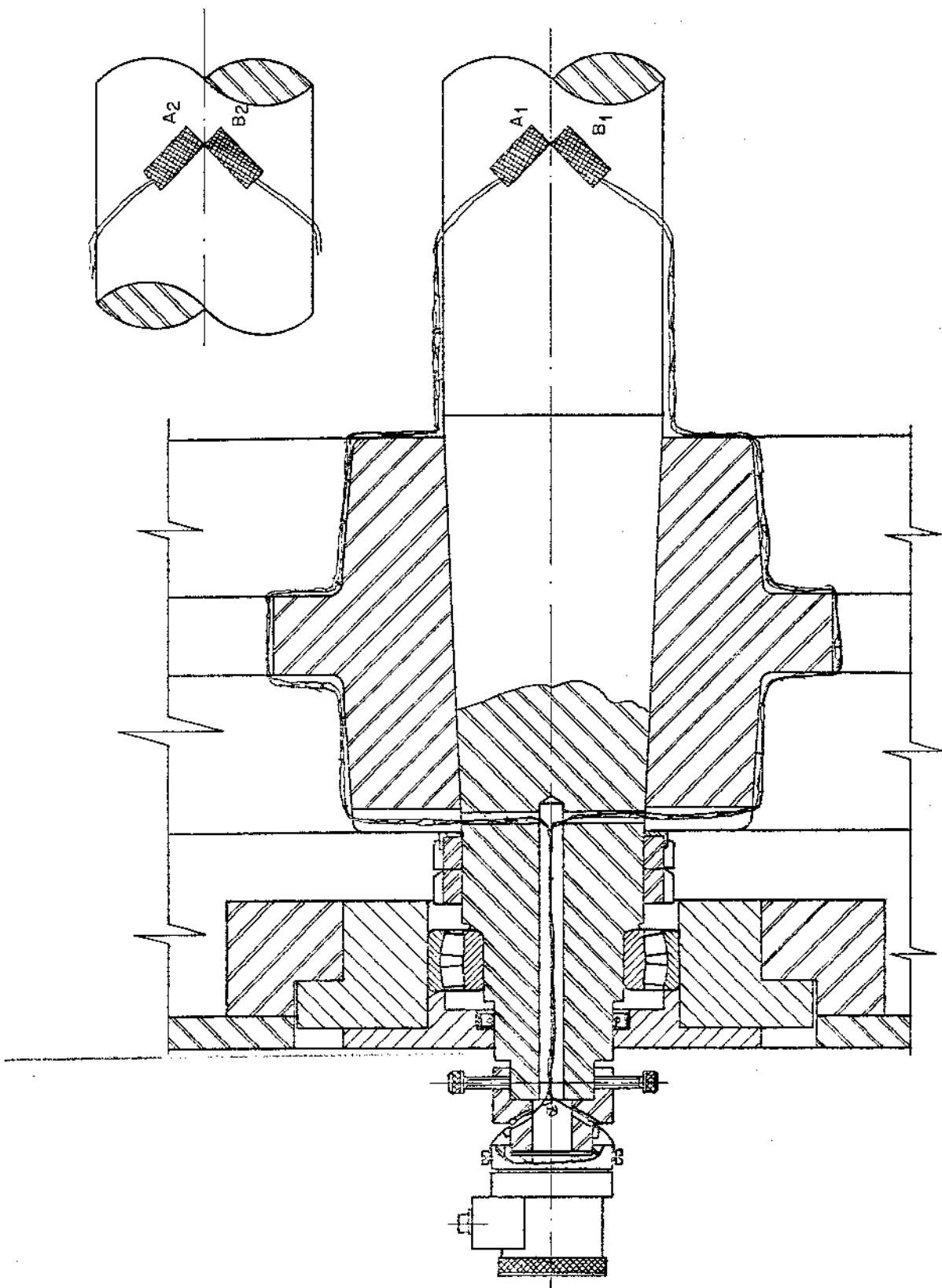


Fig. 2.30 - Esquema da Ligação entre o Circuito e a Ponte Amplificadora.

2.2.5. DETERMINAÇÃO DA TENSÃO DE SAÍDA DA PONTE A DO DINAMÔMETRO II ( $\Delta V_{AII}$ )

Sendo  $e_{A1}$  e  $e_{A2}$  as deformações específicas sofridas pelos extensômetros  $A_1$  e  $A_2$ , respectivamente, a tensão de saída da Ponte A será dada por [7]:

$$\Delta V_{AII} = \frac{V k}{4} (e_{A1} - e_{A2})$$

onde,

V = TENSÃO DE ALIMENTAÇÃO DA PONTE

k = COEFICIENTE DE SENSIBILIDADE DOS EXTENSÔMETROS

Substituindo-se  $e_{A1}$  e  $e_{A2}$  pelos valores obtidos nos itens 2.2.2.3. e 2.2.2.6, a expressão anterior resulta:

$$\Delta V_{AII} = \frac{V k}{4} \left[ \frac{\sigma_{XX}(1-\mu)}{2E} + \frac{\tau_{XY}(1+\mu)}{E} + \alpha T + \frac{\sigma_{XX}(1-\mu)}{2E} + \frac{\tau_{XY}(1+\mu)}{E} - \alpha T \right]$$

ou ainda ,

$$\Delta V_{AII} = \frac{V k}{4} \left[ \frac{(1-\mu)}{E} \sigma_{XX} + \frac{2(1+\mu)}{E} \tau_{XY} \right] \quad (2.2.3.)$$

2.2.6. DETERMINAÇÃO DA TENSÃO DE SAÍDA DA PONTE B DO DINAMÔMETRO II ( $\Delta V_{BII}$ )

Sendo  $e_{B1}$  e  $e_{B2}$  as deformações específicas sofridas pelos extensômetros  $B_1$  e  $B_2$ , respectivamente, a tensão de saída da Ponte B será dada por [7]:

$$\Delta V_{BII} = \frac{V k}{4} (e_{B1} - e_{B2})$$

Substituindo-se  $e_{B1}$  e  $e_{B2}$  pelos valores obtidos nos itens 2.2.2.3 e 2.2.2.6, a expressão anterior resulta:

$$\Delta V_{BII} = \frac{V k}{4} \left[ \sigma_{XX} \frac{(1-\mu)}{2E} - \tau_{XY} \frac{(1+\mu)}{E} + \alpha T + \sigma_{XX} \frac{(1-\mu)}{2E} - \tau_{XY} \frac{(1+\mu)}{E} - \alpha T \right]$$

ou ainda,

$$\Delta V_{BII} = \frac{V k}{4} \left[ \frac{(1-\mu)}{E} \sigma_{XX} - \frac{2(1+\mu)}{E} \tau_{XY} \right] \quad (2.2.4)$$

#### 2.2.7. DETERMINAÇÃO DO MOMENTO TORÇOR ATUANTE NO EIXO PRINCIPAL DA MÁQUINA ( $M_{V4}$ )

Subtraindo-se a equação (2.2.4) da equação (2.2.3), vem que:

$$\Delta V_{AII} - \Delta V_{BII} = \frac{V k (1+\mu)}{E} \tau_{XY} \quad (2.2.5)$$

Substituindo-se  $\tau_{XY}$  por seu valor dado na equação (2.2.1), a expressão (2.2.5) torna-se:

$$\Delta V_{AII} - \Delta V_{BII} = \frac{16 V k (1+\mu)}{\pi d^3 E} M_{V4} \quad (2.2.6)$$

Portanto,

$$M_{V4} = \frac{\pi d^3 E}{16 V k (1+\mu)} (\Delta V_{AII} - \Delta V_{BII}) \quad (2.2.7)$$

As tensões de saída das pontes *A* e *B*, ou seja,  $\Delta V_{AII}$  e  $\Delta V_{BII}$ , foram registradas com o propósito de se determinar suas variações diante das diversas condições de trabalho da máquina durante os ensaios. A figura 4.2 apresenta o registro destas tensões por ocasião do ensaio 24.

#### 2.2.8. PREVISÃO DA SENSIBILIDADE DO DINAMÔMETRO II ATRAVÉS DOS CÁLCULOS REALIZADOS

De acordo com o item 2.1.7 e com a equação (2.2.6), a sensibilidade do dinamômetro será dada por:

$$S = \frac{\Delta V_{AII} - \Delta V_{BII}}{M_{V4}} = \frac{16 V k (1+\mu)}{\pi d^3 E}$$

Utilizando-se PONTES AMPLIFICADORAS marca PHILIPS modelo PR9307 com tensão de alimentação 4 volts, a sensibilidade *S* resulta:

$$S = 0,000019 \text{ mV/kgf.cm}$$

Admitindo-se desprezível a influência de  $\sigma_{xx}$ , tem-se que (equações 2.2.3 e 2.2.4)

$$\Delta V_{AII} = - \Delta V_{BII}$$

Assim, a sensibilidade para cada ponte será:

$$S = \frac{\Delta V_{AII}}{M_{V4}} = \frac{0,000019}{2} = 0,0000095 \text{ mV/kgf.cm}$$

Utilizando-se uma amplificação da ponte de 50 divisões da escala do mostrador para 2 mV, a leitura para o momento torçor máximo de 160.000 kgf.cm (estimativa fornecida pelo fabricante da máquina) será 38 divisões da escala. Para uma divisão da escala do mostrador a leitura será 4210 kgf.cm/div. Portanto, empregando-se uma amplificação de 2 mV, o momento torçor mínimo mensurável é 4210 kgf.cm.

2.3. DINAMÔMETRO QUE DEVERÁ MEDIR A FORÇA AXIAL, P, NO EIXO PRINCIPAL (DINAMÔMETRO III)

2.3.1. GENERALIDADES

Na construção deste dinamômetro aproveitou-se o *Bujão* da máquina que, como foi dito no item 1.1, é a peça responsável pela absorção do esforço axial no eixo principal. Por razões de caráter construtivo e com o fito de se aumentar a sensibilidade do dinamômetro, fez-se na peça original um sangramento que se constituiu na *região de medida* (figura 2.31).

As deformações na *região de medida*, causadas pela ação do esforço axial originário do processo de extrusão, são acompanhadas por extensômetros elétricos convenientemente colados e ligados em circuito de *PONTE DE WHEATSTONE*. A alimentação do circuito, assim como a saída do sinal, é efetuada através de uma ponte amplificadora *PHILIPS* modelo *PR9307*.

O material empregado na construção do dinamômetro foi o aço *ABNT 4340* com as propriedades e características descritas no item 2.1.2.4.

O dimensionamento da *região de medida* foi realizado a partir do conhecimento de uma estimativa da força axial, fornecida pelo fabricante, e visando obter uma sensibilidade satisfatória para o dinamômetro. Desta forma, as dimensões da *região de medida* resultaram (figura 2.31):

$$\text{DIÂMETRO EXTERNO} = d_e = 199 \text{ mm}$$

$$\text{DIÂMETRO INTERNO} = d_i = 190 \text{ mm}$$

$$\text{ESPESSURA DA PAREDE} = e = 4,5 \text{ mm}$$

$$\text{COMPRIMENTO DE MEDIDA} = l = 35 \text{ mm}$$

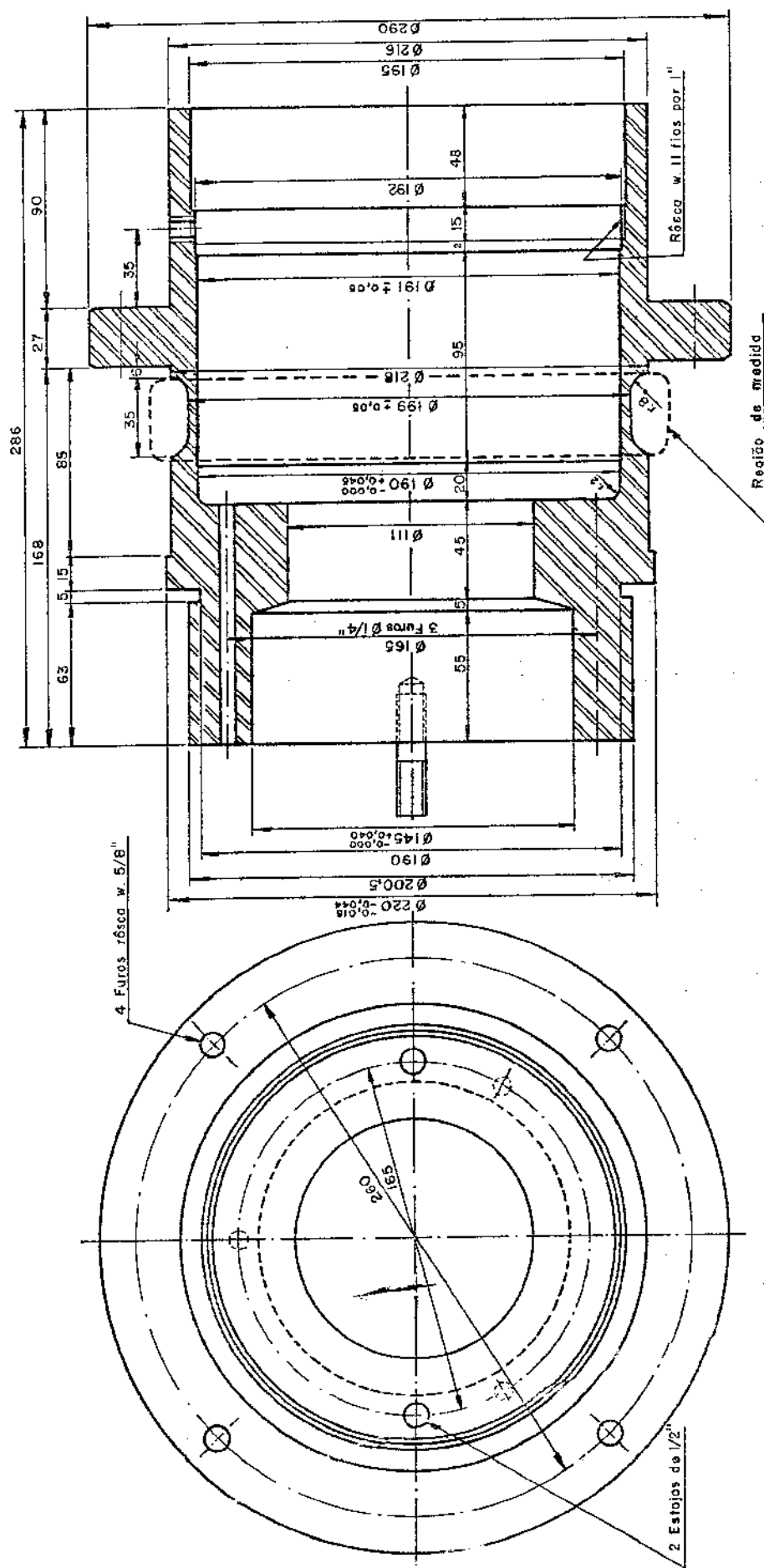


Fig. 2.31 - Região de medida do dinamômetro III.

### 2.3.2. COLOCAÇÃO DOS EXTENSÔMETROS NA REGIÃO DE MEDIDA

Dado que o *Bujão* é a peça responsável pela absorção do esforço axial, admitiu-se inicialmente que estivesse submetido a tração pura. Consequentemente, todos os pontos da secção transversal da *região de medida* estão submetidos a um estado uniaxial de tensão. Para a colocação dos extensômetros foram estudados os estados de tensão em quatro pontos ( $O_1$ ,  $O_2$ ,  $O_3$  e  $O_4$ ) do contorno, sendo dois a dois diametralmente opostos, conforme mostra a figura 2.32.

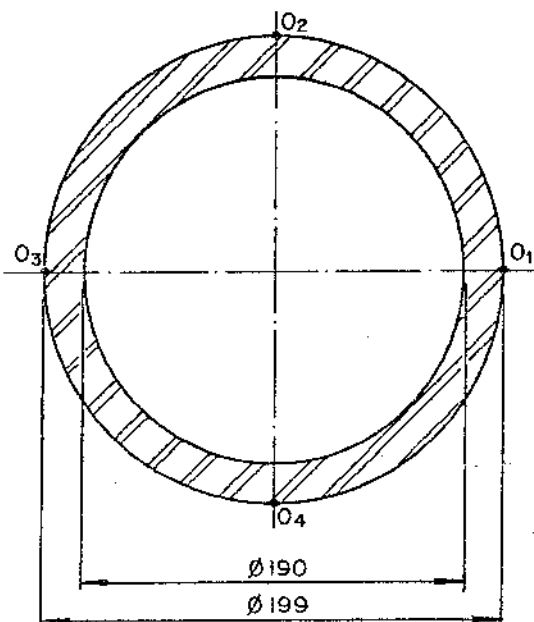


Fig. 2.32- Pontos  $O_1$ ,  $O_2$ ,  $O_3$  e  $O_4$ , do contorno, dois a dois diametralmente opostos.

#### 2.3.2.1. Estudo do estado de tensão no ponto $O_1$

Considerou-se, inicialmente, o sistema cartesiano de referência  $O_{1xyz}$  associado ao ponto  $O_1$ , representado na figura 2.33.

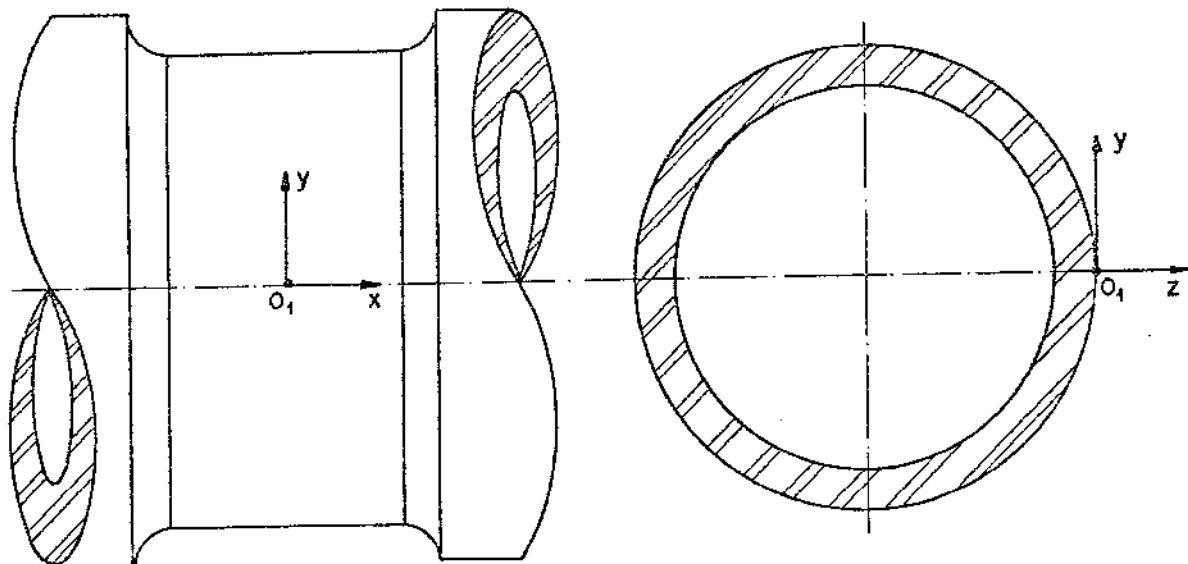


Fig. 2.33 - Sistema de referência  $O_1xyz$  associado ao ponto  $O_1$

Como foi exposto anteriormente, estando a *região de medida* submetida a tração pura, o estado de tensão no ponto  $O_1$  é uniaxial, conforme mostra a figura 2.34.

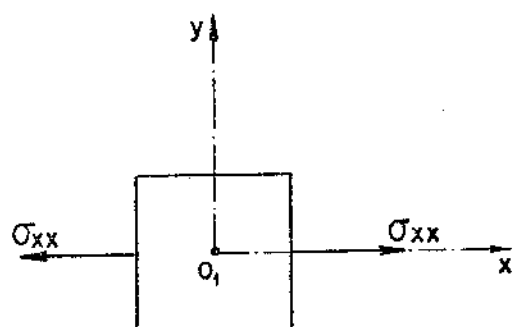


Fig. 2.34 - Estado de tensão no ponto  $O_1$

Assim, o tensor de tensão no ponto segundo aquele sistema de referência será:

$$[T_\sigma]_{01} = \begin{bmatrix} \sigma_{xx} & 0 & 0 \\ 0 & 0 & 0 \\ 0 & 0 & 0 \end{bmatrix}$$

onde,  $\sigma_{xx}$  é a tensão normal devida a força axial de tração  $P$ .

Portanto,

$$\sigma_{xx} = \frac{4P}{\pi[d_e^2 - d_i^2]} \quad (2.3.1)$$

O sistema de referência  $o_1xyz$  é conveniente para a colocação dos extensômetros, uma vez que se colocados segundo este sistema mediriam, de fato, a tensão normal devida a força axial.

#### 2.3.2.2. Estudo do estado de deformação específica no ponto $o_1$

O estado de deformação específica neste ponto será dado pela seguinte equação matricial [5]:

$$\{e\} = [\phi] \{\sigma\} + \{e_T\}$$

onde,

$$\{e\} = \begin{Bmatrix} exx \\ eyy \\ exy \end{Bmatrix} \quad [\phi] = \frac{1}{E} \begin{bmatrix} 1 & -\mu & 0 \\ -\mu & 1 & 0 \\ 0 & 0 & 2(1+\mu) \end{bmatrix}$$

$$\{\sigma\} = \begin{Bmatrix} \sigma_{xx} \\ \sigma_{yy} \\ \tau_{xy} \end{Bmatrix} = \begin{Bmatrix} \sigma_{xx} \\ 0 \\ 0 \end{Bmatrix} \quad \{e_T\} = \alpha T \begin{Bmatrix} 1 \\ 1 \\ 0 \end{Bmatrix}$$

Desta forma, a equação matricial anterior torna-se:

$$\begin{Bmatrix} exx \\ eyy \\ exy \end{Bmatrix} = \frac{1}{E} \begin{bmatrix} 1 & -\mu & 0 \\ -\mu & 1 & 0 \\ 0 & 0 & 2(1+\mu) \end{bmatrix} \begin{Bmatrix} \sigma_{xx} \\ 0 \\ 0 \end{Bmatrix} + \alpha T \begin{Bmatrix} 1 \\ 1 \\ 0 \end{Bmatrix}$$

Resolvendo-se, obtém-se as seguintes expressões para as deformações específicas no ponto:

$$e_{xx} = \frac{\sigma_{xx}}{E} + \alpha T$$

$$e_{yy} = -\mu \frac{\sigma_{xx}}{E} + \alpha T$$

$$e_{xy} = 0$$

### 2.3.2.3. Colocação dos extensômetros no ponto $\theta_1$

No ponto  $\theta_1$  foram colocados dois extensômetros. O extensômetro  $A_1$ , colocado na direção de  $x$ , deverá acompanhar a deformação específica  $e_{xx}$ . O extensômetro  $B_1$ , colocado na direção de  $y$ , deverá acompanhar a deformação específica  $e_{yy}$ . De acordo com o item anterior, as deformações específicas  $e_{A_1}$  e  $e_{B_1}$  sofridas pelos extensômetros  $A_1$  e  $B_1$ , respectivamente, são:

$$e_{A_1} = \frac{\sigma_{xx}}{E} + \alpha T$$

$$e_{B_1} = -\mu \frac{\sigma_{xx}}{E} + \alpha T$$

A figura 2.35 mostra a disposição dos extensômetros  $A_1$   $B_1$  no ponto  $\theta_1$

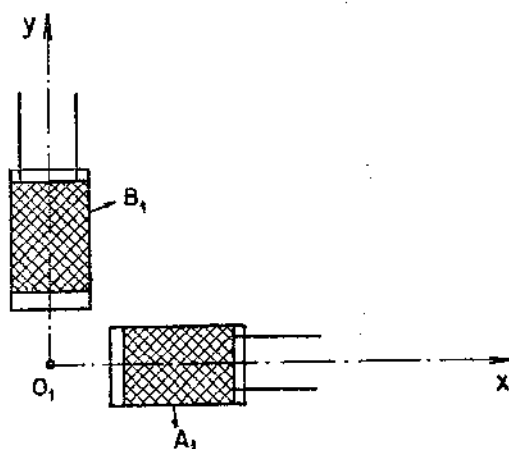


Fig. 2.35 - Disposição dos extensômetros A<sub>1</sub> e B<sub>1</sub> no ponto O<sub>1</sub>

2.3.2.4. Estudo do estado de tensão e deformação específica nos pontos O<sub>2</sub>, O<sub>3</sub> e O<sub>4</sub>

Os pontos O<sub>2</sub>, O<sub>3</sub> e O<sub>4</sub> estão submetidos ao mesmo estado de tensão do ponto O<sub>1</sub> e portanto, o desenvolvimento é análogo. A figura 2.36 apresenta os sistemas cartesianos de referência associados a cada um destes pontos.

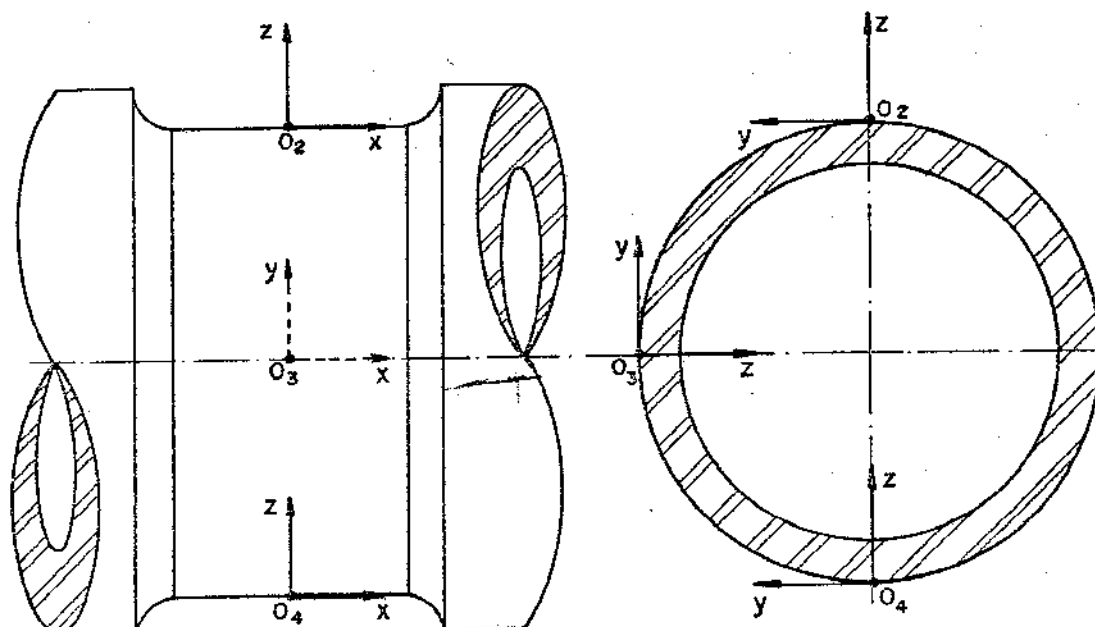


Fig. 2.36 - Sistemas de referência O<sub>2</sub>xyz, O<sub>3</sub>xyz e O<sub>4</sub>xyz associados aos pontos O<sub>2</sub>, O<sub>3</sub> e O<sub>4</sub>, respectivamente

Assim, as deformações específicas em cada ponto segundo seu sistema de referência são:

$$e_{xx} = \frac{\sigma_{xx}}{E} + \alpha T$$

$$e_{yy} = -\mu \frac{\sigma_{xx}}{E} + \alpha T$$

#### 2.3.2.5. Colocação dos extensômetros nos pontos 0<sub>2</sub>, 0<sub>3</sub> e 0<sub>4</sub>

Em cada ponto foram colocados dois extensômetros, sendo um na direção de  $x$  (extensômetro A) e outro na direção de  $y$  (extensômetro B). De acordo com o item anterior as deformações específicas sofridas pelos extensômetros A e B de cada ponto são:

$$e_{A2} = e_{A3} = e_{A4} = e_{xx} = \frac{\sigma_{xx}}{E} + \alpha T$$

$$e_{B2} = e_{B3} = e_{B4} = e_{yy} = -\mu \frac{\sigma_{xx}}{E} + \alpha T$$

A disposição dos extensômetros em cada ponto está representada na figura 2.37.

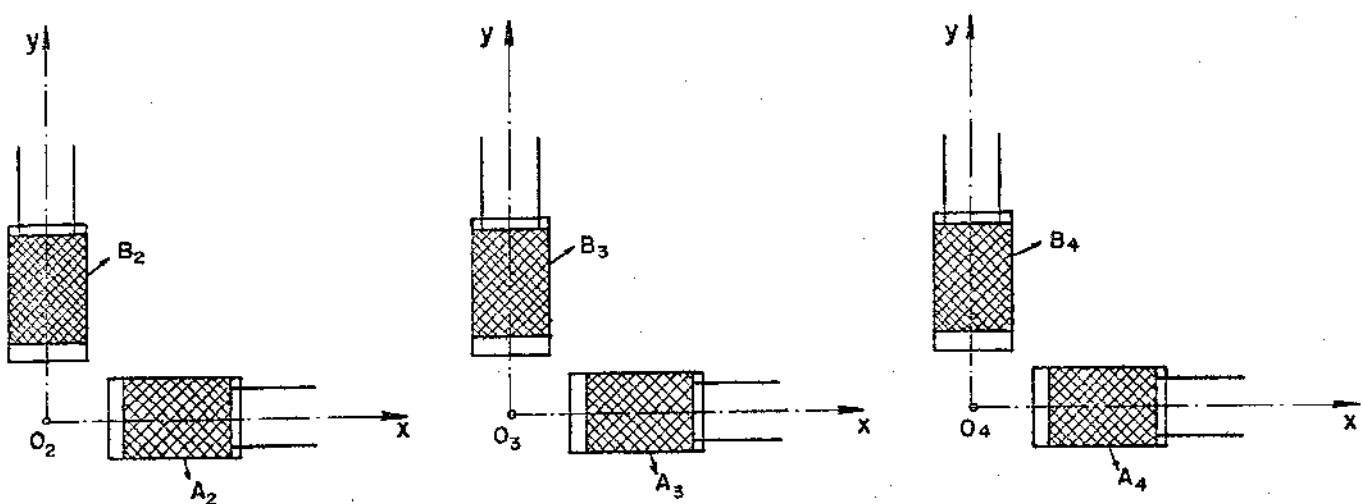


Fig. 2.37 - Disposição dos extensômetros nos pontos  $O_2$ ,  $O_3$  e  $O_4$ .

A figura 2.38 mostra a colocação dos extensômetros  $A_1$ ,  $B_1$ ,  $A_2$ ,  $B_2$ ,  $A_3$ ,  $B_3$ ,  $A_4$  e  $B_4$  na região de medida.

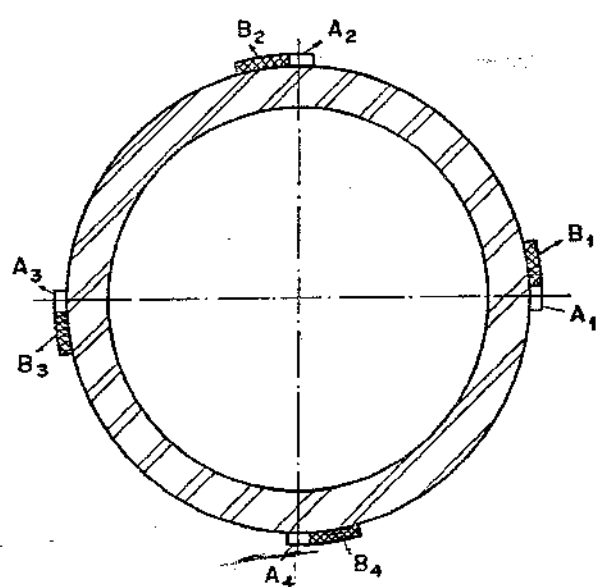


Fig. 2.38 - Colocação dos extensômetros  $A_1$ ,  $B_1$ ,  $A_2$ ,  $B_2$ ,  $A_3$ ,  $B_3$ ,  $A_4$  e  $B_4$  na região de medida.

### 2.3.3. ESCOLHA DOS EXTENSÔMETROS DE MEDIDA

Foram utilizados oito extensômetros *PHILIPS PR 9832K/10 Fe* com as seguintes características [6] :

TIPO .....	CHAPA METÁLICA
RESISTÊNCIA (R) .....	$600 \pm 0,25\% \Omega$
CORRENTE MÁXIMA ADMISSÍVEL ( $i_{max}$ ) .....	20 mA
COEFICIENTE DE SENSIBILIDADE (k) .....	$2,03 \pm 1\%$
DEFORMAÇÃO ESPECÍFICA MÁXIMA ( $\epsilon_{max}$ ) ....	ACIMA DE 4000 $\mu\text{d}$

Os extensômetros utilizados foram de um mesmo lote de fabricação de modo a facilitar o balanceamento da *PONTE AMPLIFICADORA*.

### 2.3.4. ESQUEMA DAS LIGAÇÕES DOS EXTENSÔMETROS PARA A DETERMINAÇÃO DA FORÇA AXIAL P

Os extensômetros  $A_1, B_1, A_2, B_2, A_3, B_3, A_4$  e  $B_4$  foram acoplados em circuito de *PONTE DE WHEATSTONE* completa, conforme mostra a figura 2.39. A disposição dos extensômetros em cada ramo da *PONTE* é de forma a compensar qualquer excentricidade na aplicação da força axial.

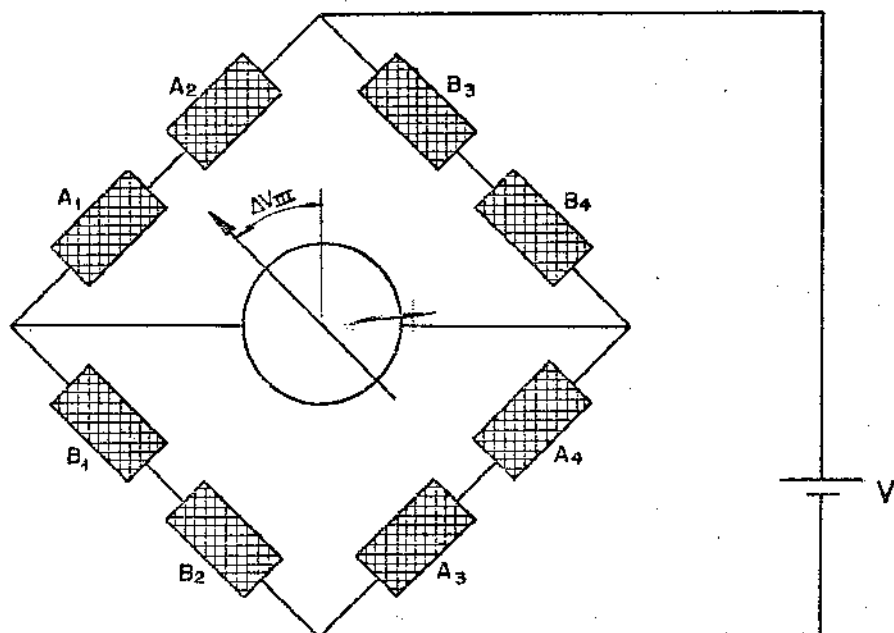


Fig. 2.39 - Esquema de ligação dos extensômetros na região de medida para a determinação da força axial  $P$

2.3.5. DETERMINAÇÃO DA TENSÃO DE SAÍDA DA PONTE AMPLIFICADORA  
DO DINAMÔMETRO III ( $\Delta V_{III}$ )

Sendo  $e_{A_1}, e_{B_1}, e_{A_2}, e_{B_2}, e_{A_3}, e_{B_3}, e_{A_4}$  e  $e_{B_4}$  as deformações específicas sofridas pelos extensômetros  $A_1, B_1, A_2, B_2, A_3, B_3, A_4$  e  $B_4$ , respectivamente, a tensão de saída da PONTE AMPLIFICADORA será dada por [7]:

$$\Delta V_{III} = \frac{V k}{4} (e_{A_1} + e_{A_2} - e_{B_1} - e_{B_2} + e_{A_3} + e_{A_4} - e_{B_3} - e_{B_4})$$

onde,

V = TENSÃO DE ALIMENTAÇÃO DA PONTE

k = COEFICIENTE DE SENSIBILIDADE DOS EXTENSÔMETROS

Substituindo-se as deformações específicas de cada extensômetro pelos valores obtidos nos itens 2.3.2.3 e 2.3.2.5, a equação anterior torna-se:

$$\begin{aligned} \Delta V_{III} = & \frac{V k}{4} \left( \frac{\sigma_{XX}}{E} + \alpha T + \frac{\sigma_{XX}}{E} + \alpha T + \mu \frac{\sigma_{XX}}{E} - \alpha T + \mu \frac{\sigma_{XX}}{E} - \alpha T + \frac{\sigma_{XX}}{E} + \right. \\ & \left. + \alpha T + \frac{\sigma_{XX}}{E} + \alpha T + \mu \frac{\sigma_{XX}}{E} - \alpha T + \mu \frac{\sigma_{XX}}{E} - \alpha T \right) \end{aligned}$$

Portanto,

$$\Delta V_{III} = \frac{V k (1+\mu)}{E} \sigma_{XX}$$

Substituindo-se  $\sigma_{XX}$  por seu valor dado na equação (2.3.1), obtém-se:

$$\Delta V_{III} = \frac{4 V k (1+\mu)}{E \pi (d_e^2 - d_i^2)} P \quad (2.3.2)$$

2.3.6. PREVISÃO DA SENSIBILIDADE DO DINAMÔMETRO III ATRAVÉS DOS CÁLCULOS REALIZADOS

De acordo com o item 2.1.7. e com a equação (2.3.2) a sensibilidade do dinamômetro será dada por:

$$S = \frac{\Delta V_{III}}{P} = \frac{4 V k (1+\mu)}{E \pi (d_e^2 - d_i^2)}$$

Utilizando-se PONTE AMPLIFICADORA marca PHILIPS modelo PR 9307 com tensão de alimentação 10 Volts, a sensibilidade  $S$  resulta:

$$S = 0,450269 \text{ mV/tf}$$

Utilizando-se uma amplificação da ponte de 50 divisões da escala do mostrador para 20 mV, a leitura para a força axial máxima de 40 tf (estimativa fornecida pelo fabricante) será 45 divisões da escala. Para uma divisão da escala do mostrador a leitura será 0,889 tf/div.

Assim, empregando-se uma amplificação de 20 mV, a força axial mímina mensurável é 0,889 tf.

+

#### 2.4. EXECUÇÃO DOS DINAMÔMETROS

Os dinamômetros foram usinados pela *MECÂNICA BONFANTI S.A.* segundo orientação e desenhos fornecidos pelo autor. Em seguida, foram trazidos ao *CENTRO DE TECNOLOGIA DA UNICAMP* para colagem dos extensômetros, soldagem dos circuitos elétricos, vedação e aferição no que se refere aos dinamômetros I e III. Finalmente, foram devolvidos à *MECÂNICA BONFANTI S.A.* para a montagem da máquina.

Os desenhos de detalhes dos dinamômetros encontram-se na *SECÇÃO DE DESENVOLVIMENTO DE PROJETOS DO CENTRO DE TECNOLOGIA DA UNICAMP*.

### CAPÍTULO III

#### AFERIÇÃO DOS DINAMÔMETROS

##### 3.1. GENERALIDADES

A aferição dos dinamômetros consiste em se obter a relação existente entre as leituras,  $y_i$ , nas Pontes Amplificadoras e os respectivos esforços aplicados,  $x_i$ , ou seja, a função  $y_i = f(x_i)$  onde  $x_i$  é a variável independente e  $y_i$  a variável dependente. No caso de dinamômetros, para se determinar esta função faz-se uma Regressão Linear por método estatístico obtendo-se a seguinte equação [9]:

$$y_i = a + b(x_i - \bar{x})$$

que dá a distribuição de  $y_i$  para cada  $x_i$  a partir de uma amostra de  $n$  pares de valores:

$$x_1, x_2, \dots, x_i, \dots x_n$$

$$y_1, y_2, \dots, y_i, \dots y_n$$

onde,

$$\bar{x} = \frac{\sum_{i=1}^n x_i}{n}$$

$$a = \frac{\sum_{i=1}^n y_i}{n}$$

$$b = \frac{\sum_{i=1}^n y_i(x_i - \bar{x})}{\sum_{i=1}^n (x_i - \bar{x})^2}$$

Entretanto, para a utilização do dinamômetro, necessita-se da função  $x_i = f(y_i)$  onde  $x_i$  é agora a variação dependente e  $y_i$  a variável independente. Torna-se necessário, então, fazer a inversão da reta de regressão  $y_i = f(x_i)$ , sendo que o intervalo de confiança da nova função é estimado utilizando-se o teorema de FIELLER [10]:

Assim, dada a reta de regressão:

$$y_i = a + b(x_i - \bar{x})$$

obtida a partir do conjunto de pontos:

$$x_1 = y_{11}, y_{12}, \dots, y_{1j}, \dots, y_{1n_1}$$

$$x_2 = y_{21}, y_{22}, \dots, y_{2j}, \dots, y_{2n_2}$$

$$\vdots \quad \vdots \quad \vdots \quad \vdots \quad \vdots$$

$$x_i = y_{i1}, y_{i2}, \dots, y_{ij}, \dots, y_{in_i}$$

$$\vdots \quad \vdots \quad \vdots \quad \vdots \quad \vdots$$

$$x_k = y_{k1}, y_{k2}, \dots, y_{kj}, \dots, y_{kn_k}$$

sendo que  $x$  é uma variável não aleatória de tamanho  $k$ , tal que para cada valor  $x_i$  de  $x$  corresponde um número  $n_i$  de observações da variável aleatória  $y$ .

Aplicando-se o teorema de FIELLER, a equação da reta inversa resulta:

$$x_i = \bar{x} + \frac{b(\hat{y}_i - a)}{b^2 - \frac{t^2 s_*^2}{\sum_{i=1}^k n_i (x_i - \bar{x})^2}} \quad (3.1.1)$$

e o erro de  $x_i$  será dado por:

$$\Delta x_i = \frac{t s_*}{b^2 - \frac{t^2 s_*^2}{\sum_{i=1}^k n_i (x_i - \bar{x})^2}} \left\{ \left[ b^2 - \frac{t^2 s_*^2}{\sum_{i=1}^k n_i (x_i - \bar{x})^2} \right] \frac{1}{m} \frac{1}{n} + \frac{(\hat{y}_i - a)^2}{\sum_{i=1}^k n_i (x_i - \bar{x})^2} \right\}^{1/2} \quad (3.1.2)$$

onde,

$$n = \sum_{i=1}^k n_i \quad (3.1.3)$$

$$\bar{x} = \frac{\sum_{i=1}^k n_i x_i}{n} \quad (3.1.4)$$

$$\bar{y}_i = \frac{\sum_{j=1}^{n_i} y_{ij}}{n_i} \quad (3.1.5)$$

$$a = \frac{\sum_{i=1}^k \bar{y}_i}{k} \quad (3.1.6)$$

$$b = \frac{\sum_{i=1}^k n_i (x_i - \bar{x}) \bar{y}_i}{\sum_{i=1}^k n_i (x_i - \bar{x})^2} \quad (3.1.7)$$

$$s^2_* = \frac{\sum_{i=1}^k \sum_{j=1}^{n_i} (y_{ij} - \bar{y}_i)^2}{n-k} \quad (3.1.8)$$

$t$  = depende do número  $n$  de observações e da confiança desejada.

$\hat{y}_i$  = média baseada em  $m$  observações, todas elas pres-  
supostas como provenientes de um mesmo porém des-  
conhecido valor de  $x_i$ .

### 3.2. DINAMÔMETRO I

A aferição deste dinamômetro foi feita aplicando-se ao eixo momentos torções,  $M_I$ , desde zero até 5693 kgf.cm em três

séries de carregamentos e descarregamentos. A cada momento aplicado determinou-se na Ponte Amplificadora a tensão de saída,  $\Delta V_I$ , correspondente, conforme mostra a TABELA III.1.

Os momentos torções foram aplicados ao eixo através de uma alavanca, suficientemente rígida, na extremidade da qual foram colocados pesos aferidos.

Fazendo-se  $(M_I)_i = x_i$  (MOMENTO TORÇOR APLICADO) e  $(\Delta V_I)_i = y_i$  (TENSÃO DE SAÍDA DA PONTE), para os pares de valores  $x_i, y_i$ , obtidos durante a aferição calculou-se a função  $x_i = f(y_i)$ , através do teorema de FIELLER (item 3.1).

TABELA III.1 - VALORES DAS LEITURAS OBTIDAS NA AFERIÇÃO DINAMÔMETRO I

	ENSAIO I		ENSAIO II		ENSAIO III		
$M_I$ [kgf.cm]	$\Delta V_I$ [mV]	$\bar{y}_i$					
0,00	0,00	0,00	0,00	0,05	0,00	0,00	0,008
293,04	0,35	0,35	0,35	0,35	0,35	0,35	0,350
893,04	0,85	0,85	0,80	0,85	0,85	0,85	0,842
1.493,04	1,40	1,40	1,40	1,40	1,40	1,40	1,400
2.093,04	1,90	1,90	1,90	1,90	1,90	1,90	1,900
2.693,04	2,40	2,40	2,40	2,40	2,40	2,40	2,400
3.293,04	2,90	2,95	2,95	2,90	2,95	2,90	2,925
3.893,04	3,45	3,45	3,45	3,45	3,45	3,45	3,450
4.493,04	3,95	4,00	4,00	3,95	4,00	3,95	3,975
5,093,04	4,45	4,50	4,50	4,50	4,50	4,50	4,492
5.693,04	5,00	5,00	5,00	5,00	5,00	5,00	5,000
onde $\bar{y}_i = \frac{\sum_{j=1}^{n_i} y_{ij}}{n_i}$							

De acordo com a TABELA III.1, tem-se:

$k = 11$  (número de variáveis independentes)

$n = 66$  (número total de observações)

$n_i = 6$  (número de observações para cada esforço aplicado)

$t = 1,96$  ( $n > 30$  e 95% de confiança)

Aplicando-se, agora, as equações (3.1.4) a (3.1.8), obtém-se:

$$\bar{x} = 2720,95$$

$$a = 2,430$$

$$b = 0,000869 \quad b^2 = 0,000000755$$

$$s_*^2 = 0,00025 \quad s_* = 0,01581$$

$m = 1$  (para uma leitura em cada momento torçor aplicado durante a utilização do dinamômetro).

Substituindo-se estes valores nas equações (3.1.1) e (3.1.2), obtém-se as seguintes expressões para o momento torçor  $M_I$  e seu erro  $\Delta M_I$ :

$$M_I = 2720,95 + 1150,99 (\Delta V_I - 2,43) \quad (3.2.1)$$

$$\Delta M_I = 41043,16 \sqrt{0,000000766 + \frac{(\Delta V_I - 2,43)^2}{227063391,5}} \quad (3.2.2)$$

onde,

$\Delta V_I$  = LEITURA NA PONTE AMPLIFICADORA EM mV.

$M_I$  = MOMENTO TORÇOR APLICADO NO DINAMÔMETRO EM kgf.cm

$\Delta M_I$  = ERRO DO MOMENTO TORÇOR APLICADO EM FUNÇÃO DE UMA DETERMINADA LEITURA NA PONTE AMPLIFICADORA

O erro relativo  $\Delta M_I / M_I$  encontra-se representado na curva da figura 3.1 como função da leitura  $\Delta V_I$ . Esta curva mostra que para leituras superiores a 1 mV o erro relativo do momento torçor  $M_I$  é inferior a 3,35% com 95% de confiança.

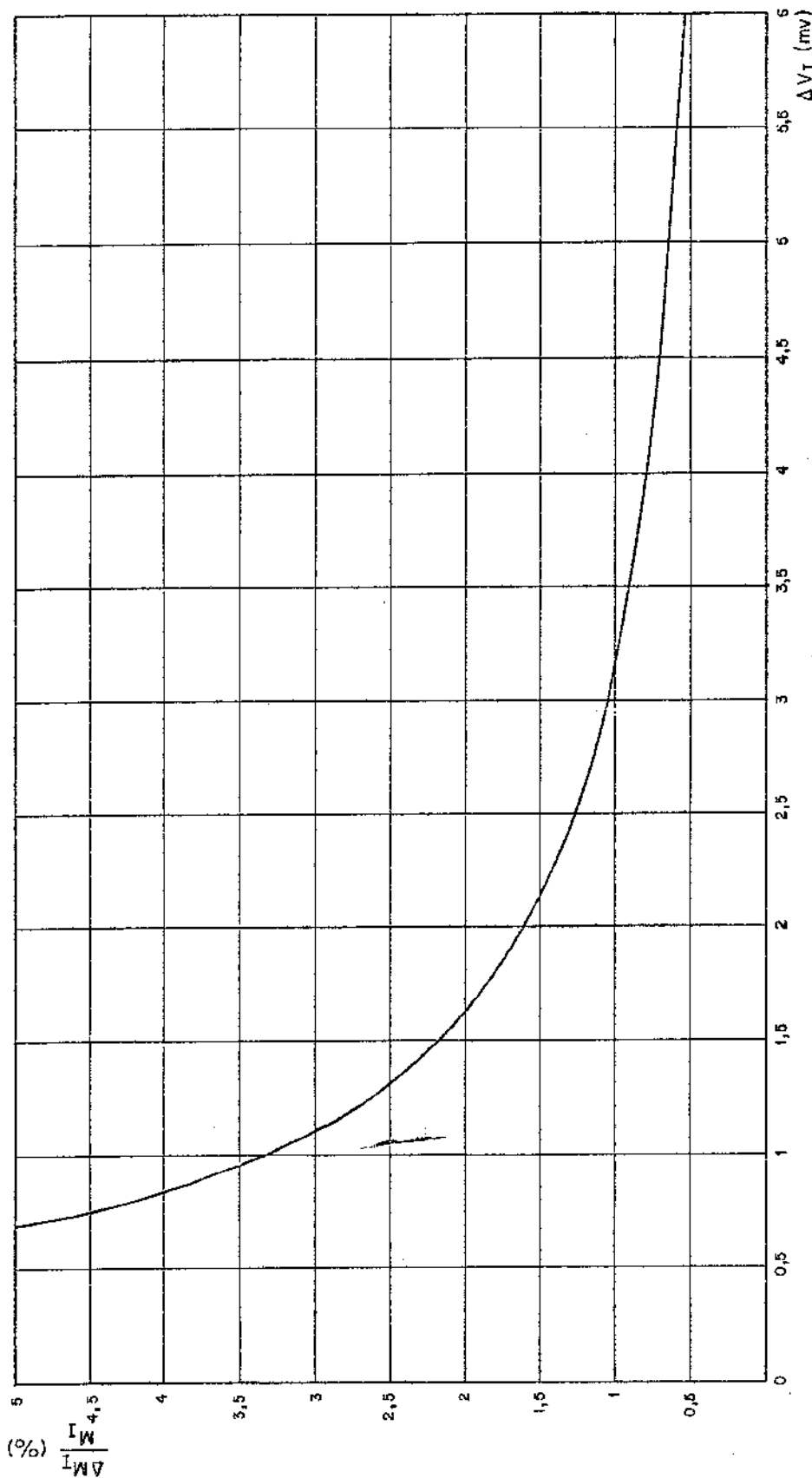


Fig. 3.1 - Erro relativo do momento torçor  $M_I$  em função das leituras na ponte

A figura 3.2 apresenta a CURVA DE AFERIÇÃO do dinamômetro com os respectivos erros.

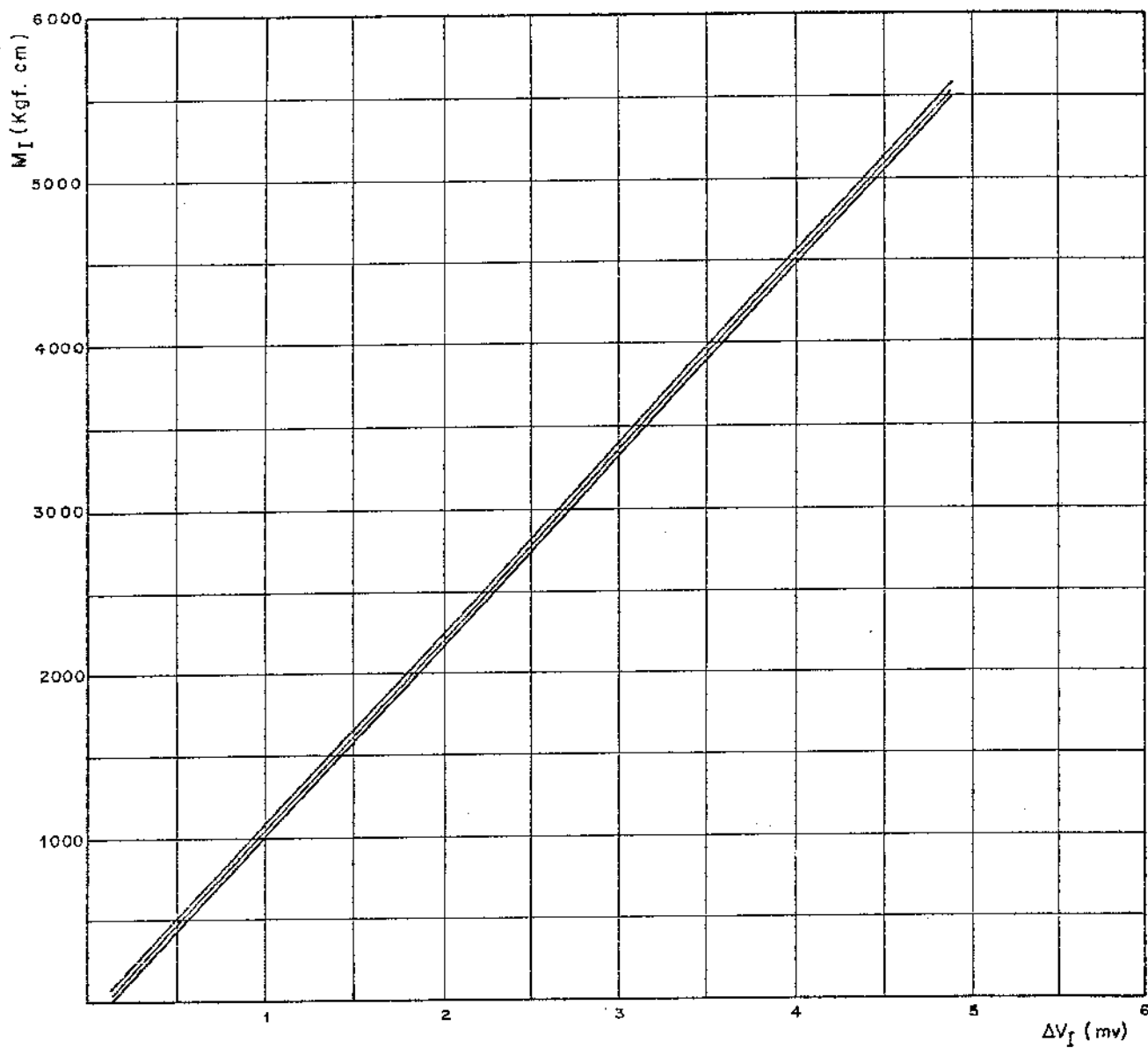


Fig.3.2 - Curva de aferição do dinamômetro I com os respectivos erros

### 3.3. DINAMÔMETRO II

Dada a impossibilidade de se reproduzir na aferição as condições reais de trabalho, este dinamômetro não foi aferido. O momento torçor  $M_{V4}$ , atuante no eixo principal da máquina, foi determinado através da equação (2.2.7), obtida teoricamente no item 2.2.7.

### 3.4. DINAMÔMETRO III

A aferição deste dinamômetro foi realizada com o auxilio da máquina de ensaio de compressão "ALFRED J. AMSLER" do INSTITUTO DE PESQUISAS TECNOLÓGICAS DA U.S.P.

Com o propósito de se reproduzir na aferição as condições reais de trabalho, as cargas foram aplicadas ao Bujão através do próprio roloamento da máquina como se indica na figura 3.3.

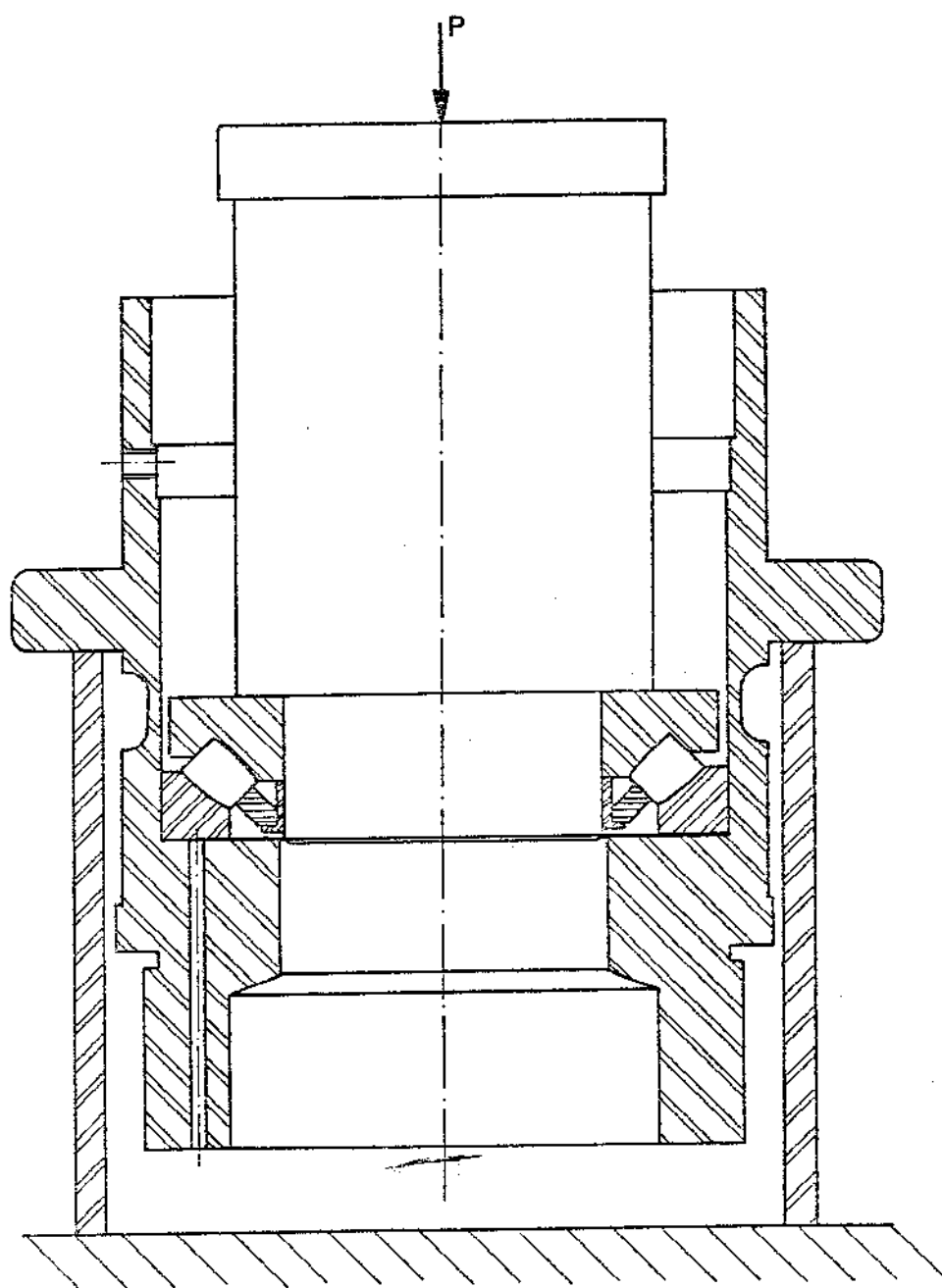


Fig. 3.3 - Situação de Carregamento para aferição do dinamômetro III

Foram feitas duas séries de carregamento, tendo-se aplicado cargas axiais,  $P$ , desde zero até 40 tf. A cada carga aplicada de-

terminou-se na PONTE AMPLIFICADORA a tensão de saída,  $\Delta V_{III}$ , correspondente, conforme mostra a TABELA III.2.

Fazendo-se  $(P)_i = x_i$  (FORÇA AXIAL APLICADA) e  $(\Delta V_{III})_i = y_i$  (TENSÃO DE SAÍDA DA PONTE), para os pares de valores  $x_i, y_i$ , obtidos durante a aferição, calculou-se a função  $x_i = f(y_i)$ , através do teorema de FIELLER (item 3.1).

TABELA III.2 - VALORES DAS LEITURAS OBTIDAS NA AFERIÇÃO DO DINAMÔMETRO III.

	ENSAIO I	ENSAIO II	
P [tf]	$\Delta V_{III}$ [mV]	$\Delta V_{III}$ [mV]	$\bar{y}_i$
0	0,00	0,00	0,000
2	0,15	0,15	0,150
4	0,39	0,36	0,375
6	0,61	0,60	0,605
8	0,80	0,80	0,800
10	1,00	1,00	1,000
12	1,15	1,15	1,150
14	1,35	1,32	1,335
16	1,50	1,50	1,500
18	1,70	1,65	1,675
20	1,80	1,80	1,800
22	2,00	2,00	2,000
24	2,10	2,12	2,110
26	2,30	2,30	2,300
28	2,45	2,45	2,450
30	2,65	2,65	2,650
32	2,80	2,80	2,800
34	3,00	3,00	3,000
36	3,20	3,20	3,200
38	3,40	3,42	3,410
40	3,60	3,65	3,625
onde	$\bar{y}_i = \frac{\sum_{j=1}^{n_i} y_{ij}}{n_i}$		

De acordo com a TABELA III.2, tem-se:

$$\begin{aligned}k &= 21 \text{ (número de variáveis independentes)} \\n &= 42 \text{ (número total de observações)} \\n_i &= 2 \text{ (número de observações para cada carga)} \\t &= 1,96 \text{ (n>30 e 95% de confiança)}\end{aligned}$$

Aplicando-se, agora, as equações (3.1.4) a (3.1.8), obtém-se:

$$\bar{x} = 20,00$$

$$a = 1,8064$$

$$b = 0,08756 \quad b^2 = 0,007667$$

$$s_*^2 = 0,000183 \quad s_* = 0,01354$$

$m = 1$  (para uma leitura em cada carga aplicada durante a utilização do dinamômetro).

Substituindo-se estes valores nas equações (3.1.1) e (3.1.2), obtém-se as seguintes expressões para a força axial  $P$  e seu erro  $\Delta P$ :

$$P = 20,00 + 11,11 (\Delta V_{III} - 1,81) \quad (3.3.1)$$

$$\Delta P = 3,46 \sqrt{0,007849 + \frac{(\Delta V_{III} - 1,8064)^2}{6160,00}} \quad (3.3.2)$$

onde,

$\Delta V_{III}$  = LEITURA NA PONTE AMPLIFICADORA EM mV.

$P$  = FORÇA AXIAL APLICADA NO DINAMÔMETRO EM tf.

$\Delta P$  = ERRO DA FORÇA AXIAL APLICADA EM FUNÇÃO DE UMA DETERMINADA LEITURA NA PONTE AMPLIFICADORA.

O erro relativo  $\Delta P/P$  encontra-se representado na curva da figura (3.4) como função da leitura  $\Delta V_{III}$ . Esta curva mostra que para leituras superiores a 0,95 mV, o erro relativo da força axial  $P$  é inferior a 3% com 95% de confiança.

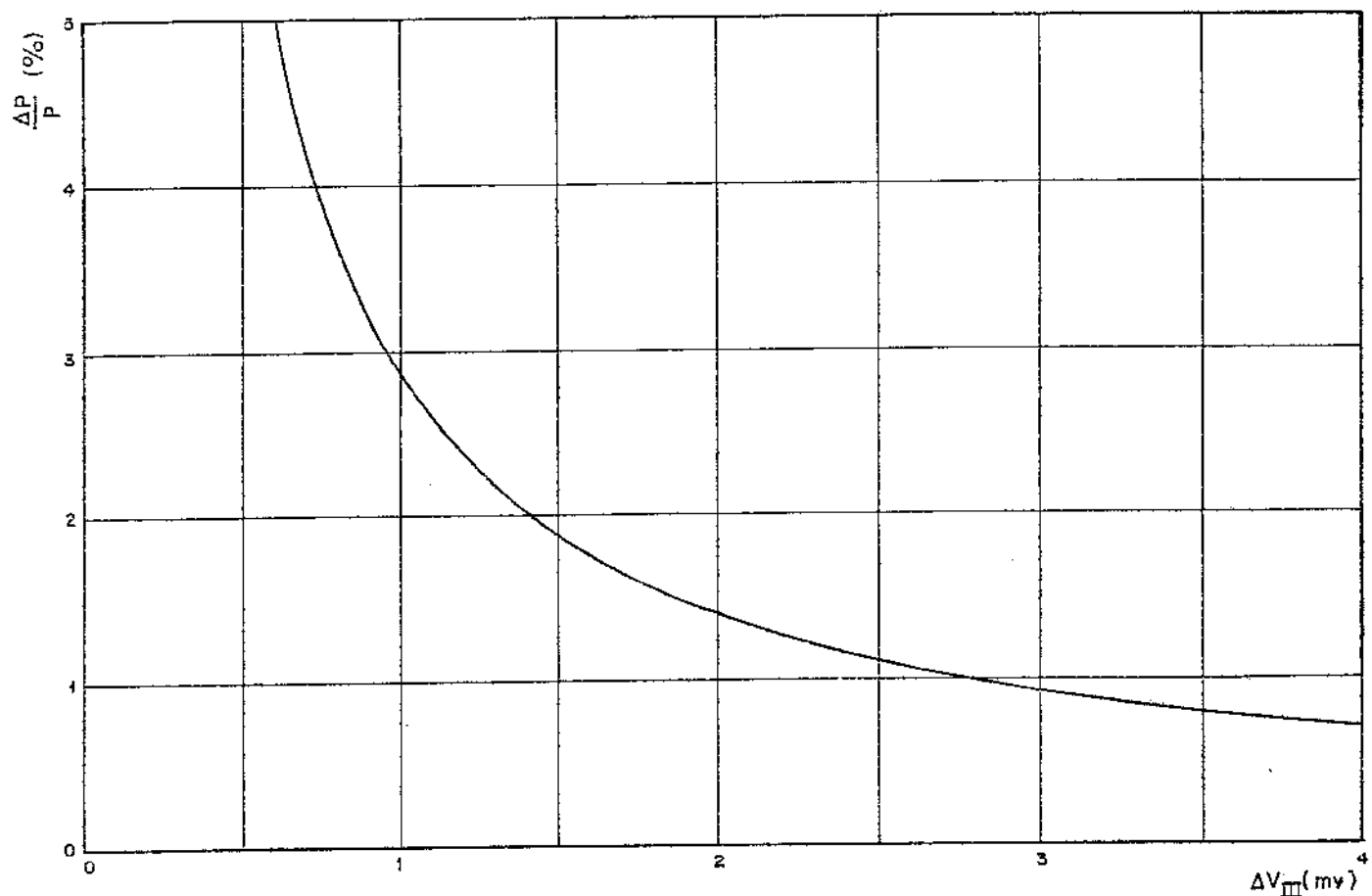


Fig. 3.4 - Erro relativo da força axial,  $P$ , em função das leituras,  $\Delta V_{III}$

A figura 3.5 apresenta a CURVA DE AFERIÇÃO do dinamômetro com os respectivos erros.

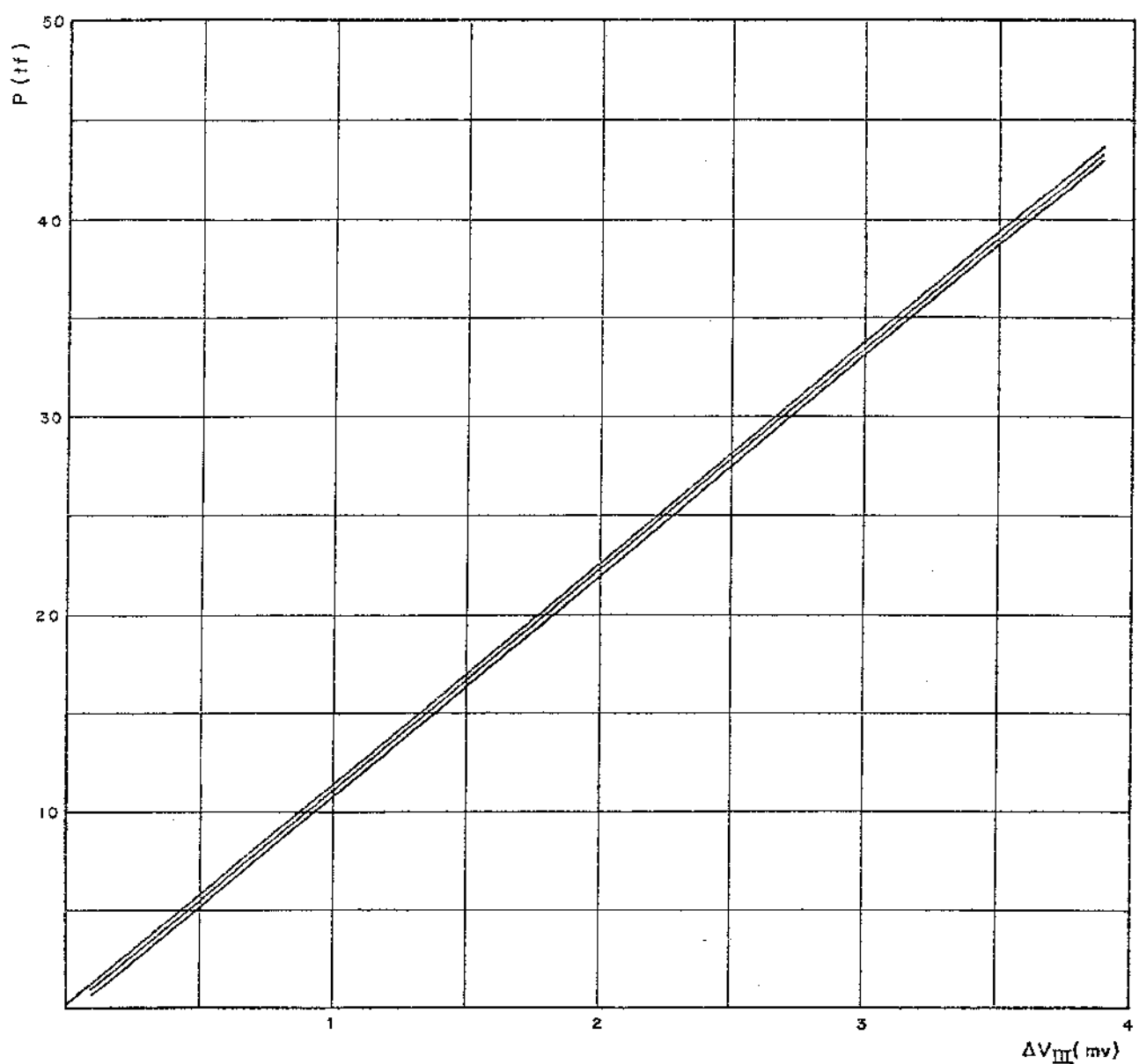


Fig. 3.5 - Curva de aferição do dinamômetro III com os respectivos erros

## CAPÍTULO IV

### ENSAIO E RESULTADOS EXPERIMENTAIS

#### 4.1. GENERALIDADES

O ensaio foi realizado na *CERÂMICA SANTA INÊS, VINHEDO, S.P.*, em dois dias com a máquina operando nas mais variadas condições de trabalho nas umidades normais da matéria prima durante a produção. No total, foram realizados 28 ensaios, sendo que em cada um deles determinaram-se 20 momentos torções do eixo de acionamento, 20 momentos torções no eixo principal e 20 forças axiais (TABELAS IV.1, IV.2 e IV.3).

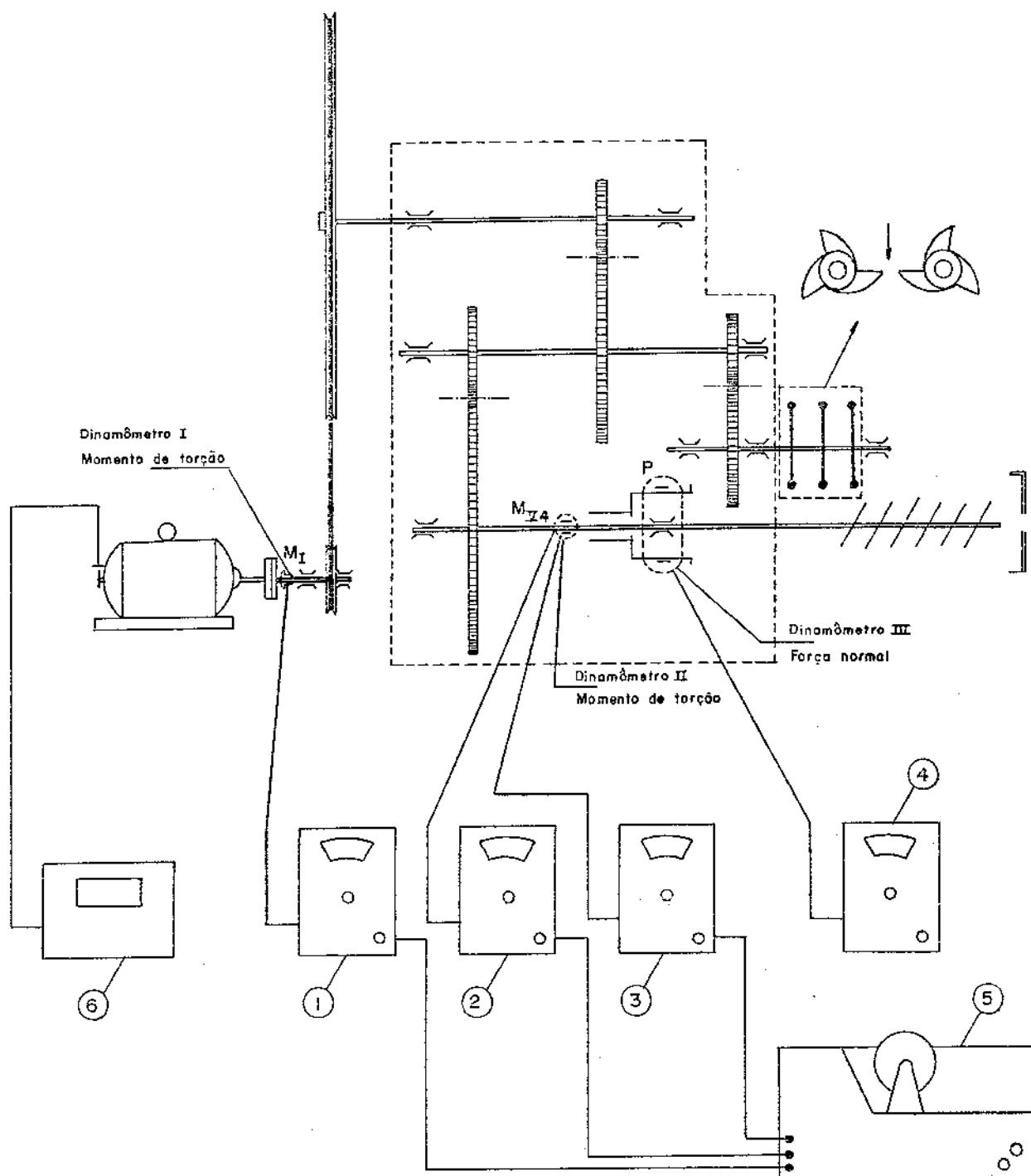
A figura 4.1 apresenta o esquema de montagem dos aparelhos.

#### 4.2. ENSAIO COM O DINAMÔMETRO I

Como foi exposto anteriormente, no item 2.1.6, a tensão de saída da ponte,  $\Delta V_I$ , foi lançada em um registrador e registrada em folha de papel milimetrado, conforme mostra a figura 4.2. Antes do ensaio, procedeu-se ao balanceamento da *PONTE* e registrou-se o sinal de *ZERO*. Em seguida, fez-se uma aferição da *PONTE* para determinar a correspondência entre *MILÍMETRO* e *MILIVOLT* (figura 4.3). Assim, por meio de uma simples medida no papel milimetrado pode-se determinar a tensão de saída  $\Delta V_I$ , e consequentemente, através da equação (3.2.1), o momento torçor  $M_I$  em cada instante do ensaio. Em cada ensaio foram realizadas 20 medidas e determinados 20 momentos torções conforme mostram a figura 4.2 e a TABELA IV.1 que apresentam os resultados experimentais do ENSAIO 24.

#### 4.3. ENSAIO COM O DINAMÔMETRO II

Como foi exposto anteriormente, no item 2.2.7, as tensões de saída das *PONTES A e B*, ou seja,  $\Delta V_{AII}$  e  $\Delta V_{BII}$  respectivamente, foram lançadas em um registrador e registradas em folha de papel milimetrado, conforme mostra a figura 4.2. Antes do en-



① : Ponte Amplificadora do Dinamômetro I

② : "Ponte A" do Dinamômetro II

③ : "Ponte B" do Dinamômetro II

④ : Ponte Amplificadora do Dinamômetro III

⑤ : Registrador

⑥ : Estroboscópio

Fig. 4.1 – Esquema de Montagem dos Aparelhos Utilizados

saio foram feitos os balanceamentos das *PONTES A e B* e registra -  
dos os respectivos sinais de *ZERO*. Em seguida, procedeu-se a uma  
aferição de cada uma destas *PONTES* para se determinar as corres -  
pondências entre *MILIMETRO* e *MILIVOLT* (figura 4.3). Assim, por  
meio de duas medidas no papel milimetrado puderam-se obter as ten -  
sões de saída  $\Delta V_{AII}$  e  $\Delta V_{BII}$ , e consequentemente, através da equa -  
ção (2.2.7), o momento torçor  $M_{Y4}$  em cada instante do ensaio.  
Em cada ensaio foram realizadas 20 medidas de cada uma das ten -  
sões de saída e determinados 20 momentos torções conforme mos -  
tram a figura 4.2 e a TABELA IV.2 que apresentam os resultados ex -  
perimentais do ensaio 24.

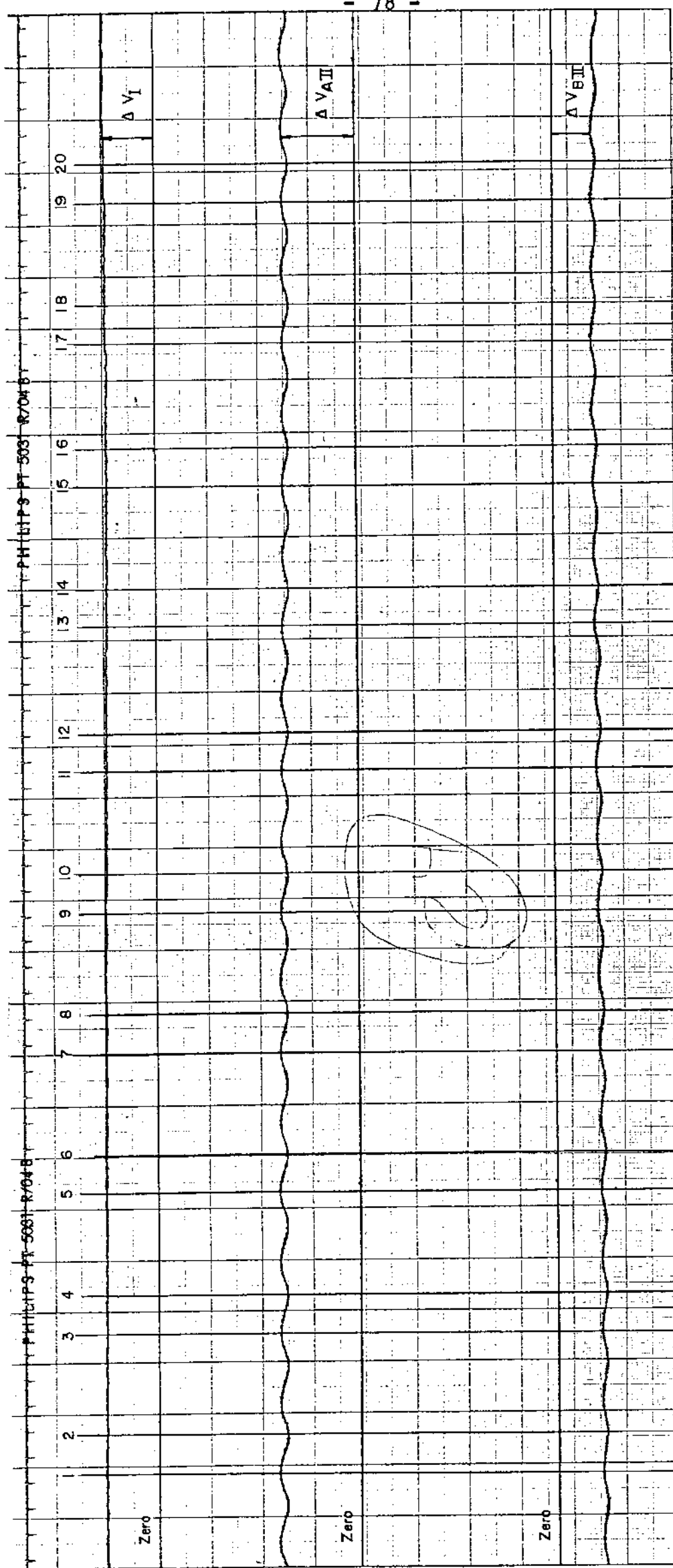


Fig. 4.2: Registro do ensaio nº 24

$\Delta V_AII$  = tensão de saída da "ponte A" do dinamômetro I

$\Delta V_BII$  = tensão de saída da "ponte B" do dinamômetro II

$\Delta V_I$  = tensão de saída da ponte do dinamômetro I

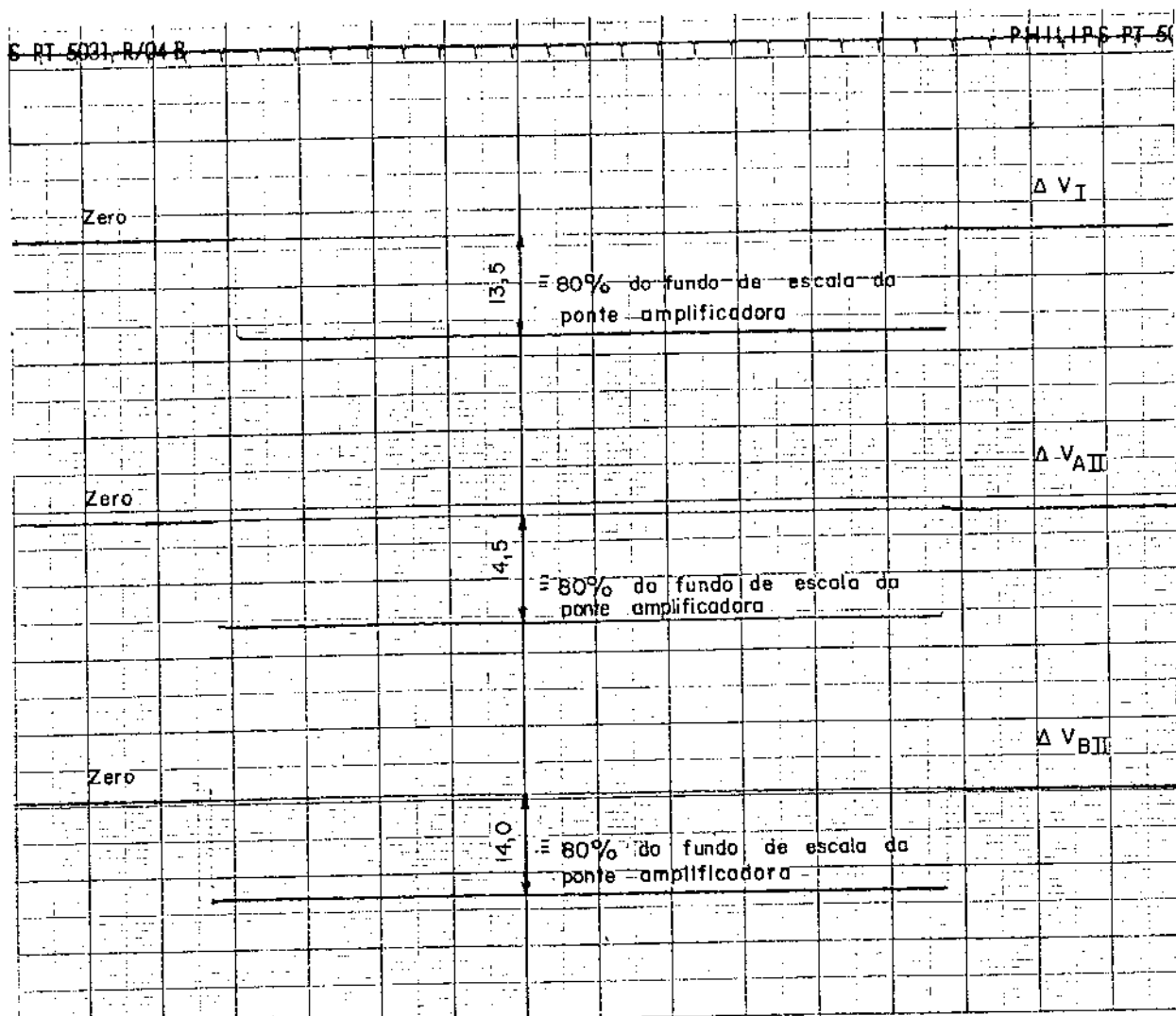


Fig. 4.3. - Aferição da ponte do dinamômetro I e das pontes A e B do dinamômetro II.

TABELA IV.1 - RESULTADOS EXPERIMENTAIS DO MOMENTO TORÇOR  $M_I$  DURANTE O ENSAIO 24

ENSAIO	PONTO DE MEDIDA	MEDIDA [mm]	FATOR [mV/mm]	$\Delta V_I$ [mV]	$M_I$ [kgf.cm]
	1	10,0	0,296	2,96	3.332
	2	10,0	0,296	2,96	3.332
	3	10,0	0,296	2,96	3.332
	4	10,0	0,296	2,96	3.332
	5	10,0	0,296	2,96	3.332
	6	10,0	0,296	2,96	3.332
	7	10,0	0,296	2,96	3.332
	8	10,0	0,296	2,96	3.332
24	9	10,0	0,296	2,96	3.332
	10	10,0	0,296	2,96	3.332
	11	9,5	0,296	2,81	3.161
	12	9,5	0,296	2,81	3.161
	13	9,5	0,296	2,81	3.161
	14	9,5	0,296	2,81	3.161
	15	9,5	0,296	2,81	3.161
	16	9,5	0,296	2,81	3.161
	17	9,5	0,296	2,81	3.161
	18	9,5	0,296	2,81	3.161
	19	9,5	0,296	2,81	3.161
	20	9,5	0,296	2,81	3.161

TABELA IV.2 - RESULTADOS EXPERIMENTAIS DO MOMENTO TORÇOR  $M_{V4}$  DURANTE O ENSAIO 24

ENSAIO	PONTO DE MEDIDA	PONTE A			PONTE B			$M_{V4}$ [kgf.cm]
		MEDIDA [mm]	FATOR [mV/mm]	$\Delta V_{AII}$ [mV]	MEDIDA [mm]	FATOR [mV/mm]	$\Delta V_{BII}$ [mV]	
	1	15,5	0,110	1,70	-8,5	0,114	-0,97	141.444
	2	14,5	0,110	1,59	-9,5	0,114	-1,08	141.650
	3	15,5	0,110	1,70	-8,5	0,114	-0,97	141.444
	4	14,5	0,110	1,59	-9,5	0,114	-1,08	141.650
	5	15,5	0,110	1,70	-8,5	0,114	-0,97	141.444
	6	14,5	0,110	1,59	-9,5	0,114	-1,08	141.650
	7	15,0	0,110	1,65	-8,5	0,114	-0,97	138.533
	8	14,0	0,110	1,54	-9,5	0,114	-1,08	138.739
24	9	15,0	0,110	1,65	-8,0	0,114	-0,91	135.520
	10	14,0	0,110	1,54	-9,0	0,114	-1,02	135.726
	11	15,0	0,110	1,65	-8,0	0,114	-0,91	135.520
	12	14,0	0,110	1,54	-9,0	0,114	-1,02	135.726
	13	14,5	0,110	1,59	-8,0	0,114	-0,91	132.610
	14	13,5	0,110	1,48	-9,0	0,114	-1,02	132.816
	15	14,0	0,110	1,54	-8,0	0,114	-0,91	129.700
	16	13,0	0,110	1,43	-9,0	0,114	-1,02	129.905
	17	14,0	0,110	1,54	-7,5	0,114	-0,85	126.686
	18	13,0	0,110	1,43	-8,5	0,114	-0,97	126.892
	19	14,0	0,110	1,54	-7,5	0,114	-0,85	126.686
	20	13,0	0,110	1,43	-8,5	0,114	-0,97	126.892

4.4. DETERMINAÇÃO DOS MOMENTOS TORÇORES ATUANTES NOS DIVERSOS EIXOS DA MÁQUINA

Tendo-se determinado o momento torçor no eixo de acionamento,  $M_I$ , e o momento torçor no eixo principal,  $M_{V4}$ , puderam-se calcular, através das equações fornecidas nos itens 1.2 e 1.3, os momentos torçores em todos os eixos da máquina. Para tanto, fez-se um *PROGRAMA COMPUTACIONAL* onde os dados de entrada eram as *MEDIDAS EM MILÍMETROS* e os *FATORES DE CORRESPONDÊNCIA MILIMETRO E MILIVOLT* DE CADA PONTE em cada ensaio. Este *PROGRAMA* é o apresentado a seguir.

```
SUBROUTINE EPSNVO(FAT,ME,MV,EPS,A)
REAL ME,MV
MV=FAT*ME
EPS=A*MV
RETURN
END

REAL MEDE(3,32,20),MT1(32,10),MT2(32,10),MT3(32,10)
REAL MT3LT(32,10),MT3LC(32,10),MT3LLT(32,10),MT3LLC(32,10)
REAL MT5I(32,10),MT5C(32,10),MI
DIMENSION DI(10),ETA(10),FATOR(3,32,20),DEV(32,10),EPS1(32,10)
DIMENSION DVA(2,32,20),DVB(2,32,20),EPA(2,32,20),EPB(2,32,20)
DIMENSION EPAT(32,10),EPBT(32,10),EPAC(32,10),EPBC(32,10)
DIMENSION DVAT(32,10),DVBT(32,10),DVAC(32,10),DVBC(32,10)
DIMENSION TAXYT(32,10),TAXYC(32,10)

K0=1
K1=2
K2=3
READ(2,102)NI,NJ,NK,KSEP
READ(2,101)A,MI,E,D
READ(2,103)(DI(K),K=1,6)
READ(2,104)(ETA(K),K=1,8)
READ(2,105)CA,CL
DO 817 I=1,NI
DO 889 J=1,NJ
READ(2,124)FATOR(K0,I,J),MEDE(K0,I,J)
124 FORMAT(2F)
889 CONTINUE
817 CONTINUE
DO 13 I=1,NI
DO 15 J=1,NK
READ(2,111)FATOR(K1,I,J),MEDE(K1,I,J),FATOR(K2,I,J),MEDE(K2,I,J)
111 FORMAT(4F)
15 CONTINUE
13 CONTINUE
WRITE(5,102)NI,NJ,NK,KSEP
WRITE(5,101)A,MI,E,D
WRITE(5,103)(DI(K),K=1,6)
WRITE(5,104)(ETA(K),K=1,8)
WRITE(5,105)CA,CL
102 FORMAT(4I4)
101 FORMAT(4F)
103 FORMAT(6F)
104 FORMAT(8F)
105 FORMAT(2F)
DO 709 JAZ=1,20
WRITE(5,959)
959 FORMAT(//,20X,'I N I S C I O D A S T A B E L A S !')
709 CONTINUE
DO 201 I=1,NI
DO 202 J=1,NJ
A1=FATOR(K0,I,J)
A2=MEDE(K0,I,J,
CALL EPSNVO(A1,A2,VM,EPX,A)
DEV(I,J)=VM
EPS1(I,J)=EPX
MT1(I,J)=CA*DEV(I,J)-CL
202 CONTINUE
201 CONTINUE
DO 214 I=1,NI
```

```
DO 212 J=1,NK
AB1=FATOR(K1,I,J)
AB2=MEDE(K1,I,J)
AB3=FATOR(K2,I,J)
AB4=MEDE(K2,I,J)
CALL EPSNVO(AB1,AB2,DVAX,EPAX,A)
DVA(K1,I,J)=DVAX
EPA(K1,I,J)=EPAX
CALL EPSNVO(AB3,AB4,DVBX,EPBX,A)
DVB(K2,I,J)=DVBX
EPB(K2,I,J)=EPBX
212 CONTINUE
DO 390 IAZ=1,10
WRITE(5,301)I
301 FORMAT(//,40X,'ENSAIO NUMERO      ',I2,///)
390 CONTINUE
WRITE(5,551)
551 FORMAT(//,20X,'VALORES DE DVA,EPA,DVB E EPB  ',//,25X,'DVA',20X,'E
*PA',20X,'DVB',20X,'EPB',//)
DO 556 J=1,NK
WRITE(5,771)DVA(K1,I,J),EPA(K1,I,J),DVB(K2,I,J),EPB(K2,I,J)
771 FORMAT(//,20X,4E20.8)
556 CONTINUE
MA=0
J=1
GOTO 50
60 J=J+2
50 LK=J+1
MA=MA+1
WRITE(5,B18)MA
B18 FORMAT(//,30X,'VALOR DO INDICE MATRICIAL MA SEPARADO   ',I2)
EPAT(I,MA)=EPA(K1,I,J)
EPBT(I,MA)=EPB(K2,I,J)
EPAC(I,MA)=EPA(K1,I,LK)
EPBC(I,MA)=EPB(K2,I,LK)
DVAT(I,MA)=DVA(K1,I,J)
DVBT(I,MA)=DVB(K2,I,J)
DVAC(I,MA)=DVA(K1,I,LK)
DVBC(I,MA)=DVB(K2,I,LK)
IF(MA=KSEP)60,70,70
70 MX=888
WRITE(5,304)MX
304 FORMAT(//,35X,' CRIACAO DA MATRIZ DE T * C  ',5X,I3,///)
DO 215 J=1,NJ
TAXYT(I,J)=(E/((1.+MI)*4.))*(EPAT(I,J)-EPBT(I,J))
TAXYC(I,J)=(E/((1.+MI)*4.))*(EPAC(I,J)-EPBC(I,J))
MT5T(I,J)=(3.141592*((D)*3.)*TAXYT(I,J))/16.
MT5C(I,J)=(3.141592*((D)*3.)*TAXYC(I,J))/16.
MT2(I,J)=(DI(1)/DI(2))*ETA(1)*ETA(2)*ETA(3)*MT1(I,J)
MT3LT(I,J)=MT5T(I,J)*(DI(5)/DI(6))*(1./(ETA(7)*ETA(8)))
MT3LC(I,J)=MT5C(I,J)*(DI(5)/DI(6))*(1./(ETA(7)*ETA(8)))
MT3(I,J)=MT2(I,J)*(DI(3)/DI(4))*ETA(5)*ETA(6)
MT3LLT(I,J)=MT3(I,J)*MT3LT(I,J)
```

```
MT3LLC(I,J)=MT3(I,J)=MT3LC(I,J)
215 CONTINUE
      WRITE(5,300)
300 FORMAT(////////,20X,'E N S A I O C O M P O N T E S L O C A L I Z A
* D A N O E I X O D E S A I D A D O M O T O R ! , // / / / )
      WRITE(5,302)
302 FORMAT(//,20X,'FATOR!',13X,'MEDIDA!',13X,'DELTA V!',12X,'DEFORMACAO!',
*11X,'MOMENTO TORCOR !')
      WRITE(5,303)(FATOR(K0,I,J),MEDE(K0,I,J),DEV(I,J),EPS1(I,J),MT1(I,J
*),J=1,NJ)
303 FORMAT(///,10X,5E20,7)
      WRITE(5,979)
979 FORMAT(////////,20X,'E N S A I O S F I N A I S N A S P O N T
* E S A E B ! , // / / / )
      WRITE(5,333)K1,K2
333 FORMAT(///,20X,'E N S A I O E F E T U A D O N A S D I V E R S
* S A S P O N T E S D O E I X O ! , // / , 'PONTE A CORRESPONDE AO VA
* BLOR DE K1 = ! , 5X,I2, // / , 'PONTE B CORRESPONDE AO VALOR DE K2 = ! , 5X,I2, /
* 7 / / / / )
      WRITE(5,622)
622 FORMAT(//,20X,'CARTOES DE DADOS ! , // )
      DO 555 J=1,NK
      WRITE(5,558)FATOR(K1,I,J),MEDE(K1,I,J),FATOR(K2,I,J),MEDE(K2,I,J)
558 FORMAT(10X,'A FATOR = ! E14,7,5X,'A MEDIDA = ! E14,7,5X,'B FATOR =
* ! E14,7,5X,'B MEDIDA = ! E14,7, // )
555 CONTINUE
      WRITE(5,636)
636 FORMAT(///,20X,'E N S A I O C O M P O N T E S L O C A L I Z A D A S N O E I X O P R I N C I P A L ! , /
* // , 25X,'EPSA ! , 16X,'EPSB ! , 16X,'TAXY ! , 14X,'MTORCOR ! , // )
      DO 291 J=1,NJ
      WRITE(5,633)EPAT(I,J),EPBT(I,J),TAXYT(I,J),MT5T(I,J)
      WRITE(5,633)EPAC(I,J),EPBC(I,J),TAXYC(I,J),MT5C(I,J)
633 FORMAT(//,20X,4E20,10)
291 CONTINUE
      WRITE(5,673)
673 FORMAT(///,20X,'MOMENTOS TORCORES ATUANTES N O S EIXOS DA MAROMBA ! , /
* // , 15X,'M1 ! , 15X,'M5 ! , 15X,'M2 ! , 15X,'M3 ! , 15X,'M3L ! , 14X,'M3LL ! )
      DO 297 J=1,NJ
      WRITE(5,671)MT1(I,J),MT5T(I,J),MT2(I,J),MT3(I,J),MT3LT(I,J),MT3LLT
* (I,J)
      WRITE(5,671)MT1(I,J),MT5C(I,J),MT2(I,J),MT3(I,J),MT3LC(I,J),MT3LLC
* 4(I,J)
671 FORMAT(//,10X,6E18,9)
297 CONTINUE
214 CONTINUE
      DO 47 LM=1,20
      WRITE(5,715)
715 FORMAT(///,20X,'F I M D A S T A B E L A S ! )
47 CONTINUE
```

As TABELAS, a seguir, apresentam os resultados experimentais dos momentos torcôres atuantes nos diversos eixos da máquina (figura 1.1) em todos os ensaios realizados.

MOMENTOS TORCORES ATUANDES LOS KIKOS DA VANDUBA (ENSAIO 1)

$M_I$	$M_{\text{V4}}$	$M_{\text{II1}}$	$M_{\text{III2}}$	$M_{\text{III4}}$	$M_{\text{III3}}$
$8.145924814E+84$	$8.786786777E+83$	$8.946248840E+84$	$8.316959329E+85$	$8.247804268E+85$	$8.691558684E+84$
$8.145924814E+84$	$8.787735881E+85$	$8.846248840E+84$	$8.316959329E+85$	$8.248165885E+85$	$8.687942432E+84$
$8.162952848E+84$	$8.765942812E+85$	$8.944993372E+84$	$8.353943726E+85$	$8.268574890E+85$	$8.853688335E+84$
$8.162952848E+84$	$8.766971045E+85$	$8.944993372E+84$	$8.353943726E+85$	$8.268935715E+85$	$8.85082163E+84$
$8.145924814E+84$	$8.736838986E+85$	$8.846248840E+84$	$8.316959329E+85$	$8.258369988E+85$	$8.525893488E+84$
$8.145924814E+84$	$8.737867939E+85$	$8.846248840E+84$	$8.316959329E+85$	$8.258730813E+85$	$8.522285156E+84$
$8.145924814E+84$	$8.736838986E+85$	$8.846248840E+84$	$8.316959329E+85$	$8.258369988E+85$	$8.515893488E+84$
$8.145924814E+84$	$8.737867939E+85$	$8.846248840E+84$	$8.316959329E+85$	$8.258730813E+85$	$8.502285156E+84$
$8.145924814E+84$	$8.736838986E+85$	$8.846248840E+84$	$8.316959329E+85$	$8.258369988E+85$	$8.505893488E+84$
$8.145924814E+84$	$8.737867939E+85$	$8.846248840E+84$	$8.316959329E+85$	$8.258730813E+85$	$8.502285156E+84$
$8.162952848E+84$	$8.706726777E+85$	$8.944993372E+84$	$8.353943726E+85$	$8.247804268E+85$	$8.126139455E+85$
$8.162952848E+84$	$8.707735881E+85$	$8.944993372E+84$	$8.353943726E+85$	$8.248165885E+85$	$8.125778640E+85$
$8.162952848E+84$	$8.706726777E+85$	$8.944993372E+84$	$8.353943726E+85$	$8.247804268E+85$	$8.126139455E+85$
$8.162952848E+84$	$8.707735881E+85$	$8.944993372E+84$	$8.353943726E+85$	$8.248165885E+85$	$8.125778640E+85$
$8.162952848E+84$	$8.706726777E+85$	$8.944993372E+84$	$8.353943726E+85$	$8.247804268E+85$	$8.126139455E+85$
$8.162952848E+84$	$8.707735881E+85$	$8.944993372E+84$	$8.353943726E+85$	$8.248165885E+85$	$8.125778640E+85$
$8.162952848E+84$	$8.765942812E+85$	$8.944993372E+84$	$8.353943726E+85$	$8.268574890E+85$	$8.853688355E+84$
$8.162952848E+84$	$8.766971045E+85$	$8.944993372E+84$	$8.353943726E+85$	$8.268935715E+85$	$8.85082163E+84$
$8.162952848E+84$	$8.765942812E+85$	$8.944993372E+84$	$8.353943726E+85$	$8.268574890E+85$	$8.853688355E+84$
$8.162952848E+84$	$8.766971045E+85$	$8.944993372E+84$	$8.353943726E+85$	$8.268935715E+85$	$8.85082163E+84$

## MOMENTOS TORCORES ATUAIS NOSSOS EIXOS DA MARCHA (ENSAIO 2)

HOMENTOS TORCORES ATUANTES NOS EIXOS DA MARCHA (ENSAIO 3)

M <sub>I</sub>	M <sub>II4</sub>	M <sub>III1</sub>	M <sub>III2</sub>	M <sub>III4</sub>	M <sub>III3</sub>
0,179979202E+04	0,174148223E+05	0,104373790E+05	0,398928115E+05	0,288904692E+05	0,101943423E+05
0,179979702E+04	0,125177256E+05	0,104373790E+05	0,398928115E+05	0,289345520E+05	0,121592575E+05
0,179979202E+04	0,795045117E+05	0,104373790E+05	0,398928115E+05	0,278779793E+05	0,112148323E+05
0,179979302E+04	0,796074150E+05	0,104373790E+05	0,398928115E+05	0,279146620E+05	0,111787495E+05
0,19706517E+04	0,795045117E+05	0,114248243E+05	0,427912510E+05	0,278779793E+05	0,14932717E+05
0,197088517E+04	0,796074150E+05	0,114248243E+05	0,427912510E+05	0,279140620E+05	0,149327183E+05
0,179979282E+04	0,795045117E+05	0,104373790E+05	0,398928115E+05	0,278779793E+05	0,112148323E+05
0,179979282E+04	0,796074150E+05	0,104373790E+05	0,398928115E+05	0,279142620E+05	0,111787495E+05
0,179979282E+04	0,795045117E+05	0,104373790E+05	0,398928115E+05	0,278779793E+05	0,112148323E+05
0,179979282E+04	0,796074150E+05	0,104373790E+05	0,398928115E+05	0,279140620E+05	0,111787495E+05
0,179979282E+04	0,824148223E+05	0,104373790E+05	0,398928115E+05	0,288904692E+05	0,101943423E+05
0,179979282E+04	0,825177256E+05	0,104373790E+05	0,398928115E+05	0,289345520E+05	0,101943423E+05
0,179979282E+04	0,795045117E+05	0,114248243E+05	0,427912510E+05	0,278779793E+05	0,14932717E+05
0,19706517E+04	0,796074150E+05	0,114248243E+05	0,427912510E+05	0,279140620E+05	0,149327183E+05
0,179979282E+04	0,795045117E+05	0,104373790E+05	0,398928115E+05	0,278779793E+05	0,112148323E+05
0,179979282E+04	0,796074150E+05	0,104373790E+05	0,398928115E+05	0,279140620E+05	0,111787495E+05
0,179979282E+04	0,795045117E+05	0,104373790E+05	0,398928115E+05	0,278779793E+05	0,112148323E+05
0,179979282E+04	0,796074150E+05	0,104373790E+05	0,398928115E+05	0,279140620E+05	0,111787495E+05

HOMENTOS TORCORES ATUANTES NOS EIXOS DA MARCHA (ENSAIO 4)

M <sub>I</sub>	M <sub>II4</sub>	M <sub>III1</sub>	M <sub>III2</sub>	M <sub>III4</sub>	M <sub>III3</sub>
0,210665097E+04	0,100232889E+06	0,122169143E+05	0,457579946E+05	0,351463120E+05	0,106116826E+05
0,210665097E+04	0,989373652E+05	0,122169143E+05	0,457579946E+05	0,346920415E+05	0,110659531E+05
0,210665097E+04	0,987799527E+05	0,122169143E+05	0,457579946E+05	0,346365298E+05	0,111214648E+05
0,210665097E+04	0,974085293E+05	0,122169143E+05	0,457579946E+05	0,341822588E+05	0,115757358E+05
0,197041210E+04	0,973724453E+05	0,114268247E+05	0,427987437E+05	0,341082432E+05	0,869050849E+04
0,197041210E+04	0,959769219E+05	0,114268247E+05	0,427987437E+05	0,336539722E+05	0,914477148E+04
0,231101022E+04	0,10232889E+05	0,1340224467E+05	0,501968711E+05	0,351463120E+05	0,150505591E+05
0,231101022E+04	0,989373652E+05	0,1340224467E+05	0,501968711E+05	0,346920415E+05	0,150505591E+05
0,217477139E+04	0,100232889E+06	0,126119590E+05	0,472376196E+05	0,351463120E+05	0,122913376E+05
0,217477139E+04	0,102443972E+06	0,126119590E+05	0,472376196E+05	0,352233276E+05	0,128172920E+05
0,210665097E+04	0,100232889E+06	0,122169143E+05	0,457579946E+05	0,351463120E+05	0,126116826E+05
0,210665097E+04	0,989373652E+05	0,122169143E+05	0,457579946E+05	0,346920415E+05	0,112659531E+05
0,210665097E+04	0,100232889E+06	0,122169143E+05	0,457579946E+05	0,351463120E+05	0,126116826E+05
0,210665097E+04	0,989373652E+05	0,122169143E+05	0,457579946E+05	0,346920415E+05	0,126116826E+05
0,210665097E+04	0,989373652E+05	0,122169143E+05	0,457579946E+05	0,346920415E+05	0,126116826E+05
0,210665097E+04	0,972724453E+05	0,115218694E+05	0,442783682E+05	0,341082432E+05	0,121781252E+05
0,203853292E+04	0,959769219E+05	0,118218694E+05	0,442783682E+05	0,336539722E+05	0,106243968E+05
0,197041210E+04	0,972724453E+05	0,114268247E+05	0,427987437E+05	0,341082432E+05	0,869050849E+04
0,197041210E+04	0,972724453E+05	0,114268247E+05	0,427987437E+05	0,336539722E+05	0,914477148E+04
0,197041210E+04	0,959769219E+05	0,114268247E+05	0,427987437E+05	0,341082432E+05	0,869050849E+04
0,197041210E+04	0,959769219E+05	0,114268247E+05	0,427987437E+05	0,336539722E+05	0,914477148E+04

MOMENTOS TORCORES ATUAVIETES NOS EIXOS DA MANDOMBA (ENSAIO 5)

M <sub>I</sub>	M <sub>V4</sub>	M <sub>II1</sub>	M <sub>II2</sub>	M <sub>III4</sub>	M <sub>III3</sub>
0,2838532852E+04	0,943128039E+05	0,118218694E+05	0,442793682E+05	0,330781748E+05	0,112681934E+05
0,203851852E+04	0,945238659E+05	0,118218694E+05	0,442783682E+05	0,331441899E+05	0,111341782E+05
0,197241818E+04	0,943128039E+05	0,114268247E+05	0,427987437E+05	0,330781748E+05	0,972856885E+04
0,197241818E+04	0,945238659E+05	0,114268247E+05	0,427987437E+05	0,331441899E+05	0,965455371E+04
0,197241818E+04	0,943128039E+05	0,114268247E+05	0,427987437E+05	0,330781748E+05	0,972856885E+04
0,197241818E+04	0,945238659E+05	0,114268247E+05	0,427987437E+05	0,331441899E+05	0,965455371E+04
0,2838532852E+04	0,958186104E+05	0,118218694E+05	0,442783682E+05	0,335984609E+05	0,106781012E+05
0,2838532852E+04	0,968296914E+05	0,118218694E+05	0,442783682E+05	0,336724766E+05	0,126058916E+05
0,2838532852E+04	0,972724453E+05	0,118218694E+05	0,442783682E+05	0,341082432E+05	0,101781253E+05
0,2838532852E+04	0,974835293E+05	0,118218694E+05	0,442783682E+05	0,341822588E+05	0,122961094E+05
0,218665297E+04	0,972724453E+05	0,122189143E+05	0,457579946E+05	0,341082432E+05	0,116497515E+05
0,218665297E+04	0,974835293E+05	0,122189143E+05	0,457579946E+05	0,341822588E+05	0,115757358E+05
0,2838532852E+04	0,972724453E+05	0,118218694E+05	0,442783682E+05	0,341082432E+05	0,101781253E+05
0,2838532852E+04	0,974935293E+05	0,118218694E+05	0,442783682E+05	0,341622588E+05	0,122961094E+05
0,190228964E+04	0,943128039E+05	0,130317798E+05	0,413191177E+05	0,330781748E+05	0,624891287E+04
0,192228964E+04	0,945238659E+05	0,110317798E+05	0,413191177E+05	0,331441899E+05	0,817472773E+04
0,190228964E+04	0,913515596E+05	0,110317798E+05	0,413191177E+05	0,328321205E+05	0,9237d1210E+04
0,193228964E+04	0,915626426E+05	0,110317798E+05	0,413191177E+05	0,321861224E+05	0,921297731E+04
0,192228964E+04	0,913515596E+05	0,110317798E+05	0,413191177E+05	0,328321205E+05	0,928701270E+04
0,198226964E+04	0,915626426E+05	0,110317798E+05	0,413191177E+05	0,321861224E+05	0,921297731E+04

MOMENTOS TORCORES ATUAVIETES NOS EIXOS DA MANDOMBA (ENSAIO 6)

M <sub>I</sub>	M <sub>V4</sub>	M <sub>II1</sub>	M <sub>II2</sub>	M <sub>III4</sub>	M <sub>III3</sub>
0,231862986E+04	0,12018539E+05	0,133997150E+05	0,581881304E+05	0,351296587E+05	0,150584717E+05
0,231862986E+04	0,100391201E+05	0,133997150E+05	0,581881304E+05	0,352018237E+05	0,169863066E+05
0,231862986E+04	0,103198608E+05	0,133997150E+05	0,581881304E+05	0,361062314E+05	0,148018989E+05
0,231862986E+04	0,103484415E+05	0,133997150E+05	0,521881304E+05	0,362583972E+05	0,139297334E+05
0,231862986E+04	0,103198608E+05	0,133997150E+05	0,521881304E+05	0,361062314E+05	0,148018989E+05
0,231862986E+04	0,103484415E+05	0,133997150E+05	0,521881304E+05	0,362583972E+05	0,139297334E+05
0,231862986E+04	0,103198608E+05	0,133997150E+05	0,521881304E+05	0,361062314E+05	0,1422018989E+05
0,231862986E+04	0,103484415E+05	0,133997150E+05	0,521881304E+05	0,362583972E+05	0,139297334E+05
0,231862986E+04	0,103198608E+05	0,133997150E+05	0,521881304E+05	0,361062314E+05	0,1422018989E+05
0,231862986E+04	0,103484415E+05	0,133997150E+05	0,521881304E+05	0,362583972E+05	0,139297334E+05
0,214233752E+04	0,100185396E+05	0,131997150E+05	0,521881304E+05	0,351296587E+05	0,152584717E+05
0,214233752E+04	0,100185396E+05	0,124122698E+05	0,464896989E+05	0,352018237E+05	0,149883066E+05
0,214233752E+04	0,100185396E+05	0,124122698E+05	0,464896989E+05	0,351296587E+05	0,113580322E+05
0,214233752E+04	0,100185396E+05	0,124122698E+05	0,464896989E+05	0,352018237E+05	0,112876672E+05
0,231862986E+04	0,942618711E+05	0,133997150E+05	0,581881304E+05	0,330525957E+05	0,171355347E+05
0,231862986E+04	0,944676768E+05	0,133997150E+05	0,581881304E+05	0,331247607E+05	0,172633696E+05
0,231862986E+04	0,942618711E+05	0,124122698E+05	0,464896989E+05	0,330525957E+05	0,1334378952E+05
0,231862986E+04	0,944676768E+05	0,124122698E+05	0,464896989E+05	0,331247607E+05	0,1334378952E+05
0,214233752E+04	0,942618711E+05	0,1142424243E+05	0,427987437E+05	0,330525957E+05	0,973865527E+04
0,197226517E+04	0,944676768E+05	0,1142424243E+05	0,427987437E+05	0,331247607E+05	0,950004243E+04
0,197226517E+04	0,942618711E+05	0,1142424243E+05	0,427987437E+05	0,330525957E+05	0,973865527E+04
0,197226517E+04	0,944676768E+05	0,1142424243E+05	0,427987437E+05	0,331247607E+05	0,950004243E+04

**ASPECTOS TORCORES ATUANJES NOSSOS EIXOS DA MANDADA (ENSAIO 7)**

M <sub>I</sub>	M <sub>IV</sub>	M <sub>II</sub>	M <sub>III</sub>	M <sub>III</sub>	M <sub>III</sub>
0,265115457E+04	0,169819229E+05	0,153746857E+05	0,57585893E+05	0,382272114E+05	0,193577979E+05
0,265115457E+04	0,169225036E+05	0,153746057E+05	0,57585893E+05	0,382993770E+05	0,192856323E+05
0,265115457E+04	0,169019229E+05	0,153746057E+05	0,57585893E+05	0,382272114E+05	0,193577979E+05
0,265115457E+04	0,169225036E+05	0,153746857E+05	0,57585893E+05	0,382993770E+05	0,192856323E+05
0,265115457E+04	0,169019229E+05	0,153746057E+05	0,57585893E+05	0,382272114E+05	0,193577979E+05
0,265115457E+04	0,169225036E+05	0,153746057E+05	0,57585893E+05	0,382993770E+05	0,192856323E+05
0,265115457E+04	0,169819229E+05	0,153746057E+05	0,57585893E+05	0,382272114E+05	0,193577979E+05
0,265115457E+04	0,169225036E+05	0,153746857E+05	0,57585893E+05	0,382993770E+05	0,192856323E+05
0,24888223E+04	0,169019229E+05	0,143871605E+05	0,538865703E+05	0,382272114E+05	0,136593549E+05
0,24888223E+04	0,169225036E+05	0,143871605E+05	0,538865703E+05	0,382993770E+05	0,155871954E+05
0,24888223E+04	0,166108919E+05	0,143871605E+05	0,538865703E+05	0,372667212E+05	0,166730421E+05
0,24888223E+04	0,166108919E+05	0,143871605E+05	0,538865703E+05	0,372788867E+05	0,166276836E+05
0,24888223E+04	0,166108919E+05	0,143871605E+05	0,538865703E+05	0,372667212E+05	0,156798491E+05
0,24888223E+04	0,166314725E+05	0,143871605E+05	0,538865703E+05	0,372788867E+05	0,166276836E+05
0,231268988E+04	0,166108919E+05	0,133997150E+05	0,501881304E+05	0,372667212E+05	0,129814032E+05
0,231068988E+04	0,166314725E+05	0,133997150E+05	0,501881304E+05	0,372788867E+05	0,129892433E+05
0,231068988E+04	0,166108919E+05	0,133997150E+05	0,501881304E+05	0,351296587E+05	0,150584717E+05
0,231268988E+04	0,166108919E+05	0,133997150E+05	0,501881304E+05	0,352018237E+05	0,149883256E+05
0,231068988E+04	0,166108919E+05	0,133997150E+05	0,501881304E+05	0,351296587E+05	0,150584717E+05
0,231068988E+04	0,166314725E+05	0,133997150E+05	0,501881304E+05	0,352018237E+05	0,149883256E+05

MEMENTOS TORCORES ATUANTES nos eixos da MAROMBA (ENSAIO 8)

M <sub>I</sub>	M <sub>IV</sub>	M <sub>II</sub>	M <sub>III</sub>	M <sub>III</sub>
M <sub>I</sub>	M <sub>IV</sub>	M <sub>II</sub>	M <sub>III</sub>	M <sub>III</sub>
0,248288223E+84	0,1063188919E+85	0,143871685E+85	0,538865703E+85	0,372867212E+85
0,248288223E+84	0,106314725E+85	0,143871685E+85	0,538865703E+85	0,372788867E+85
0,248288223E+84	0,1063188919E+85	0,143871685E+85	0,538865703E+85	0,372867212E+85
0,248288223E+84	0,106314725E+85	0,143871685E+85	0,538865703E+85	0,372788867E+85
0,248288223E+84	0,1063188919E+85	0,143871685E+85	0,538865703E+85	0,382272114E+85
0,248288223E+84	0,106314725E+85	0,143871685E+85	0,538865703E+85	0,382993770E+85
0,248288223E+84	0,1063188919E+85	0,143871685E+85	0,538865703E+85	0,372867212E+85
0,248288223E+84	0,106314725E+85	0,143871685E+85	0,538865703E+85	0,372788867E+85
0,231266986E+84	0,106188919E+85	0,133997150E+85	0,521881384E+85	0,372867212E+85
0,231266986E+84	0,106314725E+85	0,133997150E+85	0,521881384E+85	0,372788867E+85
0,231266986E+84	0,106188919E+85	0,133997150E+85	0,521881384E+85	0,372867212E+85
0,231266986E+84	0,106314725E+85	0,133997150E+85	0,521881384E+85	0,351296587E+85
0,231266986E+84	0,1063188919E+85	0,133997150E+85	0,521881384E+85	0,3522018237E+85
0,231266986E+84	0,106314725E+85	0,133997150E+85	0,521881384E+85	0,330525957E+85
0,231266986E+84	0,1063188919E+85	0,133997150E+85	0,521881384E+85	0,331247667E+85
0,214233752E+84	0,942618711E+85	0,124122698E+85	0,454396989E+85	0,330525957E+85
0,214233752E+84	0,944676708E+85	0,124122698E+85	0,464396989E+85	0,331247667E+85
0,214233752E+84	0,942618711E+85	0,124122698E+85	0,454396989E+85	0,330525957E+85
0,214233752E+84	0,944676708E+85	0,124122698E+85	0,454396989E+85	0,331247667E+85
0,197266517E+84	0,103303467E+85	0,114242631E+85	0,42791251PE+85	0,329755325E+85
0,197266517E+84	0,103441533E+85	0,114242431E+85	0,42791251PE+85	0,318476982E+85

MOMENTOS TORCORES ATUANTES NOS EIXOS DA MAROMBA (ENSAIO 9)

M <sub>I</sub>	M <sub>V4</sub>	M <sub>II1</sub>	M <sub>III2</sub>	M <sub>III4</sub>	M <sub>III3</sub>
0,162980791E+04	0,766812314E+05	0,945162059E+04	0,354200157E+05	0,247841267E+05	0,126164472E+05
0,162980791E+04	0,708195439E+05	0,945162059E+04	0,354200157E+05	0,248396384E+05	0,125629773E+05
0,169792035E+04	0,721818319E+05	0,984664539E+04	0,368802412E+05	0,253124131E+05	0,115678241E+05
0,169792835E+04	0,723481514E+05	0,984664539E+04	0,368802412E+05	0,253679253E+05	0,115123159E+05
0,169792835E+04	0,736416730E+05	0,984664539E+04	0,368802412E+05	0,258221956E+05	0,110584457E+05
0,169792835E+04	0,737999873E+05	0,984664539E+04	0,368802412E+05	0,258777075E+05	0,110225337E+05
0,176604878E+04	0,736416730E+05	0,122415902E+05	0,383598662E+05	0,258221956E+05	0,125376707E+05
0,169792835E+04	0,736416730E+05	0,984664539E+04	0,368802412E+05	0,258777075E+05	0,110584457E+05
0,169792835E+04	0,737999873E+05	0,984664539E+04	0,368802412E+05	0,258777075E+05	0,110225337E+05
0,169792835E+04	0,737999873E+05	0,984664539E+04	0,368802412E+05	0,258221956E+05	0,110584457E+05
0,169792835E+04	0,737999873E+05	0,984664539E+04	0,368802412E+05	0,258777075E+05	0,110225337E+05
0,183416921E+04	0,751482813E+05	0,126367350E+05	0,398394922E+05	0,263504822E+05	0,134890120E+05
0,183416921E+04	0,753265938E+05	0,126367350E+05	0,398394922E+05	0,2642059939E+05	0,134334923E+05
0,176604878E+04	0,781208723E+05	0,102416932E+05	0,383598662E+05	0,273885500E+05	0,139713154E+05
0,176504878E+04	0,782678352E+05	0,122416902E+05	0,383598662E+05	0,274440525E+05	0,129158837E+05
0,176604878E+04	0,795625596E+05	0,102416922E+05	0,383598662E+05	0,27898335E+05	0,134615327E+05
0,176604878E+04	0,797228721E+05	0,102416932E+05	0,383598662E+05	0,279538452E+05	0,1344062210E+05
0,183416921E+04	0,810691670E+05	0,106367350E+05	0,398394922E+05	0,284266221E+05	0,114128721E+05
0,183416921E+04	0,812274795E+05	0,106367350E+05	0,398394922E+05	0,284821316E+05	0,113573686E+05

MOMENTOS TORCORES ATUANTES NOS EIXOS DA MAROMBA (ENSAIO 10)

M <sub>I</sub>	M <sub>V4</sub>	M <sub>II1</sub>	M <sub>III2</sub>	M <sub>III4</sub>	M <sub>III3</sub>
0,210665397E+04	0,883911182E+05	0,122169143E+05	0,457579946E+05	0,30994236E+05	0,147639588E+05
0,210665397E+04	0,885494287E+05	0,122169143E+05	0,457579946E+05	0,310495476E+05	0,14784410E+05
0,203853252E+04	0,883911182E+05	0,118218694E+05	0,442783682E+05	0,329943366E+05	0,132843315E+05
0,203853252E+04	0,885494287E+05	0,118218694E+05	0,442783682E+05	0,312495476E+05	0,132288266E+05
0,203853252E+04	0,854386758E+05	0,118218694E+05	0,442783682E+05	0,299559678E+05	0,143224384E+05
0,203853252E+04	0,855889873E+05	0,118218694E+05	0,442783682E+05	0,300114793E+05	0,142669889E+05
0,210665397E+04	0,869372813E+05	0,122169143E+05	0,457579946E+05	0,30464237E+05	0,152137410E+05
0,210665397E+04	0,870955938E+05	0,122169143E+05	0,457579946E+05	0,305397656E+05	0,152182278E+05
0,203853252E+04	0,883911182E+05	0,118218694E+05	0,442783682E+05	0,329943366E+05	0,132843315E+05
0,203853252E+04	0,885494287E+05	0,118218694E+05	0,442783682E+05	0,312495476E+05	0,132288266E+05
0,203853252E+04	0,863911182E+05	0,118218694E+05	0,442783682E+05	0,309940366E+05	0,132843315E+05
0,210665397E+04	0,885494287E+05	0,122169143E+05	0,457579946E+05	0,30464237E+05	0,152137410E+05
0,197741810E+04	0,883911182E+05	0,314266247E+05	0,427987437E+05	0,309942366E+05	0,11084707E+05
0,197741810E+04	0,885494287E+05	0,114268247E+05	0,427987437E+05	0,310495476E+05	0,117491956E+05
0,197741810E+04	0,854386758E+05	0,114268247E+05	0,427987437E+05	0,299559678E+05	0,128427759E+05
0,197741810E+04	0,855889873E+05	0,114268247E+05	0,427987437E+05	0,320114793E+05	0,157465154E+05
0,203853252E+04	0,839768369E+05	0,118218694E+05	0,442783682E+05	0,294461851E+05	0,148321831E+05
0,203853252E+04	0,841351514E+05	0,118218694E+05	0,442783682E+05	0,295316968E+05	0,147766714E+05

**MONTEZUMAS TORCOPES ATUANTES NOS EIXOS DA MAROMBA (ENSAIO 11)**

M <sub>I</sub>	M <sub>II4</sub>	M <sub>III1</sub>	M <sub>III2</sub>	M <sub>III4</sub>	M <sub>III3</sub>
0,316197159E+04	0,141444258E+05	0,183369417E+05	0,686803272E+05	0,495969348E+05	0,198833926E+05
0,316197159E+04	0,141752967E+05	0,183369417E+05	0,686803272E+05	0,49751826E+05	0,189751445E+05
0,316197159E+04	0,138533945E+05	0,183369417E+05	0,686803272E+05	0,485764439E+05	0,221031833E+05
0,316197159E+04	0,138842656E+05	0,183369417E+05	0,686803272E+05	0,486846924E+05	0,199956348E+05
0,333224396E+04	0,132618424E+05	0,193243872E+05	0,723787676E+05	0,464993814E+05	0,258793802E+05
0,333224396E+04	0,132919131E+05	0,193243872E+05	0,723787676E+05	0,466876284E+05	0,257711392E+05
0,333224396E+04	0,132618424E+05	0,193243872E+05	0,723787676E+05	0,464993814E+05	0,258793852E+05
0,333224396E+04	0,132919131E+05	0,193243872E+05	0,723787676E+05	0,466876284E+05	0,257711392E+05
0,333224396E+04	0,132618424E+05	0,193243872E+05	0,723787676E+05	0,464993814E+05	0,258793852E+05
0,333224396E+04	0,132919131E+05	0,193243872E+05	0,723787676E+05	0,466876284E+05	0,257711392E+05
0,333224396E+04	0,132618424E+05	0,193243872E+05	0,723787676E+05	0,464993814E+05	0,258793852E+05
0,333224396E+04	0,132919131E+05	0,193243872E+05	0,723787676E+05	0,466876284E+05	0,257711392E+05
0,333224396E+04	0,132618424E+05	0,193243872E+05	0,723787676E+05	0,464993814E+05	0,258793852E+05
0,333224396E+04	0,132919131E+05	0,193243872E+05	0,723787676E+05	0,466876284E+05	0,257711392E+05
0,333224396E+04	0,132618424E+05	0,193243872E+05	0,723787676E+05	0,464993814E+05	0,258793852E+05
0,333224396E+04	0,132919131E+05	0,193243872E+05	0,723787676E+05	0,466876284E+05	0,257711392E+05
0,333224396E+04	0,132618424E+05	0,193243872E+05	0,723787676E+05	0,464993814E+05	0,258793852E+05
0,333224396E+04	0,126686920E+05	0,193243872E+05	0,723787676E+05	0,444223189E+05	0,279564417E+05
0,333224396E+04	0,126995620E+05	0,193243872E+05	0,723787676E+05	0,445305564E+05	0,278482012E+05
0,333224396E+04	0,126686920E+05	0,193243872E+05	0,723787676E+05	0,444223189E+05	0,279564497E+05
0,333224396E+04	0,126995620E+05	0,193243872E+05	0,723787676E+05	0,445305564E+05	0,278482012E+05
0,333224396E+04	0,126686920E+05	0,193243872E+05	0,723787676E+05	0,444223189E+05	0,279564497E+05
0,333224396E+04	0,126995620E+05	0,193243872E+05	0,723787676E+05	0,445305564E+05	0,278482012E+05

LIVRARIA DA UNIÃO DA MARANHÃO (ENSAIO 12)

MOMENTOS TORCORES ATUANTES nos EIXOS DA VARONHA (ENSAIO 12)					
M <sub>I</sub>	M <sub>V4</sub>	M <sub>II1</sub>	M <sub>III2</sub>	M <sub>III4</sub>	M <sub>III3</sub>
0,367278664E+04	0,132610424E+05	0,212992776E+05	0,797756455E+05	0,464993814E+05	0,332762642E+05
0,367278664E+04	0,132919131E+05	0,212992776E+05	0,797756455E+05	0,466076284E+05	0,331580171E+05
0,367278864E+04	0,132610424E+05	0,212992776E+05	0,797756455E+05	0,464993814E+05	0,332762642E+05
0,367278864E+04	0,132919131E+05	0,212992776E+05	0,797756455E+05	0,466076284E+05	0,331580171E+05
0,384306101E+04	0,129597210E+05	0,222867231E+05	0,834740869E+05	0,454428086E+05	0,383312783E+05
0,384306101E+04	0,129905918E+05	0,222867231E+05	0,834740869E+05	0,455510562E+05	0,379230308E+05
0,384306101E+04	0,129597210E+05	0,222867231E+05	0,834740869E+05	0,454428086E+05	0,383312783E+05
0,384306101E+04	0,129905918E+05	0,222867231E+05	0,834740869E+05	0,455510562E+05	0,379230308E+05
0,384306101E+04	0,129597210E+05	0,222867231E+05	0,834740869E+05	0,454428086E+05	0,383312783E+05
0,384306101E+04	0,129905918E+05	0,222867231E+05	0,834740869E+05	0,455510562E+05	0,379230308E+05
0,401333334E+04	0,135520732E+05	0,232741685E+05	0,871725254E+05	0,475198711E+05	0,395526543E+05
0,401333334E+04	0,135829441E+05	0,232741685E+05	0,871725254E+05	0,476281167E+05	0,395444057E+05
0,401333334E+04	0,135520732E+05	0,232741685E+05	0,871725254E+05	0,475198711E+05	0,395526543E+05
0,401333334E+04	0,135829441E+05	0,232741685E+05	0,871725254E+05	0,476281167E+05	0,395444057E+05
0,401333334E+04	0,135520732E+05	0,232741685E+05	0,871725254E+05	0,475198711E+05	0,395526543E+05
0,401333334E+04	0,135829441E+05	0,232741685E+05	0,871725254E+05	0,476281167E+05	0,395444057E+05
0,384306101E+04	0,135520732E+05	0,222867231E+05	0,834740869E+05	0,475198711E+05	0,395526543E+05
0,384306101E+04	0,135829441E+05	0,222867231E+05	0,834740869E+05	0,476281167E+05	0,395444057E+05
0,384306101E+04	0,135520732E+05	0,222867231E+05	0,834740869E+05	0,475198711E+05	0,395526543E+05
0,384306101E+04	0,135829441E+05	0,222867231E+05	0,834740869E+05	0,476281167E+05	0,395444057E+05
0,384306101E+04	0,135520732E+05	0,212992776E+05	0,797756455E+05	0,475198711E+05	0,322557744E+05
0,384306101E+04	0,135829441E+05	0,212992776E+05	0,797756455E+05	0,476281167E+05	0,321475259E+05

MOMENTOS TORCORES ATUANTES NOS EIXOS DA VARONHA (ENSAIO 13)					
M <sub>I</sub>	M <sub>IV</sub>	M <sub>II</sub>	M <sub>III2</sub>	M <sub>III4</sub>	M <sub>III3</sub>
0,19228964E+04	0,883911182E+05	0,110317798E+05	0,413191177E+05	0,309946366E+05	0,14252813E+05
0,19228964E+04	0,885494287E+05	0,110317798E+05	0,413191177E+05	0,310495476E+05	0,192695781E+05
0,183416921E+04	0,869372833E+05	0,106367358E+05	0,398394922E+05	0,304842537E+05	0,935523853E+04
0,183416921E+04	0,870955938E+05	0,106367358E+05	0,398394922E+05	0,305397656E+05	0,929972656E+04
0,190228964E+04	0,908977246E+05	0,110317798E+05	0,413191177E+05	0,315223238E+05	0,979679458E+04
0,190228964E+04	0,900560361E+05	0,110317798E+05	0,413191177E+05	0,315778342E+05	0,974128345E+04
0,197841810E+04	0,898977246E+05	0,114268247E+05	0,427987437E+05	0,315223238E+05	0,112764287E+05
0,197841810E+04	0,900560361E+05	0,114268247E+05	0,427987437E+05	0,315778342E+05	0,112289894E+05
0,197841810E+04	0,914843320E+05	0,114268247E+05	0,427987437E+05	0,320506894E+05	0,107481343E+05
0,197841810E+04	0,915626426E+05	0,114268247E+05	0,427987437E+05	0,321061204E+05	0,106926233E+05
0,197841810E+04	0,928581670E+05	0,114268247E+05	0,427987437E+05	0,32563918E+03	0,102383518E+05
0,197841810E+04	0,938164795E+05	0,114268247E+05	0,427987437E+05	0,326159033E+03	0,101828403E+05
0,203853052E+04	0,928581670E+05	0,118218694E+05	0,412783682E+05	0,325603919E+03	0,117179793E+05
0,203853052E+04	0,938164795E+05	0,118218694E+05	0,412783682E+05	0,326159033E+03	0,116626462E+05
0,203853052E+04	0,958186104E+05	0,118218694E+05	0,442783682E+05	0,335984669E+03	0,106799072E+05
0,203853052E+04	0,959769219E+05	0,118218694E+05	0,442783682E+05	0,336539722E+03	0,106243958E+05
0,203853052E+04	0,987798527E+05	0,118218694E+05	0,442783682E+05	0,346365298E+03	0,964183838E+04
0,203853052E+04	0,989373652E+05	0,118218694E+05	0,442783682E+05	0,346920415E+03	0,958632666E+04
0,203853052E+04	0,987790527E+05	0,118218694E+05	0,442783682E+05	0,346365298E+03	0,954103838E+04
0,203853052E+04	0,989373652E+05	0,118218694E+05	0,442783682E+05	0,34692415E+03	0,95832666E+04

MOMENTOS TORCORES ATUANTES NOS EIXOS DA VARONHA (ENSAIO 14)					
M <sub>I</sub>	M <sub>IV</sub>	M <sub>II</sub>	M <sub>III2</sub>	M <sub>III4</sub>	M <sub>III3</sub>
0,367278864E+04	0,138533945E+05	0,212992776E+05	0,797756455E+05	0,485764439E+05	0,311992017E+05
0,367278864E+04	0,138842656E+05	0,212992776E+05	0,797756455E+05	0,486846924E+05	0,310993312E+05
0,367278864E+04	0,141444258E+05	0,212992776E+05	0,797756455E+05	0,495969346E+05	0,301787109E+05
0,367278864E+04	0,141752967E+05	0,212992776E+05	0,797756455E+05	0,497051826E+05	0,322724629E+05
0,384306101E+04	0,141444258E+05	0,222867231E+05	0,834740869E+05	0,495969346E+05	0,338771523E+05
0,384306101E+04	0,141752967E+05	0,222867231E+05	0,834740869E+05	0,497051826E+05	0,337589843E+05
0,384306101E+04	0,141444258E+05	0,222867231E+05	0,834740869E+05	0,495969346E+05	0,338771523E+05
0,384306101E+04	0,143752967E+05	0,222867231E+05	0,834740869E+05	0,497051826E+05	0,337689843E+05
0,384306101E+04	0,147367781E+05	0,222867231E+05	0,834740869E+05	0,516739976E+05	0,318008946E+05
0,384306101E+04	0,147676490E+05	0,222867231E+05	0,834740869E+05	0,517822451E+05	0,316918419E+05
0,401333334E+04	0,147367781E+05	0,232741685E+05	0,871725254E+05	0,516739976E+05	0,354985278E+05
0,401333334E+04	0,147676490E+05	0,232741685E+05	0,871725254E+05	0,517822451E+05	0,353922833E+05
0,401333334E+04	0,147367781E+05	0,232741685E+05	0,871725254E+05	0,516739976E+05	0,354985278E+05
0,401333334E+04	0,147676490E+05	0,232741685E+05	0,871725254E+05	0,517822451E+05	0,353922833E+05
0,421333334E+04	0,147367781E+05	0,232741685E+05	0,871725254E+05	0,516739976E+05	0,354985278E+05
0,421333334E+04	0,147676490E+05	0,232741685E+05	0,871725254E+05	0,517822451E+05	0,354985278E+05
0,421333334E+04	0,147367781E+05	0,232741685E+05	0,871725254E+05	0,517822451E+05	0,354985278E+05
0,461333334E+04	0,147676490E+05	0,232741685E+05	0,871725254E+05	0,517822451E+05	0,353922833E+05
0,461333334E+04	0,147367781E+05	0,232741685E+05	0,871725254E+05	0,517822451E+05	0,354985278E+05
0,461333334E+04	0,147676490E+05	0,232741685E+05	0,871725254E+05	0,517822451E+05	0,353922833E+05
0,484306101E+04	0,147367781E+05	0,222867231E+05	0,834740869E+05	0,516739976E+05	0,316844894E+05
0,484306101E+04	0,147676490E+05	0,222867231E+05	0,834740869E+05	0,517622451E+05	0,31691418E+05
0,507278864E+04	0,147367781E+05	0,212992776E+05	0,797756455E+05	0,516739976E+05	0,281216488E+05
0,507278864E+04	0,147676490E+05	0,212992776E+05	0,797756455E+05	0,517622451E+05	0,279931064E+05

MOMENTOS TORCORES ATUAIS NOSSOS EIXOS DA MAROMBA (ENSAIO 15)

M <sub>I</sub>	M <sub>IV</sub>	M <sub>II</sub>	M <sub>III</sub>	M <sub>III</sub>	M <sub>III</sub>
0,203853052E+04	0,100105396E+06	0,110210694E+05	0,442783682E+05	0,351296587E+05	0,914870947E+04
0,203853252E+04	0,1002089298E+06	0,110210694E+05	0,442783682E+05	0,351637412E+05	0,911202035E+04
0,203853052E+04	0,100105396E+06	0,110210694E+05	0,442783682E+05	0,351296587E+05	0,914870947E+04
0,2038533252E+04	0,1002089298E+06	0,110210694E+05	0,442783682E+05	0,351657412E+05	0,911252675E+04
0,203853252E+04	0,100105396E+06	0,110210694E+05	0,442783682E+05	0,351296587E+05	0,914870947E+04
0,203853052E+04	0,1002089298E+06	0,110210694E+05	0,442783682E+05	0,351657412E+05	0,911252675E+04
0,223853252E+04	0,100105396E+06	0,110210694E+05	0,442783682E+05	0,351296587E+05	0,914870947E+04
0,203853052E+04	0,1002089298E+06	0,110210694E+05	0,442783682E+05	0,351657412E+05	0,911252675E+04
0,223853252E+04	0,100105396E+06	0,110210694E+05	0,442783682E+05	0,351296587E+05	0,914870947E+04
0,203853252E+04	0,1002089298E+06	0,110210694E+05	0,442783682E+05	0,351657412E+05	0,911252675E+04
0,231101227E+04	0,100105396E+06	0,134020487E+05	0,501968711E+05	0,351296587E+05	0,150672124E+05
0,231101227E+04	0,1002089298E+06	0,134020487E+05	0,501968711E+05	0,351657412E+05	0,133112399E+05
0,231101227E+04	0,1002089298E+06	0,134020487E+05	0,501968711E+05	0,372067212E+05	0,129901439E+05
0,231101227E+04	0,106106919E+06	0,134020487E+05	0,501968711E+05	0,372428422E+05	0,129542659E+05
0,231101227E+04	0,106211022E+06	0,134320487E+05	0,501968711E+05	0,372428422E+05	0,129542659E+05
0,231101227E+04	0,112012443E+06	0,134020487E+05	0,501968711E+05	0,392837847E+05	0,139136864E+05
0,231101227E+04	0,112135345E+06	0,134020487E+05	0,501968711E+05	0,393198667E+05	0,138772044E+05
0,231101227E+04	0,109122133E+06	0,134020487E+05	0,501968711E+05	0,382632949E+05	0,11933572E+05
0,231101227E+04	0,109225036E+06	0,134020487E+05	0,501968711E+05	0,382993772E+05	0,118974941E+05
0,231101227E+04	0,112032443E+06	0,134020487E+05	0,501968711E+05	0,392837847E+05	0,129138864E+05
0,231101227E+04	0,112135345E+06	0,134020487E+05	0,501968711E+05	0,393198667E+05	0,128772044E+05
0,224289182E+04	0,109122133E+06	0,130070038E+05	0,487172451E+05	0,352632949E+05	0,124539522E+05
0,224289182E+04	0,109225036E+06	0,130070038E+05	0,487172451E+05	0,382993772E+05	0,1241786522E+05

MOMENTOS TORCORES ATUANTES NOS EIXOS DA MARCHA (ENSAIO 16)

MOMENTOS TORCENOS ATUANTES NOS EIXOS DA TARDMMA (ENSAIO 17)

M <sub>I</sub>	M <sub>IV</sub>	M <sub>II</sub>	M <sub>III</sub>	M <sub>III</sub>	M <sub>III</sub>
0,217477139E+04	0,100105396E+05	0,13037038E+05	0,487172451E+05	0,351296587E+05	0,135875864E+05
0,217477139E+04	0,100391201E+05	0,13037038E+05	0,487172451E+05	0,352018237E+05	0,135154214E+05
0,217477139E+04	-0,1002185396E+06	0,126119590E+05	0,472376196E+05	0,351296587E+05	0,121479689E+05
0,217477139E+04	0,100391201E+05	0,126119590E+05	0,472376196E+05	0,352018237E+05	0,123357959E+05
0,217477139E+04	0,100105396E+05	0,126119590E+05	0,472376196E+05	0,351296587E+05	0,121077689E+05
0,217477139E+04	0,100391201E+05	0,126119590E+05	0,472376196E+05	0,352018237E+05	0,123357959E+05
0,217477139E+04	0,100105396E+05	0,126119590E+05	0,472376196E+05	0,351296587E+05	0,121479689E+05
0,217477139E+04	0,100391201E+05	0,126119590E+05	0,472376196E+05	0,352018237E+05	0,123357959E+05
0,217477139E+04	0,100105396E+05	0,126119590E+05	0,472376196E+05	0,351296587E+05	0,121077689E+05
0,217477139E+04	0,100391201E+05	0,126119590E+05	0,472376196E+05	0,352018237E+05	0,123357959E+05
0,217477139E+04	0,100105396E+05	0,126119590E+05	0,472376196E+05	0,351296587E+05	0,121479689E+05
0,217477139E+04	0,100391201E+05	0,126119590E+05	0,472376196E+05	0,352018237E+05	0,123357959E+05
0,217477139E+04	0,971721816E+05	0,126119590E+05	0,472376196E+05	0,340730859E+05	0,131645337E+05
0,217477139E+04	0,973779871E+05	0,126119590E+05	0,472376196E+05	0,341452510E+05	0,130923697E+05
0,217477139E+04	0,971721816E+05	0,126119590E+05	0,472376196E+05	0,340730859E+05	0,131645337E+05
0,217477139E+04	0,971721816E+05	0,126119590E+05	0,472376196E+05	0,341452510E+05	0,130923697E+05
0,217477139E+04	0,973779873E+05	0,126119590E+05	0,472376196E+05	0,341452510E+05	0,130923697E+05
0,217477139E+04	0,971721816E+05	0,126119590E+05	0,472376196E+05	0,340730859E+05	0,131645337E+05
0,217477139E+04	0,971721816E+05	0,126119590E+05	0,472376196E+05	0,341452510E+05	0,130923697E+05
0,217477139E+04	0,973779873E+05	0,126119590E+05	0,472376196E+05	0,341452510E+05	0,130923697E+05
0,217477139E+04	0,971721816E+05	0,126119590E+05	0,472376196E+05	0,340730859E+05	0,131645337E+05
0,217477139E+04	0,973779873E+05	0,126119590E+05	0,472376196E+05	0,341452510E+05	0,130923697E+05

MOMENTOS TORCORES ATUANIES NOS EIXOS DA MARQUESA (ENSAIO 1B)

MOMENTOS TORCORES ATUANTES NOS EIXOS DA MACHOMBA (ENSAIO 19)

M <sub>I</sub>	M <sub>IV</sub>	M <sub>II</sub>	M <sub>III</sub>	M <sub>IV</sub>	M <sub>III</sub>
0,237913269E+04	0,106206015E+05	0,137972934E+05	0,516764961E+05	0,37176632E+05	0,145658579E+05
0,237913269E+04	0,106211822E+05	0,137972934E+05	0,516764961E+05	0,372428042E+05	0,144336919E+05
0,237913269E+04	0,106206015E+05	0,137972934E+05	0,516764961E+05	0,37176632E+05	0,145258579E+05
0,237913269E+04	0,106211822E+05	0,137972934E+05	0,516764961E+05	0,372428042E+05	0,144336919E+05
0,237913269E+04	0,106206015E+05	0,137972934E+05	0,516764961E+05	0,37176632E+05	0,145658579E+05
0,237913269E+04	0,106211822E+05	0,137972934E+05	0,516764961E+05	0,372428042E+05	0,144336919E+05
0,237913269E+04	0,106206015E+05	0,137972934E+05	0,516764961E+05	0,37176632E+05	0,145658579E+05
0,237913269E+04	0,106211822E+05	0,137972934E+05	0,516764961E+05	0,372428042E+05	0,144336919E+05
0,244725311E+04	0,106306015E+05	0,141921381E+05	0,531561211E+05	0,37176632E+05	0,159854829E+05
0,244725311E+04	0,106211822E+05	0,141921381E+05	0,531561211E+05	0,372428042E+05	0,159133159E+05
0,251537368E+04	0,106306015E+05	0,145871832E+05	0,546357476E+05	0,37176632E+05	0,174651024E+05
0,251537368E+04	0,106211822E+05	0,145871832E+05	0,546357476E+05	0,372428042E+05	0,173329434E+05
0,258349482E+04	0,111929539E+05	0,149822279E+05	0,561153731E+05	0,392477217E+05	0,168675714E+05
0,258349482E+04	0,112135345E+05	0,149822279E+05	0,561153731E+05	0,393198667E+05	0,167955854E+05
0,271973489E+04	0,111929539E+05	0,157723175E+05	0,592746240E+05	0,392477217E+05	0,19269224E+05
0,271973489E+04	0,112135345E+05	0,157723175E+05	0,593746240E+05	0,393198667E+05	0,197547572E+05
0,265161444E+04	0,117853064E+05	0,153772727E+05	0,575349985E+05	0,413247647E+05	0,162722339E+05
0,265161444E+04	0,118058870E+05	0,153772727E+05	0,575949985E+05	0,413959322E+05	0,161980634E+05
0,265161444E+04	0,117853064E+05	0,153772727E+05	0,575949985E+05	0,413247647E+05	0,162722339E+05
0,265161444E+04	0,118058870E+05	0,153772727E+05	0,575949985E+05	0,413959322E+05	0,161980634E+05

KOMITÉS TORCOBES ATHLETES YDS EIXOS DA MARRA (ENSAIO 20)

4 MOMENTOS TORCORES ATUANDES NOS EIXOS DA MAROMBA (ENSAIO 21)

KOMENTOS TORCORES ETUANDES NOS EIXOS DA MAROMBA (ENSAIO 22)

$M_I$	$M_{\text{V4}}$	$M_{\text{II1}}$	$M_{\text{III2}}$	$M_{\text{III4}}$	$M_{\text{III3}}$
$0.299169928E+04$	$0.129700113E+06$	$0.173494966E+05$	$0.649818892E+05$	$0.454788911E+05$	$2.135629980E+05$
$0.299169928E+04$	$0.129935918E+06$	$0.173494966E+05$	$0.649818892E+05$	$0.455510562E+05$	$2.194388338E+05$
$0.299169928E+04$	$0.129700113E+06$	$0.173494966E+05$	$0.649818892E+05$	$0.454788911E+05$	$2.195029980E+05$
$0.299169928E+04$	$0.129935918E+06$	$0.173494966E+05$	$0.649818892E+05$	$0.455510562E+05$	$2.194388338E+05$
$0.316197159E+04$	$0.129700113E+06$	$0.183369417E+05$	$0.686823272E+05$	$0.454788911E+05$	$2.232814358E+05$
$0.316197159E+04$	$0.129935918E+06$	$0.183369417E+05$	$0.686823272E+05$	$0.455510562E+05$	$2.231292710E+05$
$0.316197159E+04$	$0.129700113E+06$	$0.183369417E+05$	$0.686823272E+05$	$0.454788911E+05$	$2.232014360E+05$
$0.316197159E+04$	$0.129935918E+06$	$0.183369417E+05$	$0.686823272E+05$	$0.455510562E+05$	$2.231292710E+05$
$0.316197159E+04$	$0.132610424E+06$	$0.183369417E+05$	$0.686823272E+05$	$0.464993814E+05$	$2.221827458E+05$
$0.316197159E+04$	$0.132816229E+06$	$0.183369417E+05$	$0.686823272E+05$	$0.465715464E+05$	$2.221087868E+05$
$0.316197159E+04$	$0.132610424E+06$	$0.183369417E+05$	$0.686823272E+05$	$0.464993814E+05$	$2.221929458E+05$
$0.316197159E+04$	$0.132816229E+06$	$0.183369417E+05$	$0.686823272E+05$	$0.465715464E+05$	$2.221087868E+05$
$0.316197159E+04$	$0.132610424E+06$	$0.183369417E+05$	$0.686823272E+05$	$0.464993814E+05$	$2.221629458E+05$
$0.316197159E+04$	$0.132816229E+06$	$0.183369417E+05$	$0.686823272E+05$	$0.465715464E+05$	$2.221087868E+05$
$0.333224396E+04$	$0.138533945E+06$	$0.193243372E+05$	$0.723787676E+05$	$0.485764439E+05$	$2.238023237E+05$
$0.333224396E+04$	$0.138739754E+06$	$0.193243372E+05$	$0.723787676E+05$	$0.486496499E+05$	$2.237331577E+05$
$0.333224396E+04$	$0.138533945E+06$	$0.193243372E+05$	$0.723787676E+05$	$0.485764439E+05$	$2.235623237E+05$
$0.333224396E+04$	$0.138739754E+06$	$0.193243372E+05$	$0.723787676E+05$	$0.486496499E+05$	$2.237331577E+05$
$0.333224396E+04$	$0.138533945E+06$	$0.193243372E+05$	$0.723787676E+05$	$0.485764439E+05$	$2.23486486299E+05$
$0.333224396E+04$	$0.138739754E+06$	$0.193243372E+05$	$0.723787676E+05$	$0.486496499E+05$	$2.237331577E+05$
$0.333224396E+04$	$0.138533945E+06$	$0.193243372E+05$	$0.723787676E+05$	$0.485764439E+05$	$2.23486486299E+05$
$0.333224396E+04$	$0.138739754E+06$	$0.193243372E+05$	$0.723787676E+05$	$0.486496499E+05$	$2.237331577E+05$

MOMENTOS TORCORES ATUANTES NOS EIXOS DA MARCHA (ENSAIO 23)					
M <sub>I</sub>	M <sub>V4</sub>	M <sub>II1</sub>	M <sub>III2</sub>	M <sub>III4</sub>	M <sub>III3</sub>
0,333224396E+04	0,138533945E+26	0,193243872E+05	0,723787676E+05	0,485764439E+05	0,238023227E+05
0,333224396E+04	0,138739754E+26	0,193243872E+05	0,723787676E+05	0,486486999E+05	0,237331577E+05
0,333224396E+04	0,138533945E+26	0,193243872E+05	0,723787676E+05	0,485764439E+05	0,238023237E+05
0,333224396E+04	0,138739754E+26	0,193243872E+05	0,723787676E+05	0,486486999E+05	0,237331577E+05
0,333224396E+04	0,138533945E+26	0,193243872E+05	0,723787676E+05	0,485764439E+05	0,238023237E+05
0,333224396E+04	0,138739754E+26	0,193243872E+05	0,723787676E+05	0,486486999E+05	0,237331577E+05
0,333224396E+04	0,138533945E+26	0,193243872E+05	0,723787676E+05	0,485764439E+05	0,238023237E+05
0,333224396E+04	0,138739754E+26	0,193243872E+05	0,723787676E+05	0,486486999E+05	0,237331577E+05
0,333224396E+04	0,138533945E+26	0,193243872E+05	0,723787676E+05	0,485764439E+05	0,238023237E+05
0,333224396E+04	0,138739754E+26	0,193243872E+05	0,723787676E+05	0,486486999E+05	0,237331577E+05
0,333224396E+04	0,138533945E+26	0,193243872E+05	0,723787676E+05	0,485764439E+05	0,238023237E+05
0,333224396E+04	0,138739754E+26	0,193243872E+05	0,723787676E+05	0,486486999E+05	0,237331577E+05
0,333224396E+04	0,138533945E+26	0,193243872E+05	0,723787676E+05	0,485764439E+05	0,238023237E+05
0,333224396E+04	0,138739754E+26	0,193243872E+05	0,723787676E+05	0,486486999E+05	0,237331577E+05
0,333224396E+04	0,138533945E+26	0,193243872E+05	0,723787676E+05	0,485764439E+05	0,238023237E+05
0,333224396E+04	0,138739754E+26	0,193243872E+05	0,723787676E+05	0,486486999E+05	0,237331577E+05
0,333224396E+04	0,144457471E+26	0,193243872E+05	0,723787676E+05	0,506535068E+05	0,217252607E+05
0,333224396E+04	0,144663277E+26	0,193243872E+05	0,723787676E+05	0,507256724E+05	0,216530932E+05
0,333224396E+04	0,144457471E+26	0,193243872E+05	0,723787676E+05	0,506535068E+05	0,217252607E+05
0,333224396E+04	0,144663277E+26	0,193243872E+05	0,723787676E+05	0,507256724E+05	0,216530932E+05
0,333224396E+04	0,144457471E+26	0,193243872E+05	0,723787676E+05	0,506535068E+05	0,217252607E+05
0,333224396E+04	0,144663277E+26	0,193243872E+05	0,723787676E+05	0,507256724E+05	0,216530932E+05
0,333224396E+04	0,144457471E+26	0,193243872E+05	0,723787676E+05	0,506535068E+05	0,217252607E+05
0,333224396E+04	0,144663277E+26	0,193243872E+05	0,723787676E+05	0,507256724E+05	0,216530932E+05

MOMENTOS TORCORES ATUANTES NOS EIXOS DA MARCHA (ENSAIO 24)					
M <sub>I</sub>	M <sub>V4</sub>	M <sub>II1</sub>	M <sub>III2</sub>	M <sub>III4</sub>	M <sub>III3</sub>
0,333224396E+04	0,141444250E+26	0,193243872E+05	0,723787676E+05	0,495969346E+05	0,227810330E+05
0,333224396E+04	0,141650063E+26	0,193243872E+05	0,723787676E+05	0,496690991E+05	0,227896695E+05
0,333224396E+04	0,141444250E+26	0,193243872E+05	0,723787676E+05	0,495969346E+05	0,227810330E+05
0,333224396E+04	0,141650063E+26	0,193243872E+05	0,723787676E+05	0,496690991E+05	0,227896695E+05
0,333224396E+04	0,141444250E+26	0,193243872E+05	0,723787676E+05	0,495969346E+05	0,227810330E+05
0,333224396E+04	0,141550063E+26	0,193243872E+05	0,723787676E+05	0,496690991E+05	0,227896695E+05
0,333224396E+04	0,138533945E+26	0,193243872E+05	0,723787676E+05	0,485764439E+05	0,218023237E+05
0,333224396E+04	0,138739754E+26	0,193243872E+05	0,723787676E+05	0,486486999E+05	0,237331577E+05
0,333224396E+04	0,135528732E+26	0,193243872E+05	0,723787676E+05	0,475198711E+05	0,243588955E+05
0,333224396E+04	0,135726539E+26	0,193243872E+05	0,723787676E+05	0,475920366E+05	0,247467310E+05
0,316197159E+04	0,135528732E+26	0,183369417E+05	0,686803272E+05	0,475198711E+05	0,211604581E+05
0,316197159E+04	0,135726539E+26	0,183369417E+05	0,686803272E+05	0,475920366E+05	0,213882945E+05
0,316197159E+04	0,132618424E+26	0,183369417E+05	0,686803272E+05	0,464993814E+05	0,221829450E+05
0,316197159E+04	0,132816229E+26	0,183369417E+05	0,686803272E+05	0,465715464E+05	0,221608760E+05
0,316197159E+04	0,129788113E+26	0,163369417E+05	0,686803272E+05	0,4547088911E+05	0,2322014352E+05
0,316197159E+04	0,129850100E+26	0,183369417E+05	0,686803272E+05	0,455510562E+05	0,231292710E+05
0,316197159E+04	0,126686948E+26	0,163369417E+05	0,686803272E+05	0,444223189E+05	0,242582003E+05
0,316197159E+04	0,126947651E+26	0,163369417E+05	0,686803272E+05	0,444744834E+05	0,2414354436E+05
0,316197159E+04	0,126868948E+26	0,183369417E+05	0,686803272E+05	0,444223189E+05	0,242582003E+05
0,316197159E+04	0,126892745E+26	0,163369417E+05	0,686803272E+05	0,444944834E+05	0,241858418E+05

MOMENTOS TORCORES ATUANTES NOS EIXOS DA MAROMBA. (ENSAIO 25)

MOMENTOS TORCORES ATUANTES NOS EIXOS DA MAROMBA (ENSAIO 26)

MOMENTOS TORCENOS ATUANTES nos EIXOS DA MAROMBA (ENSAIO 27)

MANEJOES DE PROJETOS - ESTUDANTES NOR-ESTADUAIS DA MARANHÃO (ENSALD 26)

M <sub>I</sub>	M <sub>IV</sub>	M <sub>II</sub>	M <sub>III</sub>	M <sub>III</sub>	M <sub>III</sub>
M <sub>I</sub>	M <sub>IV</sub>	M <sub>II</sub>	M <sub>III</sub>	M <sub>III</sub>	M <sub>III</sub>
0,367278864E+04	0,141444258E+26	0,212992776E+05	0,797756455E+05	0,495969346E+05	0,301787149E+05
0,367278864E+04	0,141752967E+26	0,212992776E+05	0,797756455E+05	0,497051826E+05	0,302784629E+05
0,384326101E+04	0,141444258E+26	0,222867231E+05	0,834748869E+05	0,495969346E+05	0,338771523E+05
0,384326101E+04	0,141752967E+26	0,222867231E+05	0,834748869E+05	0,497051826E+05	0,337589043E+05
0,367278864E+04	0,141444258E+26	0,212992776E+05	0,797756455E+05	0,495969346E+05	0,301787129E+05
0,367278864E+04	0,141752967E+26	0,212992776E+05	0,797756455E+05	0,497051826E+05	0,302784629E+05
0,384326101E+04	0,141444258E+26	0,222867231E+05	0,834748869E+05	0,495969346E+05	0,338771523E+05
0,384326101E+04	0,141752967E+26	0,222867231E+05	0,834748869E+05	0,497051826E+05	0,337589043E+05
0,367278864E+04	0,141444258E+26	0,212992776E+05	0,797756455E+05	0,495969346E+05	0,301787149E+05
0,357278864E+04	0,141752967E+26	0,212992776E+05	0,797756455E+05	0,497051826E+05	0,322784629E+05
0,357278864E+04	0,144457471E+26	0,212992776E+05	0,797756455E+05	0,506535868E+05	0,291221387E+05
0,367278864E+04	0,144766102E+26	0,212992776E+05	0,797756455E+05	0,527617554E+05	0,292138901E+05
0,384326101E+04	0,1447367781E+26	0,222867231E+05	0,834748869E+05	0,516739976E+05	0,318842824E+05
0,384326101E+04	0,147676493E+26	0,222867231E+05	0,834748869E+05	0,517224516E+05	0,316918418E+05
0,367278864E+04	0,144457471E+26	0,212992776E+05	0,797756455E+05	0,526535868E+05	0,291221387E+05
0,367278864E+04	0,144766102E+26	0,212992776E+05	0,797756455E+05	0,527617554E+05	0,292138901E+05
0,367278864E+04	0,141444258E+26	0,212992776E+05	0,797756455E+05	0,495969346E+05	0,301787149E+05
0,367278864E+04	0,141752967E+26	0,212992776E+05	0,797756455E+05	0,497051826E+05	0,302784629E+05
0,367278864E+04	0,141444258E+26	0,212992776E+05	0,797756455E+05	0,495969346E+05	0,338771523E+05
0,367278864E+04	0,141752967E+26	0,212992776E+05	0,797756455E+05	0,497051826E+05	0,302784629E+05

#### 4.5. ENSAIO COM O DINAMÔMETRO III

A tensão de saída do dinamômetro III,  $\Delta V_{III}$ , foi determinada diretamente na PONTE AMPLIFICADORA. Antes do ensaio procedeu-se ao balanceamento da PONTE. Em cada ensaio, realizaram-se 20 leituras de  $\Delta V_{III}$  e calcularam-se, através da equação (3.3.1), 20 forças axiais, conforme mostra a TABELA IV.3 que apresenta os resultados experimentais do ensaio 24.

TABELA IV.3 - RESULTADOS EXPERIMENTAIS DA FORÇA AXIAL  $P$  DURANTE O  
ENSAIO 24

ENSAIO	$\Delta V_{III}$ [mV]	$P$ [tf]
	1,80	19,889
	1,80	19,889
	1,80	19,889
	1,80	19,889
	1,80	19,889
	1,80	19,889
	1,80	19,889
	1,80	19,889
	1,80	19,889
	1,80	19,889
	1,80	19,889
	1,80	19,889
	1,80	19,889
	1,80	19,889
	1,80	19,889
	1,80	19,889
	1,80	19,889
	1,80	19,889
	1,80	19,889
24	1,80	19,889

Uma vez que a força axial permaneceu constante em cada ensaio (TABELA IV.3), a TABELA IV.4 apresenta os valores experimentais das forças axiais em todos os ensaios realizados.

TABELA IV.4 - RESULTADOS EXPERIMENTAIS DA FORÇA AXIAL  $P$  NOS DIVERSOS ENSAIOS REALIZADOS.

ENSAIO	$P [tf]$
1	8,300
2	9,440
3	8,984
4	10,124
5	9,668
6	10,124
7	10,808
8	11,035
9	8,528
10	9,098
11	18,330
12	16,962
13	9,440
14	17,418
15	11,491
16	11,947
17	11,263
18	13,087
19	14,227
20	16,051
21	17,646
22	20,610
23	21,066
24	19,889
25	14,227
26	16,507
27	16,962
28	17,646

#### 4.6. MEDIDA DA ROTAÇÃO

Através de um *ESTROBOSCOPIO*, indicado na figura 4.1, foi determinada a rotação do eixo do motor de acionamento em cada ensaio. Constatou-se que esta rotação praticamente não variou (1750 rpm) devido principalmente a capacidade do motor ser bastante superior a potência utilizada.

A partir da rotação do eixo do motor de acionamento e das relações de transmissão, calcularam-se as rotações de cada eixo da máquina:

$$n_I = 1750 \text{ rpm}$$

$$n_{II} = n_I / i_1 = 278,22 \text{ rpm}$$

$$n_{III} = n_{II} / i_2 = 71,34 \text{ rpm}$$

$$n_{IV} = n_{III} / i_3 = 33,97 \text{ rpm}$$

$$n_V = n_{IV} / i_4 = 24,18 \text{ rpm}$$

$$n_{VI} = n_{V} / i_5 = 33,97 \text{ rpm}$$

onde,

$$i_1 = \frac{d_{II1}}{d_{I1}} = 6,29$$

$$i_2 = \frac{z_{III2}}{z_{II2}} = 3,90$$

$$i_3 = \frac{z_{IV3}}{z_{III3}} = 2,10$$

$$i_4 = \frac{z_{V4}}{z_{III4}} = 2,95$$

$$i_5 = \frac{z_{VI5}}{z_{IV3}} = 1$$

A figura 4.4 apresenta o *DIAGRAMA LOGARITMICO DE VELOCIDADES* da máquina, onde a escala adotada corresponde a série de rotações normalizadas  $R\ 20/3$  com razão  $\psi = 1,4$ .

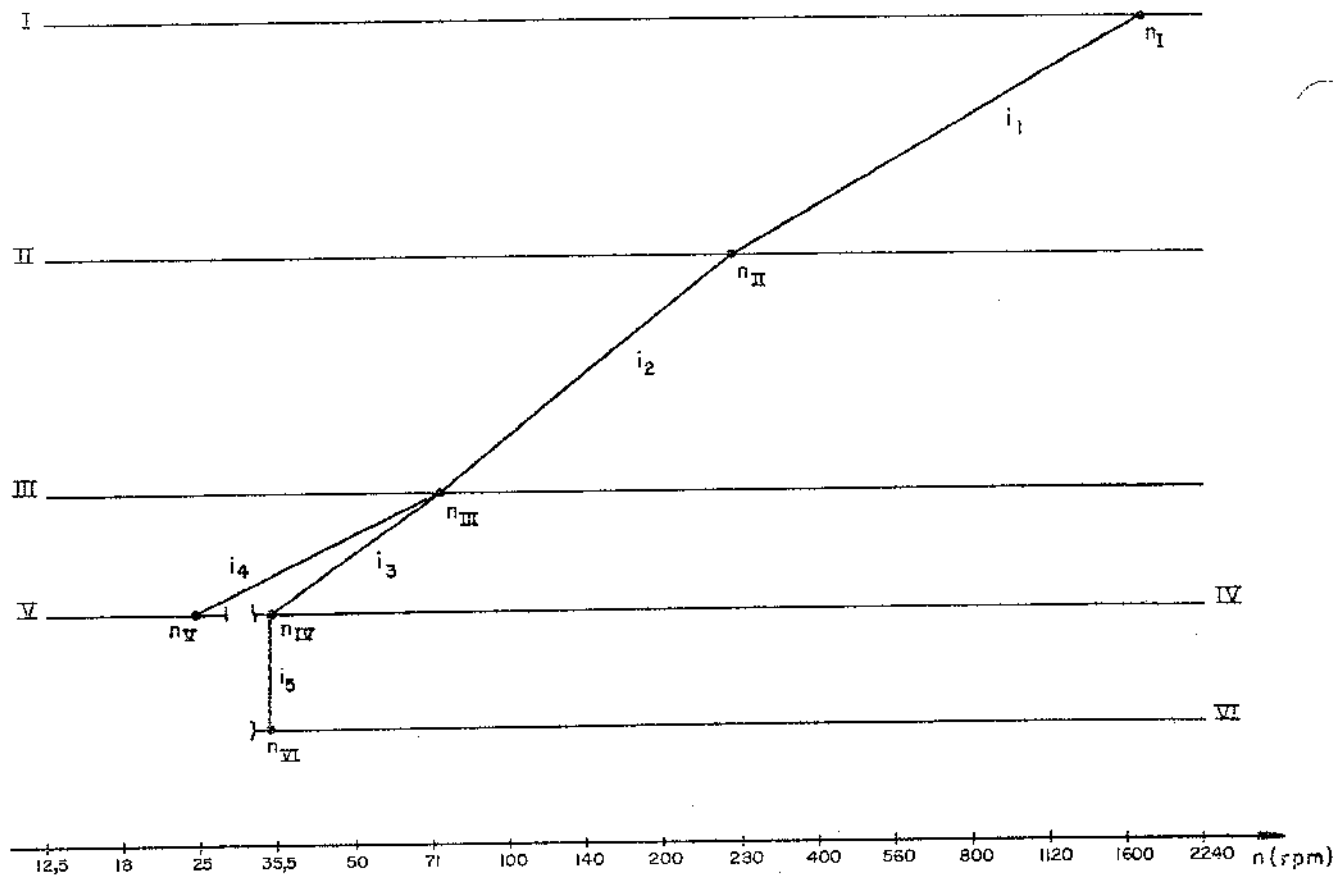


Fig. 4.4 - Diagrama Logarítmico de Velocidades da Máquina

## CAPÍTULO V

### ANÁLISE DOS RESULTADOS EXPERIMENTAIS

#### 5.1. GENERALIDADES

##### 5.1.1. REGRESSÃO POLINOMIAL

Tendo-se verificado a existência de uma relação entre duas variáveis, deseja-se, frequentemente, expressar essa relação sob forma matemática através do estabelecimento de uma equação que ligue as variáveis. O problema geral da determinação das equações de curvas que se acomodem a certos conjuntos de dados é denominado *AJUSTAMENTO DE CURVAS*. Para evitar o critério individual na construção de curvas de ajustamento que se adaptem ao conjunto de dados, instituiu-se que a melhor é a que torna mínima a soma dos desvios em torno da curva estimada (*MÉTODO DOS MÍNIMOS QUADRADOS*). Assim, com base em dados amostrais pode-se estimar o valor de uma variável dependente  $y$ , correspondente ao conhecido de uma variável independente  $x$ , mediante a avaliação do valor de  $y$  a partir de uma curva de mínimo quadrado que se ajuste aos dados amostrais. A curva resultante é denominada *REGRESSÃO DE  $y$  PARA  $x$* .

Dentre as diversas *REGRESSÕES* comumente empregadas, utilizou-se neste capítulo a *REGRESSÃO POLINOMIAL* que consiste em ajustar ao conjunto de  $n$  dados amostrais  $(x, y)$  um polinômio de grau  $r$ , dado por [11], [12]:

$$\hat{y} = b_0 + b_1 x + b_2 x^2 + \dots + b_r x^r$$

onde,  $\hat{y}$  é o  $y$  estimado e  $b_0, b_1, b_2, \dots, b_r$  os coeficientes do polinômio.

Aplicando-se o *MÉTODO DOS MÍNIMOS QUADRADOS*, tem-se:

$$\sum (y - \hat{y})^2 = \text{MÍNIMO}$$

Desta condição resulta o seguinte sistema de equações normais:

$$\begin{aligned}\Sigma Y &= nb_0 + b_1 \Sigma x + b_2 \Sigma x^2 + \dots + b_r \Sigma x^r \\ \Sigma xy &= b_0 \Sigma x + b_1 \Sigma x^2 + b_2 \Sigma x^3 + \dots + b_r \Sigma x^{r+1} \\ &\vdots \\ \Sigma x^r y &= b_0 \Sigma x^r + b_1 \Sigma x^{r+1} + b_2 \Sigma x^{r+2} + \dots + b_r \Sigma x^{2r}\end{aligned}$$

que uma vez resolvida determina os coeficientes do polinômio.

#### 5.1.2. DETERMINAÇÃO DO GRAU $r$ DO POLINÔMIO

Para se avaliar o grau  $r$  do polinômio mais conveniente, ou seja, do polinômio que melhor se ajusta aos dados amostrais  $(x, y)$ , fez-se um *TESTE DE HIPÓTESE* [11]. As hipóteses são:

$$H_0: \text{NÃO HÁ MELHORIA}$$

$$H_1: \text{HÁ MELHORIA}$$

A *VARIAÇÃO TOTAL*,  $\Sigma (y - \bar{y})^2$ , pode ser decomposta em duas parcelas: a *VARIAÇÃO EXPLICADA PELA REGRESSÃO*,  $\Sigma (\hat{y} - \bar{y})^2$ , e outra *RESIDUAL* em torno da regressão,  $\Sigma (y - \hat{y})^2$ . Portanto,

$$\Sigma (y - \bar{y})^2 = \Sigma (y - \hat{y})^2 + \Sigma (\hat{y} - \bar{y})^2$$

onde,  $y$  é o valor observado

$\hat{y}$  é estimado a partir do polinômio

$\bar{y}$  é a média dos  $y$  observados =  $\frac{\Sigma y}{n}$

O *QUADRO DE ANÁLISE DA VARIÂNCIA* é dado por [11]:

FONTE DE VARIAÇÃO	SOMA DE QUADRADOS	GRAUS DE LIBERDADE	QUADRADO MÉDIO	$F_{CALCULADO}$
POLINÔMIO GRAU "r"	$\sum (\hat{y}_r - \bar{y})^2$	r	$s_m^2 = \frac{\text{MELHORIA}}{v_1}$	
MELHORIA	$\sum (\hat{y}_{r+1} - \bar{y})^2 - \sum (\hat{y}_r - \bar{y})^2$	$v_1 = 1$		$F_{CALC} = \frac{s_m^2}{s^2}$
POLINÔMIO GRAU "r+1"	$\sum (\hat{y}_{r+1} - \bar{y})^2$	r+1	$s^2 = \frac{\text{RESÍDUO}}{v_2}$	
RESÍDUO	$\sum (y - \bar{y})^2 - \sum (\hat{y}_{r+1} - \bar{y})^2$	$v_2 = n - r - 2$		
TOTAL	$\sum (y - \bar{y})^2$	n-1		

Comparando-se o  $F_{calc}$  com o valor  $F_{\alpha}; v_1; v_2$  dado na tabela de SNEDECOR [11] para o nível de significância  $\alpha$  que se deseja, pode-se concluir sobre a melhoria apresentada pelo polinômio de grau  $r+1$  relativamente ao de grau  $r$ :

- Se  $F_{calc} > F_{\alpha}; v_1; v_2$ , rejeita-se  $H_0$ , isto é, para o nível da significância  $\alpha$  adotado o polinômio de grau  $r+1$  representa melhor o fenômeno.
- Se  $F_{calc} < F_{\alpha}; v_1; v_2$ , aceita-se  $H_0$ , isto é, para o nível de significância  $\alpha$  o polinômio de grau  $r$  representa o fenômeno tão bem quanto o de grau  $r+1$ . Neste caso deve-se adotar o primeiro que é mais simples.

#### 5.1.3. COEFICIENTE DE DETERMINAÇÃO E ERRO PADRÃO DE ESTIMATIVA [12]

O coeficiente de determinação  $r^2$  mede a excelência do ajustamento aos dados da curva considerada e é dado pelo quociente entre a VARIAÇÃO EXPLICADA e a VARIAÇÃO TOTAL:

$$r^2 = \frac{\text{VARIAÇÃO EXPLICADA}}{\text{VARIAÇÃO TOTAL}} = \frac{\sum (\hat{y} - \bar{y})^2}{\sum (y - \bar{y})^2}$$

Se a VARIAÇÃO NÃO EXPLICADA foi nula, isto é, se a VARIAÇÃO TOTAL

for toda *EXPLICADA*, o coeficiente de determinação será igual a 1. Assim,  $(1-r^2) \cdot 100\%$  indica a porcentagem da *VARIAÇÃO TOTAL* que permanece *NÃO EXPLICADA*.

O erro padrão de estimativa  $Syx$ , dado por:

$$Syx = \sqrt{\frac{\sum (y - \hat{y})^2}{n}}$$

indica a dispersão dos  $y$  observados em relação a curva de regressão. Pode-se afirmar, portanto, que com 95% de confiança os desvios dos valores observados,  $y$ , relativamente aos estimados,  $\hat{y}$ , serão inferiores a  $1,96 \cdot Syx$  para  $n > 30$ .

## 5.2. GRÁFICOS

A partir dos resultados experimentais dos ensaios realizados (CAPÍTULO IV), construiram-se *GRÁFICOS* que permitirão o dimensionamento racional dos eixos, mancais e engrenagens da máquina. Como estes valores são variáveis em função do carregamento e o dimensionamento das engrenagens e rolamentos depende não somente do valor instantâneo da carga como também do seu tempo de atuação (DIMENSIONAMENTO BASEADO NA RESISTÊNCIA E NA VIDA DO ELEMENTO MECÂNICO), deverá ser feito um estudo criterioso de dimensionamento, objeto do próximo capítulo.

Os gráficos foram obtidos através da teoria desenvolvida no item 5.1 com o auxílio do *PROGRAMA COMPUTACIONAL POLRG*, escrito em *FORTRAN*, que faz parte da *BIBLIOTECA DE SUBPROGRAMAS CIENTÍFICOS (SSP)* desenvolvido pela *IBM* [13]. Este *PROGRAMA* é o apresentado a seguir:

C SAMPLE MAIN PROGRAM FOR POLYNOMIAL REGRESSION ← P0LRG  
C THE FOLLOWING DIMENSION MUST BE GREATER THAN OR EQUAL TO THE  
C PRODUCT OF N\*(M+1), WHERE N IS THE NUMBER OF OBSERVATIONS AND  
C M IS THE HIGHEST DEGREE POLYNOMIAL SPECIFIED.  
DIMENSION X(54\*)  
C THE FOLLOWING DIMENSION MUST BE GREATER THAN OR EQUAL TO THE  
C PRODUCT OF M\*M.  
DIMENSION DJ(36)  
C THE FOLLOWING DIMENSION MUST BE GREATER THAN OR EQUAL TO  
C (M+2)\*(M+1)/2  
DIMENSION D(28)  
C THE FOLLOWING DIMENSIONS MUST BE GREATER THAN OR EQUAL TO MX  
DIMENSION B(6),SB(6),T(6),E(6)  
C THE FOLLOWING DIMENSIONS MUST BE GREATER THAN OR EQUAL TO  
C (M+1).  
DIMENSION XBAR(7),STD(7),COE(7),SUMSO(7),ISAVE(7)  
C THE FOLLOWING DIMENSION MUST BE GREATER THAN OR EQUAL TO 10.  
DIMENSION ANS(1\*)  
C THE FOLLOWING DIMENSION WILL BE USED IF THE PLOT OF OBSERVED  
C DATA AND ESTIMATES IS DESIRED. THE SIZE OF THE DIMENSION, IN  
C THIS CASE, MUST BE GREATER THAN OR EQUAL TO N\*3. OTHERWISE,  
C THE SIZE OF DIMENSION MAY BE SET TO 1.  
DIMENSION P(15\*)  
COMMON MX,MY  
1 FORMAT(A4,A2,I5,I2,I1)  
2 FORMAT(2E)  
3 FORMAT(//,27H POLYNOMIAL REGRESSION,,A4,A2//)  
4 FORMAT(//,23H NUMBER OF OBSERVATION,16//)  
5 FORMAT(//,32H POLYNOMIAL REGRESSION OF DEGREE,13)  
6 FORMAT(//,12H INTERCEPT,F15.5)  
7 FORMAT(//,26H REGRESSION COEFFICIENTS/(10E15.7))  
8 FORMAT(//,24X,24HANALYSIS OF VARIANCE FOR,14,19H DEGREE POLYNOMIA  
1L//)  
9 FORMAT(//,5X,19HSOURCE OF VARIATION,7X,9HDEGREE OF,7X,6HSUM OF,  
19X,4HMEAN,1WX,1HF,9X,2HIMPROVEMENT IN TERMS/33X,7HFREEDOM,8X,  
27HSQUARES,7X,6HSQUARE,7X,5HVALUE,8X,17HOF SUM OF SQUARES)  
10 FORMAT(//,20H DUE TO REGRESSION,12X,16,F17.5,E14.7,F13.5,F20.5)  
11 FORMAT(32H DEVIATION ABOUT REGRESSION ,16,F17.5,F14.5)  
12 FORMAT(8X,5HTOTAL,19X,16,F17.5//)  
13 FORMAT(//,17H NO IMPROVEMENT)  
14 FORMAT(//,27X,18HTABLE OF RESIDUALS//,16H OBSERVATION NO.,5X,7HX V  
1ALUE,7X,7HY VALUE,7X,18HY ESTIMATE,7X,8HRESIDUAL//)  
15 FORMAT(//,3X,16,F18.5,F14.5,F17.5,F15.5)  
16 FORMAT(2I)  
READ(5,16)MX,MY  
READ PROBLEM PARAMETER CARD  
100 READ (5,1) PR,PRI,N,M,NPLOT  
PR←, PROBLEM NUMBER (MAY BE ALPHAMERIC).  
PRI←, PROBLEM NUMBER (CONTINUED)  
N←, NUMBER OF OBSERVATIONS  
M←, HIGHEST DEGREE POLYNOMIAL SPECIFIED  
NPLOT←OPTION CODE FOR PLOTTING  
← IF PLOT IS NOT DESIRED.  
1 IF PLOT IS DESIRED.  
PRINT PROBLEM NUMBER AND N  
WRITE (MX,3) PR,PRI  
WRITE (MX,4) N  
READ INPUT DATA  
L=N\*M  
DO 110 I=1,N

J=L+1  
C        X(1) IS THE INDEPENDENT VARIABLE, AND X(J) IS THE DEPENDENT  
C        VARIABLE;  
110 READ (MX,2) X(1),X(J)  
CALL GDATA (N,M,X,XBAR,STD,D,SUMSQ)  
MM=M+1  
SUM=0.0  
NT=N-1  
DO 200 J=1,M  
ISAVE(J)=1  
FORM SUBSET OF CORRELATION COEFFICIENT MATRIX  
CALL ORDER (MM,D,MM,I,ISAVE,DI,E)  
INVERT THE SUBMATRIX OF CORRELATION COEFFICIENTS  
CALL MINV (DI,I,DET,B,T)  
CALL MULTR (N,I,XBAR,STD,SUMSQ,OL,E,ISAVE,B,SB,T,ANS)  
C        PRINT THE RESULT OF CALCULATION  
WRITE (MX,5) I  
IF(ANS(7)) 140,130,134  
130 SUMIP=ANS(4)\*SUM  
IF(SUMIP) 140, 140, 150  
140 WRITE(MX,13)  
GO TO 210  
150 WRITE(MX,6)ANS(1)  
WRITE (MX,7) (B(J),J=1,1)  
WRITE (MX,8) I  
WRITE (MX,9)  
SUM=ANS(4)  
WRITE (MX,10) I,ANS(4),ANS(6),ANS(10),SUMIP  
NI=ANS(8)  
WRITE (MX,11) NI,ANS(7),ANS(9)  
WRITE (MX,12) NT,SUMSQ(MM)  
C        SAVE COEFFICIENTS FOR CALCULATION OF Y ESTIMATES  
COE(1)=ANS(1)  
DO 160 J=1,I  
160 COE(J+1)=B(J)  
LA=I  
200 CONTINUE  
C        TEST WHETHER PLOT IS DESIRED  
210 IF(NPLOT) 170, 180, 220  
C        CALCULATE ESTIMATES  
220 NP3=NI+N  
DO 230 I=1,N  
NP3=NP3+1  
P(NP3)=COE(1)  
L=I  
DO 230 J=1,LA  
P(NP3)=P(NP3)+X(L)\*COE(J+1)  
230 L=L+N  
C        COPY OBSERVED DATA  
NZ=N  
L=N\*M  
DO 240 I=1,N  
P(I)=X(I)  
NZ=NZ+1  
L=L+1  
240 P(NZ)=X(L)  
C        PRINT TABLE OF RESIDUALS  
WRITE (MX,3) PR,PRI  
WRITE (MX,5) LA

```
      WRITE (MX,14)
      NP2=N
      NP3=N+N
      DO 250 I=1,0
      NP2=NP2+1
      NP3=NP3+1
      RESID=P(NP2)-P(NP3)
250  WRITE (MX,15) I,P(I),P(NP2),P(NP3),RESID
      CALL PLOT (LA,P,N,3,8,1)
      GO TO 160
      END
```

O referido PROGRAMA não só determina OS COEFICIENTES DE CADA POLINÔMIO AJUSTADO como também efetua A ANÁLISE DA VARIÂNCIA necessária para a escolha do grau do polinômio que melhor se ajusta aos dados amostrais.

Para o que se segue, o número  $n$  de observações é 560 e o nível a significância adotado 0,05 (95% de confiança)

#### 5.2.1. DETERMINAÇÃO DO GRÁFICO ( $M_I \times M_{V4}$ )

##### a) REGRESSÃO POLINOMIAL DO 1º GRAU

coeficientes do polinômio

$$\begin{cases} b_0 = 31629,8799 \\ b_1 = 0,3017099 \cdot 10^2 \end{cases}$$

##### QUADRO DE ANÁLISE DA VARIÂNCIA PARA O POLINÔMIO DO 1º GRAU

FONTE DE VARIAÇÃO	SOMA DE QUADRADOS	GRAUS DE LIBERDADE	QUADRADO MÉDIO	F CALCULADO
POLINÔMIO GRAU 1 MELHORIA	$0,2230933 \cdot 10^{12}$ $0,4831183 \cdot 10^{10}$	1 1	$0,4831183 \cdot 10^{10}$	163,13
POLINÔMIO GRAU 2 RESÍDUO	$0,2279245 \cdot 10^{12}$ $0,1649615 \cdot 10^{11}$	2 557	$0,2961607 \cdot 10^8$	
TOTAL	$0,2444207 \cdot 10^{12}$	559		

Na TABELA de SNEDECOR encontra-se  $F_{0,05;1;557} = 3,85$ . Como  $F_{calc} = 163,13 > 3,85$ , concluiu que para o nível de significância 0,05 há melhoria.

##### b) REGRESSÃO POLINOMIAL DO 2º GRAU

coeficientes do polinômio

$$\begin{cases} b_0 = -18317,0371 \\ b_1 = 0,6921677 \cdot 10^2 \\ b_2 = -0,7164567 \cdot 10^{-2} \end{cases}$$

QUADRO DE ANÁLISE DA VARIÂNCIA PARA O POLINÔMIO DO 2º GRAU

FONTE DE VARIAÇÃO	SOMA DE QUADRADOS	GRAUS DE LIBERDADE	QUADRADO MÉDIO	F CALCULADO
POLINÔMIO GRAU 2	$0,2279245 \cdot 10^{12}$	2		
MELHORIA	$0,3258778 \cdot 10^8$	1	$0,3258778 \cdot 10^8$	
POLINÔMIO GRAU 3	$0,2279571 \cdot 10^{12}$	3		
RESÍDUO	$0,1646356 \cdot 10^{11}$	556	$0,2961072 \cdot 10^8$	
TOTAL	$0,2444207 \cdot 10^{12}$	559		

Na TABELA de SNEDECOR encontra-se  $F_{0,05;1, 556} = 3,85$ .

Como  $F_{\text{calc}} = 1,10 < 3,85$ , conclui-se que para o nível de significância 0,05 não há melhoria. Deve-se, portanto, adotar o POLINÔMIO DO 2º GRAU:

$$M_{V4} = -18317,0371 + 0,6921677 \cdot 10^2 M_I - 0,7164567 \cdot 10^{-2} M_I^2$$

(5.2.1)

Sendo que o COEFICIENTE DE DETERMINAÇÃO resulta  $r^2 = 0,93$  (significando que 7% da variação total permanece não explicada) e o ERRO PADRÃO DE ESTIMATIVA  $S_{yx} = 5427,47$  (pode-se afirmar, então, que com 95% de confiança os desvios serão inferiores a 10637,84 kgf.cm). Registrando-se a equação (5.2.1), obtém-se o GRÁFICO 5.1 que apresenta a variação de  $M_{V4}$  com  $M_I$ .

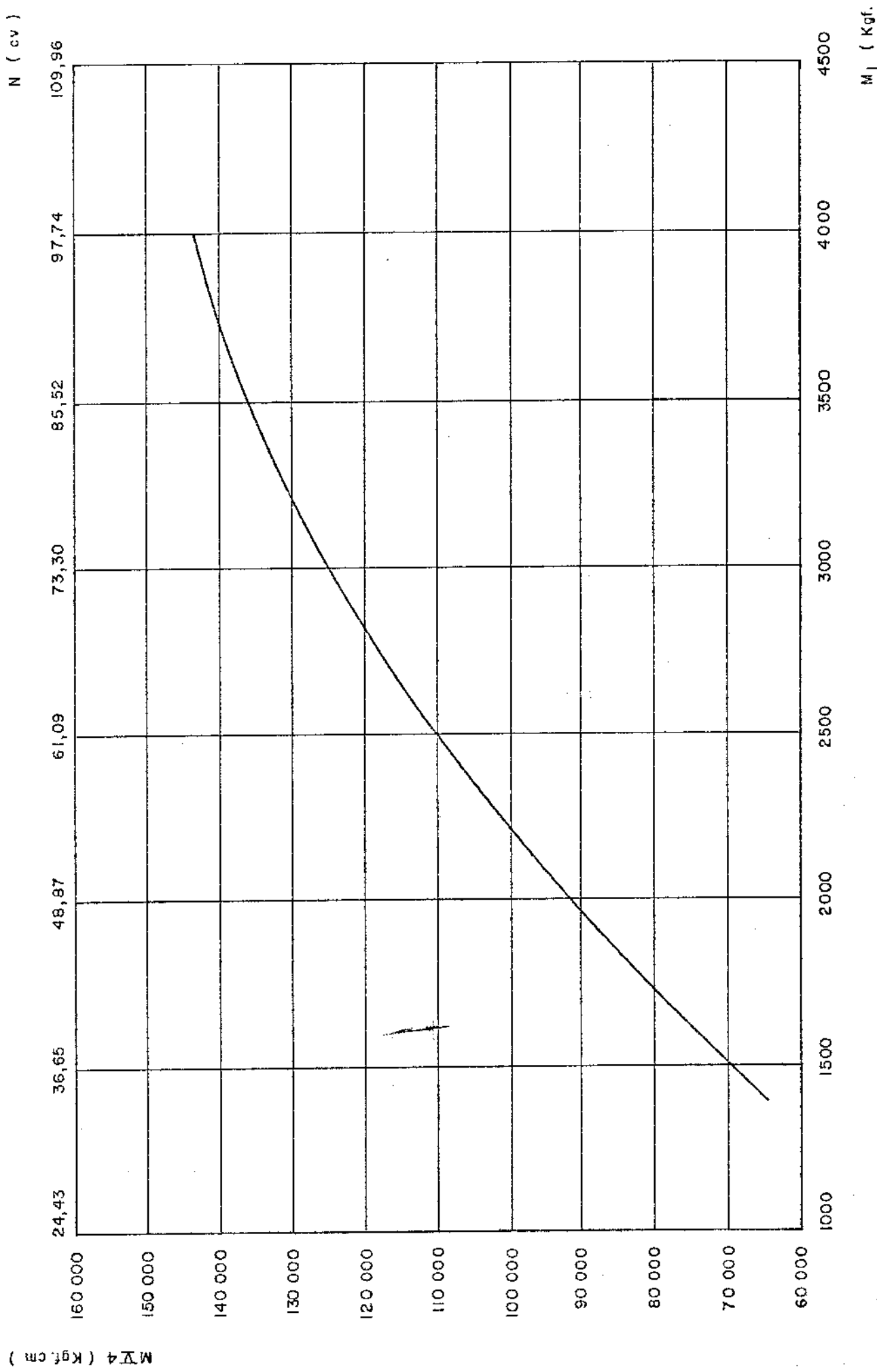


Gráfico 5.1. - Relação entre o momento torçor  $M_4$ , atuante no eixo principal, e o momento torçor no eixo de aionamento,  $M_1$ .

5.2.2. DETERMINAÇÃO DO GRÁFICO ( $M_I \times M_{III4}$ )

a) REGRESSÃO POLINOMIAL DO 1º GRAU

coeficientes do polinômio  $\begin{cases} b_0 = 11077,0703 \\ b_1 = 0,1058159 \cdot 10^2 \end{cases}$

QUADRO DE ANÁLISE DA VARIÂNCIA PARA O POLINÔMIO DO 1º GRAU

FONTE DE VARIAÇÃO	SOMA DE QUADRADOS	GRAUS DE LIBERDADE	QUADRADO MÉDIO	F CALCULADO
POLINÔMIO GRAU 1	$0,2746743 \cdot 10^{11}$	1		
MELHORIA	$0,5845670 \cdot 10^9$	1	$0,5845670 \cdot 10^9$	162,98
POLINÔMIO GRAU 2	$0,2805200 \cdot 10^{11}$	2		
RESÍDUO	$0,1997763 \cdot 10^{10}$	557	$0,3586649 \cdot 10^7$	
TOTAL	$0,3004976 \cdot 10^{11}$	559		

Na TABELA de SNEDECOR encontra-se  $F_{0,05;1;557} = 3,85$ .

Como  $F_{calc} = 162,98 > 3,85$ , conclui-se que para o nível de significância 0,05 há melhoria.

b) REGRESSÃO POLINOMIAL DO 2º GRAU

coeficientes do polinômio  $\begin{cases} b_0 = -6300,13086 \\ b_1 = 0,2416814 \cdot 10^2 \\ b_2 = -0,2493189 \cdot 10^2 \end{cases}$

QUADRO DE ANÁLISE DA VARIÂNCIA PARA O POLINÔMIO DO 2º GRAU

FONTE DE VARIAÇÃO	SOMA DE QUADRADOS	GRAUS DE LIBERDADE	QUADRADO MÉDIO	F CALCULADO
POLINÔMIO GRAU 2	$0,2805200 \cdot 10^{11}$	2		
MELHORIA	$0,7495168 \cdot 10^7$	1	$0,7495168 \cdot 10^7$	2,09
TOTAL	$0,3004976 \cdot 10^{11}$	559		

Na TABELA de SNEDECOR encontra-se  $F_{0,05;1;556} = 3,85$ .

Como  $F_{calc} = 2,09 < 3,85$ , conclui-se que para o nível de significância 0,05 não há melhoria. Deve-se adotar, portanto, o POLINÔMIO DO 2º GRAU:

$$M_{III4} = -6300,13086 + 0,2416814 \cdot 10^2 M_I - 0,2493189 \cdot 10^{-2} M_I^2 \quad (5.2.2)$$

Sendo que o COEFICIENTE DE DETERMINAÇÃO resulta  $r^2 = 0,93$  (significando que 7% da variação total permanece não explicada) e o ERRO PREDIÃO DE ESTIMATIVA  $S_{yx} = 1885,22$  (pode-se afirmar, então, que com 95% de confiança os desvios serão inferiores a 3695,03 kgf.cm). Registrando-se a equação (5.2.2), obtém-se o GRÁFICO 5.2 que apresenta a variação de  $M_{III4}$  com  $M_I$ .

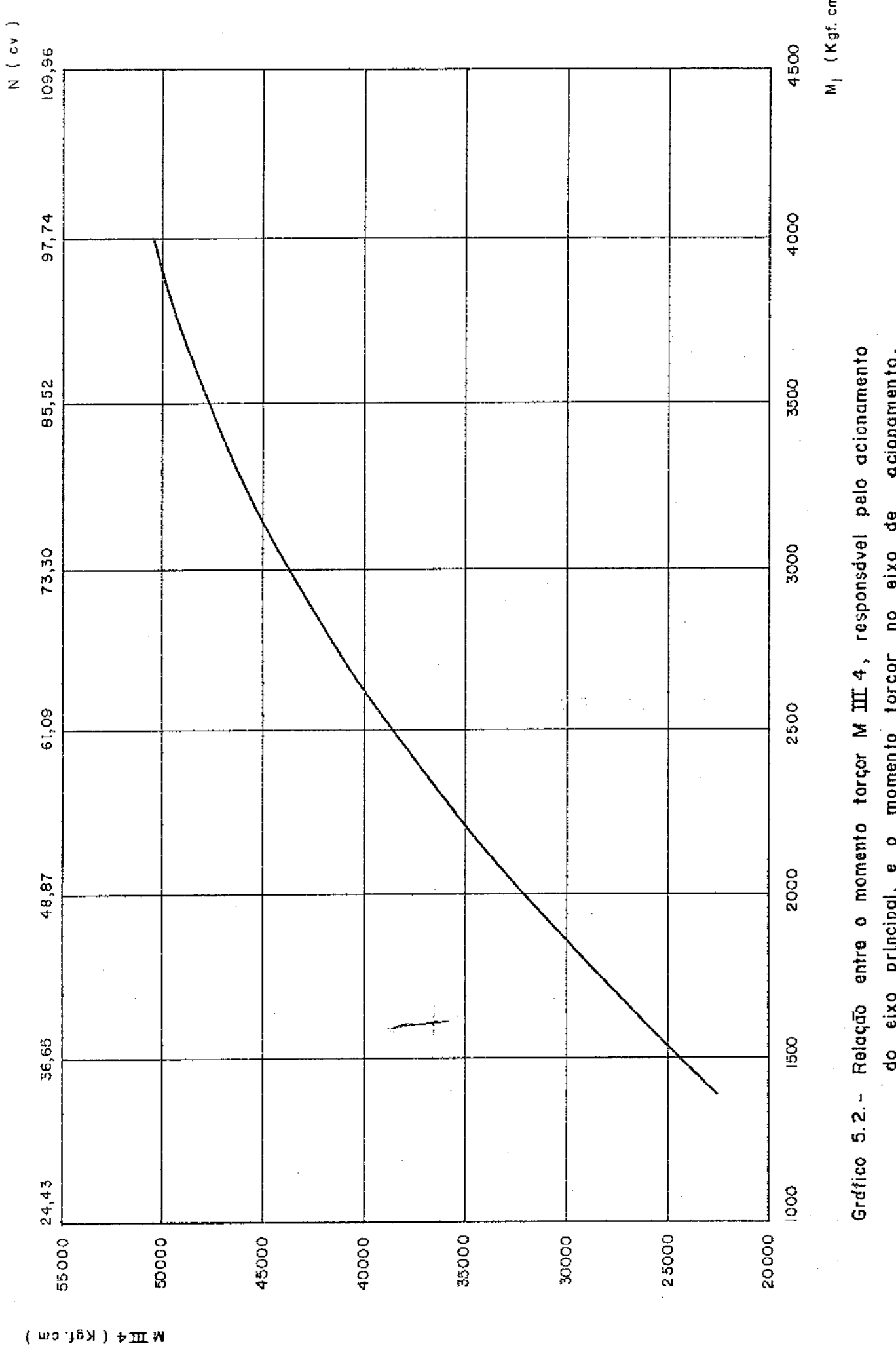


Gráfico 5.2. - Relação entre o momento torçor  $M_{III\ 4}$ , responsável pelo acionamento do eixo principal, e o momento torçor no eixo de acionamento,  $M_I$ .

5.2.3. DETERMINAÇÃO DO GRÁFICO ( $M_I \times M_{III3}$ )

a) REGRESSÃO POLINOMIAL DO 1º GRAU

coeficientes do polinômio  $\begin{cases} b_0 = -11065,7769 \\ b_1 = 0,1113881 \cdot 10^2 \end{cases}$

QUADRO DE ANÁLISE DA VARIÂNCIA PARA O POLINÔMIO DO 1º GRAU

FONTE DE VARIAÇÃO	SOMA DE QUADRADOS	GRAUS DE LIBERDADE	QUADRADO MÉDIO	$F_{CALCULADO}$
POLINÔMIO GRAU 1	$0,3043642 \cdot 10^{11}$	1		
MELHORIA	$0,5827814 \cdot 10^9$	1	$0,5827814 \cdot 10^9$	162,48
POLINÔMIO GRAU 2	$0,3101921 \cdot 10^{11}$	2		
RESÍDUO	$0,1997879 \cdot 10^{10}$	557	$0,3586857 \cdot 10^7$	
TOTAL	$0,3301708 \cdot 10^{11}$	559		

Na TABELA de SNEDECOR encontra-se  $F_{0,05;1,557} = 3,85$ .

Como  $F_{calc} = 162,48 > 3,85$ , conclui-se que para o nível de significância 0,05 há melhoria.

b) REGRESSÃO POLINOMIAL DO 2º GRAU

coeficientes do polinômio  $\begin{cases} b_0 = 6284,75867 \\ b_1 = -0,2426895 \cdot 10^1 \\ b_2 = 0,2489361 \cdot 10^{-2} \end{cases}$

QUADRO DE ANÁLISE DA VARIÂNCIA PARA O POLINÔMIO DO 2º GRAU

FONTE DE VARIAÇÃO	SOMA DE QUADRADOS	GRAUS DE LIBERDADE	QUADRADO MÉDIO	F CALCULADO
POLINÔMIO GRAU 2	$0,3101921 \cdot 10^{11}$	2		
MELHORIA	$0,1148570 \cdot 10^8$	1	$0,1148570 \cdot 10^8$	3,21
POLINÔMIO GRAU 3	$0,3103069 \cdot 10^{11}$	3		
RESÍDUO	$0,1986394 \cdot 10^{10}$	556	$0,3572650 \cdot 10^7$	
TOTAL	$0,3301708 \cdot 10^{11}$	559		

Na TABELA de SNEDECOR encontra-se  $F_{0,05;1;556} = 3,85$

Como  $F_{\text{calc}} = 3,21 < 3,85$ , conclui-se que para o nível de significância 0,05 não há melhoria. Deve-se adotar, portanto, o POLINÔMIO DO 2º GRAU:

$$M_{III3} = 6284,75867 - 0,2426895 \cdot 10^1 M_I + 0,2489361 \cdot 10^{-2} M_I^2 \quad (5.2.3)$$

Sendo que o COEFICIENTE DE DETERMINAÇÃO resulta  $r^2 = 0,94$  (significando que 6% da variação total permanece não explicada) e o ERRO PADRÃO DE ESTIMATIVA  $S_{yx} = 1888,82$  (pode-se afirmar, então, que com 95% de confiança os desvios serão inferiores a 3702,09 kgf.cm). Registrando-se a equação (5.2.3) obtém-se o GRAFICO 5.3 que apresenta a variação de  $M_{III3}$  com  $M_I$ .

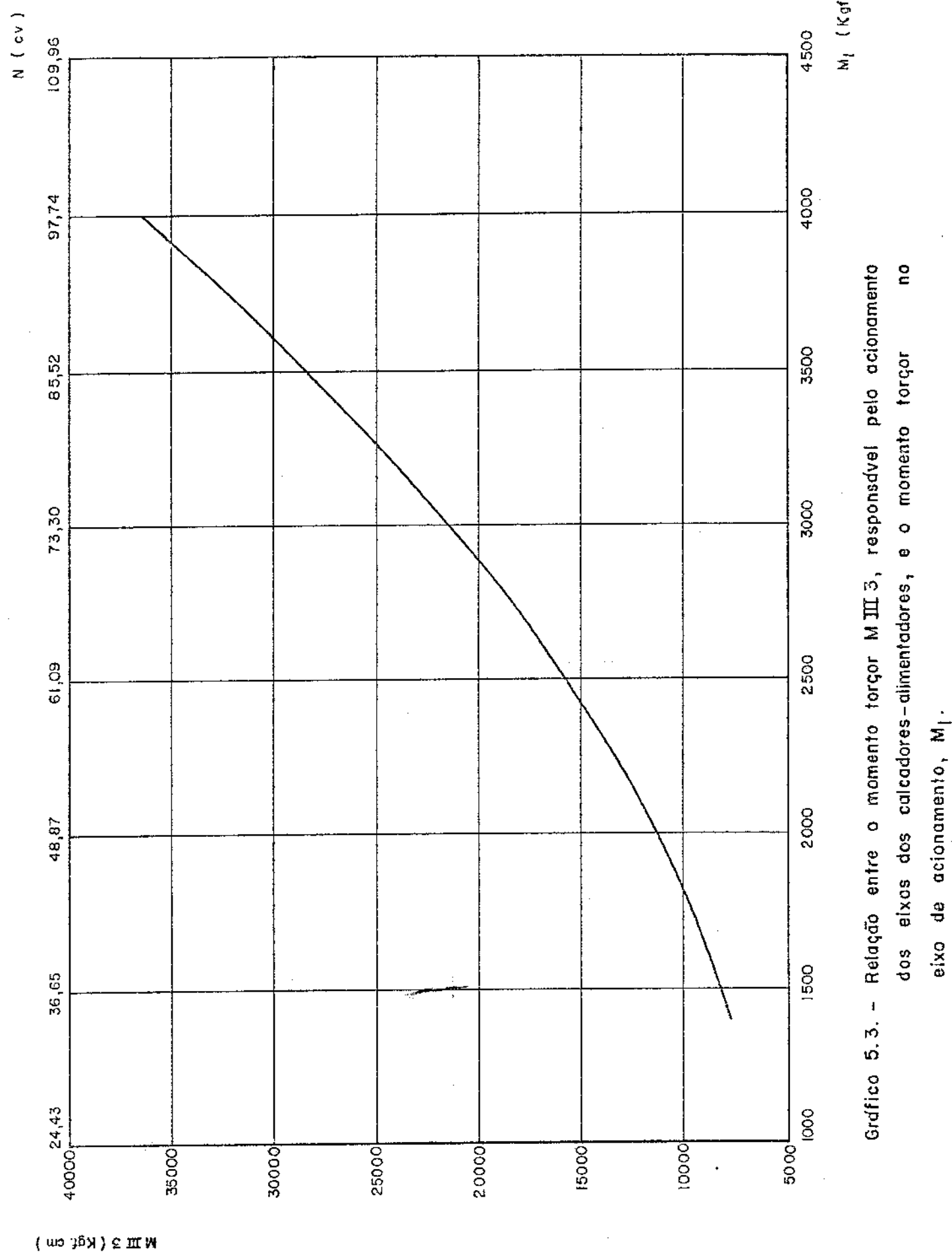


Gráfico 5.3. - Relação entre o momento torçor  $M_{III\ 3}$ , responsável pelo acionamento dos eixos dos caldeiros-alimentadores, e o momento torçor no eixo de acionamento,  $M_I$ .

5.2.4. DETERMINAÇÃO DO GRÁFICO ( $M_I \times \frac{M_{III4}}{M_{III2}}$ )

a) REGRESSÃO POLINOMIAL DO 1º GRAU

coeficientes do polinômio  $\begin{cases} b_0 = 0,87926 \\ b_1 = -0,7079199 \cdot 10^{-4} \end{cases}$

QUADRO DE ANÁLISE DA VARIÂNCIA PARA O POLINÔMIO DO 1º GRAU

FONTE DE VARIAÇÃO	SOMA DE QUADRADOS	GRAUS DE LIBERDADE	QUADRADO MÉDIO	F CALCULADO
POLINÔMIO GRAU 1	$0,1229376 \cdot 10^1$	1		
MELHORIA	$0,2392010 \cdot 10^{-1}$	1	$0,2392010 \cdot 10^{-1}$	19,09
POLINÔMIO GRAU 2	$0,1253296 \cdot 10^1$	2		
RESÍDUO	0,6978797	557	$0,1252926 \cdot 10^{-2}$	
TOTAL	$0,1951175 \cdot 10^1$	559		

Na TABELA de SNEDECOR encontra-se  $F_{0,05;1;557} = 3,85$ .

Como  $F_{calc} = 19,09 > 3,85$ , conclui-se que para o nível de significância 0,05 há melhoria.

b) REGRESSÃO POLINOMIAL DO 2º GRAU

coeficientes do polinômio  $\begin{cases} b_0 = 0,76809 \\ b_1 = 0,1612011 \cdot 10^{-4} \\ b_2 = -0,1594871 \cdot 10^{-7} \end{cases}$

QUADRO DE ANÁLISE DA VARIÂNCIA PARA O POLINÔMIO DO 2º GRAU

FONTE DE VARIAÇÃO	SOMA DE QUADRADOS	GRAUS DE LIBERDADE	QUADRADO MÉDIO	F CALCULADO
POLINÔMIO GRAU 2	0,1253296.10 <sup>1</sup>	2		
MELHORIA	0,3584176.10 <sup>-3</sup>	1	0,3584176.10 <sup>-3</sup>	0,28
TOTAL	0,1951175.10 <sup>1</sup>	559		

Na TABELA de SNEDECOR encontra-se  $F_{0,05;1;556} = 3,85$ .

Como  $F_{\text{calc}} = 0,28 < 3,85$ , conclui-se que para o nível de significância 0,05 não há melhoria. Deve-se adotar, portanto, o POLINÔMIO DO 2º GRAU:

$$\frac{M_{III4}}{M_{III2}} = 0,76809 + 0,1612011 \cdot 10^{-4} M_I - 0,1594871 \cdot 10^{-7} M_I^2 \quad (5.2.4)$$

Sendo que o COEFICIENTE DE DETERMINAÇÃO resulta  $r^2 = 0,64$  (significando que 36% da variação total permanece não explicada) e o ERRO PADRÃO DE ESTIMATIVA  $S_{yx} = 0,0353$  (pode-se afirmar, então, que com 95% de confiança os desvios serão inferiores a 0,0692).

5.2.5. DETERMINAÇÃO DO GRÁFICO ( $M_I \times \frac{M_{III3}}{M_{III2}}$ )

a) REGRESSÃO POLINÔMIAL DO 1º GRAU

coeficientes do polinômio

$$\left\{ \begin{array}{l} b_0 = 0,12061 \\ b_1 = 0,7087334 \cdot 10^{-4} \end{array} \right.$$

QUADRO DE ANÁLISE DA VARIÂNCIA PARA O POLINÔMIO DO 1º GRAU

FONTE DE VARIAÇÃO	SOMA DE QUADRADOS	GRAUS DE LIBERDADE	QUADRADO MÉDIO	$F_{CALCULADO}$
POLINÔMIO GRAU 1	$0,1232202 \cdot 10^1$	1	$0,2332535 \cdot 10^{-1}$	18,62
MELHORIA	$0,2332535 \cdot 10^{-1}$	1		
POLINÔMIO GRAU 2	$0,1255528 \cdot 10^1$	2		
RESÍDUO	0,6975113	557	$0,1252264 \cdot 10^{-4}$	
TOTAL	$0,1953039 \cdot 10^1$	559		

Na TABELA de SNEDECOR encontra-se  $F_{0,05;1;557} = 3,85$ .

Como  $F_{calc} = 18,62 > 3,85$ , conclui-se que para o nível de significância 0,05 há melhoria.

b) REGRESSÃO POLINOMIAL DO 2º GRAU

coeficientes do polinômio

$$\begin{cases} b_0 = 0,23038 \\ b_1 = -0,1494926 \cdot 10^{-4} \\ b_2 = 0,1574879 \cdot 10^{-7} \end{cases}$$

QUADRO DE ANÁLISE DA VARIÂNCIA PARA O POLINÔMIO DO 2º GRAU

FONTE DE VARIAÇÃO	SOMA DE QUADRADOS	GRAUS DE LIBERDADE	QUADRADO MÉDIO	$F_{CALCULADO}$
POLINÔMIO GRAU 2	$0,1255528 \cdot 10^1$	2	$0,3641099 \cdot 10^{-3}$	0,29
MELHORIA	$0,3641099 \cdot 10^{-3}$			
POLINÔMIO GRAU 3	$0,1255892 \cdot 10^1$	3		
RESÍDUO	0,6971472	556	$0,1253862 \cdot 10^{-2}$	
TOTAL	$0,1953039 \cdot 10^1$	559		

Na TABELA de SNEDECOR encontra-se  $F_{0,05;1;556} = 3,85$ .

Como  $F_{calc} = 0,29 < 3,85$ , conclui-se que para o nível de significânc

cia 0,05 não há melhoria. Deve-se adotar, portanto, o POLINÔMIO DO 2º GRAU:

$$\frac{M_{III3}}{M_{III2}} = 0,23038 - 0,1494926 \cdot 10^{-4} M_I + 0,1574879 \cdot 10^{-7} M_I^2 \quad (5.2.5)$$

Sendo que o COEFICIENTE DE DETERMINAÇÃO resulta  $r^2 = 0,64$  (significando que 36% da variação total permanece não explicada) e o ERRO PADRÃO DE ESTIMATIVA  $Syx = 0,0353$  (pode-se afirmar, portanto, que com 95% de confiança os desvios serão inferiores a 0,0692).

Registrando-se as equações (5.2.4) e (5.2.5) obtém-se o GRÁFICO 5.4

que apresenta as variações de  $\frac{M_{III4}}{M_{III2}}$  e  $\frac{M_{III3}}{M_{III2}}$  com  $M_I$ .

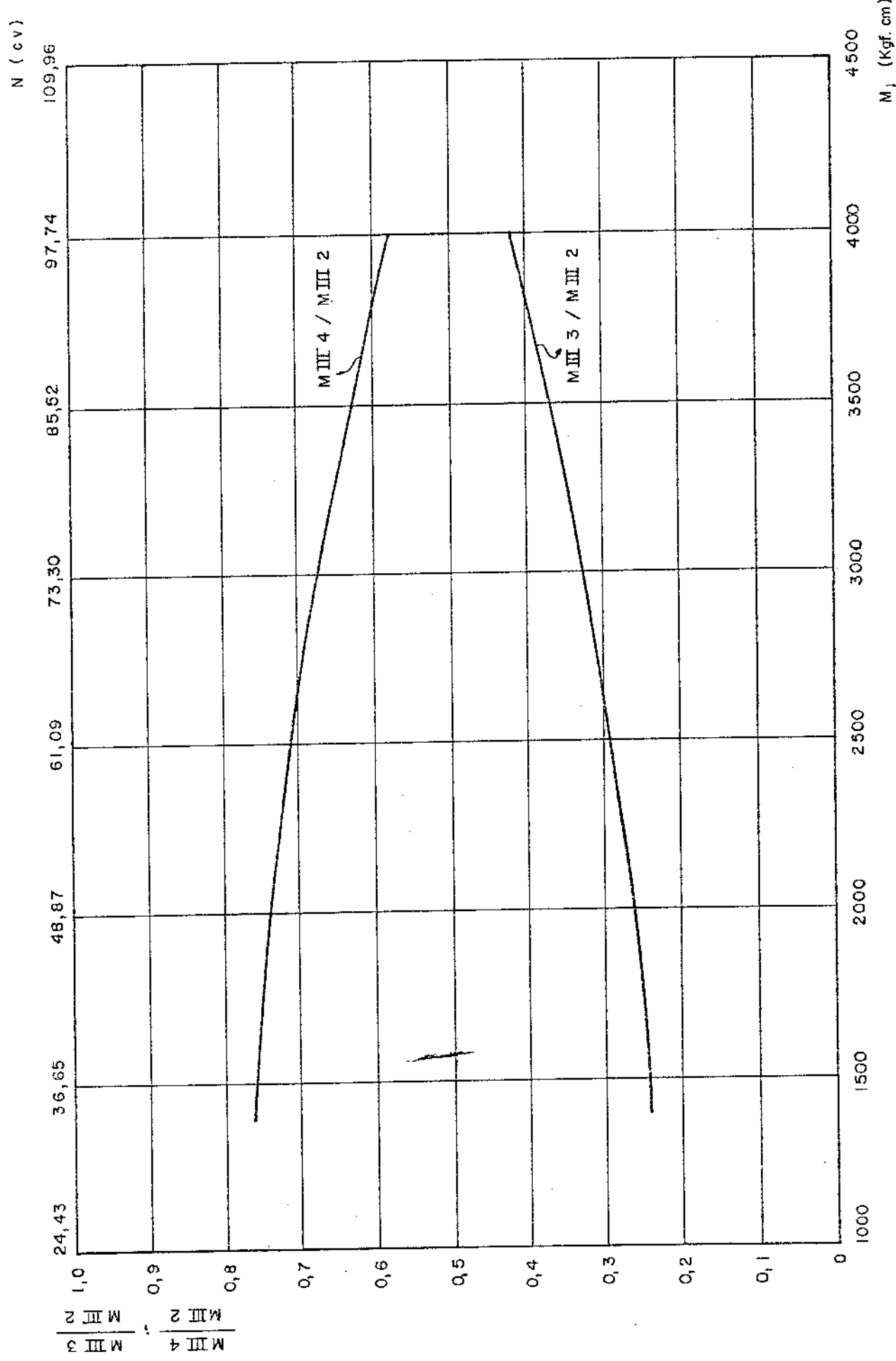


Gráfico 5.4. - Variação das relações  $M_{III\ 4} / M_{III\ 2}$  e  $M_{III\ 3} / M_{III\ 2}$ , dos momentos torquantes no eixo III, com o momento torçor no eixo de aionamento,  $M_1$ .

5.2.6. DETERMINAÇÃO DO GRÁFICO  $(M_I \times \frac{M_{III3}}{M_{III4}})$

a) REGRESSÃO POLINOMIAL DO 1º GRAU

coeficientes do polinômio

$$\left\{ \begin{array}{l} b_0 = 0,04858 \\ b_1 = 0,1541072 \cdot 10^{-3} \end{array} \right.$$

QUADRO DE ANÁLISE DA VARIÂNCIA PARA O POLINÔMIO DO 1º GRAU

FONTE DE VARIAÇÃO	SOMA DE QUADRADOS	GRAUS DE LIBERDADE	QUADRADO MÉDIO	F CALCULADO
POLINÔMIO GRAU 1	$0,5825891 \cdot 10^1$	1		
MELHORIA	0,2672001	1	0,2672001	
POLINÔMIO GRAU 2	$0,6093091 \cdot 10^1$	2		
RESÍDUO	$0,2904164 \cdot 10^1$	557	$0,521394 \cdot 10^{-2}$	
TOTAL	$0,8997255 \cdot 10^1$	559		5,12

Na TABELA de SNEDECOR encontra-se  $F_{0,05;1;557} = 3,85$ .

Como  $F_{calc} = 5,12 > 3,85$ , conclui-se que para o nível de significância 0,05 há melhoria.

b) REGRESSÃO POLINOMIAL DO 2º GRAU

coeficientes do polinômio

$$\left\{ \begin{array}{l} b_0 = 0,4201 \\ b_1 = -0,1363687 \cdot 10^{-3} \\ b_2 = 0,5330348 \cdot 10^{-7} \end{array} \right.$$

QUADRO DE ANÁLISE DA VARIÂNCIA PARA O POLINÔMIO DO 2º GRAU

FONTE DE VARIAÇÃO	SOMA DE QUADRADOS	GRAUS DE LIBERDADE	QUADRADO MÉDIO	$F_{CALCULADO}$
POLINÔMIO GRAU 2 MELHORIA	$0,6093091 \cdot 10^1$ $0,4743397 \cdot 10^{-2}$	2 1	$0,4743397 \cdot 10^{-2}$	0,91
POLINÔMIO GRAU 3 RESÍDUO	$0,6097834 \cdot 10^1$ $0,2899421 \cdot 10^1$	3 556	$0,5214786 \cdot 10^{-2}$	
TOTAL	$0,8997255 \cdot 10^1$	559		

Na TABELA de SNEDECOR encontra-se  $F_{0,05;1;556} = 3,85$ .

Como  $F_{calc} = 0,91 < 3,85$ , conclui-se que para o nível de significância 0,05 não há melhoria. Deve-se adotar, portanto, o POLINÔMIO DO 2º GRAU:

$$\frac{M_{III3}}{M_{III4}} = 0,4201 - 0,1363687 \cdot 10^{-3} M_I + 0,5330348 \cdot 10^{-7} M_I^2 \quad (5.2.6)$$

Sendo que o COEFICIENTE DE DETERMINAÇÃO resulta  $r^2 = 0,68$  (significando que 32% da variação total permanece não explicada) e o ERRO PADRÃO DE ESTIMATIVA  $S_{yx} = 0,072$  (pode-se afirmar, portanto, que com 95% de confiança os desvios serão inferiores a 0,141).

Registrando-se a equação (5.2.6) obtém-se o GRÁFICO 5.5 que apresenta

a variação de  $\frac{M_{III3}}{M_{III4}}$  com  $M_I$ .

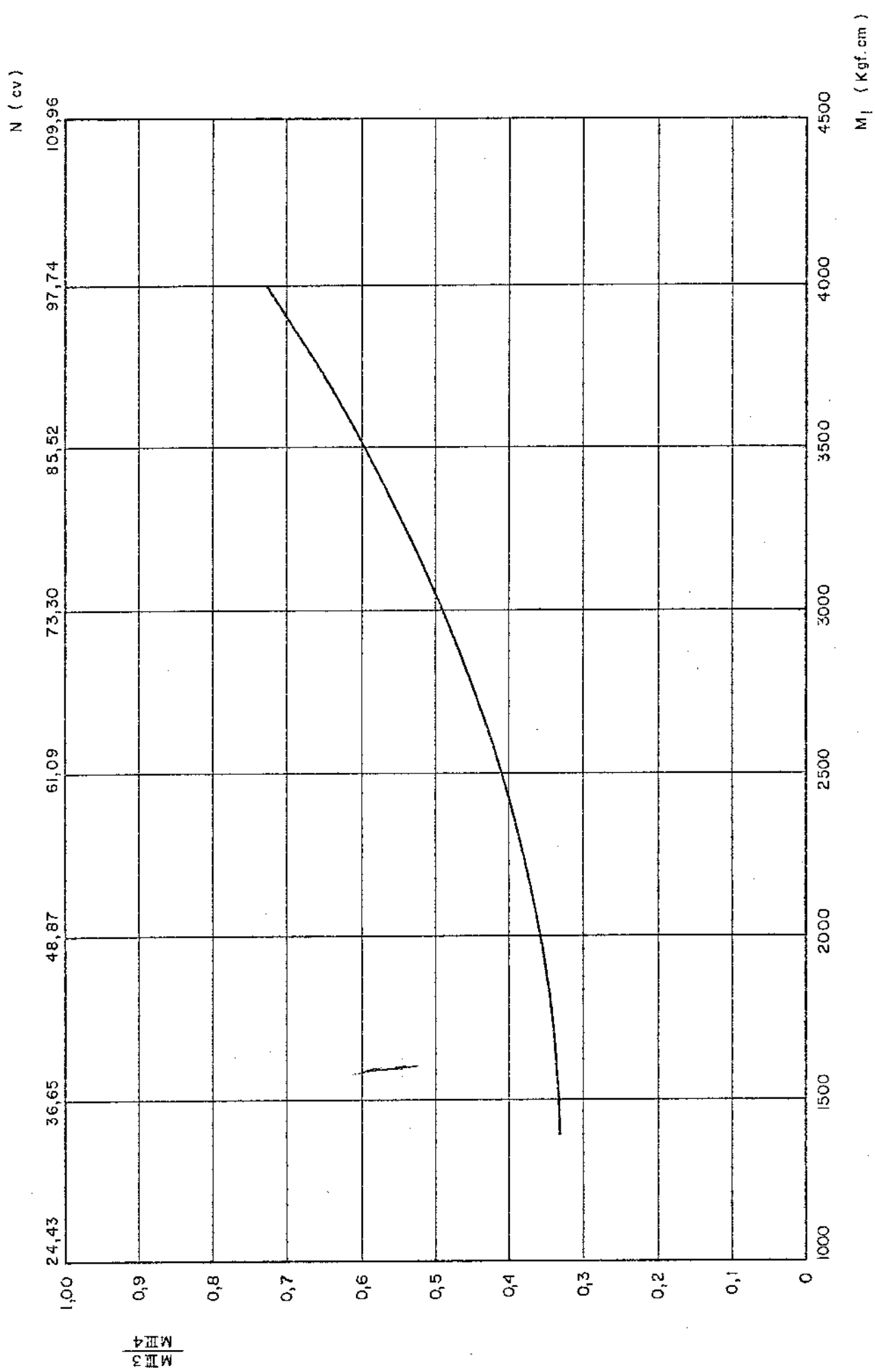


Gráfico 5.5. - Variação da relação  $M_{III3} / M_{III4}$ , dos momentos torcões atuantes no eixo III, com o momento torçor no eixo de açãoamento,  $M_I$ .

5.2.7. DETERMINAÇÃO DO GRÁFICO ( $M_I \times P$ )

a) REGRESSÃO POLINOMIAL DO 1º GRAU

coeficientes do polinômio

$$\left\{ \begin{array}{l} b_0 = -0,43951 \\ b_1 = 0,5407125 \cdot 10^{-2} \end{array} \right.$$

QUADRO DE ANÁLISE DA VARIÂNCIA PARA O POLINÔMIO DO 1º GRAU

FONTE DE VARIAÇÃO	SOMA DE QUADRADOS	GRAUS DE LIBERDADE	QUADRADO MÉDIO	F CALCULADO
POLINÔMIO GRAU 1	$0,7172145 \cdot 10^4$	1		
MELHORIA	$0,8367580 \cdot 10^3$	1	$0,8367580 \cdot 10^3$	476,54
POLINÔMIO GRAU 2	$0,8008903 \cdot 10^4$	2		
RESÍDUO	$0,9780340 \cdot 10^3$	557	$0,1755896 \cdot 10^1$	
TOTAL	$0,8986937 \cdot 10^4$	559		

Na TABELA de SNEDECOR encontra-se  $F_{0,05;1,557} = 3,85$ .

Como  $F_{calc} = 476,54 > 3,85$ , conclui-se que para o nível de significância 0,05 há melhoria.

b) REGRESSÃO POLINOMIAL DO 2º GRAU

coeficientes do polinômio

$$\left\{ \begin{array}{l} b_0 = -13,46718 \\ b_1 = 0,1559295 \cdot 10^{-1} \\ b_2 = -0,1869141 \cdot 10^{-5} \end{array} \right.$$

QUADRO DE ANÁLISE DA VARIÂNCIA PARA O POLINÔMIO DO 2º GRAU

FONTE DE VARIAÇÃO	SOMA DE QUADRADOS	GRAUS DE LIBERDADE	QUADRADO MÉDIO	F CALCULADO
POLINÔMIO GRAU 2	$0,8008903 \cdot 10^4$	2		
MELHORIA	$0,6719000 \cdot 10^1$	1	$0,6719000 \cdot 10^1$	
POLINÔMIO GRAU 3	$0,8015622 \cdot 10^4$	3		
RESÍDUO	$0,9713148 \cdot 10^3$	556	$0,1746969 \cdot 10^1$	
TOTAL	$0,8986937 \cdot 10^4$	559		

Na TABELA de SNEDECOR encontra-se  $F_{0,05;1,556} = 3,85$ .

Como  $F_{calc} = 3,84 < 3,85$ , conclui-se que para o nível de significância 0,05 não há melhoria. Deve-se adotar, portanto, o POLINÔMIO DO 2º GRAU:

$$P = -13,46718 + 0,1559295 \cdot 10^{-1} M_I - 0,1869141 \cdot 10^{-5} M_I^2 \quad (5.2.7)$$

Sendo que o COEFICIENTE DE DETERMINAÇÃO resulta  $r^2 = 0,89$  (significando que 11% da variação total permanece não explicada) e o ERRO Padrão de ESTIMATIVA  $S_{yx} = 1,321$  (pode-se afirmar, então, que com 95% de confiança os desvios serão inferiores a 2,589 tf).

Registrando-se a equação (5.2.7) obtém-se o GRÁFICO 5.6 que apresenta a variação de P com  $M_I$ .

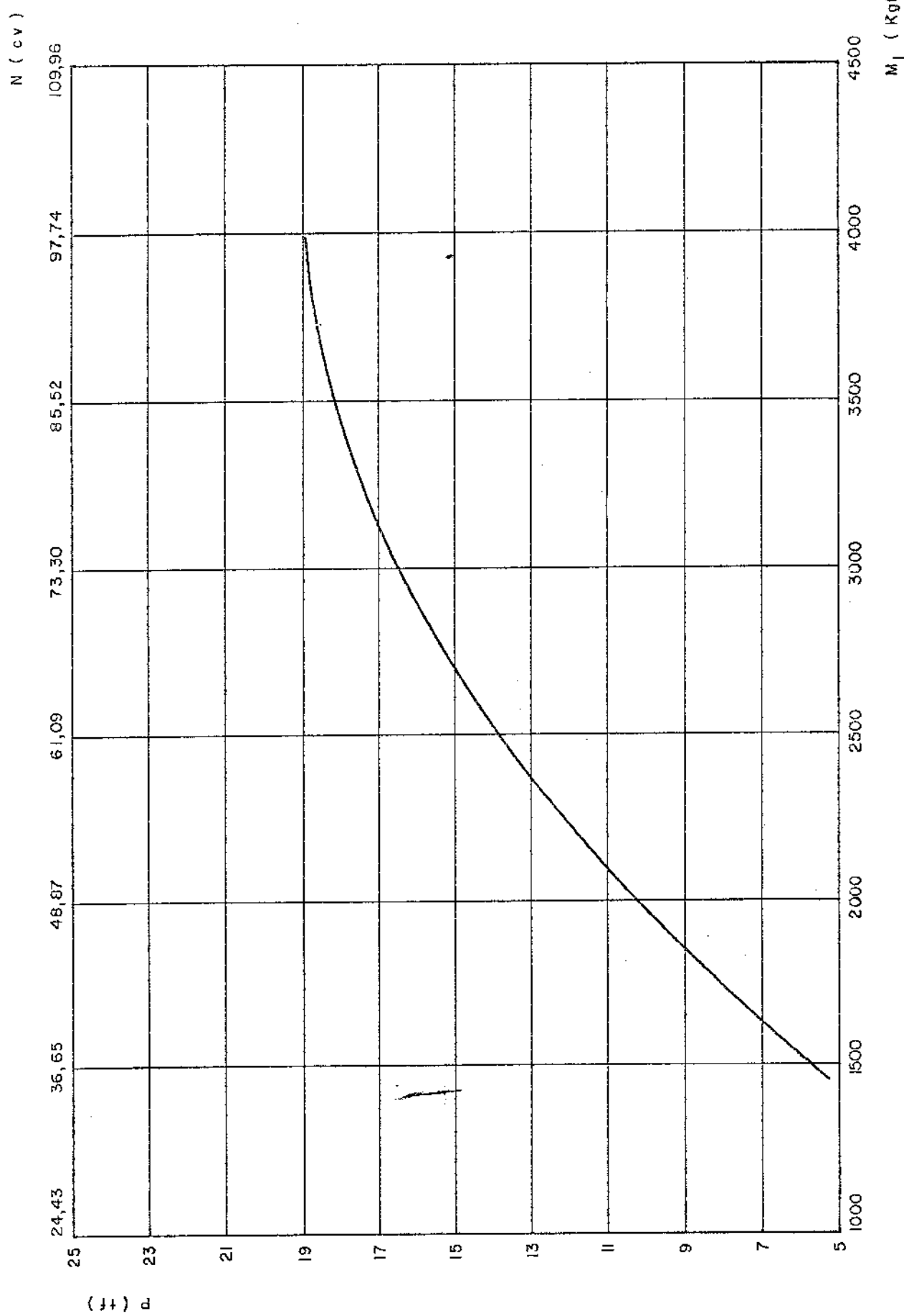


Grafico 5.6. - Variação da força axial,  $P$ , com o momento torque no eixo de aionamento,  $M_I$ .

## CAPÍTULO VI

### VERIFICAÇÃO E DIMENSIONAMENTO DOS PRINCIPAIS COMPONENTES

#### 6.1. GENERALIDADES

O dimensionamento completo da MAROMBA seria muito extenso, fugindo da finalidade desta pesquisa que tem por objetivo fornecer aos engenheiros projetistas os elementos necessários para a otimização da máquina, elementos estes baseados nos ensaios experimentais e em um critério racional de dimensionamento.

Desta forma, escolheram-se alguns componentes representativos e de maior complexidade, tais como o motor elétrico e os órgãos mecânicos referentes ao eixo intermediário (eixo III): pares de rodas dentadas (par motor nº 2, nº 3 e nº 4), os rolamentos e o eixo propriamente.

#### 6.2. MOTOR ELÉTRICO

Os ensaios foram realizados durante dois dias de trabalho com a máquina operando nas mais diversas condições de carregamento a fim de reproduzir o funcionamento real na sua vida útil. A figura 6.1 representa, esquematicamente, os momentos torções fornecidos pelo motor, nos respectivos tempos de atuação, durante o ensaio. Tratando-se de motor de indução, trifásico, em curto-circuito, de regime contínuo com solicitações variáveis, o *MOMENTO TORÇOR EQUIVALENTE* pode ser fornecido pela equação [14, 15, 16, 17, 18, 19, 20] :

$$M_{eq} = \sqrt{\frac{M_1^2 \Delta T_1 + M_2^2 \Delta T_2 + \dots + M_n^2 \Delta T_n}{T}}$$

ou ainda,

$$M_{eq} = \sqrt{\sum M_i^2 f_i} \quad (6.2.1)$$

onde,

$$f_i = \frac{\Delta T_i}{T} \quad (\text{FREQUÊNCIA DE UTILIZAÇÃO})$$

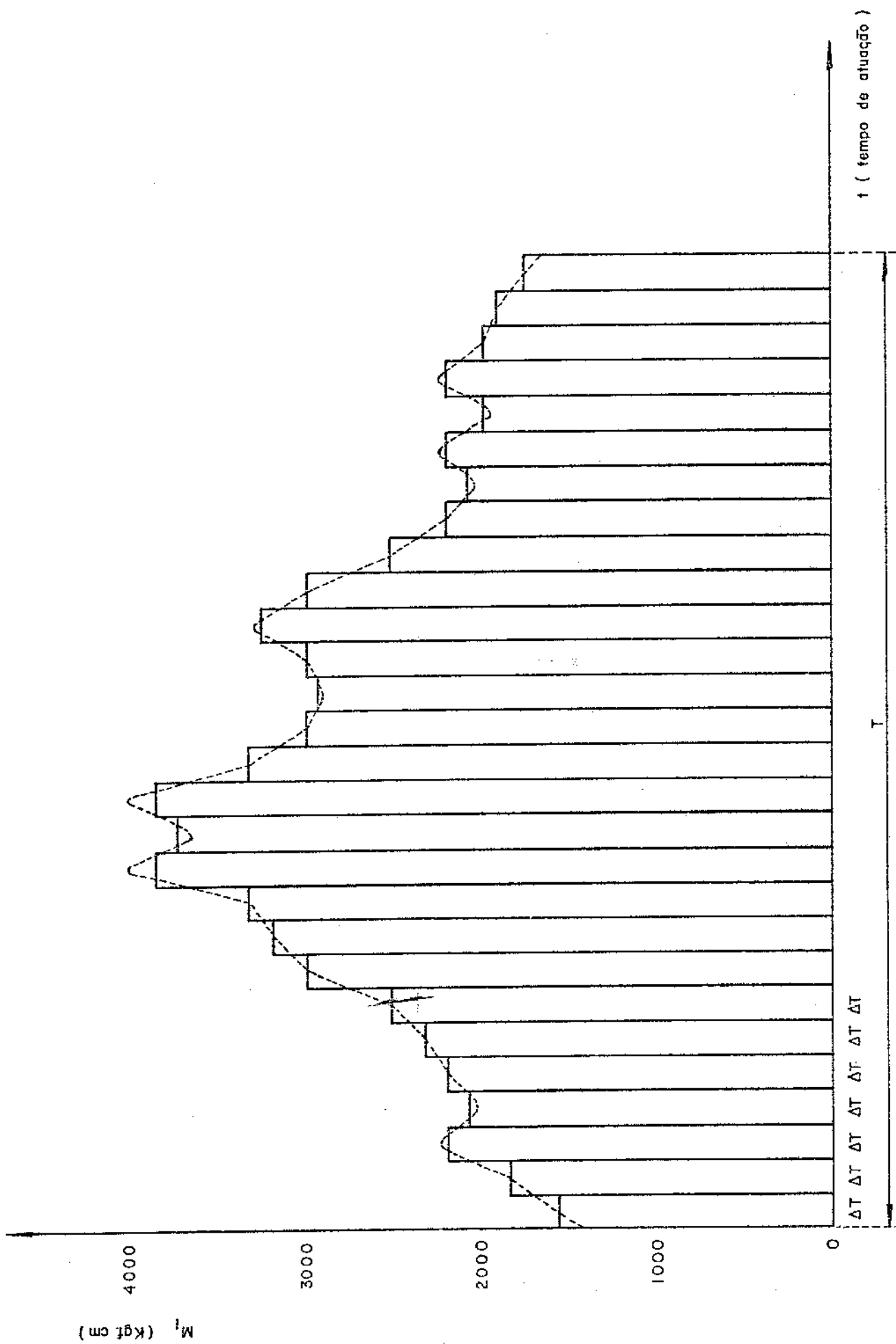


Fig. 6.1. - Diagrama de carga do motor

Através dos ensaios determinou-se o diagrama ordenado de momentos torcões em função das respectivas frequências de utilização (figura 6.2).

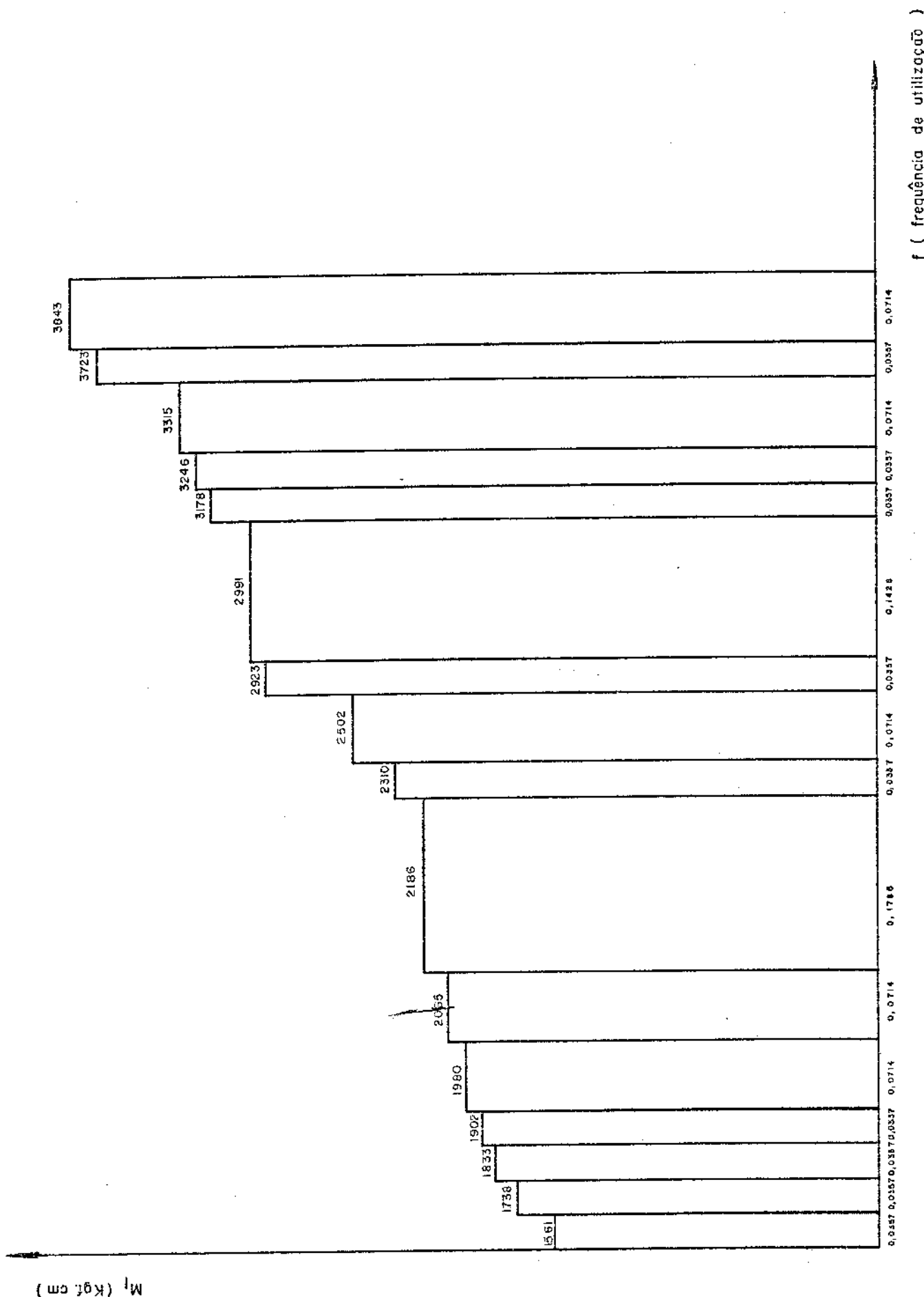


Fig. 6.2. - Diagrama de carga do motor obtido através dos ensaios.

A TABELA VI.1 fornece os valores dos momentos torcões,  $M_i$ , das frequências de utilização,  $f_i$ , correspondentes, e dos produtos  $M_i^2 f_i$ .

TABELA VI.1 - VALORES DOS MOMENTOS TORCÕES  $M_i$ , DAS FREQUÊNCIAS DE UTILIZAÇÃO  $f_i$  E DOS PRODUTOS  $M_i^2 f_i$

MOMENTO TORÇOR $M_i$	FREQUÊNCIA DE UTILIZAÇÃO $f_i$	PRODUTO $M_i^2 f_i$
1561	0,0357	86990,94
1738	0,0357	107836,99
1833	0,0357	119948,04
1902	0,0357	129148,46
1980	0,0714	279915,56
2065	0,0714	304465,67
2186	0,1785	852979,39
2310	0,0357	190498,77
2502	0,0714	446964,29
2923	0,0357	305018,27
2991	0,1428	1277500,37
3178	0,0357	360558,72
3246	0,0357	376153,62
3315	0,0714	784630,67
3723	0,0357	494828,03
3843	0,0714	1054481,54

Aplicando-se a equação (6.2.1), o MOMENTO TORÇOR EQUIVALENTE fornecido pelo motor será:

$$(M_T)_{eq} = \sqrt{\sum M_i^2 f_i} = 2678 \text{ kgf.cm}$$

Para uma rotação em carga de 1750 rpm (item 4.6) a POTÊNCIA EQUIVALENTE é:

$$N_{eq} = \frac{(M_I)_{eq} n_I}{71620} = 65,4 \text{ cv}$$

Empregando-se, por exemplo, um motor trifásico, de indução, em corte circuito, de fabricação ARNO, para a POTÊNCIA NOMINAL de 75 cv, tem-se:

$$\text{POTÊNCIA NOMINAL} = N_n = 75 \text{ cv}$$

$$\text{MOMENTO TORÇOR NOMINAL} = M_{tn} = 3069 \text{ kgf.cm}$$

$$\text{ROTAÇÃO NOMINAL} = n_n = 1750 \text{ rpm}$$

CARACTERÍSTICA ELÉTRICA = CATEGORIA B

A figura 6.3 fornece a CURVA CARACTERÍSTICA (conjunto x rotação) deste motor, de acordo com o catálogo do fabricante.

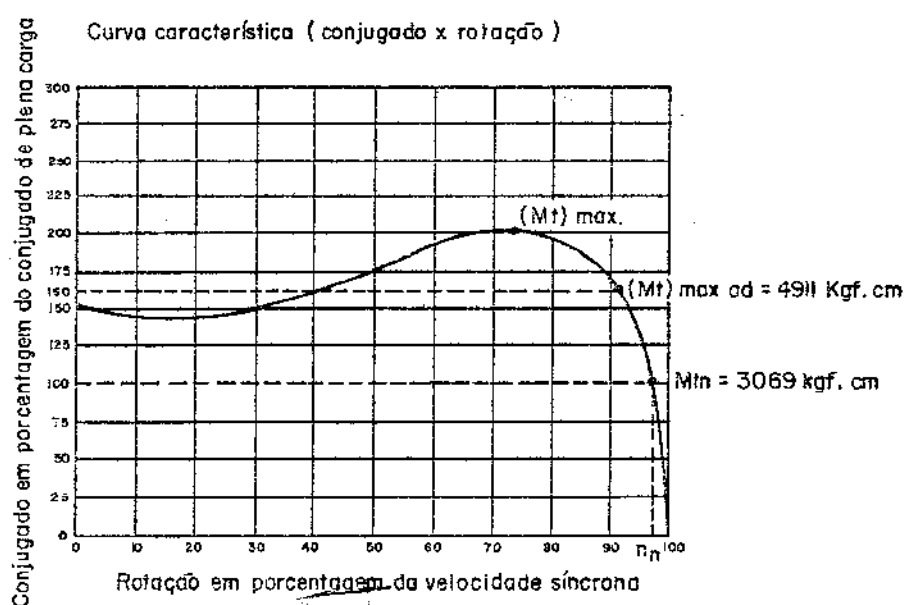


Fig. 6.3 - Curva característica do motor para uma potência nominal (plena carga) de 75cv

Na TABELA relativa ao ENSAIO 14 (CAPÍTULO IV), constata-se que o momento torçor máximo fornecido pelo motor, durante todo o tempo de ensaio, foi 4013 kgf.cm. Na figura 6.3 verifica-se que o referido motor, com 80% de seu conjugado máximo pode fornecer um momento torçor de 4911 kgf.cm. De acordo com a literatura especializada [14, 15, 16, 17, 18, 19, 20], este motor pode trabalhar nesta condição em um tempo aproximado de 10 minutos, desde que a tensão da linha de alimentação se mantenha aproximadamente constante.

Sendo a carga máxima, com a qual o motor trabalhou, 81,7% da carga máxima admissível de 4911 kgf.cm, conclui-se que o motor de 75 cv pode ser empregado nas condições normais de funcionamento da máquina.

### 6.3. PARES DE RODAS DENTADAS

Para a verificação das *ENGRANAGENS* quanto ao dimensionamento, baseou-se, inicialmente, nos parâmetros geométricos e materiais fornecidos pelo fabricante. A distribuição de momento torçor, nas engrenagens, foi obtida a partir do *DIAGRAMA DE CARGA DO MOTOR* (figura 6.2) e dos *GRÁFICOS* (ou equações) desenvolvidos no item 5.2 do CAPÍTULO V, que fornecem a distribuição de carga nos diferentes eixos da *MAROMBA* em função do momento motor no eixo de acionamento, para a máquina operando em diversas condições de trabalho. A TABELA VI.2 apresenta os valores dos momentos torções atuantes em cada par motor e suas respectivas frequências de utilização. Neste processamento foi computado o *ERRO PADRÃO DE ESTIMATIVA* para 95% de confiança.

TABELA VI.2 - VALORES DOS MOMENTOS TORÇORES ATUANTES EM CADA PAR MOTOR E SUAS RESPECTIVAS FREQUÊNCIAS DE UTILIZAÇÃO

$(M_I)_i$ [kgf.cm]	$(M_{III4})_i$ [kgf.cm]	$(M_{III3})_i$ [kgf.cm]	$(M_{III2})_i$ [kgf.cm]	$(M_{III})_i$ [kgf.cm]	FREQUÊNCIA DE UTILIZA ÇÃO
1561	29046	12264	41310	10592	0,0357
1738	31868	13288	45156	11578	0,0357
1833	33318	13902	47220	12108	0,0357
1902	34343	14376	48719	12492	0,0357
1980	35473	14941	50414	12927	0,0714
2065	36671	15591	52262	13400	0,0714
2186	38313	16577	54890	14074	0,1785
2310	39919	17664	57583	14765	0,0357
2502	42256	19498	61754	15834	0,0714
2923	46737	24162	70899	18179	0,0357
2991	47378	24998	72376	18558	0,1428
3178	49021	27416	76437	19599	0,0357
3246	49575	28338	77913	19978	0,0357
3315	50114	29298	79412	20362	0,0714
3723	52815	35456	88271	22634	0,0357
3843	53452	37425	90877	23302	0,0714

Uma vez que as engrenagens estão submetidas a solicitações variáveis (cada momento atua em uma determinada frequência) o MOMENTO TORÇOR EQUIVALENTE será dado por [21]:

$$M_{eq} = \sqrt[3]{\sum M_i^3 f_i}$$

Assim, de acordo com a TABELA VI.2:

$$(M_{III4})_{eq} = \sqrt[3]{\sum (M_{III4})_i^3 f_i} = 43398 \text{ kgf.cm} = 433,98 \text{ kgf.m}$$

$$(M_{III3})_{eq} = \sqrt[3]{\sum (M_{III3})_i^3 f_i} = 23993 \text{ kgf.cm} = 239,93 \text{ kgf.m}$$

$$(M_{III2})_{eq} = \sqrt[3]{\sum (M_{III2})_i^3 f_i} = 66926 \text{ kgf.cm} = 669,26 \text{ kgf.m}$$

$$(M_{III1})_{eq} = \sqrt[3]{\sum (M_{III1})_i^3 f_i} = 17160 \text{ kgf.cm} = 171,60 \text{ kgf.m}$$

Os COEFICIENTES DE IMPACTO (razão entre o MOMENTO TORÇOR MÁXIMO e o MOMENTO TORÇOR EQUIVALENTE)  $c_{S2}$ ,  $c_{S3}$  e  $c_{S4}$  para os pares motores nº 2, nº3 e nº 4, respectivamente, são [22]:

$$c_{S2} = \frac{(M_{III1})_{max}}{(M_{III1})_{eq}} = \frac{23302}{17160} = 1,36$$

$$c_{S3} = \frac{(M_{III3})_{max}}{(M_{III3})_{eq}} = \frac{37425}{23993} = 1,56$$

$$C_{S4} = \frac{(M_{III4})_{\max}}{(M_{III4})_{\text{eq}}} = \frac{53452}{43398} = 1,23$$

A figura 6.4 representa esquematicamente os eixos e engrenagens da maromba e apresenta os pares motores nº 2, nº 3 e nº 4 que serão tratados neste item.

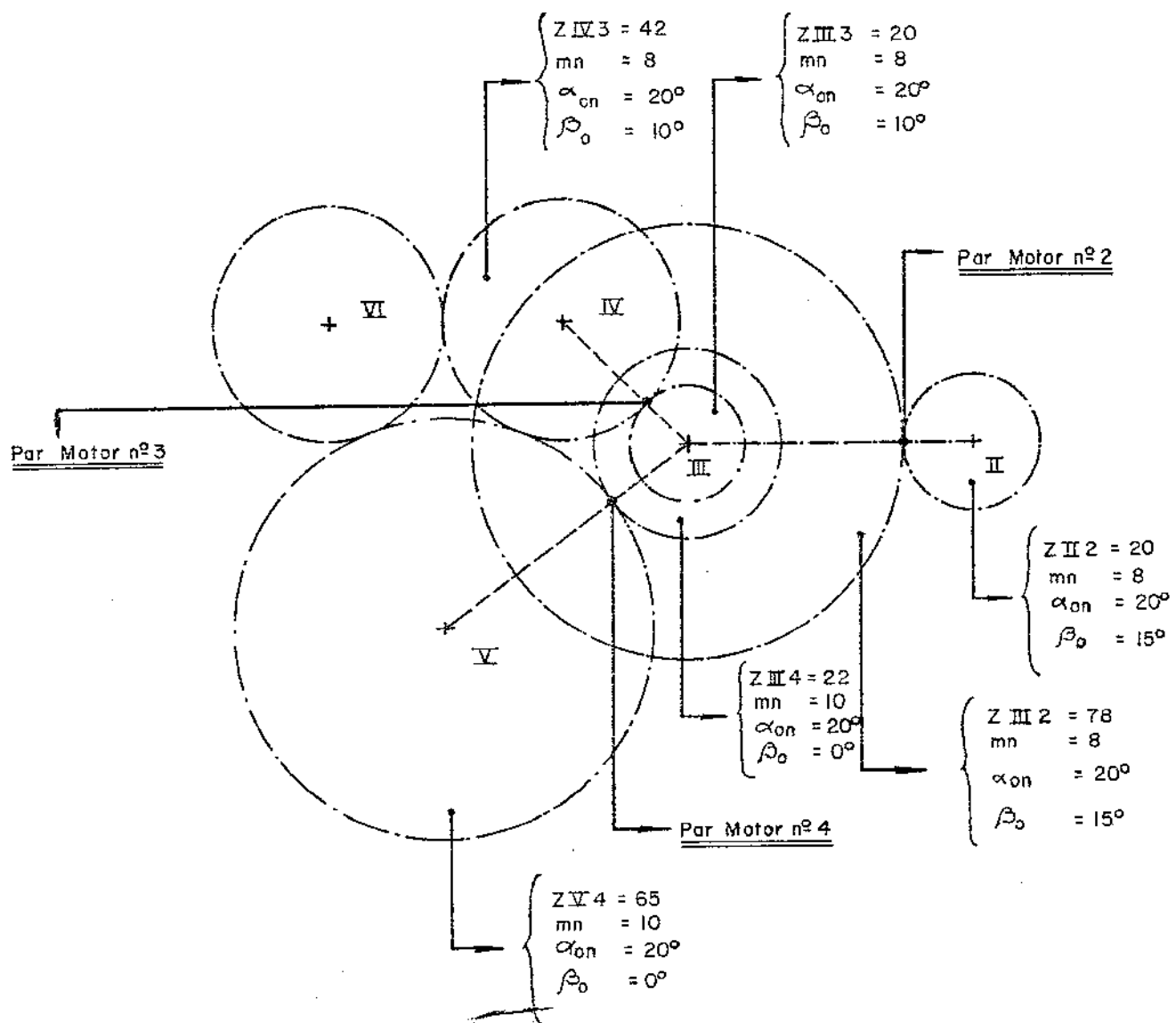


Fig. 6.4.- Representação esquemática dos eixos e engrenagens da maromba e pares motores nº 2, nº 3, nº 4.

A verificação das engrenagens foi feita segundo o *METODO NIEMANN* [22] com o auxílio do *PROGRAMA COMPUTACIONAL ENGRO*, escrito em *FORTRAN* e desenvolvido pelo Engº. *GERALDO NONATO TELLES* do Centro de Tecnologia da UNICAMP. Este *PROGRAMA* não só determina os parâmetros geométricos de cada par engrenado como também avalia a vida (em horas) das engrenagens com relação a *FLEXÃO NO PÉ DO DENTE* e quanto a *CRATERIZAÇÃO (PITTING)*.

6.3.1. PAR MOTOR Nº 2

\*\*\*PROJETO DE ENGRANAGENS SEGUNDO METODO NIEMANN\*\*\*

DADOS FORNECIDOS PELO USUARIO:

FMN= 8. 0000 MODULO NA SECCAO NORMAL AO DENTE EM MM  
TRU = 3. 9000 RELACAO DE TRANSMISSAO I22/I21  
ROTM = 278. 2200 ROTACAO DA ENGRANAGEM MOTORA EM RPM  
BETOG= 15. 0000 ANGULO DE HELICE NA CIRC. PRIMITIVA EM GRAUS  
RLONG= 20. 0000 ANGULO DE PRESSAO NA SECCAO NORMAL NA CIRCUNFERENCIA  
PRIMITIVA EM GRAUS  
R = 405. 8100 DISTANCIA ENTRE EIXOS EM MM  
MEN1 = FIXA DISTANCIA ENTRE EIXOS E FIXA  
X1 = 0. 25000000 CORRECÇÃO NO PERFIL DO PINHÃO  
MEN2 = C ENGRANAGENS USINADAS COM PRECISAO E BEM APOIADAS EM  
CAIXAS DE ENGRANAGENS  
B1 = 155. 0000 LARGURA DO DENTE EM MM  
TORQ = 171. 6000 MOMENTO TORSOR NA ENGRANAGEM MOTORA EMN\*KGF  
MDT = 1 INDICE DA ENGRANAGEM MOTORA  
MEN5 = 6 CARGA NUM SO SENTIDO  
MEN3 = 9 QUALIDADE DIN 3962  
MEN4 = BIAPoiADA INFORMACAO SOBRE O PINHÃO  
CS = 1. 3600 COEFICIENTE DE IMPACTO, RAZAO ENTRE O MOMENTO MAXIMO  
EXTERNO E O MOMENTO NOMINAL  
MAT1 = 22 MATERIAL DO PINHÃO CONFORME NORMA DIN = CK 45 ACO TE  
MIPERADO EM FORNO OU POR INDUÇÃO  
MAT2 = 5 MATERIAL DA COROA CONFORME NORMA DIN = GS 52 ACO FU  
NDIDO  
MEN6 = 8 ENGRANAGEM USADA EM AUTOVEICULOS E INDUSTRIA  
LUBRI= 16 LUBRIFICANTE UTILIZADO OLEO ESSO TERESSO TIPO 100 SA  
E 90  
TEMP= 45. 0000 TEMP DE SERVICO EM GRAUS CELSIOS  
H1 = 350. 0000 DUREZA BRINELL DO PINHÃO  
MEN7 = 1 SAIRAO IMPRESSAS TODAS AS VARIAVEIS CALCULADAS

RESULTADOS CALCULADOS PELO PROGRAMA

FMN= 8. 0000 MODULO NA SECCAO NORMAL AO DENTE EM MM  
I21 = 20 NUMERO DE DENTES DO PINHÃO  
I22 = 78 NUMERO DE DENTES DA COROA  
TAUB = 3. 9000 RELACAO EFETIVA DE TRANSMISSAO I22/I21  
R0 = 405. 8100 DISTANCIA ENTRE EIXOS EFETIVA EM MM  
FMF = 8. 2822 MODULO NA SECCAO FRONTAL EM MM  
RLBNG= 19. 9934 ANGULO DE PRESSAO NA CIRCUNFERENCIA DETRABALHO NA SE  
CCAO NORMAL EM GRAUS  
X1 = 0. 25000000 CORRECÇÃO NO PERFIL DO DENTE DO PINHÃO  
X2 = -0. 25226718 CORRECÇÃO NO PERFIL DO DENTE DA COROA  
RL0G = 20. 6469 ANGULO DE PRESSAO NA CIRCUNFERENCIA PRIMITIVA EM GR  
US

BETGG= 14. 0761 ANGULO DE HELICE NA CIRCUNFERENCIA DE BASE EM GRAUS  
DB1 = 165. 6367 DIAMETRO DE TRABALHO DO PINHAO NA SECCAO FRONTAL EM  
MM  
DB2 = 645. 9833 DIAMETRO DE TRABALHO DA COROA SECCAO FRONTAL EM MM  
D01 = 165. 6442 DIAMETRO PRIMITIVO DO PINHAO NA SECCAO FRONTAL EM MM  
D02 = 646. 0124 DIAMETRO PRIMITIVO DA COROA NA SECCAO FRONTAL EM MM  
DG1 = 155. 0051 DIAMETRO DE BASE DO PINHAO NA SECCAO FRONTAL EM MM  
DG2 = 604. 5198 DIAMETRO DE BASE DA COROA NA SECCAO FRONTAL EM MM  
DB1N = 176. 0503 DIAMETRO DE TRABALHO DO PINHAO SECCAO NORMAL EM MM  
DB2N = 686. 5963 DIAMETRO DE TRABALHO DA COROA NA SECCAO NORMAL EM MM  
BETBG= 14. 9994 ANGULO DE HELICE NA CIRCUNFERENCIA DE TRABALHO EM GR  
RUS  
DF1 = 149. 6442 DIAMETRO DE FUNDO DO PINHAO NA SECCAO FRONTAL EM MM  
DF2 = 621. 9758 DIAMETRO DE FUNDO DA COROA NA SECCAO FRONTAL EM MM  
DK1 = 165. 6442 DIAMETRO EXTERNO DO PINHAO NA SECCAO FRONTAL EM MM  
DK2 = 657. 9758 DIAMETRO EXTERNO DA COROA NA SECCAO FRONTAL EM MM  
DK1R = 165. 6442 DIAMETRO EXTERNO REBAIXADO DO PINHAO SECCAO FRONTAL  
EM MM  
DK2R = 657. 9758 DIAMETRO EXTERNO REBAIXADO DA COROA SECCAO FRONTAL  
EM MM  
HK1 = 10. 0037 ADENDO DO PINHAO EM MM  
HK2 = 5. 9963 ADENDO DA COROA EM MM  
HK1R = 10. 0037 ADENDO REBAIXADO DO PINHAO EM MM  
HK2R = 5. 9963 ADENDO REBAIXADO DA COROA EM MM  
FMEN = 7. 5175 MODULO NA LINHA DE ENGRENAIMENTO NA SECCAO NORMAL EM  
MM  
FME = 7. 7503 MODULO NA LINHA DE ENGRENAIMENTO NA SECCAO FRONTAL EM  
MM  
D01N = 176. 0583 DIAMETRO PRIMITIVO DO PINHAO NA SECCAO NORMAL EM MM  
D02N = 686. 6273 DIAMETRO PRIMITIVO DA COROA NA SECCAO NORMAL EM MM  
Z1N = 22. 0073 NUMERO DE DENTES DO PINHAO EQUIVALENTE NA SECCAO NORM  
AL  
Z2N = 85. 8284 NUMERO DE DENTES DA COROA EQUIVALENTE NA SECCAO NORM  
AL  
HF1 = 7. 9963 DEPENDO DO PINHAO EM MM  
HF2 = 12. 0037 DEPENDO DA COROA EM MM  
ALK1G= 33. 3886 ANGULO DE PRESSAO NA CIRCUNFERENCIA EXTERNA DO PINHA  
O EM GRAUS  
ALK2G= 23. 2556 ANGULO DE PRESSAO NA CIRCUNFERENCIA EXTERNA DA COROA  
EM GRAUS  
ALFBG= 20. 6400 ANGULO DE PRESSAO NA CIRCUNFERENCIA DE TRABALHO NA S  
ECCAO FRONTAL EM GRAUS  
BMIN = 155. 0000 LARGURA DAS ENGRENAGENS EM MM  
E1 = 0. 8998 GRAU DE RECOBRIMENTO DO PINHAO  
E2 = 0. 6597 GRAU DE RECOBRIMENTO DA COROA  
U = 2072. 0042 FORCA TANGENCIAL DE ENGRENAIMENTO EM KGF  
ROT1 = 278. 2200 ROTACAO DO PINHAO EM RPM  
ROT2 = 71. 3305 ROTACAO DA COROA EM RPM  
VELOC= 2. 4129 VELOCIDADE TANGENCIAL EM M/SEG  
BM1 = 0. 0007 PRESSAO ESPECIFICA NO FLANCO DO DENTE EM KGF/MM\*\*2  
E = 1. 5577 GRAU DE RECOBRIMENTO TOTAL  
UMIN = 13. 3678 CARGA POR UNIDADE DE LARGURA NO DENTE EM KGF/MM  
EN = 1. 6556 GRAU DE RECOBRIMENTO TOTAL NA SECCAO NORMAL  
GE = 4. 0000 COEFICIENTE PARA CALCULO DO ERRO DE PASSO DA ENGRENA  
GEM = 2. 0000 COEFICIENTE PARA CALCULO DO ERRO DE DIRECAO DOS FLAN  
COS DOS DENTES  
CK = 0. 0000 COEFICIENTE PARA CALCULO DO ERRO DE DIRECAO DOS FLAN  
COS DOS DENTES DEPOIS DE RODADO SOB CARGA  
FR = 24. 8988 ERRO DE DIRECAO DOS FLANCOS DOS DENTES EM MICRONS  
FE = 42. 2721 ERRO DE PASSO DA ENGRENAÇÃO EM MICRONS  
FRW = 19. 6748 ERRO DE DIRECAO DOS FLANCOS DOS DENTES DEPOIS DE RODA  
DO SOB CARGA EM MICRONS

F = 42.2721 MAIOR VALOR DENTRE OS ERROS EM MICRONS  
EW = 1.3749 GRAU DE RECOBRIMENTO EFICAZ  
QE1 = 0.6811 COEFICIENTE REFERENTE AO GRAU DE RECOBRIMENTO PARA O  
CALCULO DA SOLICITACAO NO PE DO DENTE DO PINHAO  
QE2 = 0.7888 COEFICIENTE REFERENTE AO GRAU DE RECOBRIMENTO PARA O  
CALCULO DA SOLICITACAO NO PE DO DENTE DA COROA  
YE = 0.8379 COEFICIENTE REFERENTE AO GRAU DE RECOBRIMENTO PARA O  
CALCULO DA PRESSAO NOS FLANCOS DOS DENTES  
QK1 = 2.3330 FATOR DE FORMA DO PINHAO PARA CALCULO DA SOLICITACAO  
NO PE DO DENTE  
QK2 = 2.3940 FATOR DE FORMA DA COROA PARA CALCULO DA SOLICITACAO  
NO PE DO DENTE  
QW1 = 1.5869 COEFICIENTE DO PINHAO PARA CALCULO DA SOLICITACAO NO  
PE DO DENTE  
QW2 = 1.6884 COEFICIENTE DA COROA PARA CALCULO DA SOLICITACAO NO  
PE DO DENTE  
UDYN = 1.8656 FORCA TANGENCIAL DINAMICA POR MM DE LARGURA DO DENTE  
EM KGF/MM  
ESP = 1.5962 GRAU DE RECOBRIMENTO DE SALTO  
CD = 1.0395 COEFICIENTE DINAMICO DE INFLUENCIA DE CARGA  
CZ = 1.0000 CONSTANTE DE ELASTICIDADE DO DENTE KGF/(MM\*MICRON)  
CT = 1.2470 COEFICIENTE DE REPARTICAO DE CARGA  
CBETA= 0.9320 COEFICIENTE DE INFLUENCIA DE CARGA COMRELACIONAO ANG  
ULO DE HELICE  
BW = 0.1326 VALOR DE CARGA EFICAZ EM KGF/MM\*\*2  
FK01 = 4.3000 TENSAO ADMISSIVEL DE RESISTENCIA A FADIGA DO FLANCO  
DO DENTE DO PINHAO EM KGF/MM\*\*2  
FK02 = 0.3100 TENSAO ADMISSIVEL DE RESISTENCIA A FADIGA NO FLANCO  
DO DENTE DA COROA EM KGF/MM\*\*2  
SIG01= 31.5000 TENSAO ADMISSIVEL DE RESISTENCIA A FADIGA NO PE DO D  
ENTE DO PINHAO EM KGF/MM\*\*2  
SIG02= 15.0000 TENSAO ADMISSIVEL DE RESISTENCIA A FADIGA NO PE DO D  
ENTE DA COROA EM KGF/MM\*\*2  
SIGD1= 31.5000 COEFICIENTE DE RESISTENCIA A FADIGA NO PE DO DENTE D  
O PINHAO EM KGF/MM\*\*2  
SIGD2= 15.0000 COEFICIENTE DE RESISTENCIA A FADIGA NO PE DO DENTE D  
A COROA EM KGF/MM\*\*2  
SB1 = 7.4747 COEFICIENTE DE VERIFICACAO DE CAPACIDADE DO PINHAO C  
OM RELACAO A RUPTURA  
SB2 = 2.9949 COEFICIENTE DE VERIFICACAO DE CAPACIDADE DA COROA CO  
M RELACAO A RUPTURA  
YBETA= 0.9164 COEFICIENTE PARA CALCULO DE PRESSAO NOS FLANCOS COM  
RELACAO AO ANGULO DE HELICE  
YC = 3.1123 COEFICIENTE PARA CALCULO DA PRESSAO NOS FLANCOS COM  
RELACAO AO ANGULO DE PRESSAO  
YY = 0.7500 COEFICIENTE PARA CALCULO DA PRESSAO NOS FLANCOS COM  
RELACAO A VELOCIDADE TANGENCIAL  
YH1 = 3.4038 COEFICIENTE GERAL PARA CALCULO DA PRESSAO NOS FLANCO  
S DO DENTE DO PINHAO  
YH2 = 2.8522 COEFICIENTE GERAL PARA CALCULO DA PRESSAO NOS FLANCO  
S DOS DENTES DA COROA  
YS = 1.1451 FATOR DE VISCOSIDADE NA TEMPERATURA DESERVICO  
VISCO= 169.8273 VISCOSIDADE DO LUBRIFICANTE NA TEMPERATURA DE SERVIC  
O EM CENTSTOKES  
FNTES= 54.5000 MOMENTO DE TORSAO DEVIDO A CARGA DE CORROSAO MM\*KGF  
VSG = 130.1665 VISCOSIDADE DO LUBRIFICANTE A 50 GRausCelsius EM CEN  
TSTOKES  
YG1 = 1.0000 COEFICIENTE PARA CALCULO DA RESISTENCIA DO MATERIAL  
DO PINHAO CONTRA A CRATERIZACAO  
YG2 = 1.0000 COEFICIENTE PARA CALCULO DA RESISTENCIA DO MATERIAL  
DA COROA CONTRA A CRATERIZACAO  
YH1 = 0.3460 FATOR DE DUREZA NA SUPERFICIE DO DENTEDO PINHAO  
YH2 = 1.0000 FATOR DE DUREZA NA SUPERFICIE DO DENTEDA COROA

FKD1 = 1.2779 COEFICIENTE DE RESISTENCIA A FADIGA NOFLANCO DO DENT  
E DO PINHÃO EM KGF/MM\*\*2  
FKD2 = 0.1604 COEFICIENTE DE RESISTENCIA A FADIGA NOFLANCO DO DENT  
E DA COROA EM KGF/MM\*\*2  
SG1 = 2.2533 COEFICIENTE DE VERIFICACAO DE CAPACIDADE DO PINHÃO C  
OM RELACAO A CRATERIZACAO  
SG2 = 0.3795 COEFICIENTE DE VERIFICACAO DE CAPACIDADE DA COROA CO  
M RELACAO A CRATERIZACAO  
FLHG1= INFINITA VIDA DO PINHÃO COM RELACAO A CRATERIZACAO  
FLHG2= 0.6082E+02 VIDA DA COROA LIMITADA PELA CRATERIZACAO EM HORAS.  
FLHB1= INFINITA VIDA DO PINHÃO COM RELACAO A RUPTURA  
FLHB2= INFINITA VIDA DA COROA COM RELACAO A RUPTURA  
FLH1 = INFINITA VIDA DO PINHÃO  
FLH2 = 0.6082E+02 VIDA DA COROA EM HORAS  
FFLH = 0.6082E+02 VIDA DO PAR DE ENGRANAGENS EM HORAS  
WP1 = 188.6988 DISTANCIA SOBRE PINOS OU BOLAS DO PINHÃO EM MM  
R1 = 7.0000 RAIO DO PINO OU BOLA PARA MEDIDA DO WP1 EM MM  
WP2 = 662.2146 DISTANCIA SOBRE PINOS OU BOLAS DA COROA EM MM  
R2 = 7.0000 RAIO DO PINO OU BOLA PARA MEDIDA DO WP2 EM MM  
WD1 = 62.8845 DISTANCIA SOBRE DENTES DO PINHÃO EM MM  
NWD1 = 3 NUMERO DE DENTES PARA MEDIDA DO WD1  
WD2 = 232.6291 DISTANCIA SOBRE DENTES DA COROA EM MM  
NWD2 = 10 NUMERO DE DENTES PARA MEDIDA DO WD2

De acordo com os *RESULTADOS CALCULADOS PELO PROGRAMA*, embora o pinhão e a coroa estejam bem dimensionados com relação a *RUPTURA* (*FLHB1 = FLHB2 = vida infinita*), quanto a *CRATERIZAÇÃO*, apenas o pinhão apresenta vida (*FLHG1*) infinita. A vida da coroa (*FLHG2*) e consequentemente do par (*FFLH*) está limitada em 60,82 horas. Assim, a solução encontrada foi fazer a coroa que era de *AÇO FUNDIDO* apenas, com um tratamento térmico, ou seja, *TEMPERA SUPERFICIAL* com dureza 330 BRINELL (perfeitamente possível segundo informação do fabricante). Tendo-se adotado, então, coroa de *AÇO FUNDIDO*, *TEMPERADA SUPERFI CIALMENTE* com dureza 330 BRINELL, os resultados para o par motor nº 2 foram:

\*\*\*PROJETO DE ENGRANAGENS SEGUNDO METODO NIEMANN\*\*\*

DADOS FORNECIDOS PELO USUARIO

FMN= 8.0000 MODULO NA SECCAO NORMAL AO DENTE EM MM  
TRU = 3.9600 RELACAO DE TRANSMISSAO I22/I21  
ROTM = 279.2200 ROTACAO DA ENGRANAGEM MOTORA EM RPM  
BETBG= 15.0000 ANGULO DE HELICE NA CIRC. PRIMITIVA EM GRAUS  
ALBNG= 20.0000 ANGULO DE PRESSAO NA SECCAO NORMAL NA CIRCUNFERENCIA  
PRIMITIVA EM GRAUS  
R = 405.8100 DISTANCIA ENTRE EIXOS EM MM  
MEN1 = . FIXA DISTANCIA ENTRE EIXOS E FIXA  
X1 = 0.25000000 CORRECÇÃO NO PERFIL DO PINHAO  
MEN2 = C ENGRANAGENS USINADAS COM PRECISAO E BEM APOIADAS EM  
CRIVAS DE ENGRANAGENS  
B1 = 155.0000 LARGURA DO DENTE EM MM  
TORQ = 171.6000 MOMENTO TORSOR NA ENGRANAGEM MOTORA EMM\*KGF  
MOT = 1 INDICE DA ENGRANAGEM MOTORA  
MENS = 0 CARGA NUM SO SENTIDO  
MEN3 = 9 QUALIDADE DIN 3962  
MEN4 = BIAPOIADA INFORMACAO SOBRE O PINHAO  
CS = 1.3600 COEFICIENTE DE IMPACTO, RAZAO ENTRE O MOMENTO MAXIMO  
EXTERNO E O MOMENTO NOMINAL  
MAT1 = 22 MATERIAL DO PINHAO CONFORME NORMA DIN = CK 45 800 TE  
OPERADO EM FORNO OU POR INDUCAO  
MAT2 = 5 MATERIAL DA COROA CONFORME NORMA DIN = GS 52 800 FU  
NDIDO  
MEN5 = 0 ENGRANAGEM USADA EM AUTOVEICULOS E INDUSTRIA  
LUBRI= 16 LUBRIFICANTE UTILIZADO OLEO ESSO TERESSO TIPO 100 SR  
E 90  
TEMP= 45.0000 TEMP DE SERVICO EM GRAUS CELSIOS  
H1 = 350.0000 DUREZA BRINELL DO PINHAO  
H2 = 330.0000 DUREZA BRINELL DA COROA  
MEN7 = 1 SAIRAO IMPRESSAS TODAS AS VARIAVEIS CALCULADAS

RESULTADOS CALCULADOS PELO PROGRAMA

FMN= 8.0000 MODULO NA SECCAO NORMAL AO DENTE EM MM  
I21 = 26 NUMERO DE DENTES DO PINHAO  
I22 = 73 NUMERO DE DENTES DA COROA  
TRUD = 3.9600 RELACAO EFETIVA DE TRANSMISSAO I22/I21  
R0 = 405.8100 DISTANCIA ENTRE EIXOS EFETIVA EM MM  
FMF = 8.2822 MODULO NA SECCAO FRONTAL EM MM  
ALBNG= 19.9934 ANGULO DE PRESSAO NA CIRCUNFERENCIA DETRASBALHO NA SE  
CCAO NORMAL EM GRAUS  
X1 = 0.25000000 CORRECÇÃO NO PERFIL DO DENTE DO PINHAO  
X2 = -0.25228718 CORRECÇÃO NO PERFIL DO DENTE DA COROA  
ALBGS = 20.6459 ANGULO DE PRESSAO NA CIRCUNFERENCIA PRIMITIVA EM GRA  
US

BETGG= 14. 0761 ANGULO DE HELICE NA CIRCUNFERENCIA DE BASE EM GRAUS  
DB1 = 165. 6367 DIAMETRO DE TRABALHO DO PINHAO NA SECCAO FRONTAL EM  
MM  
DB2 = 645. 9833 DIAMETRO DE TRABALHO DA COROA SECCAO FRONTAL EM MM  
DB1 = 165. 6442 DIAMETRO PRIMITIVO DO PINHAO NA S  
; ; TTY13: - POR FAVOR, ME AVISE QUANDO LIVRAR "MTR1". OSRIGADO  
ECCAOFRONTAL EM MM  
DB2 = 646. 0124 DIAMETRO PRIMITIVO DA COROA NA SECCAO FRONTAL EM MM  
DG1 = .155. 0051 DIAMETRO DE BASE DO PINHAO NA SECCAO FRONTAL EM MM  
DG2 = .604. 5198 DIAMETRO DE BASE DA COROA NA SECCAO FRONTAL EM MM  
DB1N = 176. 0503 DIAMETRO DE TRABALHO DO PINHAO SECCAO NORMAL EM MM  
DB2N = 696. 5963 DIAMETRO DE TRABALHO DA COROA NA SECCAO NORMAL EM MM  
BETGG= 14. 9994 ANGULO DE HELICE NA CIRCUNFERENCIA DE TRABALHO EM GR  
RUS  
DF1 = 149. 6442 DIAMETRO DE FUNDO DO PINHAO NA SECCAO FRONTAL EM MM  
DF2 = 621. 9758 DIAMETRO DE FUNDO DA COROA NA SECCAO FRONTAL EM MM  
DK1 = 185. 6442 DIAMETRO EXTERNO DO PINHAO NA SECCAO FRONTAL EM MM  
DK2 = 657. 9758 DIAMETRO EXTERNO DA COROA NA SECCAO FRONTAL EM MM  
DK1R = 185. 6442 DIAMETRO EXTERNO REBAIXADO DO PINHAO SECCAO FRONTAL  
EM MM  
DK2R = 657. 9758 DIAMETRO EXTERNO REBAIXADO DA COROA SECCAO FRONTAL  
EM MM  
HK1 = 10. 0037 ADENDO DO PINHAO EM MM  
HK2 = 5. 9963 ADENDO DA COROA EM MM  
HK1R = 10. 0037 ADENDO REBAIXADO DO PINHAO EM MM  
HK2R = 5. 9963 ADENDO REBAIXADO DA COROA EM MM  
FMEN = 7. 5175 MODULO NA LINHA DE ENGRENAIMENTO NA SECCAO NORMAL EM  
MM  
FME = 7. 7503 MODULO NA LINHA DE ENGRENAIMENTO NA SECCAO FRONTAL EM  
MM  
DB1N = 176. 0503 DIAMETRO PRIMITIVO DO PINHAO NA SECCAO NORMAL EM MM  
DB2N = 686. 5273 DIAMETRO PRIMITIVO DA COROA NA SECCAO NORMAL EM MM  
Z1N = 22. 0073 NUMERO DE DENTES DO PINHAO EQUIVALENTE NA SECCAO NORM  
RL  
Z2N = 85. 6284 NUMERO DE DENTES DA COROA EQUIVALENTE NA SECCAO NORM  
RL  
HF1 = 7. 9963 DEDENDO DO PINHAO EM MM  
HF2 = 12. 0037 DEDENDO DA COROA EM MM  
ALK1G= 33. 3886 ANGULO DE PRESSAO NA CIRCUNFERENCIA EXTERNA DO PINHA  
O EM GRAUS  
ALK2G= 23. 2550 ANGULO DE PRESSAO NA CIRCUNFERENCIA EXTERNA DA COROA  
EM GRAUS  
ALFEG= 20. 6466 ANGULO DE PRESSAO NA CIRCUNFERENCIA DE TRABALHO NA S  
ECCAO FRONTAL EM GRAUS  
BMIN = 155. 0000 LARGURA DAS ENGRENAOENS EM MM  
E1 = 0. 0390 GRAU DE RECOBRIMENTO DO PINHAO  
E2 = 0. 6587 GRAU DE RECOBRIMENTO DA COROA  
U = 2072. 0042 FORCA TANGENCIAL DE ENGRENAIMENTO EM KGF  
ROT1 = 276. 2260 ROTACAO DO PINHAO EM RPM  
ROT2 = 71. 3385 ROTACAO DA COROA EM RPM  
VELOC= 2. 4129 VELOCIDADE TANGENCIAL EM M/SEG  
EMRI = 0. 0007 PRESSAO ESPECIFICA NO FLANCO DO DENTE EM KGF/MM\*\*\*2  
E = 1. 5577 GRAU DE RECOBRIMENTO TOTAL  
UMIN = 13. 3578 GARCA POR UNIDADE DE LARGURA NO DENTE EM KGF/MM  
EN = 1. 6556 GRAU DE RECOBRIMENTO TOTAL NA SECCAO NORMAL  
GE = 4. 0000 COEFICIENTE PARA CALCULO DO ERRO DE PASSO DA ENGRENA  
GEM  
GR = 2. 0000 COEFICIENTE PARA CALCULO DO ERRO DE DIRECIO DOS FLAN  
COS DOS DENTES  
GK = 0. 0000 COEFICIENTE PARA CALCULO DO ERRO DE DIRECIO DOS FLAN  
COS DOS DENTES DEPOIS DE RODADO SOB CARGA  
FR = 24. 8998 ERRO DE DIRECIO DOS FLANCOS DOS DENTES EM MICRONS  
FE = 42. 2721 ERRO DE PRESO DA ENGRENAOEN EM MICRONS

FRW = 16.6746 ERRO DE DIRECAO DOS FLANCOS DOS DENTES DEPOIS DE RODA  
DO SOB CARGA EM MICRONS  
F = 42.2721 MAIOR VALOR DENTRE OS ERROS EM MICRONS  
EW = 1.3749 GRAU DE RECOBRIMENTO EFICAZ  
QE1 = 0.6811 COEFICIENTE REFERENTE AO GRAU DE RECOBRIMENTO PARA O  
CALCULO DA SOLICITACAO NO PE DO DENTE DO PINHAO  
QE2 = 0.7888 COEFICIENTE REFERENTE AO GRAU DE RECOBRIMENTO PARA O  
CALCULO DA SOLICITACAO NO PE DO DENTE DA COROA  
YE = 0.8379 COEFICIENTE REFERENTE AO GRAU DE RECOBRIMENTO PARA O  
CALCULO DA PRESSAO NOS FLANCOS DOS DENTES  
QK1 = 2.3336 FATOR DE FORMA DO PINHAO PARA CALCULO DA SOLICITACAO  
NO PE DO DENTE  
QK2 = 2.3948 FATOR DE FORMA DA COROA PARA CALCULO DA SOLICITACAO  
NO PE DO DENTE  
QW1 = 1.5869 COEFICIENTE DO PINHAO PARA CALCULO DA SOLICITACAO NO  
PE DO DENTE  
QW2 = 1.8884 COEFICIENTE DA COROA PARA CALCULO DA SOLICITACAO NO  
PE DO DENTE  
UDYN = 1.8556 FORCA TANGENCIAL DINAMICA POR MM DE LARGURA DO DENTE  
EM KGF/MM  
ESP = 1.5962 GRAU DE RECOBRIMENTO DE SALTO  
CD = 1.0395 COEFICIENTE DINAMICO DE INFLUENCIA DE CARGA  
CZ = 1.0000 CONSTANTE DE ELASTICIDADE DO DENTE KGF/MM\*MICRON  
CT = 1.2470 COEFICIENTE DE REPARTICAO DE CARGA  
CBETA= 0.9320 COEFICIENTE DE INFLUENCIA DE CARGA COM RELACAO AO ANG  
ULO DE HELICE  
BW = 0.1326 VALOR DE CARGA EFICAZ EM KGF/MM\*\*2  
FK01 = 4.3000 TENSAO ADMISSIVEL DE RESISTENCIA A FADIGA DO FLANCO  
DO DENTE DO PINHAO EM KGF/MM\*\*2  
FK02 = 6.2100 TENSAO ADMISSIVEL DE RESISTENCIA A FADIGA NO FLANCO  
DO DENTE DA COROA EM KGF/MM\*\*2  
SIG01= 31.5000 TENSAO ADMISSIVEL DE RESISTENCIA A FADIGA NO PE DO DENTE  
DO PINHAO EM KGF/MM\*\*2  
SIG02= 15.0000 TENSAO ADMISSIVEL DE RESISTENCIA A FADIGA NO PE DO DENTE  
DA COROA EM KGF/MM\*\*2  
SIG01= 31.5000 COEFICIENTE DE RESISTENCIA A FADIGA NO PE DO DENTE DO  
PINHAO EM KGF/MM\*\*2  
SIG02= 15.0000 COEFICIENTE DE RESISTENCIA A FADIGA NO PE DO DENTE DA  
COROA EM KGF/MM\*\*2  
SB1 = 7.4747 COEFICIENTE DE VERIFICACAO DE CAPACIDADE DO PINHAO COM  
RELACAO A RUPTURA  
SB2 = 2.9949 COEFICIENTE DE VERIFICACAO DE CAPACIDADE DA COROA COM  
RELACAO A RUPTURA  
YBETA= 0.9164 COEFICIENTE PARA CALCULO DE PRESSAO NOS FLANCOS COM  
RELACAO AO ANGULO DE HELICE  
YC = 3.1123 COEFICIENTE PARA CALCULO DA PRESSAO NOS FLANCOS COM  
RELACAO AO ANGULO DE PRESSAO  
YV = 0.7500 COEFICIENTE PARA CALCULO DA PRESSAO NOS FLANCOS COM  
RELACAO A VELOCIDADE TANGENCIAL  
YW1 = 3.4038 COEFICIENTE GERAL PARA CALCULO DA PRESSAO NOS FLANCO  
S DO DENTE DO PINHAO  
YW2 = 2.8522 COEFICIENTE GERAL PARA CALCULO DA PRESSAO NOS FLANCO  
S DOS DENTES DA COROA  
YS = 1.1451 FATOR DE VISCOSIDADE NA TEMPERATURA DESERVICO  
VISCO= 168.6273 VISCOSIDADE DO LUBRIFICANTE NA TEMPERATURA DE SERVIC  
O EM CENTSTOKES  
MNTES= 54.5000 MOMENTO DE TORSAO DEVIDO A CARGA DE CORROSAO N\*KGF  
V50 = 130.1665 VISCOSIDADE DO LUBRIFICANTE A 50 GRUSCELSIUS EM CEN  
TSTOKES  
Y61 = 1.0000 COEFICIENTE PARA CALCULO DA RESISTENCIA DO MATERIAL  
DO PINHAO CONTRA A CRATERIZACAO  
Y62 = 1.0000 COEFICIENTE PARA CALCULO DA RESISTENCIA DO MATERIAL  
DA COROA CONTRA A CRATERIZACAO

VH1 =	0.3460	FATOR DE DUREZA NA SUPERFICIE DO DENTEDO PINHAO
VH2 =	4.8400	FATOR DE DUREZA NA SUPERFICIE DO DENTEDO COROA
FKD1 =	1.2779	COEFICIENTE DE RESISTENCIA A FADIGA NOFLANCO DO DENT
E DO PINHAO EM KGF/MM**2		
FKD2 =	0.8730	COEFICIENTE DE RESISTENCIA A FADIGA NOFLANCO DO DENT
E DA COROA EM KGF/MM**2		
SG1 =	2.2533	COEFICIENTE DE VERIFICACAO DE CAPACIDADE DO PINHAO C
OM RELACAO A CRATERIZACAO		
SG2 =	1.9370	COEFICIENTE DE VERIFICACAO DE CAPACIDADE DA COROA CO
M RELACAO A CRATERIZACAO		
FLHG1=	INFINITA	VIDA DO PINHAO COM RELACAO A CRATERIZACAO
FLHG2=	INFINITA	VIDA DA COROA COM RELACAO A CRATERIZACAO
FLHB1=	INFINITA	VIDA DO PINHAO COM RELACAO A RUPTURA
FLHB2=	INFINITA	VIDA DA COROA COM RELACAO A RUPTURA
FLH1 =	INFINITA	VIDA DO PINHAO
FLH2 =	INFINITA	VIDA DA COROA
FFLH =	INFINITA	VIDA DO PAR DE ENGRANAGENS
WP1 =	188.6989	DISTANCIA SOBRE PINOS OU BOLAS DO PINHAO EM MM
R1 =	7.0000	RADIO DO PINO OU BOLA PARA MEDIDA DO WP1 EM MM
WP2 =	662.2146	DISTANCIA SOBRE PINOS OU BOLAS DA COROA EM MM
R2 =	7.0000	RADIO DO PINO OU BOLA PARA MEDIDA DO WP2 EM MM
WD1 =	62.8845	DISTANCIA SOBRE DENTES DO PINHAO EM MM
NWD1 =	3	NUMERO DE DENTES PARA MEDIDA DO WD1
WD2 =	232.6291	DISTANCIA SOBRE DENTES DA COROA EM MM
NWD2 =	10	NUMERO DE DENTES PARA MEDIDA DO WD2.

De acordo com os *RESULTADOS CALCULADOS PELO PROGRAMA*, tanto o pinhão como a coroa estão bem dimensionados com relação a *RUPTURA* ( $FLHB1 = FLHB2 = \text{vida infinita}$ ) e quanto a *CRATERIZAÇÃO* ( $FLHG1 = FLHG2 = \text{vida infinita}$ ).

### 6.3.2. PAR MOTOR Nº 3

\*\*\*PROJETO DE ENGRANAGENS SEGUNDO METODO NIEMANN\*\*\*

#### DADOS FORNECIDOS PELO USUARIO -

FMN= 8. 0000 MODULO NA SECCAO NORMAL AO DENTE EM MM  
TAU = 2. 1000 RELACAO DE TRANSMISSAO I22/I21  
ROTM = 71. 3400 ROTACAO DA ENGRANAGEM MOTORA EM RPM  
BETOG= 10. 0000 ANGULO DE HELICE NA CIRC. PRIMITIVA EM GRAUS  
ALONG= 20. 0000 ANGULO DE PRESSAO NA SECCAO NORMAL NA CIRCUNFERENCIA  
PRIMITIVA EM GRAUS  
R = 253. 5800 DISTANCIA ENTRE EIXOS EM MM  
MEN1 = FIXA DISTANCIA ENTRE EIXOS E FIXA  
X1 = 8. 30000000 CORRECÇÃO NO PERFIL DO PINHAO  
MEN2 = 0 ENGRANAGENS USINADAS COM PRECISAO E BEM APOIADAS EM  
CAIXAS DE ENGRANAGENS  
B1 = 155. 0000 LARGURA DO DENTE EM MM  
TORG = 229. 9300 MOMENTO TORSOR NA ENGRANAGEM MOTORA EMM-KGF  
MOT = 1 INDICE DA ENGRANAGEM MOTORA  
MENS = 0 CARGA NUM SO SENTIDO  
NEN3 = 9 QUALIDADE DIN 3962  
MEN4 = BIAPoiADA INFORMACAO SOBRE O PINHAO  
CS = 1. 5600 COEFICIENTE DE IMPACTO, RAZAO ENTRE O MOMENTO MAXIMO  
EXTERNO E O MOMENTO NOMINAL  
MAT1 = 22 MATERIAL DO PINHAO CONFORME NORMA DIN = CK 45 ACO TE  
MPERRADO EM FORNO OU POR INDUCAO  
MAT2 = 5 MATERIAL DA COROA CONFORME NORMA DIN = GS 52 ACO FU  
NDIDO  
MEN5 = 0 ENGRANAGEM USADA EM AUTOVEICULOS E INDUSTRIA  
LUBRI= 16 LUBRIFICANTE UTILIZADO OLEO ESSO TERESSO TIPO 100 SR  
E 90  
TEMP= 45. 0000 TEMP DE SERVICO EM GRaus CELSIOS  
H1 = 350. 0000 DUREZA BRINELL DO PINHAO  
MEN7 = 1 SAIRAO IMPRESSAS TODAS AS VARIAVEIS CALCULADAS

#### RESULTADOS CALCULADOS PELO PROGRAMA

FMN= 8. 0000 MODULO NA SECCAO NORMAL AO DENTE EM MM  
I21 = 28 NUMERO DE DENTES DO PINHAO  
I22 = 42 NUMERO DE DENTES DA COROA  
TRUG = 2. 1000 RELACAO EFETIVA DE TRANSMISSAO I22/I21  
R0 = 253. 5800 DISTANCIA ENTRE EIXOS EFETIVA EM MM  
FMF = 8. 1234 MODULO NA SECCAO FRONTAL EM MM  
ALONG= 21. 6300 ANGULO DE PRESSAO NA CIRCUNFERENCIA DETRABALHO NA SE  
CCAO NORMAL EM GRAUS  
X1 = 8. 30000000 CORRECÇÃO NO PERFIL DO DENTE DO PINHAO  
X2 = -0. 07526503 CORRECÇÃO NO PERFIL DO DENTE DA COROA  
ALOG = 20. 2836 ANGULO DE PRESSAO NA CIRCUNFERENCIA PRIMITIVA EM GRA  
US

BETGG=	9. 3913	ANGULO DE HELICE NA CIRCUNFERENCIA DE BASE EM GRAUS
DB1 =	163. 6000	DIAMETRO DE TRABALHO DO PINHAO NA SECCAO FRONTAL EM MM
DB2 =	343. 5600	DIAMETRO DE TRABALHO DA COROA SECCAO FRONTAL EM MM
DB1 =	162. 4693	DIAMETRO PRIMITIVO DO PINHAO NA SECCAO FRONTAL EM MM
DB2 =	341. 1834	DIAMETRO PRIMITIVO DA COROA NA SECCAO FRONTAL EM MM
DG1 =	152. 3934	DIAMETRO DE BASE DO PINHAO NA SECCAO FRONTAL EM MM
DG2 =	320. 0261	DIAMETRO DE BASE DA COROA NA SECCAO FRONTAL EM MM
DB1N =	168. 0752	DIAMETRO DE TRABALHO DO PINHAO SECCAO NORMAL EM MM
DB2N =	352. 9580	DIAMETRO DE TRABALHO DA COROA NA SECCAO NORMAL EM MM
BETBG=	10. 0682	ANGULO DE HELICE NA CIRCUNFERENCIA DE TRABALHO EM GR
AUS		
DF1 =	147. 2693	DIAMETRO DE FUNDO DO PINHAO NA SECCAO FRONTAL EM MM
DF2 =	319. 9791	DIAMETRO DE FUNDO DA COROA NA SECCAO FRONTAL EM MM
DK1 =	183. 2693	DIAMETRO EXTERNO DO PINHAO NA SECCAO FRONTAL EM MM
DK2 =	355. 9791	DIAMETRO EXTERNO DA COROA NA SECCAO FRONTAL EM MM
DK1R =	183. 1809	DIAMETRO EXTERNO REBRIXADO DO PINHAO SECCAO FRONTAL
EM MM		
DK2R =	355. 8917	DIAMETRO EXTERNO REBRIXADO DA COROA SECCAO FRONTAL
EM MM		
HK1 =	9. 8341	ADENDO DO PINHAO EM MM
HK2 =	6. 2696	ADENDO DA COROA EM MM
HK1R =	9. 7904	ADENDO REBRIXADO DO PINHAO EM MM
HK2R =	6. 1659	ADENDO REBRIXADO DA COROA EM MM
FMen =	7. 5175	MODULO NA LINHA DE ENGRENAVENTO NA SECCAO NORMAL EM MM
FMe =	7. 6197	MODULO NA LINHA DE ENGRENAVENTO NA SECCAO FRONTAL EM MM
DB1N =	166. 9126	DIAMETRO PRIMITIVO DO PINHAO NA SECCAO NORMAL EM MM
DB2N =	350. 5164	DIAMETRO PRIMITIVO DA COROA NA SECCAO NORMAL EM MM
Z1N =	20. 8641	NUMERO DE DENTES DO PINHAO EQUIVALENTE NA SECCAO NORMAL
Z1L		
Z2N =	43. 8145	NUMERO DE DENTES DA COROA EQUIVALENTE NA SECCAO NORMAL
Z1L		
HF1 =	8. 1659	DEDENDO DO PINHAO EM MM
HF2 =	11. 7904	DEDENDO DA COROA EM MM
ALK1G=	33. 7436	ANGULO DE PRESSAO NA CIRCUNFERENCIA EXTERNA DO PINHAO
O EM GRAUS		
ALK2G=	25. 9726	ANGULO DE PRESSAO NA CIRCUNFERENCIA EXTERNA DA COROA
EM GRAUS		
ALFBG=	21. 3362	ANGULO DE PRESSAO NA CIRCUNFERENCIA DE TRABALHO NA SECCAO FRONTAL EM GRAUS
BMIN =	155. 6000	LARGURA DAS ENGRENAGENS EM MM
E1 =	9. 8834	GRAU DE RECOBRIMENTO DO PINHAO
E2 =	8. 6461	GRAU DE RECOBRIMENTO DA COROA
U =	2933. 1296	FORCA TANGENCIAL DE ENGRENAVENTO EM KGF
ROT1 =	71. 3400	ROTACAO DO PINHAO EM RPM
ROT2 =	33. 9714	ROTACAO DA COROA EM RPM
VELOC=	0. 6111	VELOCIDADE TANGENCIAL EM M/SEG
BMAI =	0. 1157	PRESSAO ESPECIFICA NO FLANCO DO DENTE EM KGF/MM**2
E =	1. 5295	GRAU DE RECOBRIMENTO TOTAL
UMIN =	18. 9235	CARGA-FOR UNIDADE DE LARGURA DO DENTE EM KGF/MM
EN =	1. 5713	GRAU DE RECOBRIMENTO TOTAL NA SECCAO NORMAL
GE =	4. 0000	COEFICIENTE PARA CALCULO DO ERRO DE PASSO DA ENGRENA
GEM		
GR =	2. 0000	COEFICIENTE PARA CALCULO DO ERRO DE DIRECDO DOS FLAN
COS DOS DENTES		
GK =	0. 0000	COEFICIENTE PARA CALCULO DO ERRO DE DIRECDO DOS FLAN
COS DOS DENTES DEPOIS DE RODEDO SOB CARGA		
FR =	24. 6998	ERRO DE DIRECDO DOS FLANOS DOS DENTES EM MICRONS
FE =	36. 5250	ERRO DE PASSO DA ENGRENAEM EM MICRONS
FRN =	18. 6748	ERRO DE DIRECDO DOS FLANOS DOS DENTES DEPOIS DE RODA
DO SOB CARGA EM MICRONS		

F = 36.5256 MAIOR VALOR DENTRE OS ERROS EM MICRONS  
EW = 1.3306 GRAU DE RECOBRIMENTO EFICAZ  
QE1 = 0.7102 COEFICIENTE REFERENTE AO GRAU DE RECOBRIMENTO PARA O  
CALCULO DA SOLICITACAO NO PE DO DENTE DO PINHAO  
QE2 = 0.8096 COEFICIENTE REFERENTE AO GRAU DE RECOBRIMENTO PARA O  
CALCULO DA SOLICITACAO NO PE DO DENTE DA COROA  
YE = 0.8187 COEFICIENTE REFERENTE AO GRAU DE RECOBRIMENTO PARA O  
CALCULO DA PRESSAO NOS FLANCOS DOS DENTES  
QK1 = 2.2911 FATOR DE FORMA DO PINHAO PARA CALCULO DA SOLICITACAO  
NO PE DO DENTE  
QK2 = 2.4561 FATOR DE FORMA DA COROA PARA CALCULO DA SOLICITACAO  
NO PE DO DENTE  
QN1 = 1.6271 COEFICIENTE DO PINHAO PARA CALCULO DA SOLICITACAO NO  
PE DO DENTE  
QN2 = 1.9885 COEFICIENTE DA COROA PARA CALCULO DA SOLICITACAO NO  
PE DO DENTE  
UDYN = 0.5991 FORCA TANGENCIAL DINAMICA POR MM DE LARGURA DO DENTE  
EM KGF/MM  
ESP = 1.0709 GRAU DE RECOBRIMENTO DE SALTO  
CD = 1.0098 COEFICIENTE DINAMICO DE INFLUENCIA DE CARGA  
CZ = 1.0060 CONSTANTE DE ELASTICIDADE DO DENTE KGF/(MM\*MICRON)  
CT = 1.1566 COEFICIENTE DE REPARTICAO DE CARGA  
CBETA= 0.9248 COEFICIENTE DE INFLUENCIA DE CARGA COMRELACAO AO ANG  
ULO DE HELICE  
BW = 0.1947 VALOR DE CARGA EFICAZ EM KGF/MM\*\*2  
FK01 = 4.3000 TENSAO ADMISSIVEL DE RESISTENCIA A FADIGA DO FLANCO  
DO DENTE DO PINHAO EM KGF/MM\*\*2  
FK02 = 0.2100 TENSAO ADMISSIVEL DE RESISTENCIA A FADIGA NO FLANCO  
DO DENTE DA COROA EM KGF/MM\*\*2  
SIG01= 31.5000 TENSAO ADMISSIVEL DE RESISTENCIA A FADIGA NO PE DO D  
ENTE DO PINHAO EM KGF/MM\*\*2  
SIG02= 15.0000 TENSAO ADMISSIVEL DE RESISTENCIA A FADIGA NO PE DO D  
ENTE DA COROA EM KGF/MM\*\*2  
SIGD1= 31.5000 COEFICIENTE DE RESISTENCIA A FADIGA NO PE DO DENTE D  
O PINHAO EM KGF/MM\*\*2  
SIGD2= 15.0000 COEFICIENTE DE RESISTENCIA A FADIGA NO PE DO DENTE D  
A COROA EM KGF/MM\*\*2  
SB1 = 4.9710 COEFICIENTE DE VERIFICACAO DE CAPACIDADE DO PINHAO COM  
RELACAO A RUPTURA  
SB2 = 1.9369 COEFICIENTE DE VERIFICACAO DE CAPACIDADE DA COROA COM  
RELACAO A RUPTURA  
YBETA= 0.9621 COEFICIENTE PARA CALCULO DE PRESSAO NOS FLANCOS COM  
RELACAO AO ANGULO DE HELICE  
YC = 2.9854 COEFICIENTE PARA CALCULO DA PRESSAO NOS FLANCOS COM  
RELACAO AO ANGULO DE PRESSAO  
YV = 0.7035 COEFICIENTE PARA CALCULO DA PRESSAO NOS FLANCOS COM  
RELACAO A VELOCIDADE TANGENCIAL  
YW1 = 3.5081 COEFICIENTE GERAL PARA CALCULO DA PRESSAO NOS FLANCO  
S DO DENTE DO PINHAO  
YW2 = 2.6721 COEFICIENTE GERAL PARA CALCULO DA PRESSAO NOS FLANCO  
S DOS DENTES DA COROA  
YS = 1.1451 FATOR DE VISCOSIDADE NA TEMPERATURA DESERVICO  
VISCO= 169.8273 VISCOSIDADE DO LUBRIFICANTE NA TEMPERATURA DE SERVIC  
O EM CENTSTOKES  
FMTES= 54.5800 MOMENTO DE TORSAO DEVIDO A CARGA DE CORROSAO MM\*KGF  
VS0 = 130.1665 VISCOSIDADE DO LUBRIFICANTE A 50 GRAUSCELSIUS EM CEN  
TSTOKES  
YG1 = 1.0000 COEFICIENTE PARA CALCULO DA RESISTENCIA DO MATERIAL  
DO PINHAO CONTRA A CRATERIZACAO  
YG2 = 1.0000 COEFICIENTE PARA CALCULO DA RESISTENCIA DO MATERIAL  
DA COROA CONTRA A CRATERIZACAO  
YH1 = 0.3460 FATOR DE DUREZA NA SUPERFICIE DO DENTEDO PINHAO  
YH2 = 1.0000 FATOR DE DUREZA NA SUPERFICIE DO DENTEDO COROA

FKD1 = 1.1986 COEFICIENTE DE RESISTENCIA A FADIGA NOFLANCO DO DENT  
E DO PINHAO EM KGF/MM\*\*2  
FKD2 = 0.1692 COEFICIENTE DE RESISTENCIA A FADIGA NOFLANCO DO DENT  
E DA COROA EM KGF/MM\*\*2  
SG1 = 1.1886 COEFICIENTE DE VERIFICACAO DE CAPACIDADE DO PINHAO C  
OM RELACAO A CRATERIZACAO  
SG2 = 0.2649 COEFICIENTE DE VERIFICACAO DE CAPACIDADE DA COROA CO  
M RELACAO A CRATERIZACAO  
FLHG1= INFINITA VIDA DO PINHAO COM RELACAO A CRATERIZACAO  
FLHG2= 0.3492E+02 VIDA DA COROA LIMITADA PELA CRATERIZACAO EM HORAS  
FLHB1= INFINITA VIDA DO PINHAO COM RELACAO A RUPTURA  
FLHB2= INFINITA VIDA DA COROA COM RELACAO A RUPTURA  
FLH1 = INFINITA VIDA DO PINHAO  
FLH2 = 0.3492E+02 VIDA DA COROA EM HORAS  
FFLH = 0.3492E+02 VIDA DO PAR DE ENGRANAGENS EM HORAS  
WP1 = 186.0136 DISTANCIA SOBRE PINOS OU BOLAS DO PINHAO EM MM  
R1 = 7.0000 RAIO DO PINO OU BOLA PARA MEDIDA DO WP1 EM MM  
WP2 = 360.1187 DISTANCIA SOBRE PINOS OU BOLAS DA COROA EM MM  
R2 = 7.0000 RAIO DO PINO OU BOLA PARA MEDIDA DO WP2 EM MM  
WD1 = 63.0253 DISTANCIA SOBRE DENTES DO PINHAO EM MM  
NWD1 = 3 NUMERO DE DENTES PARA MEDIDA DO WD1  
WD2 = 110.7809 DISTANCIA SOBRE DENTES DA COROA EM MM  
NWD2 = 5 NUMERO DE DENTES PARA MEDIDA DO WD2

De acordo com os *RESULTADOS CALCULADOS PELO PROGRAMA*, embora o pinhão e a coroa estejam bem dimensionados com relação a *RUPUTURA* ( $FLHB1 = FLHB2 =$  vida infinita), quanto a *CRATERIZAÇÃO*, apenas o pinhão apresenta vida ( $FLHG1$ ) infinita. A vida da coroa ( $FLHG2$ ) e consequentemente do par ( $FFLH$ ) está limitada em 34,92 horas. Assim, a solução encontrada foi fazer a coroa que era de *AÇO FUNDIDO* apenas, com um tratamento térmico, ou seja, *TEMPERA SUPERFICIAL* com dureza 340 BRINELL.

Tendo-se adotado, então, coroa de *AÇO FUNDIDO*, *TEMPERADA SUPERFI CIALMENTE* com dureza 340 BRINELL, os resultados para o par motor nº 3 foram:

\*\*\*PROJETO DE ENGRANAGENS SEGUNDO METODO NIEMANN\*\*\*

DADOS FORNECIDOS PELO USUARIO

FMN= 8. 0000 MODULO NA SECCAO NORMAL AO DENTE EM MM  
TAU = 2. 1000 RELACAO DE TRANSMISSAO I22/I21  
ROTM = 71. 3400 ROTACAO DA ENGRANAGEM MOTORA EM RPM  
BETSG= 10. 0000 ANGULO DE HELICE NA CIRC. PRIMITIVA EM GRAUS  
ALONG= 20. 0000 ANGULO DE PRESSAO NA SECCAO NORMAL NA CIRCUNFERENCIA PRIMITIVA EM GRAUS  
VA = 253. 5800 DISTANCIA ENTRE EIXOS EM MM  
MEN1 = FIXA DISTANCIA ENTRE EIXOS E FIXA  
X1 = 0. 30000000 CORRECÇÃO NO PERFIL DO PINHÃO  
MEN2 = C ENGRANAGENS USINADAS COM PRECISAO E BEM APOIADAS EM CAIXAS DE ENGRANAGENS  
B1 = 155. 0000 LARGURA DO DENTE EM MM  
TORQ = 239. 9300 MOMENTO TORSOR NA ENGRANAGEM MOTORA EMM\*KGF  
MOT = 1 INDICE DA ENGRANAGEM MOTORA  
MENS = 0 CARGA NUM SO SENTIDO  
MEN3 = 9 QUALIDADE DIN 3962  
MEN4 = BIAPOLIDA INFORMACAO SOBRE O PINHÃO  
CS = 1. 5600 COEFICIENTE DE IMPACTO, RAZAO ENTRE O MOMENTO MAXIMO EXTERNO E O MOMENTO NOMINAL  
MAT1 = 22 MATERIAL DO PINHÃO CONFORME NORMA DIN = CK 45 ACO TEMPERADO  
EM FORNO OU POR INDUÇÃO  
MAT2 = 5 MATERIAL DA COROA CONFORME NORMA DIN = GS 52 ACO FUNDIDO  
MENS = 0 ENGRANAGEM USADA EM AUTOVEICULOS E INDUSTRIA  
LUBRI= 16 LUBRIFICANTE UTILIZADO OLEO ESSO TERESSO TIPO 100 SAE 90  
TEMP= 45. 0000 TEMP DE SERVICO EM GRAUS CELSIOS  
H1 = 350. 0000 DUREZA BRINELL DO PINHÃO  
H2 = 340. 0000 DUREZA BRINELL DA COROA  
MEN7 = 1 SAIRAO IMPRESSAS TODAS AS VARIAVEIS CALCULADAS

RESULTADOS CALCULADOS PELO PROGRAMA

FMN= 8. 0000 MODULO NA SECCAO NORMAL AO DENTE EM MM  
I21 = 28 NUMERO DE DENTES DO PINHÃO  
I22 = 42 NUMERO DE DENTES DA COROA  
TAU0 = 2. 1000 RELACAO EFETIVA DE TRANSMISSAO I22/I21  
R0 = 253. 5800 DISTANCIA ENTRE EIXOS EFETIVA EM MM  
FMF = 8. 1234 MODULO NA SECCAO FRONTAL EM MM  
ALONG= 21. 6309 ANGULO DE PRESSAO NA CIRCUNFERENCIA DE TRABALHO NA SECCAO NORTELA EM GRAUS  
X1 = 0. 30000000 CORRECÇÃO NO PERFIL DO DENTE DO PINHÃO  
X2 = -0. 07526503 CORRECÇÃO NO PERFIL DO DENTE DA COROA  
ALOG = 20. 2836 ANGULO DE PRESSAO NA CIRCUNFERENCIA PRIMITIVA EM GRAUS  
BETSG= 9. 3913 ANGULO DE HELICE NA CIRCUNFERENCIA DE BASE EM GRAUS  
DB1 = 163. 6000 DIAMETRO DE TRABALHO DO PINHÃO NA SECCAO FRONTAL EM MM

DB2 =	343.5600	DIAMETRO DE TRABALHO DA COROA SECCAO FRONTAL EM MM
DB1 =	162.4683	DIAMETRO PRIMITIVO DO PINHAO NA SECCAO FRONTAL EM MM
DB2 =	341.1834	DIAMETRO PRIMITIVO DA COROA NA SECCAO FRONTAL EM MM
DG1 =	152.3934	DIAMETRO DE BASE DO PINHAO NA SECCAO FRONTAL EM MM
DG2 =	320.8261	DIAMETRO DE BASE DA COROA NA SECCAO FRONTAL EM MM
DB1N =	168.8752	DIAMETRO DE TRABALHO DO PINHAO SECCAO NORMAL EM MM
DB2N =	352.9580	DIAMETRO DE TRABALHO DA COROA NA SECCAO NORMAL EM MM
BETBG=	10.0682	ANGULO DE HELICE NA CIRCUNFERENCIA DE TRABALHO EM GRAUS
DF1 =	147.2683	DIAMETRO DE FUNDO DO PINHAO NA SECCAO FRONTAL EM MM
DF2 =	319.9791	DIAMETRO DE FUNDO DA COROA NA SECCAO FRONTAL EM MM
DK1 =	183.2683	DIAMETRO EXTERNO DO PINHAO NA SECCAO FRONTAL EM MM
DK2 =	355.9791	DIAMETRO EXTERNO DA COROA NA SECCAO FRONTAL EM MM
DK1R =	183.1809	DIAMETRO EXTERNO REBAIXADO DO PINHAO SECCAO FRONTAL EM MM
DK2R =	355.8917	DIAMETRO EXTERNO REBAIXADO DA COROA SECCAO FRONTAL EM MM
HK1 =	9.8341	ADENDO DO PINHAO EM MM
HK2 =	6.2696	ADENDO DA COROA EM MM
HK1R =	9.7904	ADENDO REBAIXADO DO PINHAO EM MM
HK2R =	6.1659	ADENDO REBAIXADO DA COROA EM MM
FMEN =	7.5175	MODULO NA LINHA DE ENGRANAMENTO NA SECCAO NORMAL EM MM
FME =	7.6137	MODULO NA LINHA DE ENGRANAMENTO NA SECCAO FRONTAL EM MM
DB1N =	166.9126	DIAMETRO PRIMITIVO DO PINHAO NA SECCAO NORMAL EM MM
DB2N =	350.5164	DIAMETRO PRIMITIVO DA COROA NA SECCAO NORMAL EM MM
Z1N =	20.8641	NUMERO DE DENTES DO PINHAO EQUIVALENTE NA SECCAO NORMAL
Z2N =	43.8145	NUMERO DE DENTES DA COROA EQUIVALENTE NA SECCAO NORMAL
HF1 =	8.1659	DEDENDO DO PINHAO EM MM
HF2 =	11.7904	DEDENDO DA COROA EM MM
ALK1G=	33.7436	ANGULO DE PRESSAO NA CIRCUNFERENCIA EXTERNA DO PINHAO EM GRAU
US		
ALK2G=	25.9728	ANGULO DE PRESSAO NA CIRCUNFERENCIA EXTERNA DA COROA EM GRAU
S		
RLFBG=	21.330280	ANGULO DE PRESSAO NA CIRCUNFERENCIA DE TRABALHO NA SECCAO FRONTAL EM GRAUS
BMIN =	155.6686	LARGURA DAS ENGRANAGENS EM MM
E1 =	0.8834	GRAU DE RECOBRIMENTO DO PINHAO
E2 =	0.6461	GRAU DE RECOBRIMENTO DA COROA
U =	2933.1296	FORCA TANGENCIAL DE ENGRANAMENTO EM KGF
ROT1 =	71.3480	ROTACAO DO PINHAO EM RPM
ROT2 =	33.9714	ROTACAO DA COROA EM RPM
VELOC=	0.6111	VELOCIDADE TANGENCIAL EM MM/SEG
BMAI =	0.1157	PRESSAO ESPECIFICA NO FLANCO DO DENTE EM KGF/MM***2
E =	1.5295	GRAU DE RECOBRIMENTO TOTAL
UMIN =	18.8235	CARGA POR UNIDADE DE LARGURA NO DENTE EM KGF/MM
EN =	1.5213	GRAU DE RECOBRIMENTO TOTAL NA SECCAO NORMAL
GE =	4.0000	COEFICIENTE PARA CALCULO DO ERRO DE PASSO DA ENGRANAGEM
GR =	2.0000	COEFICIENTE PARA CALCULO DO ERRO DE DIRECRAO DOS FLANCOS DOS DENTES
GK =	0.0000	COEFICIENTE PARA CALCULO DO ERRO DE DIRECRAO DOS FLANCOS DOS DENTES DEPOIS DE RODADO SOB CARGA
FR =	24.8998	ERRO DE DIRECRAO DOS FLANCOS DOS DENTES EM MICRONS
EE =	36.5250	ERRO DE PASSO DA ENGRANAGEM EM MICRONS
FRW =	18.6748	ERRO DE DIRECRAO DOS FLANCOS DOS DENTES DEPOIS DE RODADO SOB CARGA EM MICRONS
F =	36.5250	MAIOR VALOR DENTRE OS ERROS EM MICRONS
EW =	1.3306	GRAU DE RECOBRIMENTO EFICAZ
QE1 =	0.7102	COEFICIENTE REFERENTE AO GRAU DE RECOBRIMENTO PARA CALCULO DA SOLICITACAO NO PE DO DENTE DO PINHAO
QE2 =	0.8096	COEFICIENTE REFERENTE AO GRAU DE RECOBRIMENTO PARA CALCULO DA SOLICITACAO NO PE DO DENTE DA COROA
YE =	0.8187	COEFICIENTE REFERENTE AO GRAU DE RECOBRIMENTO PARA CALCULO DA PRESSAO NOS FLANCOS DOS DENTES
QK1 =	2.2911	FATOR DE FORMA DO PINHAO PARA CALCULO DA SOLICITACAO NO PE DO DENTE
QK2 =	2.4581	FATOR DE FORMA DA COROA PARA CALCULO DA SOLICITACAO NO PE DO DENTE

QW1 = 1. 6271 COEFICIENTE DO PINHÃO PARA CÁLCULO DA SOLICITAÇÃO NO PE DO DENTE  
QW2 = 1. 9885 COEFICIENTE DA COROA PARA CÁLCULO DA SOLICITAÇÃO NO PE DO DENTE  
NTE = 0. 5991 FORÇA TANGENCIAL DINÂMICA POR MM DE LARGURA DO DENTE EM KGFM  
MM =  
ESP = 1. 0709 GRAU DE RECOBRIMENTO DE SALTO  
CD = 1. 0008 COEFICIENTE DINÂMICO DE INFLUÊNCIA DE CARGA  
C2 = 1. 0000 CONSTANTE DE ELASTICIDADE DO DENTE KGFM/MM\*MICRONS  
CT = 1. 1566 COEFICIENTE DE REPARTIÇÃO DE CARGA  
CBETA= 0. 9246 COEFICIENTE DE INFLUÊNCIA DE CARGA COM RELAÇÃO AO ÂNGULO DE HELICE  
ELICE =  
BW = 0. 1947 VALOR DE CARGA EFICAZ EM KGFM/MM\*\*2  
FK01 = 4. 3000 TENSÃO ADMISSÍVEL DE RESISTÊNCIA A FADIGA DO FLANCO DO DENTE  
DO PINHÃO EM KGFM/MM\*\*2  
FK02 = 0. 2100 TENSÃO ADMISSÍVEL DE RESISTÊNCIA A FADIGA NO FLANCO DO DENTE  
DA COROA EM KGFM/MM\*\*2  
SIG01= 31. 5000 TENSÃO ADMISSÍVEL DE RESISTÊNCIA A FADIGA NO PE DO DENTE DO  
PINHÃO EM KGFM/MM\*\*2  
SIG02= 15. 0000 TENSÃO ADMISSÍVEL DE RESISTÊNCIA A FADIGA NO PE DO DENTE DA  
COROA EM KGFM/MM\*\*2  
SIGD1= 31. 5000 COEFICIENTE DE RESISTÊNCIA A FADIGA NO PE DO DENTE DO PINHÃO  
EM KGFM/MM\*\*2  
SIGD2= 15. 0000 COEFICIENTE DE RESISTÊNCIA A FADIGA NO PE DO DENTE DA COROA  
EM KGFM/MM\*\*2  
SB1 = 4. 9718 COEFICIENTE DE VERIFICAÇÃO DE CAPACIDADE DO PINHÃO COM RELAÇÃO  
AO A RUPTURA  
SB2 = 1. 9368 COEFICIENTE DE VERIFICAÇÃO DE CAPACIDADE DA COROA COM RELAÇÃO  
AO A RUPTURA  
YBETA= 0. 9621 COEFICIENTE PARA CÁLCULO DE PRESSÃO NOS FLANCOS COM RELAÇÃO  
AO ÂNGULO DE HELICE  
YC = 2. 9854 COEFICIENTE PARA CÁLCULO DA PRESSÃO NOS FLANCOS COM RELAÇÃO  
AO ÂNGULO DE PRESSÃO  
YV = 0. 7035 COEFICIENTE PARA CÁLCULO DA PRESSÃO NOS FLANCOS COM RELAÇÃO  
A VELOCIDADE TANGENCIAL  
YH1 = 3. 5001 COEFICIENTE GERAL PARA CÁLCULO DA PRESSÃO NOS FLANCOS DO DENTE  
DO PINHÃO  
YH2 = 2. 8721 COEFICIENTE GERAL PARA CÁLCULO DA PRESSÃO NOS FLANCOS DOS DENTES  
DA COROA  
YS = 1. 1451 FATOR DE VISCOSIDADE NA TEMPERATURA DESERVICO  
VISCO= 169. 8273 VISCOSIDADE DO LUBRIFICANTE NA TEMPERATURA DE SERVIÇO, EM CENT  
STOKES  
FMTES= 54. 5000 MOMENTO DE TORÇÃO DEVIDO A CARGA DE CORROSIÃO MM\*KGF  
Y50 = 130. 1565 VISCOSIDADE DO LUBRIFICANTE A 50 GRUAS CELSIUS EM CENTSTOKES  
YG1 = 1. 0000 COEFICIENTE PARA CÁLCULO DA RESISTÊNCIA DO MATERIAL DO PINHÃO  
O CONTRA A CRATERIZAÇÃO  
YG2 = 1. 0000 COEFICIENTE PARA CÁLCULO DA RESISTÊNCIA DO MATERIAL DA COROA  
CONTRA A CRATERIZAÇÃO  
YH1 = 0. 3468 FATOR DE DUREZA NA SUPERFÍCIE DO DENTADO PINHÃO  
YH2 = 5. 1378 FATOR DE DUREZA NA SUPERFÍCIE DO DENTADO COROA  
FKD1 = 1. 1586 COEFICIENTE DE RESISTÊNCIA A FADIGA NO FLANCO DO DENTE DO PINHÃO  
EM KGFM/MM\*\*2  
FKD2 = 0. 8692 COEFICIENTE DE RESISTÊNCIA A FADIGA NO FLANCO DA COROA  
EM KGFM/MM\*\*2  
SG1 = 1. 1866 COEFICIENTE DE VERIFICAÇÃO DE CAPACIDADE DO PINHÃO COM RELAÇÃO  
AO A CRATERIZAÇÃO  
SG2 = 1. 0528 COEFICIENTE DE VERIFICAÇÃO DE CAPACIDADE DA COROA COM RELAÇÃO  
AO A CRATERIZAÇÃO

FLHG1=	INFINITA	VIDA DO PINHAO COM RELACAO A CRATERIZACAO
FLHG2=	INFINITA	VIDA DA COROA COM RELACAO A CRATERIZACAO
FLHB1=	INFINITA	VIDA DO PINHAO COM RELACAO A RUPTURA
FLHB2=	INFINITA	VIDA DA COROA COM RELACAO A RUPTURA
FLH1 =	INFINITA	VIDA DO PINHAO
FLH2 =	INFINITA	VIDA DA COROA
FFLH =	INFINITA	VIDA DO PAR DE ENGRANAGENS
WP1 =	186. 0136	DISTANCIA SOBRE PINOS OU BOLAS DO PINHAO EM MM
R1 =	7. 0000	RAIO DO PINO OU BOLA PARA MEDIDA DO WP1 EM MM
WP2 =	360. 1187	DISTANCIA SOBRE PINOS OU BOLAS DA COROA EM MM
R2 =	7. 0000	RAIO DO PINO OU BOLA PARA MEDIDA DO WP2 EM MM
WD1 =	63. 0253	DISTANCIA SOBRE DENTES DO PINHAO EM MM
NWD1 =	3	NUMERO DE DENTES PARA MEDIDA DO WD1
WD2 =	116. 7809	DISTANCIA SOBRE DENTES DA COROA EM MM
NWD2 =	5	NUMERO DE DENTES PARA MEDIDA DO WD2

De acordo com os *RESULTADOS CALCULADOS PELO PROGRAMA*, tanto o pinhão como a coroa estão bem dimensionados com relação a *RUPTURA* ( $FLHB1 = FLHB2 = \text{vida infinita}$ ) e quanto a *CRATERIZAÇÃO* ( $FLHG1 = FLHG2 = \text{vida infinita}$ ).

### 6.3.3. PAR MOTOR N° 4

\*\*\*PROJETO DE ENGRANAGENS SEGUNDO MÉTODO NIEMANN\*\*\*

#### DADOS FORNECIDOS PELO USUÁRIO

FMN= 10.0000 MODULO NA SEÇÃO NORMAL AO DENTE EM MM  
TRU = 2.9500 RELAÇÃO DE TRANSMISSÃO I22/I21  
ROTH = 71.3400 ROTACAO DA ENGRANAGEM MOTORA EM RPM  
BETGG= 6.0000 ANGULO DE HELICE NA CIRC. PRIMITIVA EM GRAUS  
ALBNG= 20.0000 ANGULO DE PRESSAO NA SEÇÃO NORMAL NA CIRCUNFERENCIA PRIMITIVA EM GRAUS  
A = 435.0000 DISTANCIA ENTRE EIXOS EM MM  
MEN1 = FIXA DISTANCIA ENTRE EIXOS E FIXA  
X1 = 0.30000000 CORRECAO NO PERFIL DO PINHÃO  
MEN2 = C ENGRANAGENS USINADAS COM PRECISAO E BEM APOIADAS EM CRIVAS D  
E ENGRANAGENS  
B1 = 265.0000 LARGURA DO DENTE EM MM  
TORQ = 433.9800 MOMENTO TORSOR NA ENGRANAGEM MOTORA EMM\*KGF  
MOT = 1 INDICE DA ENGRANAGEM MOTORA  
MEN5 = 0 CARGA NUM SO SENTIDO.  
MEN3 = 9 QUALIDADE DIN 3952  
MEN4 = BIAPOLIDA INFORMAÇÃO SOBRE O PINHÃO  
CS = 1.2300 COEFICIENTE DE IMPACTO, RAZAO ENTRE O MOMENTO MAXIMO EXTERNO  
E O MOMENTO NOMINAL  
MAT1 = 22 MATERIAL DO PINHÃO CONFORME NORMA DIN = CK 45 ACO TEMPERADO  
EM FORNO OU POR INDUÇÃO  
MAT2 = 5 MATERIAL DA COROA CONFORME NORMA DIN = GS 52 ACO FUNDIDO  
MEN6 = 0 ENGRANAGEM USADA EM AUTOMEÍCULOS E INDUSTRIA  
LUBRI= 16 LUBRIFICANTE UTILIZADO ÓLEO ESSO TERESSO TIPO 100 SAE 90  
TEMP= 45.0000 TEMP DE SERVIÇO EM GRAUS CELSIOS  
H1 = 350.0000 DUREZA BRINELL DO PINHÃO  
MEN7 = 1 SAIRÃO IMPRESSAS TODAS AS VARIAVEIS CALCULADAS

#### RESULTADOS CALCULADOS PELO PROGRAMA

FMN= 10.0000 MODULO NA SEÇÃO NORMAL AO DENTE EM MM  
I21 = 22 NUMERO DE DENTES DO PINHÃO  
I22 = 65 NUMERO DE DENTES DA COROA  
TRUG= 2.9545 RELAÇÃO EFETIVA DE TRANSMISSÃO I22/I21  
R0 = 435.0000 DISTANCIA ENTRE EIXOS EFETIVA EM MM  
FMF = 10.0000 MODULO NA SEÇÃO FRONTAL EM MM  
ALBNG= 20.0000 ANGULO DE PRESSAO NA CIRCUNFERENCIA DE TRABALHO NA SEÇÃO NORMAL EM GRAUS  
X1 = 0.30000000 CORRECAO NO PERFIL DO DENTE DO PINHÃO  
X2 = -0.30000312 CORRECAO NO PERFIL DO DENTE DA COROA  
ALBGG= 20.0000 ANGULO DE PRESSAO NA CIRCUNFERENCIA PRIMITIVA EM GRAUS  
BETGG= 6.0000 ANGULO DE HELICE NA CIRCUNFERENCIA DE BASE EM GRAUS  
DB1 = 220.0000 DIAMETRO DE TRABALHO DO PINHÃO NA SEÇÃO FRONTAL EM MM  
DB2 = 650.0000 DIAMETRO DE TRABALHO DA COROA SEÇÃO FRONTAL EM MM

D01 = 220. 0000 DIAMETRO PRIMITIVO DO PINHAO NA SECCAOFRONTAL EM MM  
D02 = 650. 0001 DIAMETRO PRIMITIVO DA COROA NA SECCAO FRONTAL EM MM  
D61 = 266. 7324 DIAMETRO DE BASE DO PINHAO NA SECCAO FRONTAL EM MM  
D62 = 610. 8003 DIAMETRO DE BASE DA COROA NA SECCAO FRONTAL EM MM  
DB1N = 220. 0000 DIAMETRO DE TRABALHO DO PINHAO SECCAO NORMAL EM MM  
DB2N = 650. 0000 DIAMETRO DE TRABALHO DA COROA NA SECCAO NORMAL EM MM  
BETBG= 0. 0000 ANGULO DE HELICE NA CIRCUNFERENCIA DE TRABALHO EM GRAUS  
DF1 = 261. 0000 DIAMETRO DE FUNDO DO PINHAO NA SECCAO FRONTAL EM MM  
DF2 = 619. 0000 DIAMETRO DE FUNDO DA COROA NA SECCAO FRONTAL EM MM  
DK1 = 246. 0000 DIAMETRO EXTERNO DO PINHAO NA SECCAO FRONTAL EM MM  
DK2 = 664. 0000 DIAMETRO EXTERNO DA COROA NA SECCAO FRONTAL EM MM  
DK1R = 246. 0000 DIAMETRO EXTERNO REBAIXADO DO PINHAO SECCAO FRONTAL EM MM  
DK2R = 664. 0000 DIAMETRO EXTERNO REBAIXADO DA COROA SECCAO FRONTAL EM MM  
HK1 = 13. 0000 ADENDO DO PINHAO EM MM  
HK2 = 7. 0000 ADENDO DA COROA EM MM  
HK1R = 13. 0000 ADENDO REBAIXADO DO PINHAO EM MM  
HK2R = 7. 0000 ADENDO REBAIXADO DA COROA EM MM  
FMEN = 9. 3969 MODULO NA LINHA DE ENGRANAMENTO NA SECCAO NORMAL EM MM  
FME = 9. 3969 MODULO NA LINHA DE ENGRANAMENTO NA SECCAO FRONTAL EM MM  
D01N = 220. 0000 DIAMETRO PRIMITIVO DO PINHAO NA SECCAO NORMAL EM MM  
D02N = 650. 0001 DIAMETRO PRIMITIVO DA COROA NA SECCAO NORMAL EM MM  
Z1N = 22. 0000 NUMERO DE DENTES DO PINHAO EQUIVALENTE NA SECCAO NORMAL  
Z2N = 65. 0000 NUMERO DE DENTES DA COROA EQUIVALENTE NA SECCAO NORMAL  
HF1 = 9. 5000 DEDENDO DO PINHAO EM MM  
HF2 = 15. 5000 DEDENDO DA COROA EM MM  
ALK1G= 32. 8202 ANGULO DE PRESSAO NA CIRCUNFERENCIA EXTERNA DO PINHAO EM GRR  
US  
ALK2G= 23. 0915 ANGULO DE PRESSAO NA CIRCUNFERENCIA EXTERNA DA COROA EM GRR  
S  
ALFBG= 26. 000000 NA CIRCUNFERENCIA DE TRABALHO NA SECCAO FRONTAL EM GRAUS  
BMIN = 285. 0000 LARGURA DAS ENGRANAGENS EM MM  
E1 = 0. 9836 GRAU DE RECOBRIMENTO DO PINHAO  
E2 = 0. 6454 GRAU DE RECOBRIMENTO DA COROA  
U = 3945. 2727 FORCA TANGENCIAL DE ENGRANAMENTO EM KGF  
ROT1 = 71. 3400 ROTACAO DO PINHAO EM RPM  
ROT2 = 24. 1458 ROTACAO DA COROA EM RPM  
VELOC= 0. 8218 VELOCIDADE TANGENCIAL EM M/SEG  
BMRI = 0. 6875 PRESSAO ESPECIFICA NO FLANCO DO DENTE EM KGF/MM\*\*\*2  
E = 1. 6293 GRAU DE RECOBRIMENTO TOTAL  
UMIN = 19. 2453 CARGA POR UNIDADE DE LARGURA NO DENTE EM KGF/MM  
EN = 1. 6293 GRAU DE RECOBRIMENTO TOTAL NA SECCAO NORMAL  
GE = 4. 0000 COEFICIENTE PARA CALCULO DO ERRO DE PASSO DA ENGRANAGEM  
GR = 2. 0000 COEFICIENTE PARA CALCULO DO ERRO DE DIRECAO DOS FLANCOS DOS DENTES  
BK = 0. 0000 COEFICIENTE PARA CALCULO DO ERRO DE DIRECAO DOS FLANCOS DOS DENTES DEPOIS DE RODADO SOB CARGA  
FR = 26. 6356 ERRO DE DIRECAO DOS FLANCOS DOS DENTES EM MICRONS  
FE = 44. 3961 ERRO DE PASSO DA ENGRANAGEM EM MICRONS  
FRW = 21. 4767 ERRO DE DIRECAO DOS FLANCOS DOS DENTES DEPOIS DE RODADO SOB CARGA EM MICRONS  
F = 44. 3961 MAIOR VALOR DENTRE OS ERROS EM MICRONS  
EN = 1. 3691 GRAU DE RECOBRIMENTO EFICAZ  
QE1 = 0. 6889 COEFICIENTE REFERENTE AO GRAU DE RECOBRIMENTO PARA CALCULO DA SOLICITACAO NO PE DO DENTE DO PINHAO  
QE2 = 0. 7914 COEFICIENTE REFERENTE AO GRAU DE RECOBRIMENTO PARA CALCULO DA SOLICITACAO NO PE DO DENTE DA COROA  
YE = 0. 8640 COEFICIENTE REFERENTE AO GRAU DE RECOBRIMENTO PARA CALCULO DA PRESSAO NOS FLANCOS DOS DENTES  
OK1 = 2. 2785 FATOR DE FORMA DO PINHAO PARA CALCULO DA SOLICITACAO NO PE DO DENTE  
OK2 = 2. 4852 FATOR DE FORMA DA COROA PARA CALCULO DA SOLICITACAO NO PE DO DENTE

QW1 = 1. 5719 COEFICIENTE DO PINHAO PARA CALCULO DA SOLICITACAO NO PE DO DENTE  
QW2 = 1. 9691 COEFICIENTE DA COROA PARA CALCULO DA SOLICITACAO NO PE DO DENTE  
NTE  
UDYN = 0. 7431 FORCA TANGENCIAL DINAMICA POR MM DE LARGURA DO DENTE EM KGF/MM  
ESP = 0. 0000 GRAU DE RECOBRIMENTO DE SALTO  
CD = 1. 0314 COEFICIENTE DINAMICO DE INFLUENCIA DE CARGA  
CZ = 1. 0000 CONSTANTE DE ELASTICIDADE DO DENTE KGF/(MM\*MICRON)  
CT = 1. 2199 COEFICIENTE DE REPARTICAO DE CARGA  
CBETA= 1. 0000 COEFICIENTE DE INFLUENCIA DE CARGA COMRELACION AO ANGULO DE HELICE  
BW = 0. 1354 VALOR DE CARGA EFICAZ EM KGF/MM\*\*2  
FK01 = 4. 3000 TENSAO ADMISSIVEL DE RESISTENCIA A FADIGA DO FLANCO DO DENTE DO PINHAO EM KGF/MM\*\*2  
FK02 = 0. 2100 TENSAO ADMISSIVEL DE RESISTENCIA A FADIGA NO FLANCO DO DENTE DA COROA EM KGF/MM\*\*2  
SIG01= 31. 5000 TENSAO ADMISSIVEL DE RESISTENCIA A FADIGA NO PE DO DENTE DO PINHAO EM KGF/MM\*\*2  
SIG02= 15. 0000 TENSAO ADMISSIVEL DE RESISTENCIA A FADIGA NO PE DO DENTE DA COROA EM KGF/MM\*\*2  
SIGD1= 31. 5000 COEFICIENTE DE RESISTENCIA A FADIGA NO PE DO DENTE DO PINHAO EM KGF/MM\*\*2  
SIGD2= 15. 0000 COEFICIENTE DE RESISTENCIA A FADIGA NO PE DO DENTE DA COROA  
EM KGF/MM\*\*2  
SB1 = 6. 7281 COEFICIENTE DE VERIFICACAO DE CAPACIDADE DO PINHAO COM RELACAO A RUPTURA  
SB2 = 2. 5576 COEFICIENTE DE VERIFICACAO DE CAPACIDADE DA COROA COM RELACAO A RUPTURA  
YBETA= 1. 0000 COEFICIENTE PARA CALCULO DE PRESSAO NOS FLANCOS COM RELACAO AO ANGULO DE HELICE  
YC = 3. 1114 COEFICIENTE PARA CALCULO DA PRESSAO NOS FLANCOS COM RELACAO AO ANGULO DE PRESSAO  
YY = 0. 7063 COEFICIENTE PARA CALCULO DA PRESSAO NOS FLANCOS COM RELACAO A VELOCIDADE TANGENCIAL  
YW1 = 3. 6010 COEFICIENTE GERAL PARA CALCULO DA PRESSAO NOS FLANCOS DO DENTE DO PINHAO  
YW2 = 3. 1114 COEFICIENTE GERAL PARA CALCULO DA PRESSAO NOS FLANCOS DOS DENTES DA COROA  
YS = 1. 1451 FATOR DE VISCOSIDADE NA TEMPERATURA DESERVICO  
VISCO= 169. 8273 VISCOSIDADE DO LUBRIFICANTE NA TEMPERATURA DE SERVICO EM CENTSTOKES  
TSTOKES  
FMTE= 54. 5000 MOMENTO DE TORSAO DEVIDO A CARGA DE CORROSAO M\*KGF  
Y50 = 130. 1665 VISCOSIDADE DO LUBRIFICANTE A 50 GRAUSCELSIUS EM CENTSTOKES  
YG1 = 1. 0000 COEFICIENTE PARA CALCULO DA RESISTENCIA DO MATERIAL DO PINHAO CONTRA A CRATERIZACAO  
YG2 = 1. 0000 COEFICIENTE PARA CALCULO DA RESISTENCIA DO MATERIAL DA COROA CONTRA A CRATERIZACAO  
YR1 = 0. 3460 FATOR DE DUREZA NA SUPERFICIE DO DENTEDO PINHAO  
YR2 = 1. 0000 FATOR DE DUREZA NA SUPERFICIE DO DENTEDO COROA  
FKD1 = 1. 2034 COEFICIENTE DE RESISTENCIA A FADIGA NO FLANCO DO DENTE DO PINHAO EM KGF/MM\*\*2  
FKD2 = 0. 1698 COEFICIENTE DE RESISTENCIA A FADIGA NO FLANCO DO DENTE DA COROA EM KGF/MM\*\*2  
SG1 = 1. 8442 COEFICIENTE DE VERIFICACAO DE CAPACIDADE DO PINHAO COM RELACAO A CRATERIZACAO  
SG2 = 0. 3012 COEFICIENTE DE VERIFICACAO DE CAPACIDADE DA COROA COM RELACAO A CRATERIZACAO

FLHG1=	INFINITA	VIDA DO PINHAO COM RELACAO A CRATERIZACAO
FLHG2=	0.1066E+03	VIDA DA COROA LIMITADA PELA CRATERIZACAO EM HORAS
FLHB1=	INFINITA	VIDA DO PINHAO COM RELACAO A RUPTURA
FLHB2=	INFINITA	VIDA DA COROA COM RELACAO A RUPTURA
FLH1 =	INFINITA	VIDA DO PINHAO
FLH2 =	0.1066E+03	VIDA DA COROA EM HORAS
FFLH =	0.1066E+03	VIDA DO PAR DE ENGENAGENS EM HORAS
WP1 =	249.4277	DISTANCIA SOBRE PINOS OU BOLAS DO PINHAO EM MM
R1 =	8.7500	RAIO DO PINO OU BOLA PARA MEDIDA DO WP1 EM MM
WP2 =	659.2952	DISTANCIA SOBRE PINOS OU BOLAS DA COROA EM MM
R2 =	8.7500	RAIO DO PINO OU BOLA PARA MEDIDA DO WP2 EM MM
WD1 =	78.9366	DISTANCIA SOBRE DENTES DO PINHAO EM MM
NWD1 =	3	NUMERO DE DENTES PARA MEDIDA DO WD1
WD2 =	228.4613	DISTANCIA SOBRE DENTES DA COROA EM MM
NWD2 =	8	NUMERO DE DENTES PARA MEDIDA DO WD2

De acordo com os *RESULTADOS CALCULADOS PELO PROGRAMA*, embora o pinhão e a coroa estejam bem dimensionados com relação a *RUPTURA* ( $FLHB1 = FLHB2 = \text{vida infinita}$ ), quanto a *CRATERIZAÇÃO*, apenas o pinhão apresenta vida (FLHG1) infinita. A vida da coroa (FLHG2) e consequentemente do par (FFLH) está limitada em 106,6 horas.

Assim, a solução encontrada foi fazer a coroa, que era de *AÇO FUNDIDO* apenas, com um tratamento térmico, ou seja, *TEMPERA SUPERFICIAL* com dureza 330 BRINELL.

Tendo-se adotado, então, coroa de *AÇO FUNDIDO*, *TEMPERADA SUPERFI- CIALMENTE* com dureza 330 BRINELL, os resultados para o par motor nº 4 foram:

\*\*\*PROJETO DE ENGRANAGENS SEGUNDO METODO NIEMANN\*\*\*

DADOS FORNECIDOS PELO USUARIO

FMN= 10. 0000 MODULO NA SECCAO NORMAL AO DENTE EM MM  
TRU = 2. 9500 RELACAO DE TRANSMISSAO IZ2/I21  
ROTM = 71. 3406 ROTACAO DA ENGRANAGEM MOTORA EM RPM  
BETOG= 0. 0000 ANGULO DE HELICE NA CIRC. PRIMITIVA EM GRAUS  
ALONG= 20. 0000 ANGULO DE PRESSAO NA SECCAO NORMAL NA CIRCUNFERENCIA PRIMITIVA EM GRAUS  
A = 435. 0000 DISTANCIA ENTRE EIXOS EM MM  
MEN1 = FIXA DISTANCIA ENTRE EIXOS E FIXA  
X1 = 0. 30000000 CORRECÇÃO NO PERFIL DO PINHÃO  
MEN2 = C ENGRANAGENS USINADAS COM PRECISAO E BEM APOIADAS EM CRINAS E ENGRANAGENS  
B1 = 205. 0000 LARGURA DO DENTE EM MM  
TORQ = 433. 9800 MOMENTO TORSOR NA ENGRANAGEM MOTORA EMM\*KGF  
NOT = 1 INDICE DA ENGRANAGEM MOTORA  
MENS = 0 CARGA NUM SO SENTIDO  
MEN3 = 9 QUALIDADE DIN 3962  
MEN4 = BIRPOIRDA INFORMACAO SOBRE O PINHÃO  
CS = 1. 2300 COEFICIENTE DE IMPACTO, RAZAO ENTRE O MOMENTO MAXIMO EXTERNO  
E O MOMENTO NOMINAL  
MAT1 = 22 MATERIAL DO PINHÃO CONFORME NORMA DIN = CK 45 ACO TEMPERADO  
EM FORNO OU POR INDUCAO  
MAT2 = 5 MATERIAL DA COROA CONFORME NORMA DIN = GS 52 ACO FUNDIDO  
MENE = 0 ENGRANAGEM USADA EM AUTOVEICULOS E INDUSTRIAS  
LUBRI= 16 LUBRIFICANTE UTILIZADO OLEO ESSO TERESSO TIPO 100 SAE 90  
TEMP= 45. 0000 TEMP DE SERVICO EM GRAUS CELSIOS  
H1 = 350. 0000 DUREZA BRINELL DO PINHÃO  
H2 = 330. 0000 DUREZA BRINELL DA COROA  
MEN7 = 4 SAIRAO IMPRESSAS TODAS AS VARIAVEIS CALCULADAS

RESULTADOS CALCULADOS PELO PROGRAMA

FMN= 10. 0000 MODULO NA SECCAO NORMAL AO DENTE EM MM  
I21 = 22 NUMERO DE DENTES DO PINHÃO  
IZ2 = 65 NUMERO DE DENTES DA COROA  
TRUB = 2. 9545 RELACAO EFETIVA DE TRANSMISSAO IZ2/I21  
R0 = 435. 0000 DISTANCIA ENTRE EIXOS EFETIVA EM MM  
FMF = 10. 0000 MODULO NA SECCAO FRONTAL EM MM  
ALONG= 20. 0000 ANGULO DE PRESSAO NA CIRCUNFERENCIA DETRABALHO NA SECCAO NORMAL EM GRAUS  
X1 = 0. 30000000 CORRECÇÃO NO PERFIL DO DENTE DO PINHÃO  
X2 = -0. 30000012 CORRECÇÃO NO PERFIL DO DENTE DA COROA  
ALOG = 20. 0000 ANGULO DE PRESSAO NA CIRCUNFERENCIA PRIMITIVA EM GRAUS  
BETOG= 0. 0000 ANGULO DE HELICE NA CIRCUNFERENCIA DE BASE EM GRAUS  
D81 = 229. 0000 DIAMETRO DE TRABALHO DO PINHÃO NA SECCAO FRONTAL EM MM

DB2 = 650. 0000 DIAMETRO DE TRABALHO DA COROA SECCAO FRONTAL EM MM  
D01 = 220. 0000 DIAMETRO PRIMITIVO DO PINHAO NA SECCAOFRONTAL EM MM  
D02 = 650. 0001 DIAMETRO PRIMITIVO DA COROA NA SECCAO FRONTAL EM MM  
DG1 = 206. 7224 DIAMETRO DE BASE DO PINHAO NA SECCAO FRONTAL EM MM  
DG2 = 610. 0002 DIAMETRO DE BASE DA COROA NA SECCAO FRONTAL EM MM  
DB1N = 220. 0000 DIAMETRO DE TRABALHO DO PINHAO SECCAO NORMAL EM MM  
DB2N = 650. 0000 DIAMETRO DE TRABALHO DA COROA NA SECCAO NORMAL EM MM  
BETBG= 8. 0000 ANGULO DE HELICE NA CIRCUNFERENCIA DE TRABALHO EM GRAUS  
DF1 = 201. 0000 DIAMETRO DE FUNDO DO PINHAO NA SECCAO FRONTAL EM MM  
DF2 = 619. 0000 DIAMETRO DE FUNDO DA COROA NA SECCAO FRONTAL EM MM  
DK1 = 246. 0000 DIAMETRO EXTERNO DO PINHAO NA SECCAO FRONTAL EM MM  
DK2 = 664. 0000 DIAMETRO EXTERNO DA COROA NA SECCAO FRONTAL EM MM  
DK1R = 246. 0000 DIAMETRO EXTERNO REBAIXADO DO PINHAO SECCAO FRONTAL EM MM  
DK2R = 664. 0000 DIAMETRO EXTERNO REBAIXADO DA COROA SECCAO FRONTAL EM MM  
HK1 = 13. 0000 ADENDO DO PINHAO EM MM  
HK2 = 7. 0000 ADENDO DA COROA EM MM  
HK1R = 13. 0000 ADENDO REBAIXADO DO PINHAO EM MM  
HK2R = 7. 0000 ADENDO REBAIXADO DA COROA EM MM  
FMEN = 9. 3969 MODULO NA LINHA DE ENGRANAMENTO NA SECCAO NORMAL EM MM  
FME = 9. 3969 MODULO NA LINHA DE ENGRANAMENTO NA SECCAO FRONTAL EM MM  
D01N = 220. 0000 DIAMETRO PRIMITIVO DO PINHAO NA SECCAO NORMAL EM MM  
D02N = 650. 0001 DIAMETRO PRIMITIVO DA COROA NA SECCAO NORMAL EM MM  
Z1N = 22. 0000 NUMERO DE DENTES DO PINHAO EQUIVALENTE NA SECCAO NORMAL  
Z2N = 65. 0000 NUMERO DE DENTES DA COROA EQUIVLANTE NA SECCAO NORMAL  
HF1 = 9. 5000 DEPENDO DO PINHAO EM MM  
HF2 = 15. 5000 DEPENDO DA COROA EM MM  
ALK1G= 32. 8202 ANGULO DE PRESSAO NA CIRCUNFERENCIA EXTERNA DO PINHAO EM GRAU  
US =  
ALK2G= 23. 0915 ANGULO DE PRESSAO NA CIRCUNFERENCIA EXTERNA DA COROA EM GRAU  
S =  
ALFBG= 28. 00000 NA CIRCUNFERENCIA DE TRABALHO NA SECCAO FRONTAL EM GRAUS  
SMIN = 205. 0000 LARGURA DAS ENGRANAGENS EM MM  
E1 = 0. 9939 GRAU DE RECOBRIMENTO DO PINHAO  
E2 = 0. 6454 GRAU DE RECOBRIMENTO DA COROA  
U = 3945. 2727 FORCA TANGENCIAL DE ENGRANAMENTO EM KGF  
ROT1 = 71. 3400 ROTACAO DO PINHAO EM RPM  
ROT2 = 24. 1458 ROTACAO DA COROA EM RPM  
VELOC= 0. 8219 VELOCIDADE TANGENCIAL EM M/SEG  
BMAI = 0. 0875 PRESSAO ESPECIFICA NO FLANCO DO DENTE EM KGF/MM\*\*2  
E = 1. 6293 GRAU DE RECOBRIMENTO TOTAL  
UMIN = 19. 2453 CARGA POR UNIDADE DE LARGURA NO DENTE EM KGF/MM  
EN = 1. 6293 GRAU DE RECOBRIMENTO TOTAL NA SECCAO NORMAL  
GE = 4. 0000 COEFICIENTE PARA CALCULO DO ERRO DE PASSO DA ENGRANAGEM  
GR = 2. 0000 COEFICIENTE PARA CALCULO DO ERRO DE DIRECAO DOS FLANCOS DOS DENTES  
GK = 0. 0000 COEFICIENTE PARA CALCULO DO ERRO DE DIRECAO DOS FLANCOS DOS DENTES DEPOIS DE RODADO SOB CARGA  
PR = 28. 6356 ERRO DE DIRECAO DOS FLANCOS DOS DENTES EM MICRONS  
PE = 44. 3961 ERRO DE PASSO DA ENGRANAGEM EM MICRONS  
FRW = 21. 4767 ERRO DE DIRECAO DOS FLANCOS DOS DENTES DEPOIS DE RODADO SOB CARGA EM MICRONS  
F = 44. 3961 MAIOR VALOR DENTRE OS ERROS EM MICRONS  
EW = 1. 3691 GRAU DE RECOBRIMENTO EFICAZ  
QE1 = 0. 6899 COEFICIENTE REFERENTE AO GRAU DE RECOBRIMENTO PARA CALCULO DA SOLICITACAO NO PE DO DENTE DO PINHAO  
QE2 = 0. 7914 COEFICIENTE REFERENTE AO GRAU DE RECOBRIMENTO PARA CALCULO DA SOLICITACAO NO PE DO DENTE DA COROA  
YE = 0. 6640 COEFICIENTE REFERENTE AO GRAU DE RECOBRIMENTO PARA CALCULO DA PRESSAO NOS FLANCOS DOS DENTES  
QK1 = 2. 2785 FATOR DE FORMA DO PINHAO PARA CALCULO DA SOLICITACAO NO PE DO DENTE  
QK2 = 2. 4682 FATOR DE FORMA DA COROA PARA CALCULO DA SOLICITACAO NO PE DO DENTE

QW1 = 1. 5719 COEFICIENTE DO PINHÃO PARA CÁLCULO DA SOLICITAÇÃO NO PE DO DENTE  
ENTE  
QW2 = 1. 9691 COEFICIENTE DA COROA PARA CÁLCULO DA SOLICITAÇÃO NO PE DO DENTE  
NTE  
UDYN = 0. 7431 FORÇA TANGENCIAL DINÂMICA POR MM DE LARGURA DO DENTE EM KGF/MM  
ESP = 0. 0000 GRAU DE RECOBRIMENTO DE SALTO  
CD = 1. 0314 COEFICIENTE DINÂMICO DE INFLUÊNCIA DE CARGA  
CZ = 1. 0000 CONSTANTE DE ELASTICIDADE DO DENTE KGF/(MM\*MICROND)  
CT = 1. 2199 COEFICIENTE DE REPARTIÇÃO DE CARGA  
CBETR= 1. 0000 COEFICIENTE DE INFLUÊNCIA DE CARGA COM RELAÇÃO AO ÂNGULO DE HELICE  
BW = 0. 1354 VALOR DE CARGA EFICAZ EM KGF/MM\*\*2  
FK01 = 4. 3000 TENSÃO ADMISSÍVEL DE RESISTÊNCIA A FADIGA DO FLANCO DO DENTE  
DO PINHÃO EM KGF/MM\*\*2  
FK02 = 0. 2100 TENSÃO ADMISSÍVEL DE RESISTÊNCIA A FADIGA NO FLANCO DO DENTE  
DA COROA EM KGF/MM\*\*2  
SIG01= 31. 5000 TENSÃO ADMISSÍVEL DE RESISTÊNCIA A FADIGA NO PE DO DENTE DO  
PINHÃO EM KGF/MM\*\*2  
SIG02= 15. 0000 TENSÃO ADMISSÍVEL DE RESISTÊNCIA A FADIGA NO PE DO DENTE DA  
COROA EM KGF/MM\*\*2  
SIGD1= 31. 5000 COEFICIENTE DE RESISTÊNCIA A FADIGA NO PE DO DENTE DO PINHÃO  
EM KGF/MM\*\*2  
SIGD2= 15. 0000 COEFICIENTE DE RESISTÊNCIA A FADIGA NO PE DO DENTE DA COROA  
EM KGF/MM\*\*2  
SB1 = 6. 7261 COEFICIENTE DE VERIFICAÇÃO DE CAPACIDADE DO PINHÃO COM RELAÇÃO  
AO A RUPTURA  
SB2 = 2. 5576 COEFICIENTE DE VERIFICAÇÃO DE CAPACIDADE DA COROA COM RELAÇÃO  
AO A RUPTURA  
YBETA= 1. 0000 COEFICIENTE PARA CÁLCULO DE PRESSÃO NOS FLANCOS COM RELAÇÃO  
AO ÂNGULO DE HELICE  
YC = 3. 1114 COEFICIENTE PARA CÁLCULO DA PRESSÃO NOS FLANCOS COM RELAÇÃO  
AO ÂNGULO DE PRESSÃO  
YY = 0. 7063 COEFICIENTE PARA CÁLCULO DA PRESSÃO NOS FLANCOS COM RELAÇÃO  
A VELOCIDADE TANGENCIAL  
YW1 = 3. 6010 COEFICIENTE GERAL PARA CÁLCULO DA PRESSÃO NOS FLANCOS DO DENTE  
DO PINHÃO  
YW2 = 3. 1114 COEFICIENTE GERAL PARA CÁLCULO DA PRESSÃO NOS FLANCOS DOS DENTES  
DA COROA  
YS = 1. 1451 FATOR DE VISCOSIDADE NA TEMPERATURA DESERVÍCIO  
VISCO= 189. 8273 VISCOSIDADE DO LUBRIFICANTE NA TEMPERATURA DE SERVÍCIO EM CENT  
TSTOKES  
FMTES= 54. 5000 MOMENTO DE TORÇÃO DEVIDO A CARGA DE CORROSIÃO MM\*KGF  
V50 = 138. 1665 VISCOSIDADE DO LUBRIFICANTE A 50 GRUAS CELSIUS EM CENTSTOKES  
YG1 = 1. 0000 COEFICIENTE PARA CÁLCULO DA RESISTÊNCIA DO MATERIAL DO PINHÃO  
O CONTRA A CRATERIZAÇÃO  
YG2 = 1. 0000 COEFICIENTE PARA CÁLCULO DA RESISTÊNCIA DO MATERIAL DA COROA  
CONTRA A CRATERIZAÇÃO  
YH1 = 0. 2460 FATOR DE DUREZA NA SUPERFÍCIE DO DENTE DO PINHÃO  
YH2 = 4. 8400 FATOR DE DUREZA NA SUPERFÍCIE DA DENTE DA COROA  
FKD1 = 1. 2034 COEFICIENTE DE RESISTÊNCIA A FADIGA NO FLANCO DO DENTE DO PINHÃO  
EM KGF/MM\*\*2  
FKD2 = 0. 6220 COEFICIENTE DE RESISTÊNCIA A FADIGA NO FLANCO DA COROA  
EM KGF/MM\*\*2  
SG1 = 1. 6442 COEFICIENTE DE VERIFICAÇÃO DE CAPACIDADE DO PINHÃO COM RELAÇÃO  
AO A CRATERIZAÇÃO  
SG2 = 1. 4586 COEFICIENTE DE VERIFICAÇÃO DE CAPACIDADE DA COROA COM RELAÇÃO  
AO A CRATERIZAÇÃO

FLHG1=	INFINITA	VIDA DO PINHAO COM RELACAO A CRATERIZACAO
FLHG2=	INFINITA	VIDA DA COROA COM RELACAO A CRATERIZACAO
FLHE1=	INFINITA	VIDA DO PINHAO COM RELACAO A RUPTURA
FLHE2=	INFINITA	VIDA DA COROA COM RELACAO A RUPTURA
FLH1 =	INFINITA	VIDA DO PINHAO
FLH2 =	INFINITA	VIDA DA COROA
FFLH =	INFINITA	VIDA DO PAR DE ENGRANAGENS
WP1 =	249.4277	DISTANCIA SOBRE PINOS OU BOLAS DO PINHAO EM MM
R1 =	8.7500	RAIO DO PINO OU BOLA PARA MEDIDA DO WP1 EM MM
WP2 =	669.2962	DISTANCIA SOBRE PINOS OU BOLAS DA COROA EM MM
R2 =	8.7500	RAIO DO PINO OU BOLA PARA MEDIDA DO WP2 EM MM
WD1 =	78.9366	DISTANCIA SOBRE DENTES DO PINHAO EM MM
NWD1 =	3	NUMERO DE DENTES PARA MEDIDA DO WD1
WD2 =	228.4613	DISTANCIA SOBRE DENTES DA COROA EM MM
NWD2 =	8	NUMERO DE DENTES PARA MEDIDA DO WD2

De acordo com os *RESULTADOS CALCULADOS PELO PROGRAMA*, tanto o pinhão como a coroa estão bem dimensionados com relação a *RUPTURA* ( $FLHB1 = FLHB2 = \text{vida infinita}$ ) e quanto a *CRATERIZAÇÃO* ( $FLHG1 = FLHG2 = \text{vida infinita}$ ).

#### 6.4. ROLAMENTOS

Para a verificação dos *ROLAMENTOS A e B* do eixo intermedio (figura 6.5), calcularam-se, inicialmente, os esforços atuantes em cada engrenagem deste eixo a partir dos momentos torques ( $M_{III2}$ )<sub>i</sub>, ( $M_{III3}$ )<sub>i</sub> e ( $M_{III4}$ )<sub>i</sub>, fornecidos na TABELA VI.2, e dos parâmetros geométricos de cada par motor calculados pelo PROGRAMA ENGRO (item 6.3.).

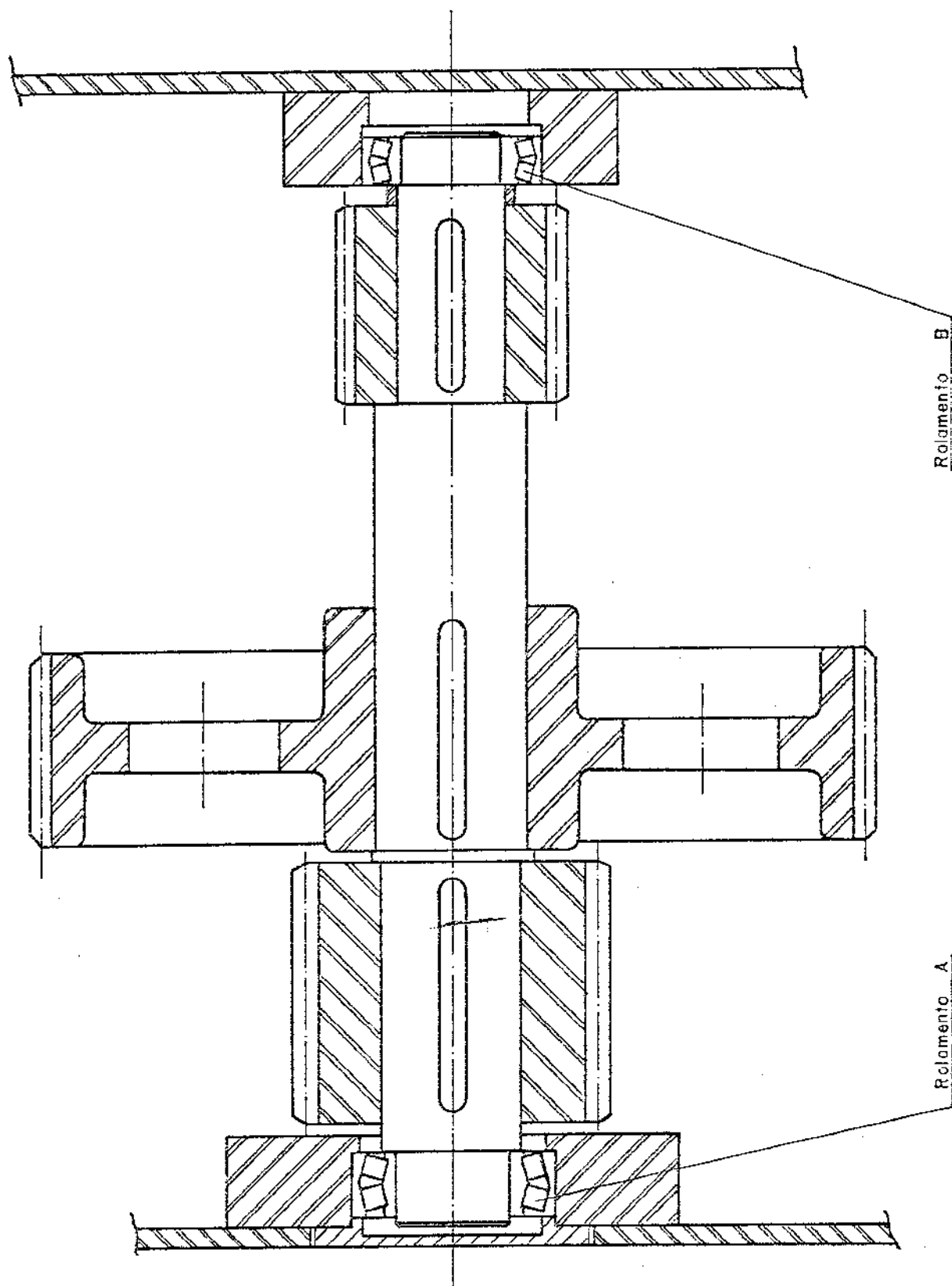


Fig. 6.5. - Eixo intermedio e os rolamentos A e B.

A figura 6.6 representa esquematicamente o eixo intermediário, seus mancais A e B, e as engrenagens com seus respectivos esforços.

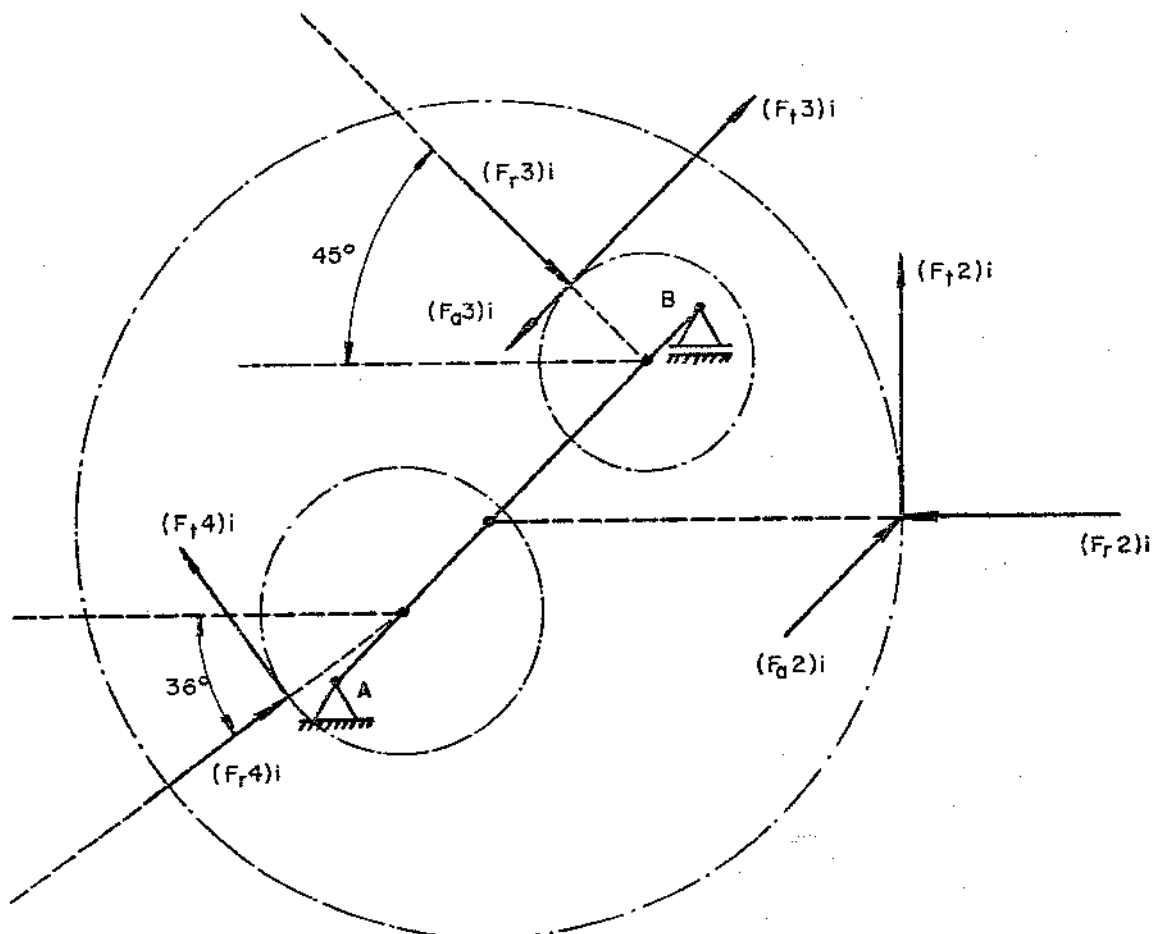


Fig. 6.6.- Representação esquemática do eixo intermediário, dos mancais A e B, e das engrenagens com seus respectivos esforços.

Assim, os esforços atuantes na coroa do par motor nº 2 serão dados por [22]:

$$\text{FORÇA TANGENCIAL} = (F_{t2})_i = \frac{2(M_{III2})_i}{db_2}$$

$$\text{FORÇA RADIAL} = (F_{r2})_i = \frac{2 \operatorname{tg} \alpha_b}{db_2} (M_{III2})_i$$

$$\text{FORÇA AXIAL} = (F_{a2})_i = \frac{2 \operatorname{tg} \beta_b}{db_2} (M_{III2})_i$$

onde,

$db_2$  = DIÂMETRO DE TRABALHO DA COROA NA SECÇÃO FRONTAL = 64,598cm

$\alpha_b$  = ÂNGULO DE PRESSÃO NA CIRCUNFERÊNCIA DE TRABALHO NA SECÇÃO FRONTAL = 20,64°.

$\beta_b$  = ÂNGULO DE HÉLICE NA CIRCUNFERÊNCIA DE TRABALHO = 14,9994°

A TABELA VI.3 fornece os esforços atuantes na coroa do par motor nº 2 e suas frequências de atuação, correspondentes.

TABELA VI.3 - *ESFORÇOS ATUANTES NA COROA DO PAR MOTOR Nº 2 E SUAS RESPECTIVAS FREQUÊNCIAS DE ATUAÇÃO*

$(M_{III2})_i$ [Kgf.cm]	FORÇA TAN- GENCIAL $(F_{t2})_i$ [kgf]	FORÇA RA- DIAL $(F_{r2})_i$ [kgf]	FORÇA A- XIAL $(F_{a2})_i$ [kgf]	FREQUÊNCIA DE ATUAÇÃO $f_i$
41310	1279,0	481,8	342,7	0,0357
45156	1398,1	526,6	374,6	0,0357
47220	1462,0	550,7	391,7	0,0357
48719	1508,4	568,2	404,2	0,0357
50414	1560,9	587,9	418,2	0,0714
52262	1618,1	609,5	433,5	0,0714
54890	1699,4	640,1	455,3	0,1785
57583	1782,8	671,5	477,7	0,0357
61754	1911,9	720,2	512,3	0,0714
70899	2195,1	826,8	588,1	0,0357
72376	2240,8	844,1	600,4	0,1428
76437	2366,5	891,4	634,1	0,0357
77913	2412,2	908,6	646,3	0,0357
79412	2458,7	926,1	658,8	0,0714
88271	2732,9	1029,4	732,3	0,0357
90877	2813,6	1059,8	753,9	0,0714

Os esforços atuantes no pinhão do par motor nº 3 serão dados por:

$$\text{FORÇA TANGENCIAL} = (F_{t3})_i = \frac{2(M_{III3})_i}{db_1}$$

$$\text{FORÇA RADIAL} = (F_{r3})_i = \frac{2\tan\alpha_b}{db_1} (M_{III3})_i$$

$$\text{FORÇA AXIAL} = (F_{a3})_i = \frac{2\tan\beta_b}{db_1} (M_{III3})_i$$

onde,

$db_1$  = DIÂMETRO DE TRABALHO DO PINHÃO NA SECÇÃO FRONTAL =  
16,360 cm

$\alpha_b$  = ÂNGULO DE PRESSÃO NA CIRCUNFERÊNCIA DE TRABALHO NA  
SECÇÃO FRONTAL =  $21,3302^\circ$ .

$\beta_b$  = ÂNGULO DE HÉLICE NA CIRCUNFERÊNCIA DE TRABALHO =  
 $10,0682^\circ$

A TABELA VI.4 fornece os esforços atuantes no pinhão do par motor nº 3 e suas frequências de atuação, correspondentes.

TABELA VI.4 - ESFORÇOS ATUANTES NO PINHÃO DO PAR MOTOR N° 3 E SUAS RESPECTIVAS FREQUÊNCIAS DE ATUAÇÃO

$(M_{III3})_i$ [kgf.cm]	FORÇA TAN- GENCIAL $(F_{t3})_i$ [kgf]	FORÇA RA- DIAL $(F_{r3})_i$ [kgf]	FORÇA A- XIAL $(F_{a3})_i$ [kgf]	FREQUÊNCIA DE ATUAÇÃO $f_i$
12264	1499,3	585,5	266,2	0,0357
13288	1624,4	634,3	288,4	0,0357
13902	1699,5	663,6	301,8	0,0357
14376	1757,5	686,3	312,0	0,0357
14941	1826,5	713,2	324,3	0,0714
15591	1906,0	744,3	338,4	0,0714
16577	2026,5	791,3	359,8	0,1785
17664	2159,4	843,2	383,4	0,0357
19498	2383,6	930,8	423,2	0,0714
24162	2953,8	1153,4	524,5	0,0357
24998	3056,0	1193,3	542,6	0,1428
27416	3351,6	1308,8	595,1	0,0357
28338	3464,3	1352,8	615,1	0,0357
29298	3581,7	1398,6	635,9	0,0714
35456	4334,5	1692,6	769,6	0,0357
37425	4575,2	1786,6	812,3	0,0714

Os esforços atuantes no pinhão do par motor n° 4 serão dados por:

$$\text{FORÇA TANGENCIAL} = (F_{t4})_i = \frac{2(M_{III4})_i}{db_1}$$

$$\text{FORÇA RADIAL} = (F_{r4})_i = \frac{2\tan\alpha_b}{db_1} (M_{III4})_i$$

onde,

$d_{b_1}$  = DIÂMETRO DE TRABALHO DO PINHÃO NA SECÇÃO FRONTAL =  
22,000 cm

$\alpha_{b_1}$  = ÂNGULO DE PRESSÃO NA CIRCUNFERÊNCIA DE TRABALHO NA  
SECÇÃO FRONTAL = 20°

A TABELA VI.5 fornece os esforços atuantes no pinhão do par motor nº 4 e suas frequências de atuação, correspondentes.

TABELA VI.5 - *ESFORÇOS ATUANTES NO PINHÃO DO PAR MOTOR N° 4 E SUAS RESPECTIVAS FREQUÊNCIAS DE ATUAÇÃO*

$(M_{III4})_i$ [kgf.cm]	FORÇA TANGENCIAL $(F_{t4})_i$ [kgf]	FORÇA RADIAL $(F_{r4})_i$ [kgf ]	FREQUÊNCIA DE ATUAÇÃO $f_i$
29046	2640,5	961,1	0,0357
31868	2897,1	1054,5	0,0357
33318	3028,9	1102,4	0,0357
34343	3122,1	1136,3	0,0357
35473	3224,8	1173,7	0,0714
36671	3333,7	1213,4	0,0714
38313	3483,0	1267,7	0,1785
39919	3629,0	1320,8	0,0357
42256	3841,5	1398,2	0,0714
46737	4248,8	1546,4	0,0357
47378	4307,1	1567,7	0,1428
49021	4456,5	1622,0	0,0357
49575	4506,8	1640,3	0,0357
50114	4555,8	1658,2	0,0714
52815	4801,4	1747,6	0,0357
53452	4859,3	1768,6	0,0714

As reações dos mancais A e B foram calculadas com o auxílio do PROGRAMA COMPUTACIONAL STRESS (Structural Engineering System Solver), desenvolvido pela IBM [23]:

Para tanto, procedeu-se a discretização do eixo intermediário em

4 elementos e 5 nós e determinaram-se, para cada nó, os esforços segundo o sistema de referência global (X, Y, Z) associado ao eixo (figura 6.7).

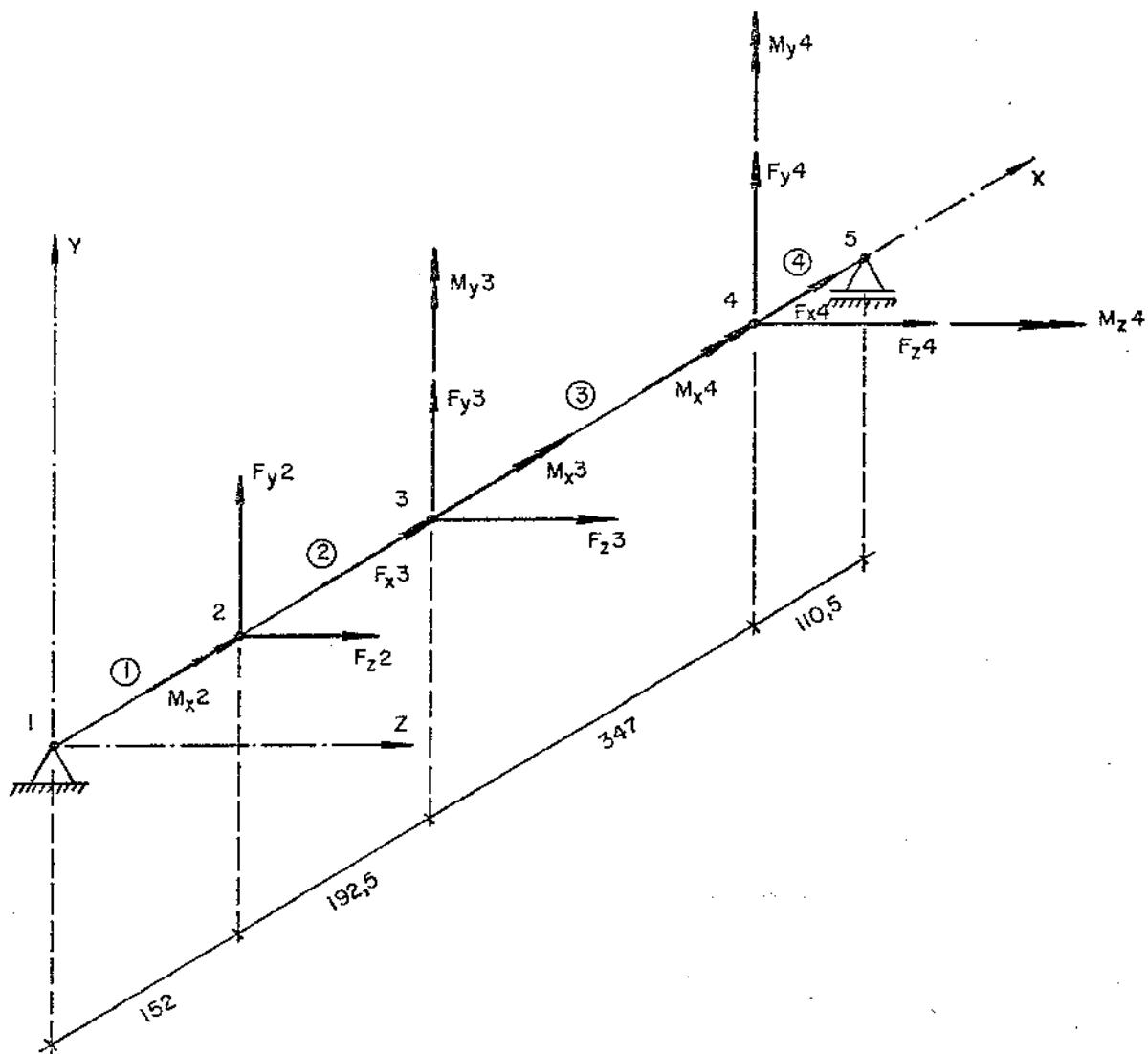


Fig. 6.7. – Representação dos esforços atuantes em cada nó segundo o sistema de referência global (X, Y, Z) associado ao eixo intermediário.

Assim, os esforços atuantes no nó 2 segundo o sistema de referência global serão dados por:

$$\text{FORÇAS} \quad \begin{cases} F_{x2} = 0 \\ F_{y2} = (F_{t4})_i \sin 54^\circ + (F_{r4})_i \sin 36^\circ \\ F_{z2} = (F_{r4})_i \cos 36^\circ - (F_{t4})_i \cos 54^\circ \end{cases}$$

$$\text{MOMENTOS} \quad \begin{cases} M_{x2} = (M_{III4})_i \\ M_{y2} = 0 \\ M_{z2} = 0 \end{cases}$$

Os esforços atuantes no nó 3 segundo o sistema de referência global serão dados por:

$$\text{FORÇAS} \quad \begin{cases} F_{x3} = (F_{a2})_i \\ F_{y3} = (F_{t2})_i \\ F_{z3} = -(F_{r2})_i \end{cases} \quad \text{MOMENTOS} \quad \begin{cases} M_{x3} = - (M_{III2})_i \\ M_{y3} = (M_{III2})_i \operatorname{tg} 14,9994^\circ \\ M_{z3} = 0 \end{cases}$$

Os esforços atuantes no nó 4 segundo o sistema de referência global serão dados por:

$$\text{FORÇAS} \quad \begin{cases} F_{x4} = -(F_{a3})_i \\ F_{y4} = (F_{t3})_i \cos 45^\circ - (F_{r3})_i \cos 45^\circ \\ F_{z4} = (F_{t3})_i \cos 45^\circ + (F_{r3})_i \cos 45^\circ \end{cases}$$

$$\text{MOMENTOS} \quad \begin{cases} M_{x4} = (M_{III3})_i \\ M_{y4} = (M_{III3})_i \cos 45^\circ \operatorname{tg} 10,0682^\circ \\ M_{z4} = (M_{III3})_i \cos 45^\circ \operatorname{tg} 10,0682^\circ \end{cases}$$

As TABELAS, a seguir, apresentam os esforços atuantes em cada nó, para cada CARREGAMENTO e a sua frequência de atuação.

CARREGAMENTO 1: FREQUÊNCIA DE ATUAÇÃO = 0,0357					
ESFORÇOS NO NÓ 2		ESFORÇOS NO NÓ 3		ESFORÇOS NO NÓ 4	
[kgf]	[kgf.cm]	[kgf]	[kgf.cm]	[kgf]	[kgf.cm]
$F_{x2} = 0$	$M_{x2} = 29046$	$F_{x3} = 342,7$	$M_{x3} = -41310$	$F_{x4} = -266,2$	$M_{x4} = 12264$
$F_{y2} = 2701,1$	$M_{y2} = 0$	$F_{y3} = 1279,0$	$M_{y3} = 11068$	$F_{y4} = 646,2$	$M_{y4} = 1540$
$F_{z2} = -774,5$	$M_{z2} = 0$	$F_{z3} = -481,8$	$M_{z3} = 0$	$F_{z4} = 1474,2$	$M_{z4} = 1540$

CARREGAMENTO 2: FREQUÊNCIA DE ATUAÇÃO = 0,0357

ESFORÇO NO NÓ 2		ESFORÇO NO NÓ 3		ESFORÇO NO NÓ 4	
[kgf]	[kgf.cm]	[kgf]	[kgf.cm]	[kgf]	[kgf.cm]
$F_{x2}=0$	$M_{x2}=31868$	$F_{x3}=374,6$	$M_{x3}=-45156$	$F_{x4}=-288,4$	$M_{x4}=13288$
$F_{y2}=2963,6$	$M_{y2}=0$	$F_{y3}=1398,1$	$M_{y3}=12099$	$F_{y4}=700,1$	$M_{y4}=1668$
$F_{z2}=-849,8$	$M_{z2}=0$	$F_{z3}=-526,6$	$M_{z3}=0$	$F_{z4}=1597,1$	$M_{z4}=1663$

CARREGAMENTO 3: FREQUÊNCIA DE ATUAÇÃO = 0,0357

ESFORÇOS NO NÓ 2		ESFORÇOS NO NÓ 3		ESFORÇOS NO NÓ 4	
[kgf]	[kgf.cm]	[kgf]	[kgf.cm]	[kgf]	[kgf.cm]
$F_{x2}=0$	$M_{x2}=33318$	$F_{x3}=391,7$	$M_{x3}=-47220$	$F_{x4}=-301,8$	$M_{x4}=13902$
$F_{y2}=3098,4$	$M_{y2}=0$	$F_{y3}=1462,0$	$M_{y3}=12652$	$F_{y4}=732,5$	$M_{y4}=1745$
$F_{z2}=-888,5$	$M_{z2}=0$	$F_{z3}=-550,7$	$M_{z3}=0$	$F_{z4}=1671,0$	$M_{z4}=1745$

CARREGAMENTO 4: FREQUÊNCIA DE ATUAÇÃO = 0,0357

ESFORÇOS NO NÓ 2		ESFORÇOS NO NÓ 3		ESFORÇOS NO NÓ 4	
[kgf]	[kgf.cm]	[kgf]	[kgf.cm]	[kgf]	[kgf.cm]
$F_{x2}=0$	$M_{x2}=34343$	$F_{x3}=404,2$	$M_{x3}=-48719$	$F_{x4}=-312,0$	$M_{x4}=14376$
$F_{y2}=3193,7$	$M_{y2}=0$	$F_{y3}=1508,4$	$M_{y3}=13054$	$F_{y4}=757,4$	$M_{y4}=1805$
$F_{z2}=-915,8$	$M_{z2}=0$	$F_{z3}=-568,2$	$M_{z3}=0$	$F_{z4}=1728,0$	$M_{z4}=1805$

CARREGAMENTO 5: FREQUÊNCIA DE ATUAÇÃO = 0,0714

ESFORÇOS NO NÓ 2		ESFORÇOS NO NÓ 3		ESFORÇOS NO NÓ 4	
[kgf]	[kgf.cm]	[kgf]	[kgf.cm]	[kgf]	[kgf.cm]
$F_{x2} = 0$	$M_{x2} = 35473$	$F_{x3} = 418,2$	$M_{x3} = -50414$	$F_{x4} = -324,3$	$M_{x4} = 14941$
$F_{y2} = 3298,8$	$M_{y2} = 0$	$F_{y3} = 1560,9$	$M_{y3} = 13508$	$F_{y4} = 787,2$	$M_{y4} = 1876$
$F_{z2} = -945,9$	$M_{z2} = 0$	$F_{z3} = -587,9$	$M_{z3} = 0$	$F_{z4} = 1795,8$	$M_{z4} = 1876$

CARREGAMENTO 6: FREQUÊNCIA DE ATUAÇÃO = 0,0714

ESFORÇOS NO NÓ 2		ESFORÇOS NO NÓ 3		ESFORÇOS NO NÓ 4	
[kgf]	[kgf.cm]	[kgf]	[kgf.cm]	[kgf]	[kgf.cm]
$F_{x2} = 0$	$M_{x2} = 36671$	$F_{x3} = 433,5$	$M_{x3} = -52262$	$F_{x4} = -338,4$	$M_{x4} = 15591$
$F_{y2} = 3410,2$	$M_{y2} = 0$	$F_{y3} = 1618,1$	$M_{y3} = 14003$	$F_{y4} = 821,4$	$M_{y4} = 1957$
$F_{z2} = -977,8$	$M_{z2} = 0$	$F_{z3} = -609,5$	$M_{z3} = 0$	$F_{z4} = 1874,0$	$M_{z4} = 1957$

CARREGAMENTO 7: FREQUÊNCIA DE ATUAÇÃO = 0,1785

ESFORÇOS NO NÓ 2		ESFORÇOS NO NÓ 3		ESFORÇOS NO NÓ 4	
[kgf]	[kgf.cm]	[kgf]	[kgf.cm]	[kgf]	[kgf.cm]
$F_{x2} = 0$	$M_{x2} = 38313$	$F_{x3} = 455,3$	$M_{x3} = -54890$	$F_{x4} = -359,8$	$M_{x4} = 16577$
$F_{y2} = 3562,9$	$M_{y2} = 0$	$F_{y3} = 1699,4$	$M_{y3} = 14707$	$F_{y4} = 873,4$	$M_{y4} = 2081$
$F_{z2} = -1021,7$	$M_{z2} = 0$	$F_{z3} = -640,1$	$M_{z3} = 0$	$F_{z4} = 1992,5$	$M_{z4} = 2081$

CARREGAMENTO 8: FREQUÊNCIA DE ATUAÇÃO = 0,0357

ESFORÇOS NO NÓ 2		ESFORÇOS NO NÓ 3		ESFORÇOS NO NÓ 4	
[kgf]	[kgf.cm]	[kgf]	[kgf.cm]	[kgf]	[kgf.cm]
$F_{x2} = 0$	$M_{x2} = 39919$	$F_{x3} = 477,7$	$M_{x3} = -57583$	$F_{x4} = -383,4$	$M_{x4} = 17664$
$F_{y2} = 3712,3$	$M_{y2} = 0$	$F_{y3} = 1782,8$	$M_{y3} = 15429$	$F_{y4} = 930,7$	$M_{y4} = 2218$
$F_{z2} = -1064,5$	$M_{z2} = 0$	$F_{z3} = -671,5$	$M_{z3} = 0$	$F_{z4} = 2123,2$	$M_{z4} = 2218$

CARREGAMENTO 9: FREQUÊNCIA DE ATUAÇÃO = 0,0714

ESFORÇOS NO NÓ 2		ESFORÇOS NO NÓ 3		ESFORÇOS NO NÓ 4	
[kgf]	[kgf.cm]	[kgf]	[kgf.cm]	[kgf]	[kgf.cm]
$F_{x2} = 0$	$M_{x2} = 42256$	$F_{x3} = 512,3$	$M_{x3} = -61754$	$F_{x4} = -423,2$	$M_{x4} = 19498$
$F_{y2} = 3929,7$	$M_{y2} = 0$	$F_{y3} = 1911,9$	$M_{y3} = 16546$	$F_{y4} = 1027,3$	$M_{y4} = 2448$
$F_{z2} = -1126,8$	$M_{z2} = 0$	$F_{z3} = -720,2$	$M_{z3} = 0$	$F_{z4} = 2343,6$	$M_{z4} = 2448$

CARREGAMENTO 10: FREQUÊNCIA DE ATUAÇÃO = 0,0357

ESFORÇOS NO NÓ 2		ESFORÇOS NO NÓ 3		ESFORÇOS NO NÓ 4	
[kgf]	[kgf.cm]	[kgf]	[kgf.cm]	[kgf]	[kgf.cm]
$F_{x2} = 0$	$M_{x2} = 46737$	$F_{x3} = 588,1$	$M_{x3} = -70899$	$F_{x4} = -524,5$	$M_{x4} = 24162$
$F_{y2} = 4346,3$	$M_{y2} = 0$	$F_{y3} = 2195,1$	$M_{y3} = 18997$	$F_{y4} = 1273,1$	$M_{y4} = 3034$
$F_{z2} = -1246,3$	$M_{z2} = 0$	$F_{z3} = -826,8$	$M_{z3} = 0$	$F_{z4} = 2904,2$	$M_{z4} = 3034$

CARREGAMENTO 11: FREQUÊNCIA DE ATUAÇÃO = 0,1428

ESFORÇOS NO NÓ 2		ESFORÇOS NO NÓ 3		ESFORÇOS NO NÓ 4	
[kgf]	[kgf.cm]	[kgf]	[kgf.cm]	[kgf]	[kgf.cm]
$F_{x2} = 0$	$M_{x2} = 47378$	$F_{x3} = 600,4$	$M_{x3} = -72376$	$F_{x4} = -542,6$	$M_{x4} = 24998$
$F_{y2} = 4406,0$	$M_{y2} = 0$	$F_{y3} = 2240,8$	$M_{y3} = 19392$	$F_{y4} = 1317,1$	$M_{y4} = 3138$
$F_{z2} = -1263,3$	$M_{z2} = 0$	$F_{z3} = -844,1$	$M_{z3} = 0$	$F_{z4} = 3004,7$	$M_{z4} = 3138$

CARREGAMENTO 12: FREQUÊNCIA DE ATUAÇÃO = 0,0357

ESFORÇOS NO NÓ 2		ESFORÇOS NO NÓ 3		ESFORÇOS NO NÓ 4	
[kgf]	[kgf.cm]	[kgf]	[kgf.cm]	[kgf]	[kgf.cm]
$F_{x2} = 0$	$M_{x2} = 49021$	$F_{x3} = 634,1$	$M_{x3} = -76437$	$F_{x4} = -595,1$	$M_{x4} = 27416$
$F_{y2} = 4558,8$	$M_{y2} = 0$	$F_{y3} = 2366,5$	$M_{y3} = 20480$	$F_{y4} = 1444,5$	$M_{y4} = 3442$
$F_{z2} = -1307,2$	$M_{z2} = 0$	$F_{z3} = -891,4$	$M_{z3} = 0$	$F_{z4} = 3295,4$	$M_{z4} = 3442$

CARREGAMENTO 13: FREQUÊNCIA DE ATUAÇÃO = 0,0357

ESFORÇOS NO NÓ 2		ESFORÇOS NO NÓ 3		ESFORÇOS NO NÓ 4	
[kgf]	[kgf.cm]	[kgf]	[kgf.cm]	[kgf]	[kgf.cm]
$F_{x2} = 0$	$M_{x2} = 49575$	$F_{x3} = 646,3$	$M_{x3} = -77913$	$F_{x4} = -615,1$	$M_{x4} = 28338$
$F_{y2} = 4610,2$	$M_{y2} = 0$	$F_{y3} = 2412,2$	$M_{y3} = 20876$	$F_{y4} = 1493,1$	$M_{y4} = 3556$
$F_{z2} = -1322,0$	$M_{z2} = 0$	$F_{z3} = -908,6$	$M_{z3} = 0$	$F_{z4} = 3406,2$	$M_{z4} = 3556$

CARREGAMENTO 14: FREQUÊNCIA DE ATUAÇÃO = 0,0714

ESFORÇOS NO NÓ 2		ESFORÇOS NO NÓ 3		ESFORÇOS NO NÓ 4	
[kgf]	[kgf.cm]	[kgf]	[kgf.cm]	[kgf]	[kgf.cm]
$F_{x2} = 0$	$M_{x2} = 50114$	$F_{x3} = 658,8$	$M_{x3} = -79412$	$F_{x4} = -635,9$	$M_{x4} = 29298$
$F_{y2} = 4660,4$	$M_{y2} = 0$	$F_{y3} = 2458,7$	$M_{y3} = 21277$	$F_{y4} = 1543,7$	$M_{y4} = 3678$
$F_{z2} = -1336,3$	$M_{z2} = 0$	$F_{z3} = -926,1$	$M_{z3} = 0$	$F_{z4} = 3521,6$	$M_{z4} = 3678$

CARREGAMENTO 15: FREQUÊNCIA DE ATUAÇÃO = 0,0357

ESFORÇOS NO NÓ 2		ESFORÇOS NO NÓ 3		ESFORÇOS NO NÓ 4	
[kgf]	[kgf.cm]	[kgf]	[kgf.cm]	[kgf]	[kgf.cm]
$F_{x2} = 0$	$M_{x2} = 52815$	$F_{x3} = 732,3$	$M_{x3} = -88271$	$F_{x4} = -769,6$	$M_{x4} = 35456$
$F_{y2} = 4911,6$	$M_{y2} = 0$	$F_{y3} = 2732,9$	$M_{y3} = 23651$	$F_{y4} = 1868,1$	$M_{y4} = 4451$
$F_{z2} = -1408,3$	$M_{z2} = 0$	$F_{z3} = -1029,4$	$M_{z3} = 0$	$F_{z4} = 4261,8$	$M_{z4} = 4451$

CARREGAMENTO 16: FREQUÊNCIA DE ATUAÇÃO = 0,0714

ESFORÇOS NO NÓ 2		ESFORÇOS NO NÓ 3		ESFORÇOS NO NÓ 4	
[kgf]	[kgf.cm]	[kgf]	[kgf.cm]	[kgf]	[kgf.cm]
$F_{x2} = 0$	$M_{x2} = 53452$	$F_{x3} = 753,9$	$M_{x3} = -90877$	$F_{x4} = -812,3$	$M_{x4} = 37425$
$F_{y2} = 4970,8$	$M_{y2} = 0$	$F_{y3} = 2813,6$	$M_{y3} = 24349$	$F_{y4} = 1971,8$	$M_{y4} = 4699$
$F_{z2} = -1425,4$	$M_{z2} = 0$	$F_{z3} = -1059,8$	$M_{z3} = 0$	$F_{z4} = 4498,5$	$M_{z4} = 4699$

Tendo-se determinado os esforços atuantes em cada nó, para cada CARREGAMENTO, procedeu-se a aplicação do STRESS, a fim de se calcular as REAÇÕES dos apoios.

Na sequência, apresentam-se o PROGRAMA e os RESULTADOS por ele calculados.

STRUCTURE EIXO INTERMEDIARIO ( REACOES )

TYPE SPACE FRAME

NUMBER OF JCINTS 5

NUMBER OF SUPPORTS 2

NUMBER OF MEMBERS 4

NUMBER OF LOADINGS 16

JOINT COORDINATES

1 0. 0. 0. S

2 15.20 0. 0.

3 34.45 0. 0.

4 69.20 0. 0.

5 80.25 0. 0. S

JOINT RELEASES

1 MOMENT X Y Z

5 FORCE X MOMENT X Y Z

MEMBER INCIDENCE

1 1 2

2 2 3

3 3 4

4 4 5

MEMBER PROPERTIES PRISMATIC AX 1. IZ 1. IY 1. IX 1.

1 THRU 4

LOADING 1 CARREGAMENTO 1 (FREQUENCIA= 0,0357)

TABULATE REACTIONS

JOINT LOADS

2 FORCE X 0. Y 2701.1 Z -774.5 MOMENT X 29046. Y 0. Z 0.

3 FORCE X 342.7 Y 1279. Z -481.8 MOMENT X -41310. Y 11068. Z 0.

4 FORCE X -266.2 Y 646.2 Z 1474.2 MOMENT X 12264. Y 1540. Z 1540.

LOADING 2 CARREGAMENTO 2 (FREQUENCIA= 0,0357)

TABULATE REACTIONS

JOINT LOADS

2 FORCE X 0. Y 2963.6 Z -849.8 MOMENT X 31868. Y 0. Z 0.

3 FORCE X 374.6 Y 1398.1 Z -526.6 MOMENT X -45156. Y 12099. Z 0.

4 FORCE X -288.4 Y 700.1 Z 1597.1 MOMENT X 13288. Y 1668. Z 1668.

LOADING 3 CARREGAMENTO 3 (FREQUENCIA= 0,0357)

TABULATE REACTIONS

JOINT LOADS

2 FORCE X 0. Y 3098.4 Z -888.5 MOMENT X 33318. Y 0. Z 0.

3 FORCE X 391.7 Y 1462. Z -550.7 MOMENT X -47220. Y 12652. Z 0.

4 FORCE X -301.8 Y 732.5 Z 1671. MOMENT X 13902. Y 1745. Z 1745.

LOADING 4 CARREGAMENTO 4 (FREQUENCIA= 0,0357)

TABULATE REACTIONS

JOINT LOADS

2 FORCE X 0. Y 3193.7 Z -915.8 MOMENT X 34343. Y 0. Z 0.

3 FORCE X 404.2 Y 1508.4 Z -568.2 MOMENT X -48719. Y 13054. Z 0.

4 FORCE X -312. Y 757.4 Z 1728. MOMENT X 14376. Y 1805. Z 1805.

LOADING 5 CARREGAMENTO 5 (FREQUENCIA= 0,0714)

TABULATE REACTIONS

JOINT LOADS

2 FORCE X 0. Y 3298.8 Z -945.9 MOMENT X 35473. Y 0. Z 0.

3 FORCE X 418.2 Y 1560.9 Z -587.9 MOMENT X -50414. Y 13508. Z 0.

4 FORCE X -324.3 Y 787.2 Z 1795.8 MOMENT X 14941. Y 1876. Z 1876.

LOADING 6 CARREGAMENTO 6 (FREQUENCIA= 0,0714)

TABULATE REACTIONS

JCINT LOADS

2 FORCE X 0. Y 3410.2 Z -977.8 MOMENT X 36671. Y 0. Z 0.

3 FORCE X 433.5 Y 1618.1 Z -609.5 MOMENT X -52262. Y 14003. Z 0.

4 FORCE X -338.4 Y 821.4 Z 1874. MOMENT X 15591. Y 1957. Z 1957.

LOADING 7 CARREGAMENTO 7 (FREQUENCIA= 0,1785)

TABULATE REACTIONS

JOINT LOADS

2 FORCE X 0. Y 3562.9 Z -1021.7 MOMENT X 38313. Y 0. Z 0.  
3 FORCE X 455.3 Y 1699.4 Z -640.1 MOMENT X -54890. Y 14707. Z 0.  
4 FORCE X -359.8 Y 873.4 Z 1992.5 MOMENT X 16577. Y 2081. Z 2081.  
LOADING 8 CARREGAMENTO 8 (FREQUENCIA= 0,0357)

TABULATE REACTIONS

JOINT LOADS

2 FORCE X 0. Y 3712.3 Z -1064.5 MOMENT X 39919. Y 0. Z 0.  
3 FORCE X 477.7 Y 1782.8 Z -671.5 MOMENT X -57583. Y 15429. Z 0.  
4 FORCE X -383.4 Y 930.7 Z 2123.2 MOMENT X 17664. Y 2218. Z 2218.  
LOADING 9 CARREGAMENTO 9 (FREQUENCIA= 0,0714)

TABULATE REACTIONS

JOINT LOADS

2 FORCE X 0. Y 3929.7 Z -1126.8 MOMENT X 42256. Y 0. Z 0.  
3 FORCE X 512.3 Y 1911.9 Z -720.2 MOMENT X -61754. Y 16546. Z 0.  
4 FORCE X -423.2 Y 1027.3 Z 2343.6 MOMENT X 19498. Y 2448. Z 2448.  
LOADING 10 CARREGAMENTO 10 (FREQUENCIA= 0,0357)

TABULATE REACTIONS

JOINT LOADS

2 FORCE X 0. Y 4346.3 Z -1246.3 MOMENT X 46737. Y 0. Z 0.  
3 FORCE X 588.1 Y 2195.1 Z -826.8 MOMENT X -70899. Y 18997. Z 0.  
4 FORCE X -524.5 Y 1273.1 Z 2904.2 MOMENT X 24162. Y 3034. Z 3034.  
LOADING 11 CARREGAMENTO 11 (FREQUENCIA= 0,1428)

TABULATE REACTIONS

JOINT LOADS

2 FORCE X 0. Y 4406. Z -1263.3 MOMENT X 47378. Y 0. Z 0.  
3 FORCE X 600.4 Y 2240.8 Z -844.1 MOMENT X -72376. Y 19392. Z 0.  
4 FORCE X -542.6 Y 1317.1 Z 3004.7 MOMENT X 24998. Y 3138. Z 3138.  
LOADING 12 CARREGAMENTO 12 (FREQUENCIA= 0,0357)

TABULATE REACTIONS

JOINT LOADS

2 FORCE X 0. Y 4558.8 Z -1307.2 MOMENT X 49021. Y 0. Z 0.  
3 FORCE X 634.1 Y 2366.5 Z -891.4 MOMENT X -76437. Y 20480. Z 0.  
4 FORCE X -595.1 Y 1444.5 Z 3295.4 MOMENT X 27416. Y 3442. Z 3442.  
LOADING 13 CARREGAMENTO 13 (FREQUENCIA= 0,0357)

TABULATE REACTIONS

JOINT LOADS

2 FORCE X 0. Y 4610.2 Z -1322. MOMENT X 49575. Y 0. Z 0.  
3 FORCE X 646.3 Y 2412.2 Z -908.6 MOMENT X -77913. Y 20876. Z 0.  
4 FORCE X -615.1 Y 1493.1 Z 3406.2 MOMENT X 28338. Y 3556. Z 3556.  
LOADING 14 CARREGAMENTO 14 (FREQUENCIA= 0,0714)

TABULATE REACTIONS

JOINT LOADS

2 FORCE X 0. Y 4660.4 Z -1336.3 MOMENT X 50114. Y 0. Z 0.  
3 FORCE X 658.8 Y 2458.7 Z -926.1 MOMENT X -79412. Y 21277. Z 0.  
4 FORCE X -635.9 Y 1543.7 Z 3921.6 MOMENT X 29298. Y 3678. Z 3678.  
LOADING 15 CARREGAMENTO 15 (FREQUENCIA= 0,0357)

TABULATE REACTIONS

JOINT LOADS

2 FORCE X 0. Y 4911.6 Z -1408.3 MOMENT X 52815. Y 0. Z 0.  
3 FORCE X 732.3 Y 2732.9 Z -1029.4 MOMENT X -88271. Y 23651. Z 0.  
4 FORCE X -769.6 Y 1868.1 Z 4261.8 MOMENT X 35456. Y 4451. Z 4451.  
LOADING 16 CARREGAMENTO 16 (FREQUENCIA= 0,0714)

TABULATE REACTIONS

JOINT LOADS

2 FORCE X 0. Y 4970.8 Z -1425.4 MOMENT X 53452. Y 0. Z 0.  
3 FORCE X 753.9 Y 2813.6 Z -1059.8 MOMENT X -90877. Y 24349. Z 0.  
4 FORCE X -812.3 Y 1971.8 Z 4498.5 MOMENT X 37425. Y 4699. Z 4699.

SOLVE

PROBLEM CORRECTLY SPECIFIED, EXECUTION TO PROCEED.

STRUCTURE EIXO INTERMEDIARIO ( REACOES )

LOADING 1 CARREGAMENTO 1 (FRECUENCIA= 0,0357)

APPLIED JOINT LOADS, FREE JOINTS

JOINT	FORCE X	FORCE Y	FORCE Z	MOMENT X	MOMENT Y	MOMENT Z
2	-0.000	2701.113	-774.502	29045.99	-0.01	-0.20
3	342.699	1279.002	-481.799	-41310.00	11067.98	-0.14
4	-266.199	646.234	1474.198	12264.00	1540.00	1540.06

REACTIONS,APPLIED LOADS SUPPORT JOINTS

JOINT	FORCE X	FORCE Y	FORCE Z	MOMENT X	MOMENT Y	MOMENT Z
1	-76.500	-2989.246	542.678	0.00	-0.01	-0.17
5	-0.000	-1637.104	-760.575	-0.00	0.00	0.06

STRUCTURE EIXO INTERMEDIARIO ( REACOES )

LOADING 2 CARREGAMENTO 2 (FRECUENCIA= 0,0357)

APPLIED JOINT LOADS, FREE JOINTS

JOINT	FORCE X	FORCE Y	FORCE Z	MOMENT X	MOMENT Y	MOMENT Z
2	-0.000	2963.614	-849.803	31868.00	-0.02	-0.17
3	374.599	1398.101	-526.599	-45156.00	12098.98	-0.17
4	-288.399	700.161	1597.097	13287.99	1668.01	1668.13

REACTIONS,APPLIED LOADS SUPPORT JOINTS

JOINT	FORCE X	FORCE Y	FORCE Z	MOMENT X	MOMENT Y	MOMENT Z
1	-86.200	-3275.827	597.919	-0.00	-0.02	-0.23
5	-0.000	-1786.050	-818.615	0.00	0.01	0.22

STRUCTURE EIXO INTERMEDIARIO ( REACOES )

LOADING 3 CARREGAMENTO 3 (FRECUENCIA= 0,0357)

JOINT	FORCE X	FORCE Y	FORCE Z	MOMENT X	MOMENT Y	MOMENT Z
2	-0.000	3098.419	-888.503	33318.00	-0.04	-0.20
3	391.699	1461.996	-550.700	-47220.00	12651.98	-0.17
4	-301.799	732.545	1670.999	13901.99	1744.99	1745.05

REACTIONS,APPLIED LOADS SUPPORT JOINTS

JOINT	FORCE X	FORCE Y	FORCE Z	MOMENT X	MOMENT Y	MOMENT Z
1	-89.900	-3425.067	625.018	0.00	-0.03	-0.20
5	-0.000	-1867.893	-856.814	0.00	0.00	0.08

STRUCTURE EIXO INTERMEDIARIO ( REACOES )

LOADING 4 CARREGAMENTO 4 (FRECUENCIA= 0,0357)

JOINT	FORCE X	FORCE Y	FORCE Z	MOMENT X	MOMENT Y	MOMENT Z
2	-0.000	3193.729	-915.803	34343.00	-0.02	-0.28
3	404.199	1508.394	-568.199	-48719.00	13053.98	-0.10
4	-311.999	757.430	1727.998	14375.99	1805.00	1804.97

REACTIONS,APPLIED LOADS SUPPORT JOINTS

JOINT	FORCE X	FORCE Y	FORCE Z	MOMENT X	MOMENT Y	MOMENT Z
1	-92.199	-3531.487	643.529	0.00	-0.03	-0.25
5	-0.000	-1928.067	-887.525	0.00	0.00	-0.02

STRUCTURE EIXO INTERMEDIARIO ( REACOES )

LOADING 5 CARREGAMENTO 5 (FREQUENCIA= 0,0714)

=====

APPLIED JOINT LOADS, FREE JOINTS

JOINT	FORCE X	FORCE Y	FORCE Z	MOMENT X	MOMENT Y	MOMENT Z
2	-0.000	3298.824	-945.902	35473.00	-0.03	-0.19
3	418.199	1560.894	-587.900	-50414.00	13507.96	-0.10
4	-324.299	787.259	1795.797	14941.00	1876.00	1876.11

REACTIONS, APPLIED LOADS SUPPORT JOINTS

JOINT	FORCE X	FORCE Y	FORCE Z	MOMENT X	MOMENT Y	MOMENT Z
1	-93.899	-3649.855	663.294	-0.00	-0.03	-0.19
5	-0.000	-1997.123	-925.288	-0.00	0.01	0.19

STRUCTURE EIXO INTERMEDIARIO ( REACOES )

LOADING 6 CARREGAMENTO 6 (FREQUENCIA= 0,0714)

=====

APPLIED JOINT LOADS, FREE JOINTS

JOINT	FORCE X	FORCE Y	FORCE Z	MOMENT X	MOMENT Y	MOMENT Z
2	-0.000	3410.222	-977.803	36671.00	-0.02	-0.24
3	433.500	1618.098	-609.499	-52261.99	14002.97	-0.14
4	-338.399	821.457	1873.998	15591.00	1957.00	1957.12

REACTIONS, APPLIED LOADS SUPPORT JOINTS

JOINT	FORCE X	FORCE Y	FORCE Z	MOMENT X	MOMENT Y	MOMENT Z
1	-95.100	-3776.502	663.534	-0.00	-0.03	-0.26
5	-0.000	-2073.275	-970.229	-0.00	0.01	0.13

STRUCTURE EIXO INTERMEDIARIO ( REACOES )

LOADING 7 CARREGAMENTO 7 (FREQUENCIA= 0,1785)

=====

APPLIED JOINT LOADS, FREE JOINTS

JOINT FORCE X	FORCE Y	FORCE Z	MOMENT X	MOMENT Y	MOMENT Z
2 -0.000	3562.912	-1021.702	38313.00	-0.02	-0.25
3 455.299	1699.407	-640.099	-54890.00	14706.97	-0.23
4 -359.799	873.431	1992.497	16577.00	2081.01	2080.93

REACTIONS,APPLIED LOADS SUPPORT JOINTS

JOINT FORCE X	FORCE Y	FORCE Z	MOMENT X	MOMENT Y	MOMENT Z
1 -95.500	-3952.293	709.947	-0.00	-0.03	-0.30
5 -0.000	-2183.458	-1040.643	0.00	0.01	0.00

STRUCTURE EIXO INTERMEDIARIO ( REACOES )

LOADING 8 CARREGAMENTO 8 (FREQUENCIA= 0,0357)

=====

APPLIED JOINT LOADS, FREE JOINTS

JOINT FORCE X	FORCE Y	FORCE Z	MOMENT X	MOMENT Y	MOMENT Z
2 -0.000	3712.318	-1064.502	39919.00	-0.03	-0.35
3 477.699	1782.803	-671.500	-57583.00	15428.96	-0.18
4 -383.399	930.743	2123.198	17664.00	2218.01	2218.07

REACTIONS,APPLIED LOADS SUPPORT JOINTS

JOINT FORCE X	FORCE Y	FORCE Z	MOMENT X	MOMENT Y	MOMENT Z
1 -94.300	-4127.178	733.861	0.00	-0.03	-0.22
5 -0.000	-2298.667	-1121.056	-0.00	0.00	0.06

STRUCTURE EIXO INTERMEDIARIO ( REACOES )

LOADING 9 CARREGAMENTO 9 (FREQUENCIA= 0,0714)

=====

APPLIED JOINT LOADS, FREE JOINTS

JOINT FORCE X	FORCE Y	FORCE Z	MOMENT X	MOMENT Y	MOMENT Z
2 -0.000	3929.698	-1126.804	42255.99	-0.04	-0.37
3 512.299	1911.911	-720.199	-61753.99	16545.97	-0.40
4 -423.199	1027.345	2343.599	19498.00	2448.00	2447.96

REACTIONS,APPLIED LOADS SUPPORT JOINTS

JOINT FORCE X	FORCE Y	FORCE Z	MOMENT X	MOMENT Y	MOMENT Z
1 -89.100	-4387.509	765.023	0.00	-0.04	-0.23
5 -0.000	-2481.446	-1261.618	0.00	0.00	0.01

STRUCTURE EIXO INTERMEDIARIO ( REACOES )

LOADING 10 CARREGAMENTO 10 (FREQUENCIA= 0,0357)

=====

APPLIED JOINT LOADS, FREE JOINTS

JOINT FORCE X	FORCE Y	FORCE Z	MOMENT X	MOMENT Y	MOMENT Z
2 0.000	4346.303	-1246.302	46736.99	-0.02	-0.35
3 588.099	2195.116	-826.800	-70899.00	18996.97	-0.29
4 -524.499	1273.168	2904.201	24162.00	3034.01	3034.14

REACTIONS,APPLIED LOADS SUPPORT JOINTS

JOINT FORCE X	FORCE Y	FORCE Z	MOMENT X	MOMENT Y	MOMENT Z
1 -63.600	-4913.376	807.689	0.00	-0.02	-0.26
5 -0.000	-2901.211	-1638.788	0.00	0.00	0.18

STRUCTURE EIXO INTERMEDIARIO ( REACOES )

LOADING 11 CARREGAMENTO 11 (FREQUENCIA= 0,1428)

=====

APPLIED JOINT LOADS, FREE JOINTS

JOINT	FORCE X	FORCE Y	FORCE Z	MOMENT X	MOMENT Y	MOMENT Z
2	-0.000	4406.033	-1263.300	47378.00	-0.04	-0.31
3	600.399	2240.795	-844.101	-72376.00	19391.96	-0.25
4	-542.599	1317.179	3004.701	24997.99	3138.00	3138.12

REACTIONS, APPLIED LOADS SUPPORT JOINTS

JOINT	FORCE X	FORCE Y	FORCE Z	MOMENT X	MOMENT Y	MOMENT Z
1	-57.800	-4992.625	811.286	0.00	-0.02	-0.32
5	-0.000	-2971.382	-1708.585	0.00	-0.00	0.22

STRUCTURE EIXO INTERMEDIARIO ( REACOES )

LOADING 12 CARREGAMENTO 12 (FREQUENCIA= 0,0357)

=====

APPLIED JOINT LOADS, FREE JOINTS

JOINT	FORCE X	FORCE Y	FORCE Z	MOMENT X	MOMENT Y	MOMENT Z
2	-0.000	4558.851	-1307.203	49020.99	-0.02	-0.28
3	634.099	2366.483	-891.398	-76437.00	20479.98	-0.14
4	-595.099	1444.614	3295.406	27416.00	3441.98	3442.31

REACTIONS, APPLIED LOADS SUPPORT JOINTS

JOINT	FORCE X	FORCE Y	FORCE Z	MOMENT X	MOMENT Y	MOMENT Z
1	-39.000	-5201.985	816.492	0.00	-0.02	-0.39
5	-0.000	-3167.965	-1913.296	0.00	-0.01	0.41

STRUCTURE EIXO INTERMEDIARIO ( REACOES )

LOADING 13 CARREGAMENTO 13 (FREQUENCIA= 0,0357)

APPLIED JOINT LOADS, FREE JOINTS

JOINT	FORCE X	FORCE Y	FORCE Z	MOMENT X	MOMENT Y	MOMENT Z
2	-0.000	4610.208	-1322.003	49575.00	-0.02	-0.26
3	646.299	2412.204	-908.599	-77913.00	20875.97	-0.21
4	-615.099	1493.167	3406.204	28338.00	3556.00	3555.95

REACTIONS, APPLIED LOADS SUPPORT JOINTS

JOINT	FORCE X	FORCE Y	FORCE Z	MOMENT X	MOMENT Y	MOMENT Z
1	-31.200	-5274.979	816.694	0.00	-0.03	-0.25
5	0.000	-3240.601	-1992.296	0.00	-0.00	0.21

STRUCTURE EIXO INTERMEDIARIO ( REACOES )

LOADING 14 CARREGAMENTO 14 (FREQUENCIA= 0,0714)

---

APPLIED JOINT LOADS, FREE JOINTS

JOINT	FORCE X	FORCE Y	FORCE Z	MOMENT X	MOMENT Y	MOMENT Z
2	-0.000	4660.398	-1336.302	50114.00	-0.02	-0.35
3	658.799	2458.717	-926.099	-79412.00	21276.97	-0.32
4	-635.899	1543.781	3521.604	29298.00	3678.01	3678.22

REACTIONS, APPLIED LOADS SUPPORT JOINTS

JOINT	FORCE X	FORCE Y	FORCE Z	MOMENT X	MOMENT Y	MOMENT Z
1	-22.900	-5347.656	815.865	-0.00	-0.02	-0.25
5	-0.000	-3315.241	-2075.068	0.00	-0.02	0.22

STRUCTURE EIXO INTERMEDIARIO ( REACOES )

LOADING 15 CARREGAMENTO 15 (FREQUENCIA= 0,0357)

---

APPLIED JOINT LOADS, FREE JOINTS

JOINT FORCE X	FORCE Y	FORCE Z	MOMENT X	MOMENT Y	MOMENT Z
2 0.000	4911.654	-1408.301	52815.00	-0.02	-0.31
3 732.299	2732.883	-1029.399	-88271.00	23650.97	-0.12
4 -769.599	1868.182	4261.809	35456.00	4451.02	4450.96

REACTIONS, APPLIED LOADS SUPPORT JOINTS

JOINT FORCE X	FORCE Y	FORCE Z	MOMENT X	MOMENT Y	MOMENT Z
1 37.299	-5742.831	792.045	0.00	-0.01	-0.35
5 -0.000	-3769.890	-2616.153	0.00	-0.04	0.27

STRUCTURE EIXO INTERMEDIARIO ( REACOES )

LOADING 16 CARREGAMENTO 16 (FREQUENCIA= 0,0714)

APPLIED JOINT LOADS, FREE JOINTS

JOINT FORCE X	FORCE Y	FORCE Z	MOMENT X	MOMENT Y	MOMENT Z
2 0.000	4970.850	-1425.402	53452.00	-0.01	-0.37
3 753.899	2813.583	-1059.799	-90877.00	24348.98	-0.21
4 -812.299	1971.882	4498.508	37425.00	4698.98	4698.91

REACTIONS, APPLIED LOADS SUPPORT JOINTS

JOINT FORCE X	FORCE Y	FORCE Z	MOMENT X	MOMENT Y	MOMENT Z
1 58.399	-5848.063	778.375	0.00	-0.01	-0.42
5 -0.000	-3908.252	-2792.183	0.00	-0.00	0.20

A partir dos *RESULTADOS CALCULADOS PELO PROGRAMA*, construiu-se a TABELA VI.6 que fornece as *REAÇÕES* nos mancais A e B, para cada *CARREGAMENTO*, nas respectivas frequências de atuação.

TABELA VI.6 - VALORES DAS REAÇÕES NOS MANCAIS A e B, PARA CADA CARREGAMENTO E AS FREQUÊNCIAS DE ATUAÇÃO, CORRESPONDENTES

CARREGAMENTO (i)	REAÇÕES NO MANCAL A EM [kgf]			REAÇÕES NO MANCAL B EM [kgf]			FREQUÊNCIA DE ATUAÇÃO (f <sub>i</sub> )
	A <sub>X</sub>	A <sub>Y</sub>	A <sub>Z</sub>	B <sub>X</sub>	B <sub>Y</sub>	B <sub>Z</sub>	
1	-76,500	-2989,246	542,678	0,000	-1637,104	-760,575	0,0357
2	-86,200	-3275,827	597,919	0,000	-1786,050	-818,615	0,0357
3	-89,900	-3425,067	625,018	0,000	-1867,893	-856,814	0,0357
4	-92,199	-3531,487	643,529	0,000	-1928,067	-887,525	0,0357
5	-93,899	-3649,855	663,294	0,000	-1997,123	-925,288	0,0714
6	-95,100	-3776,502	683,534	0,000	-2073,275	-970,229	0,0714
7	-95,500	-3952,293	709,947	0,000	-2183,458	-1040,643	0,1785
8	-94,300	-4127,178	733,861	0,000	-2298,687	-1121,056	0,0357
9	-89,100	-4387,509	765,023	0,000	-2481,446	-1261,618	0,0714
10	-63,600	-4913,376	807,689	0,000	-2901,211	-1638,788	0,0357
11	-57,800	-4992,625	811,286	0,000	-2971,382	-1708,585	0,1428
12	-39,000	-5201,985	816,492	0,000	-3167,965	-1913,296	0,0357
13	-31,200	-5274,979	816,694	0,000	-3240,601	-1992,296	0,0357
14	-22,900	-5347,656	815,865	0,000	-3315,241	-2075,068	0,0714
15	37,299	-5742,831	792,045	0,000	-3769,890	-2616,153	0,0357
16	58,399	-5848,063	778,875	0,000	-3908,252	-2792,183	0,0714

As forças axiais e radiais nos mancais A e B serão dadas por:

$$\text{FORÇA AXIAL NO MANCAL A} = F_{Aa} = A_x$$

$$\text{FORÇA RADIAL NO MANCAL A} = F_{Ar} = \sqrt{A_y^2 + A_z^2}$$

$$\text{FORÇA AXIAL NO MANCAL B} = F_{Ba} = B_x$$

$$\text{FORÇA RADIAL NO MANCAL B} = F_{Br} = \sqrt{B_y^2 + B_z^2}$$

A TABELA VI.7 apresenta as forças axiais e radiais nos mancais, para cada carregamento, e as frequências de atuação.

TABELA VI.7 - FORÇAS AXIAIS E RADIAIS ATUANTES EM CADA MANCAL, PARA CADA CARREGAMENTO E SUAS RESPECTIVAS FREQUÊNCIAS DE ATUAÇÃO

CARREGAMENTO (i)	FORÇAS NO MANCAL A EM [kgf]		FORÇAS NO MANCAL B EM [kgf]		FREQUÊNCIA DE ATUAÇÃO (f <sub>i</sub> )
	(F <sub>Aa</sub> ) <sub>i</sub>	(F <sub>Ar</sub> ) <sub>i</sub>	(F <sub>Ba</sub> ) <sub>i</sub>	F <sub>Br</sub> ) <sub>i</sub>	
1	76,500	3038,106	0,000	1895,155	0,0357
2	86,200	3329,947	0,000	1964,715	0,0357
3	89,900	3481,628	0,000	2055,032	0,0357
4	92,199	3589,642	0,000	2122,532	0,0357
5	93,899	3709,636	0,000	2201,058	0,0714
6	95,100	3837,862	0,000	2289,064	0,0714
7	95,500	4015,550	0,000	2418,766	0,1785
8	94.300	4191,915	0,000	2557,485	0,0357
9	89,100	4453,706	0,000	2783,748	0,0714
10	63,600	4979,320	0,000	3332,064	0,0357
11	57,800	5058,111	0,000	3427,590	0,1428
12	39,000	5265,673	0,000	3700,906	0,0357
13	31,200	5337,827	0,000	3804,042	0,0357
14	22,900	5409,534	0,000	3911,103	0,0714
15	37,299	5797,193	0,000	4588,717	0,0357
16	58,399	5899,702	0,000	4803,199	0,0714

A CARGA DINÂMICA EQUIVALENTE de um ROLAMENTO é dada pela expressão [24, 25, 26, 27]

$$P = X \cdot F_r + Y \cdot F_a \quad (6.4.1)$$

onde,

$F_r$  = CARGA RADIAL

$F_a$  = CARGA AXIAL

X = FATOR RADIAL DO ROLAMENTO

Y = FATOR AXIAL DO ROLAMENTO

#### 6.4.1. DETERMINAÇÃO DA VIDA DO ROLAMENTO A

Segundo informação fornecida pelo fabricante, o ROLAMENTO A é auto-compensador de rolos tipo 23218 e de dimensões:

DIÂMETRO INTERNO =  $d = 90$  mm

DIÂMETRO EXTERNO =  $D = 180$  mm

LARGURA =  $B = 52,4$  mm

Tendo-se verificado que para todos os casos de carregamento (TABELA VI.7) a relação

$$\frac{(F_{Aa})_i}{(F_{Ar})_i} < e = 0,34$$

onde  $e$  é a CARACTERÍSTICA DE CARGA DO ROLAMENTO (fornecida pelo catálogo da SKF), os fatores X e Y da equação (6.4.1) assumem os valores 1 e 2, respectivamente. Portanto, a CARGA DINÂMICA EQUIVALENTE para cada carregamento será dada por:

$$P_i = 1 \cdot (F_{Ar})_i + 2 \cdot (F_{Aa})_i$$

A TABELA VI.8 fornece a CARGA DINÂMICA EQUIVALENTE e sua frequência de atuação para cada carregamento.

TABELA VI.8 - CARGA DINÂMICA EQUIVALENTE E SUA FREQUÊNCIA DE ATUAÇÃO PARA CADA CARREGAMENTO

CARREGAMENTO (i)	$P_i$ [kgf]	FREQUÊNCIA DE ATUAÇÃO ( $f_i$ )
1	3191,106	0,0357
2	3502,347	0,0357
3	3661,428	0,0357
4	3774,040	0,0357
5	3897,434	0,0714
6	4028,062	0,0714
7	4206,550	0,1785
8	4380,515	0,0357
9	4631,906	0,0714
10	5106,520	0,0357
11	5173,711	0,1428
12	5343,673	0,0357
13	5400,227	0,0357
14	5455,334	0,0714
15	5871,791	0,0357
16	6016,500	0,0714

Uma vez que se trata de solicitações variáveis, a CARGA MÉDIA constante, que exerce na vida do rolamento a mesma influência que a carga variável, é obtida pela expressão [24, 25, 26, 27] :

$$P_m = \sqrt[3,3]{\sum (P_i)^{3,3} f_i}$$

Assim,

$$P_m = 4790 \text{ kgf}$$

Sendo a transmissão por engrenagens, esta carga deverá ser afetada por um fator que depende dos erros de passo e perfil do dente. Para o caso em questão, este fator ( $f_K$ ) será 1,1 [26]. Logo, o valor da carga corrigida é:

$$P_{MC} = f_K \cdot P_m = 5269 \text{ kgf}$$

A CAPACIDADE DE CARGA DINÂMICA do rolamento 23218, segundo o catálogo SKF, é:

$$C = 27500 \text{ kgf}$$

A vida ( $L$ ) do rolamento em milhões de rotações é dada pela expressão:

$$L = \left( \frac{C}{P_{MC}} \right)^{3,3} \quad (6.4.2)$$

Portanto,

$$L = \left( \frac{27500}{5269} \right)^{3,3} = 233,4$$

A vida correspondente em horas será:

$$L_h = \frac{L \cdot 10^6}{60 \cdot n_{III}} \quad (6.4.3)$$

onde,

$L$  = VIDA EM MILHÕES DE ROTAÇÕES

$n_{III}$  = ROTAÇÃO DO EIXO INTERMEDIÁRIO (EIXO III)

Assim,

$$L_h = \frac{233,4 \cdot 10^6}{60 \cdot 71,34} = 54527 \text{ horas}$$

#### 6.4.2. DETERMINAÇÃO DA VIDA DO ROLAMENTO B

Segundo informação fornecida pelo fabricante, o ROLAMENTO B é auto-compensador de rolos tipo 22216 e de dimensões:

DIÂMETRO INTERNO =  $d = 80 \text{ mm}$

DIÂMETRO EXTERNO =  $D = 140 \text{ mm}$

LARGURA =  $B = 33 \text{ mm}$

Tendo-se verificado que para todos os casos de carregamento (TABELA VI.7) a relação

$$\frac{(F_{Ba})_i}{(F_{Br})_i} < e = 0,34$$

onde  $e$  é a CARACTERÍSTICA DE CARGA DO ROLAMENTO (fornecida pelo catálogo da SKF), os fatores X e Y da equação (6.4.1) assumem os valores 1 e 2, respectivamente. Portanto, a CARGA DINÂMICA EQUI-VALENTE para cada carregamento será dada por:

$$P_i = 1 \cdot (F_{Br})_i + 2 \cdot (F_{Ba})_i$$

Não havendo carga axial (TABELA VI.7), tem-se que:

$$P_i = (F_{Br})_i$$

Uma vez que se trata de solicitações variáveis, a CARGA MÉDIA constante, que exerce na vida do rolamento a mesma influência que a carga variável, é obtida pela expressão:

$$P_m = \sqrt[3,3]{\sum (P_i)^{3,3} f_i}$$

ou ainda,

$$P_m = \sqrt[3,3]{\sum (F_{Br})_i^{3,3} f_i}$$

Portanto,

$$P_m = 3272 \text{ kgf}$$

Sendo a transmissão por engrenagens, esta carga deverá ser afetada por um fator que depende dos erros de passo e perfil do dente. Para o caso em questão, este fator ( $f_k$ ) será 1,1 [26].

Logo, o valor da carga corrigida é:

$$P_{mc} = f_k \cdot P_m = 3599 \text{ kgf}$$

A CAPACIDADE DE CARGA DINÂMICA do rolamento 22216, segundo o catálogo SKF, é:

$$C = 15600 \text{ kgf}$$

A vida ( $L$ ) do rolamento em milhões de rotações é dada pela equação (6.4.2). Assim,

$$L = 126,45$$

A vida correspondente em horas ( $L_h$ ), dada pela equação (6.4.3), será

$$L_h = 29541 \text{ horas}$$

#### 6.4.3. VERIFICAÇÃO DOS ROLAMENTOS A E B

De acordo com os cálculos realizados, anteriormente, as vidas (em horas) para os rolamentos  $A$  e  $B$  são 54527 e 29541, respectivamente. Segundo o catálogo SKF, a vida de um rolamento de máquinas para 8 horas de serviço diário, utilizadas inteiramente é de 20000 a 30000 horas. Verifica-se, portanto, que embora o rolamento  $B$  satisfaça as exigências requeridas, o rolamento  $A$  está superdimensionado.

Empregando-se para o *MANCAL A*, ao invés de um rolamento 23218, o rolamento 22218 com as seguintes dimensões e características:

DIÂMETRO INTERNO =  $d = 90$  mm

DIÂMETRO EXTERNO =  $D = 160$  mm

LARGURA =  $B = 40$  mm

CAPACIDADE DE CARGA DINÂMICA =  $C = 21600$  kgf

a sua vida ( $L$ ) em milhões de rotações, dada pela equação (6.4.2), será:

$$L = 105,19$$

A vida correspondente em horas ( $L_h$ ), de acordo com a equação (6.4.3), será:

$$L_h = 24576 \text{ horas}$$

satisfazendo, portanto, as exigências requeridas. Deve-se adotar, então, para o *MANCAL A* o rolamento *SKF 22218*.

#### 6.5. EIXO INTERMEDIÁRIO (EIXO III)

Para a verificação do *EIXO* quanto ao dimensionamento, baseou-se nas dimensões fornecidas pelo fabricante da máquina e no *MÉTODO* apresentado na referência [28].

Os *DIAGRAMAS DOS ESFORÇOS SOLICITANTES*, para cada *CARREGAMENTO*, foram obtidos através do *PROGRAMA COMPUTACIONAL STRESS*, apresentado no item 6.4, que forneceu os esforços solicitantes nos nós de cada *elemento* e para cada *CARREGAMENTO*.

Na sequência, apresentam-se os *RESULTADOS CALCULADOS PELO PROGRAMA* e os *DIAGRAMAS DOS ESFORÇOS SOLICITANTES* do eixo nos diversos carregamentos.

STRUCTURE EIXO INTERMEDIARIO

MEMBER FORCES FOR MEMBER 1

LOAD	JOINT	AXIAL FORCE	SHEAR FORCE Y	SHEAR FORCE Z	TORSION MOMENT	MOMENT Y	MOMENT Z
1	1	-76.500	-2989.246	542.678	0.00	-0.01	-0.17
1	2	76.500	2989.246	-542.678	-0.00	-8248.69	-45436.35
2	1	-86.200	-3275.827	597.919	-0.00	-0.02	-0.23
2	2	86.200	3275.827	-597.919	0.00	-9088.35	-49792.33
3	1	-89.900	-3425.067	625.018	0.00	-0.03	-0.20
3	2	89.900	3425.067	-625.018	-0.00	-9500.25	-52060.81
4	1	-92.199	-3531.487	643.529	0.00	-0.03	-0.25
4	2	92.199	3531.487	-643.529	-0.00	-9781.61	-53678.34
5	1	-93.899	-3649.855	663.294	-0.00	-0.03	-0.19
5	2	93.899	3649.855	-663.294	0.00	-10082.02	-55477.59
6	1	-95.100	-3776.502	683.534	-0.00	-0.03	-0.26
6	2	95.100	3776.502	-683.534	0.00	-10389.67	-57402.56
7	1	-95.500	-3952.293	709.947	-0.00	-0.03	-0.30
7	2	95.500	3952.293	-709.947	0.00	-10791.16	-60074.53
8	1	-94.300	-4127.178	733.861	0.00	-0.03	-0.22
8	2	94.300	4127.178	-733.861	-0.00	-11154.65	-62732.86
9	1	-89.100	-4387.509	765.023	0.00	-0.04	-0.23
9	2	89.100	4387.509	-765.023	-0.00	-11628.30	-66689.89
10	1	-63.600	-4913.376	807.689	0.00	-0.02	-0.26
10	2	63.600	4913.376	-807.689	-0.00	-12276.84	-74683.04
11	1	-57.800	-4992.625	811.286	0.00	-0.02	-0.32
11	2	57.800	4992.625	-811.286	-0.00	-12331.52	-75887.56
12	1	-39.000	-5201.985	816.492	0.00	-0.02	-0.39
12	2	39.000	5201.985	-816.492	-0.00	-12410.66	-79069.76
13	1	-31.200	-5274.979	816.694	0.00	-0.03	-0.25
13	2	31.200	5274.979	-816.694	-0.00	-12413.72	-80179.42
14	1	-22.900	-5347.656	815.865	-0.00	-0.02	-0.25
14	2	22.900	5347.656	-815.865	0.00	-12401.13	-81284.10
15	1	37.299	-5742.631	792.045	0.00	-0.01	-0.35
15	2	-37.299	5742.631	-792.045	-0.00	-12039.07	-87290.64
16	1	58.399	-5848.063	778.875	0.00	-0.01	-0.42
16	2	-58.399	5848.063	-778.875	-0.00	-11838.89	-88690.12

MEMBER FORCES FOR MEMBER 2

LOAD	JOINT	AXIAL FORCE	SHEAR FORCE Y	SHEAR FORCE Z	TORSION MOMENT	MOMENT Y	MOMENT Z
1	2	-76.500	-288.133	-231.824	29046.00	8248.67	45436.15
1	3	76.500	288.133	231.824	-29046.00	-3786.06	-50982.71
2	2	-86.200	-312.213	-251.883	31868.00	9088.33	49792.15
2	3	86.200	312.213	251.883	-31868.00	-4239.58	-55802.26
3	2	-89.900	-326.647	-263.484	33318.00	9500.21	52060.60
3	3	89.900	326.647	263.484	-33318.00	-4428.14	-58348.57
4	2	-92.200	-337.757	-272.274	34346.00	9781.58	53678.06

4	3	92.200	337.757	272.274	-34343.00	-4540.31	-60179.89
5	2	-93.900	-351.030	-282.608	35473.00	10081.99	55477.39
5	3	93.900	351.030	282.608	-35473.00	-4641.78	-62234.74
6	2	-95.100	-366.280	-294.269	36671.00	10389.65	57402.32
6	3	95.100	366.280	294.269	-36671.00	-4724.96	-64453.21
7	2	-95.500	-389.381	-311.755	38313.00	10791.14	60074.28
7	3	95.500	389.381	311.755	-38313.00	-4789.86	-67569.87
8	2	-94.300	-414.859	-330.641	39919.00	11154.61	62732.50
8	3	94.300	414.859	330.641	-39919.00	-4789.77	-70718.56
9	2	-89.100	-457.810	-361.781	42256.00	11628.26	66689.51
9	3	89.100	457.810	361.781	-42256.00	-4663.98	-75502.37
10	2	-63.600	-567.072	-438.612	46737.00	12276.81	74682.68
10	3	63.600	567.072	438.612	-46737.00	-3833.52	-85596.82
11	2	-57.800	-586.592	-452.014	47378.00	12331.47	75887.25
11	3	57.800	586.592	452.014	-47378.00	-3630.20	-87179.15
12	2	-39.000	-643.133	-490.710	49021.00	12410.63	79069.48
12	3	39.000	643.133	490.710	-49021.00	-2964.46	-91449.79
13	2	-31.200	-664.770	-505.308	49575.00	12413.69	80179.15
13	3	31.200	664.770	505.308	-49575.00	-2686.50	-92975.98
14	2	-22.900	-687.257	-520.436	50114.00	12401.10	81283.75
14	3	22.900	687.257	520.436	-50114.00	-2382.70	-94513.45
15	2	37.299	-831.176	-616.256	52815.00	12039.04	87290.32
15	3	-37.299	831.176	616.256	-52815.00	-176.12	-103290.45
16	2	58.399	-877.212	-646.526	53452.00	11838.88	88889.75
16	3	-58.399	877.212	646.526	-53452.00	606.74	-105776.09

MEMBER FORCES FOR MEMBER 3

---

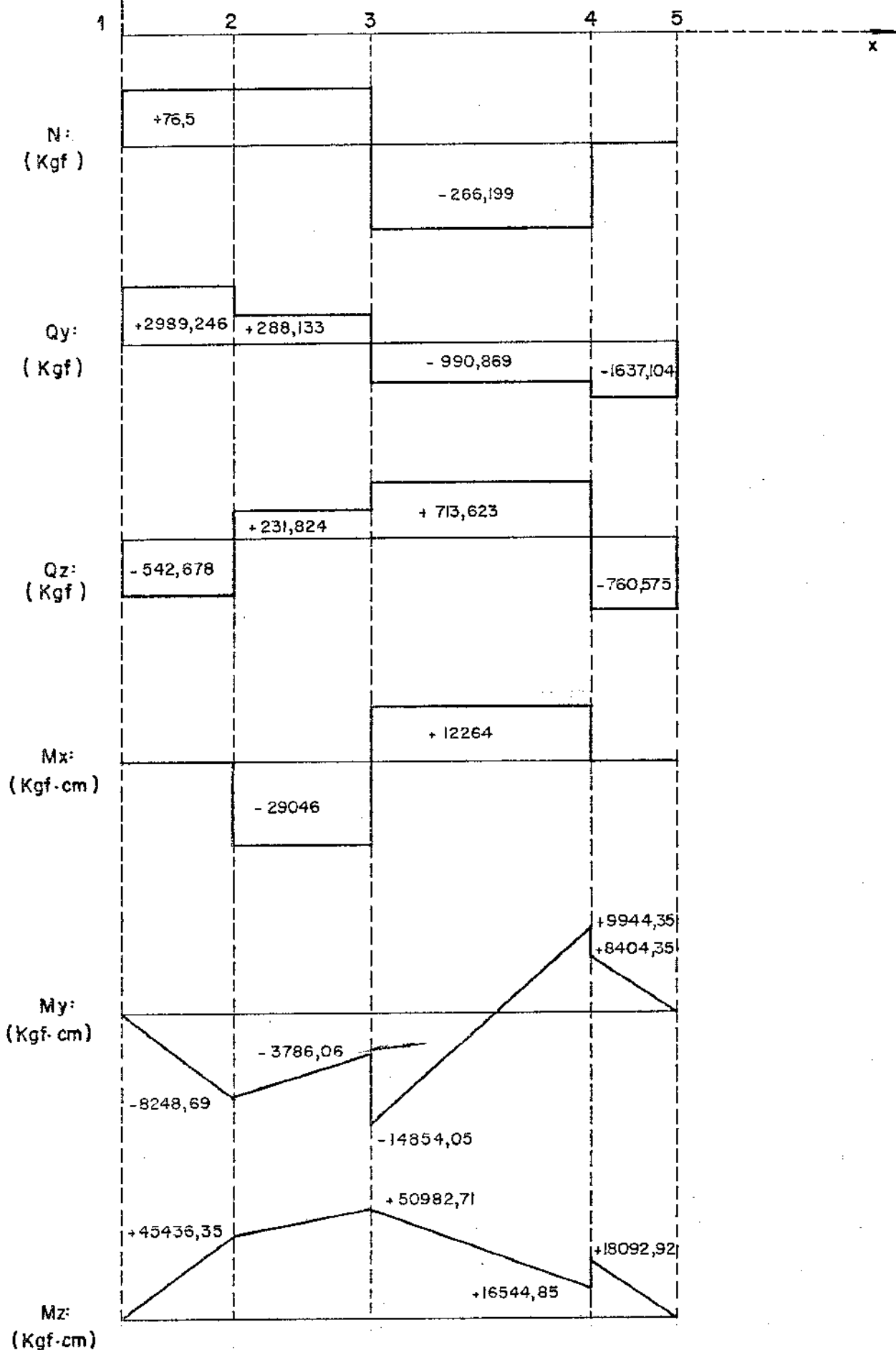
LOAD	JOINT	AXIAL FORCE	SHEAR FORCE Y	SHEAR FORCE Z	TORSION MOMENT	MOMENT Y	MOMENT Z
1	3	266.199	990.869	-713.623	-12264.00	14854.05	50982.57
1	4	-266.199	-990.869	713.623	12264.00	9944.35	-16549.85
2	3	288.399	1085.888	-778.482	-13287.99	16338.56	55802.08
2	4	-288.399	-1085.888	778.482	13287.99	10713.70	-18067.47
3	3	301.799	1135.348	-814.184	-13901.99	17080.12	58348.40
3	4	-301.799	-1135.348	814.184	13901.99	11212.79	-16895.05
4	3	311.999	1170.636	-840.473	-14375.99	17594.30	60179.78
4	4	-311.999	-1170.636	840.473	14375.99	11612.15	-19500.16
5	3	324.299	1209.864	-870.509	-14941.00	18149.75	62234.64
5	4	-324.299	-1209.864	870.509	14941.00	12100.44	-20191.87
6	3	338.399	1251.818	-903.769	-15591.00	18727.94	64453.06
6	4	-338.399	-1251.818	903.769	15591.00	12678.03	-20952.39
7	3	359.799	1310.026	-951.854	-16577.00	19496.83	67569.64
7	4	-359.799	-1310.026	951.854	16577.00	13580.11	-22046.23
8	3	383.399	1367.944	-1002.141	-17664.00	20218.74	70716.37
8	4	-383.399	-1367.944	1002.141	17664.00	14605.67	-23182.32
9	3	423.199	1454.101	-1081.980	-19498.00	21209.96	75501.96
9	4	-423.199	-1454.101	1081.980	19498.00	16388.87	-24971.96
10	3	524.499	1628.043	-1265.413	-24162.00	22830.50	85598.53
10	4	-524.499	-1628.043	1265.413	24162.00	21142.60	-29024.01
11	3	542.599	1654.202	-1296.115	-24997.99	23022.17	87178.90
11	4	-542.599	-1654.202	1296.115	24997.99	22017.85	-29695.37
12	3	595.099	1723.350	-1382.109	-27416.00	23444.44	91449.65
12	4	-595.099	-1723.350	1382.109	27416.00	24583.85	-31563.23
13	3	615.099	1747.434	-1413.908	-28338.00	23562.48	92975.76
13	4	-615.099	-1747.434	1413.908	28338.00	25570.83	-32252.42
14	3	635.899	1771.459	-1446.536	-29298.00	23659.67	94513.12

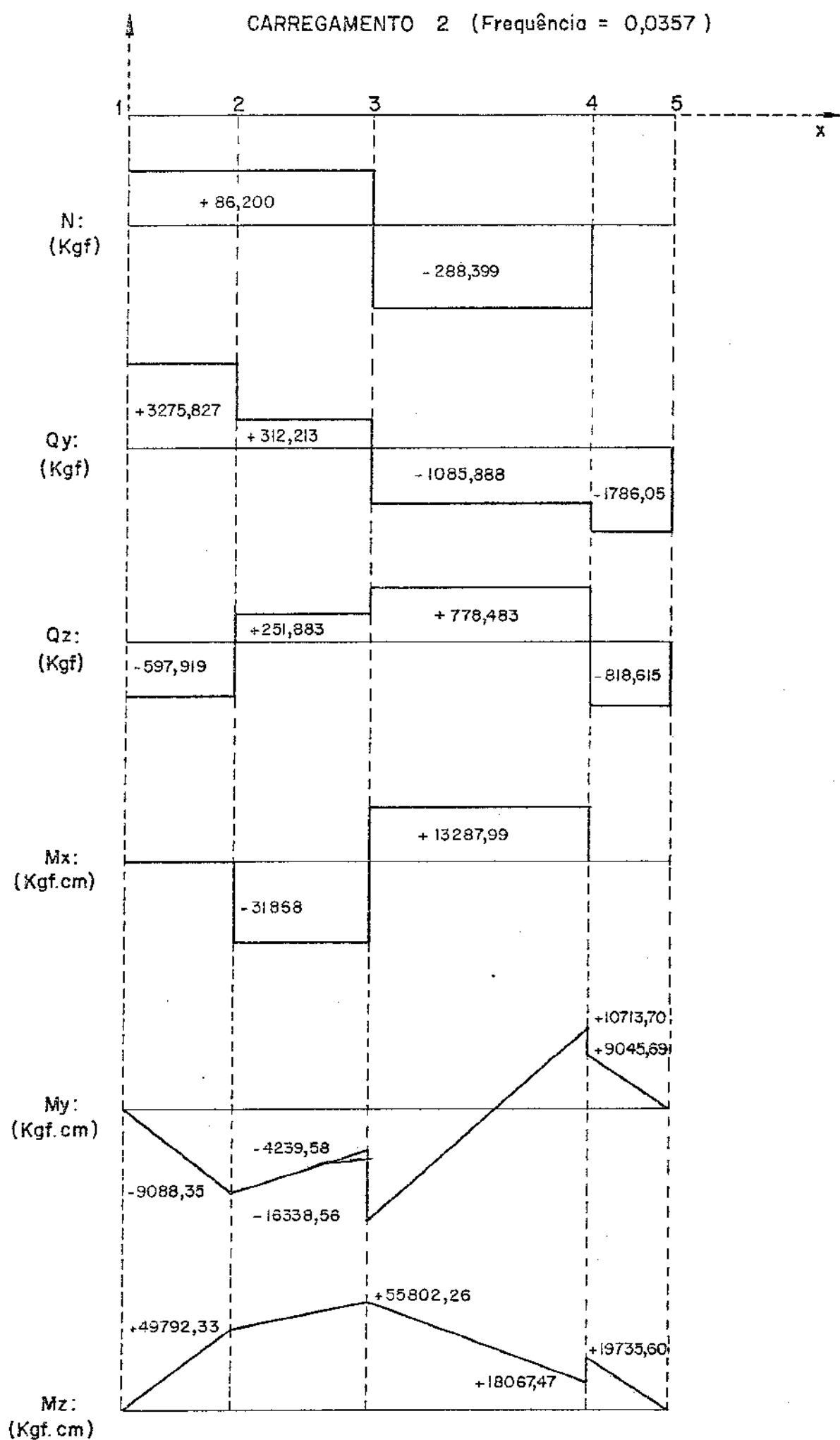
14	4	-635.899	-1771.459	1446.536	29298.00	26607.46	-32954.91
15	3	769.599	1901.707	-1645.656	-35456.00	23827.10	103290.32
15	4	-769.599	-1901.707	1645.656	35456.00	33359.43	-37205.99
16	3	812.299	1936.370	-1706.325	-37425.00	23742.24	105775.87
16	4	-812.299	-1936.370	1706.325	37425.00	35552.56	-38487.01

MEMBER FORCES FOR MEMBER 4

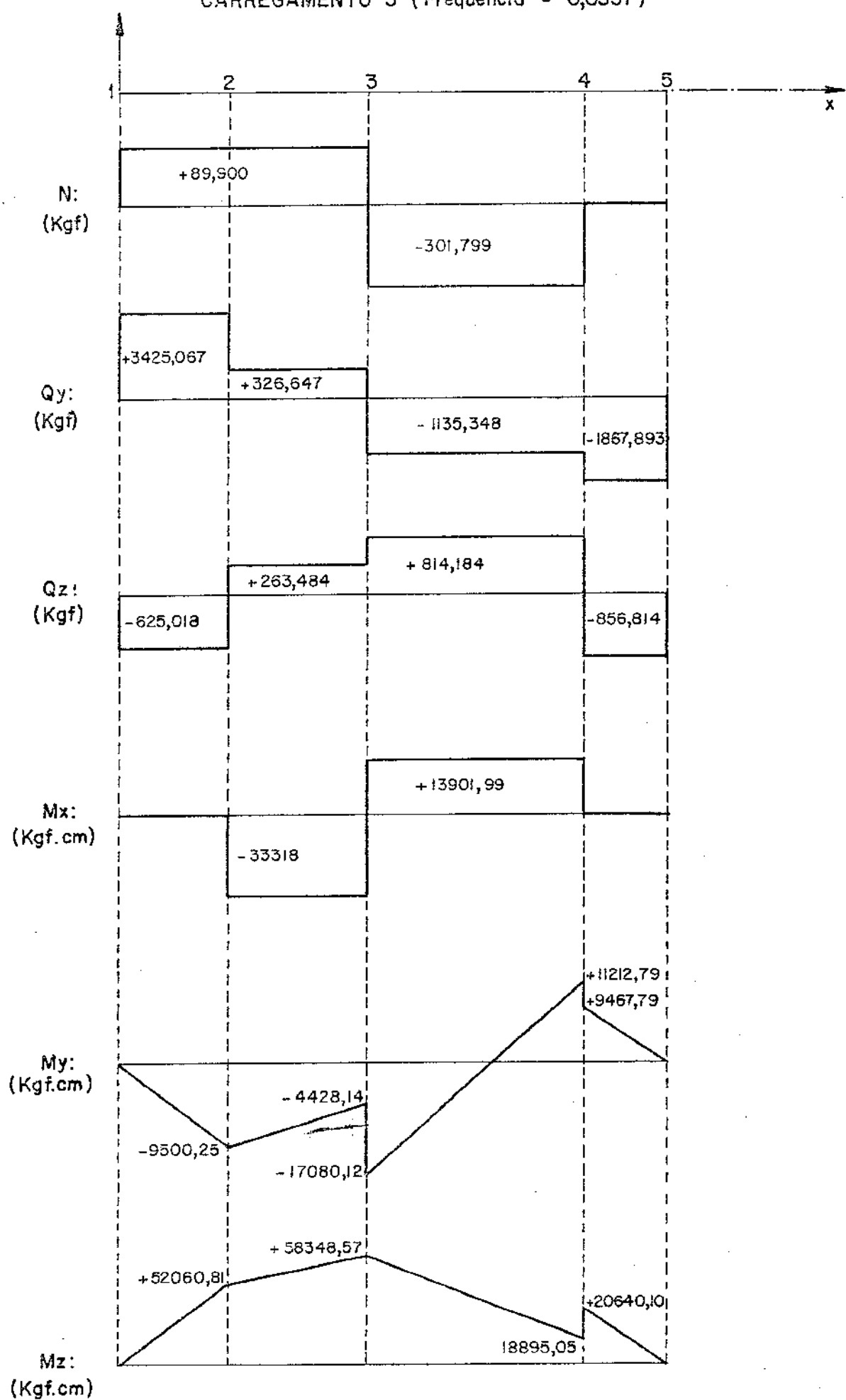
LOAD	JOINT	AXIAL FORCE	SHEAR FORCE Y	SHEAR FORCE Z	TORSION MOMENT	MOMENT Y	MOMENT Z
1	4	0.000	1637.104	760.575	0.00	-8404.35	18089.92
1	5	-0.000	-1637.104	-760.575	-0.00	0.00	0.06
2	4	0.000	1786.050	818.615	0.00	-9045.69	19735.60
2	5	-0.000	-1786.050	-818.615	0.00	0.01	0.22
3	4	0.000	1867.893	856.814	0.00	-9467.79	20640.10
3	5	-0.000	-1867.893	-856.814	0.00	0.00	0.08
4	4	0.000	1928.067	887.525	0.00	-9807.14	21305.13
4	5	-0.000	-1928.067	-887.525	0.00	0.00	-0.02
5	4	0.000	1997.123	925.288	0.00	-10224.43	22067.98
5	5	-0.000	-1997.123	-925.288	-0.00	0.01	0.19
6	4	0.000	2073.275	970.229	0.00	-10721.02	22909.52
6	5	-0.000	-2073.275	-970.229	-0.00	0.01	0.13
7	4	0.000	2183.458	1040.643	0.00	-11499.09	24127.16
7	5	-0.000	-2183.458	-1040.643	0.00	0.01	0.00
8	4	0.000	2298.687	1121.056	0.00	-12387.66	25400.39
8	5	-0.000	-2298.687	-1121.056	-0.00	0.00	0.06
9	4	0.000	2481.446	1261.618	0.00	-13940.86	27419.93
9	5	-0.000	-2481.446	-1261.618	0.00	0.00	0.01
10	4	0.000	2901.211	1638.788	0.00	-18108.58	32058.16
10	5	-0.000	-2901.211	-1638.788	0.00	0.00	0.18
11	4	0.000	2971.382	1708.585	0.00	-18879.84	32833.50
11	5	-0.000	-2971.382	-1708.585	0.00	-0.00	0.22
12	4	0.000	3167.965	1913.296	0.00	-21141.87	35005.54
12	5	-0.000	-3167.965	-1913.296	0.00	-0.01	0.41
13	4	0.000	3240.601	1992.296	0.00	-22014.83	35808.38
13	5	0.000	-3240.601	-1992.296	0.00	-0.00	0.21
14	4	0.000	3315.241	2075.068	0.00	-22929.45	36633.14
14	5	-0.000	-3315.241	-2075.068	0.00	-0.02	0.22
15	4	0.000	3769.690	2616.153	0.00	-28908.41	41656.95
15	5	-0.000	-3769.690	-2616.153	0.00	-0.04	0.27
16	4	0.000	3908.252	2792.183	0.00	-30853.57	43185.92
16	5	-0.000	-3908.252	-2792.183	0.00	-0.00	0.20

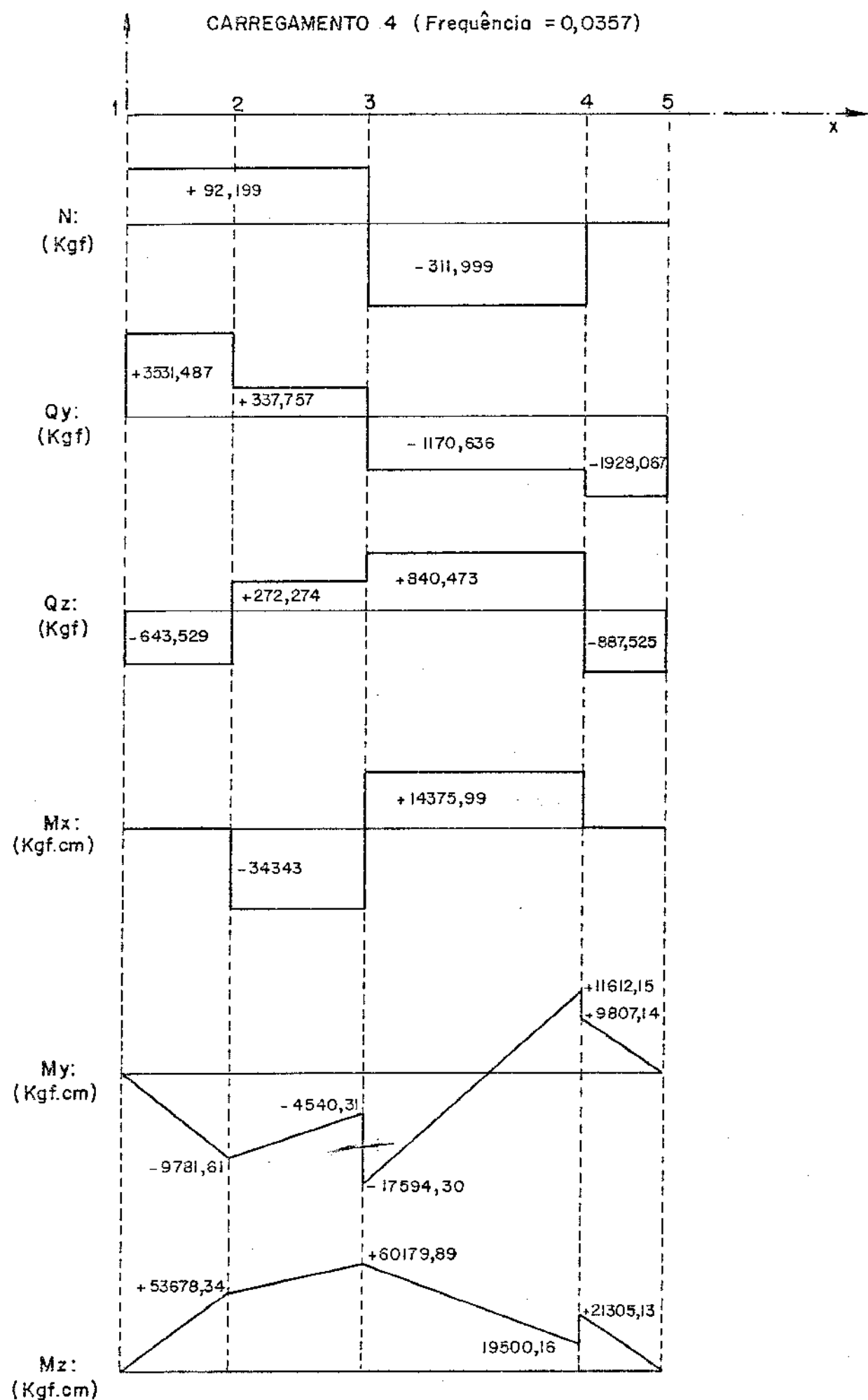
CARREGAMENTO 1 ( Frequênci a = 0,0357)

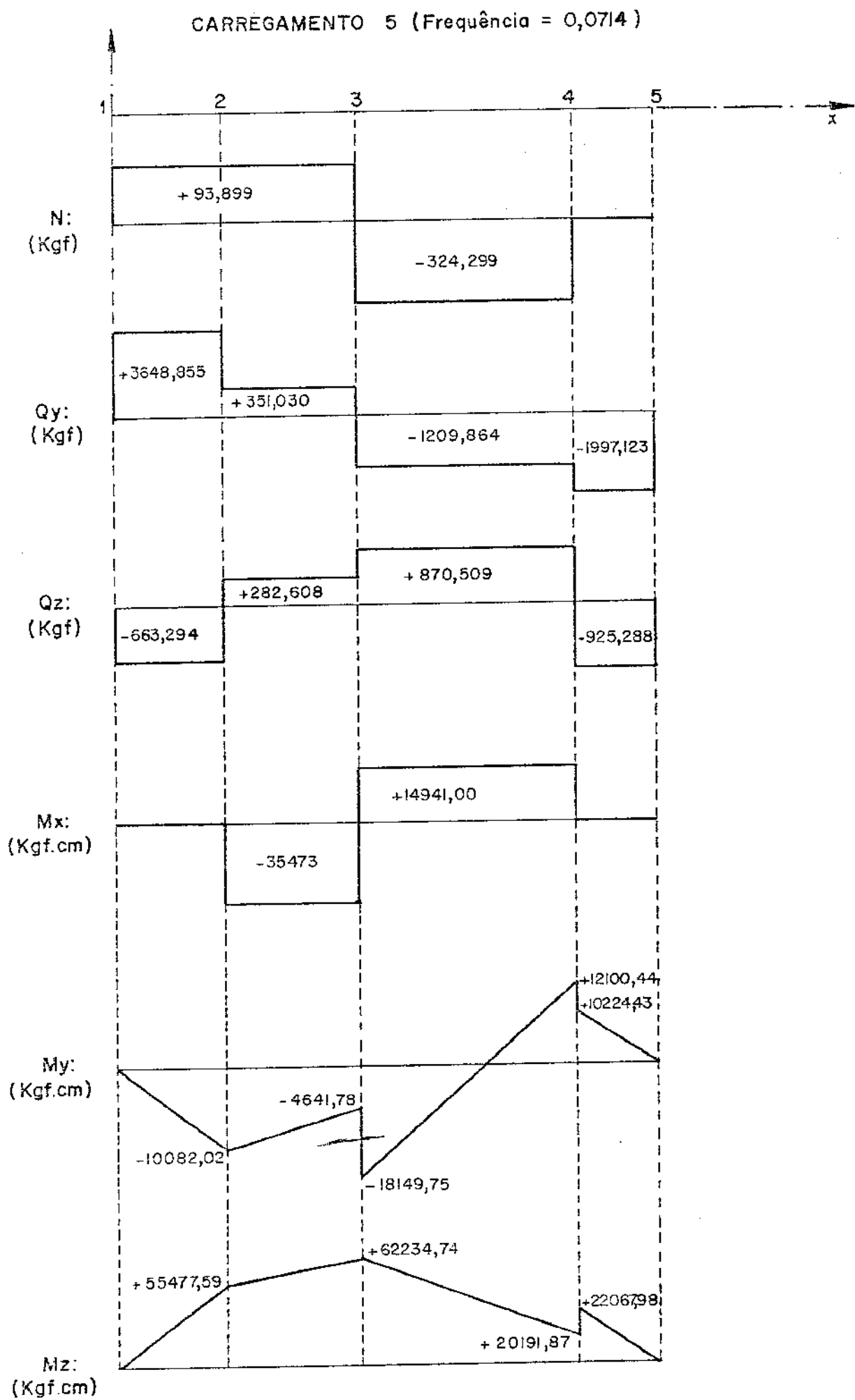


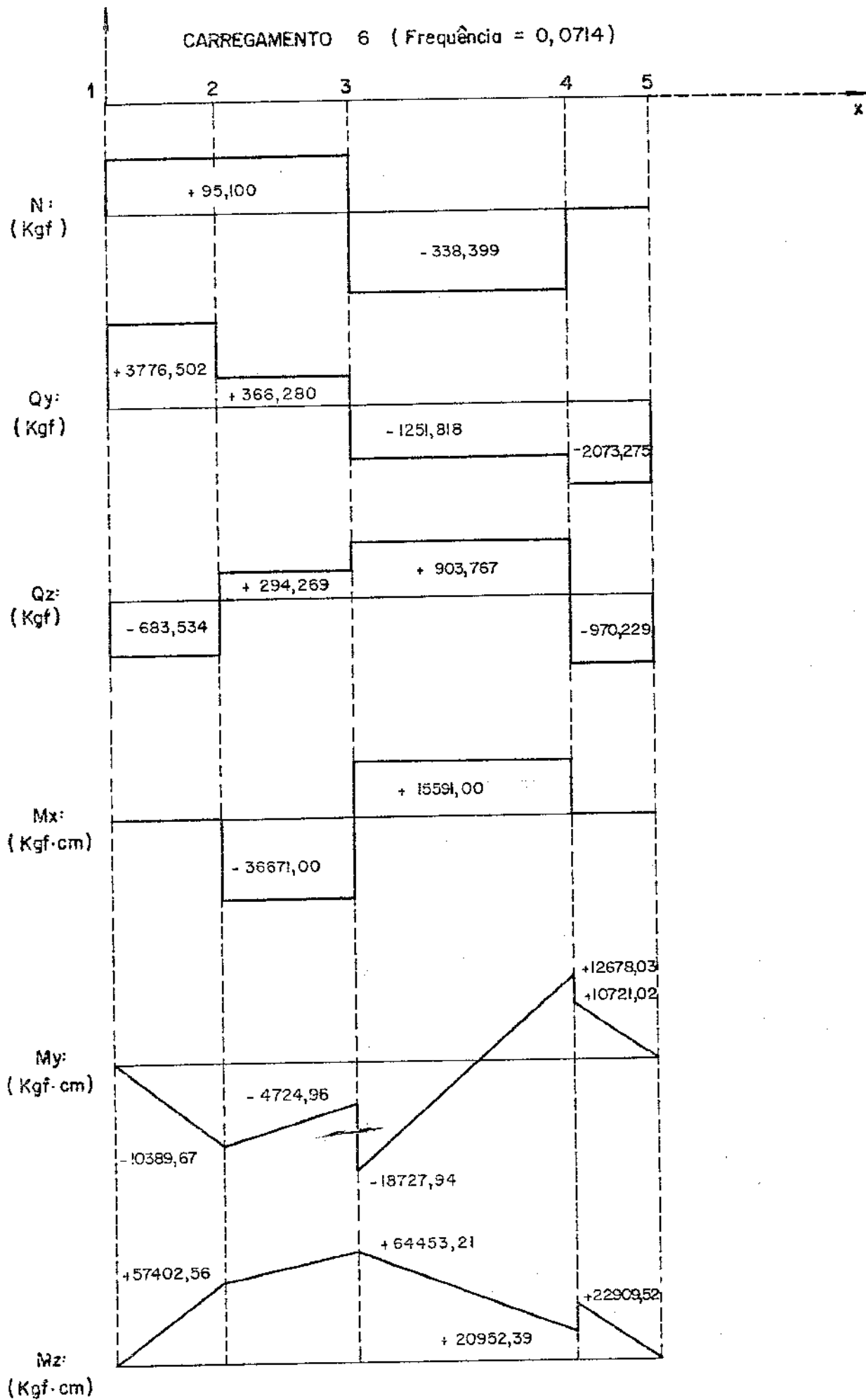


CARREGAMENTO 3 ( Frequência = 0,0357)

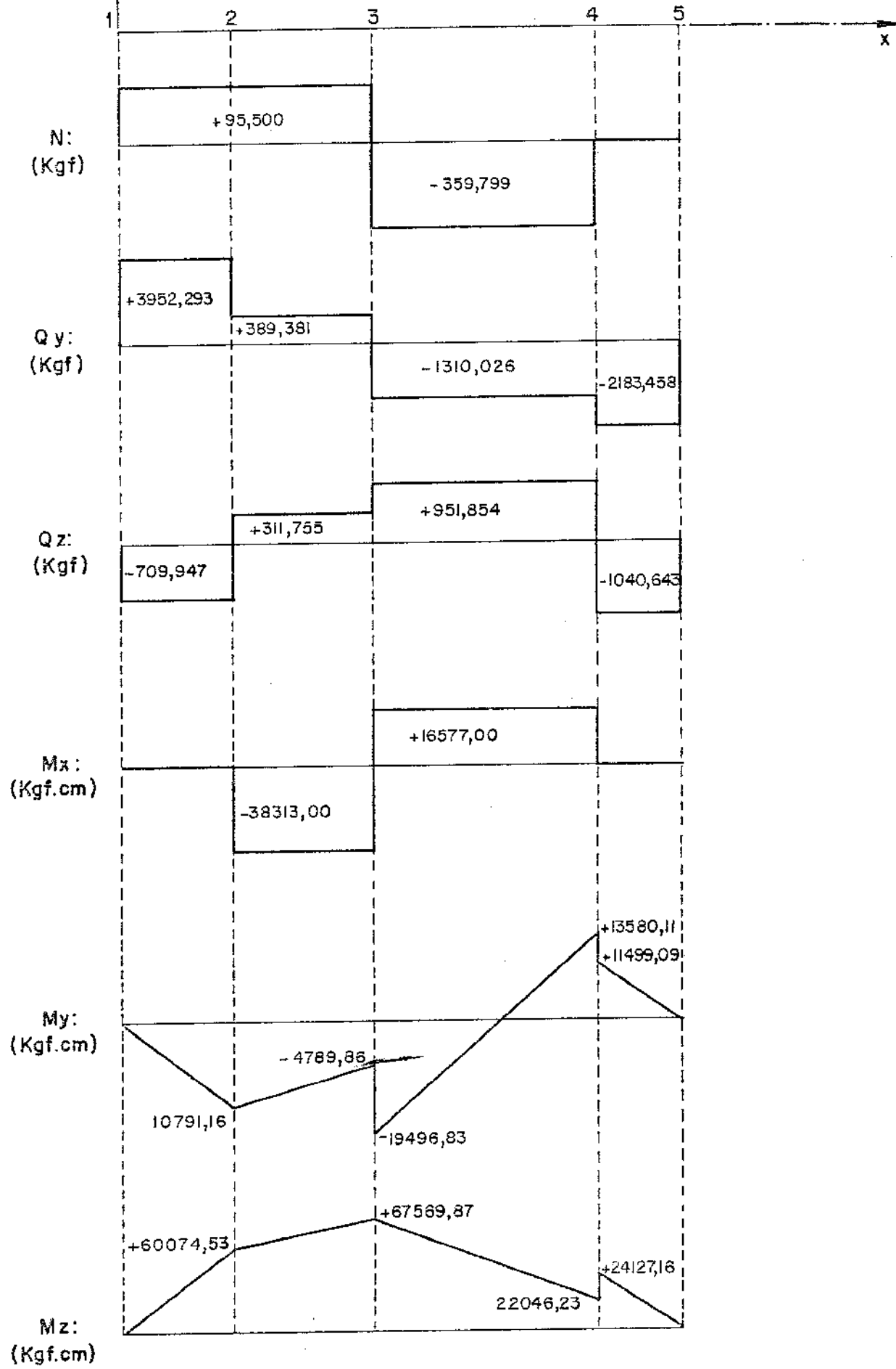


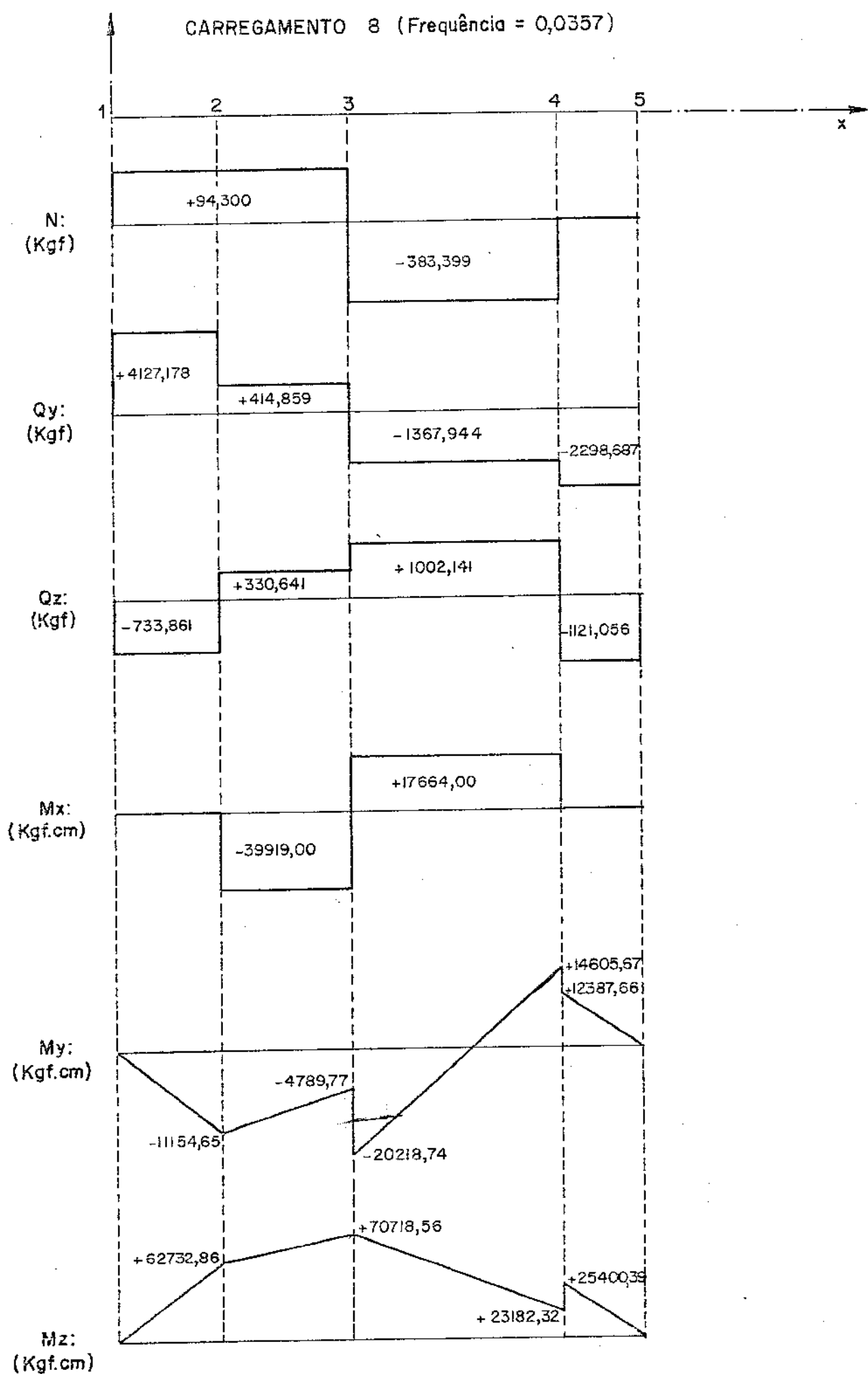


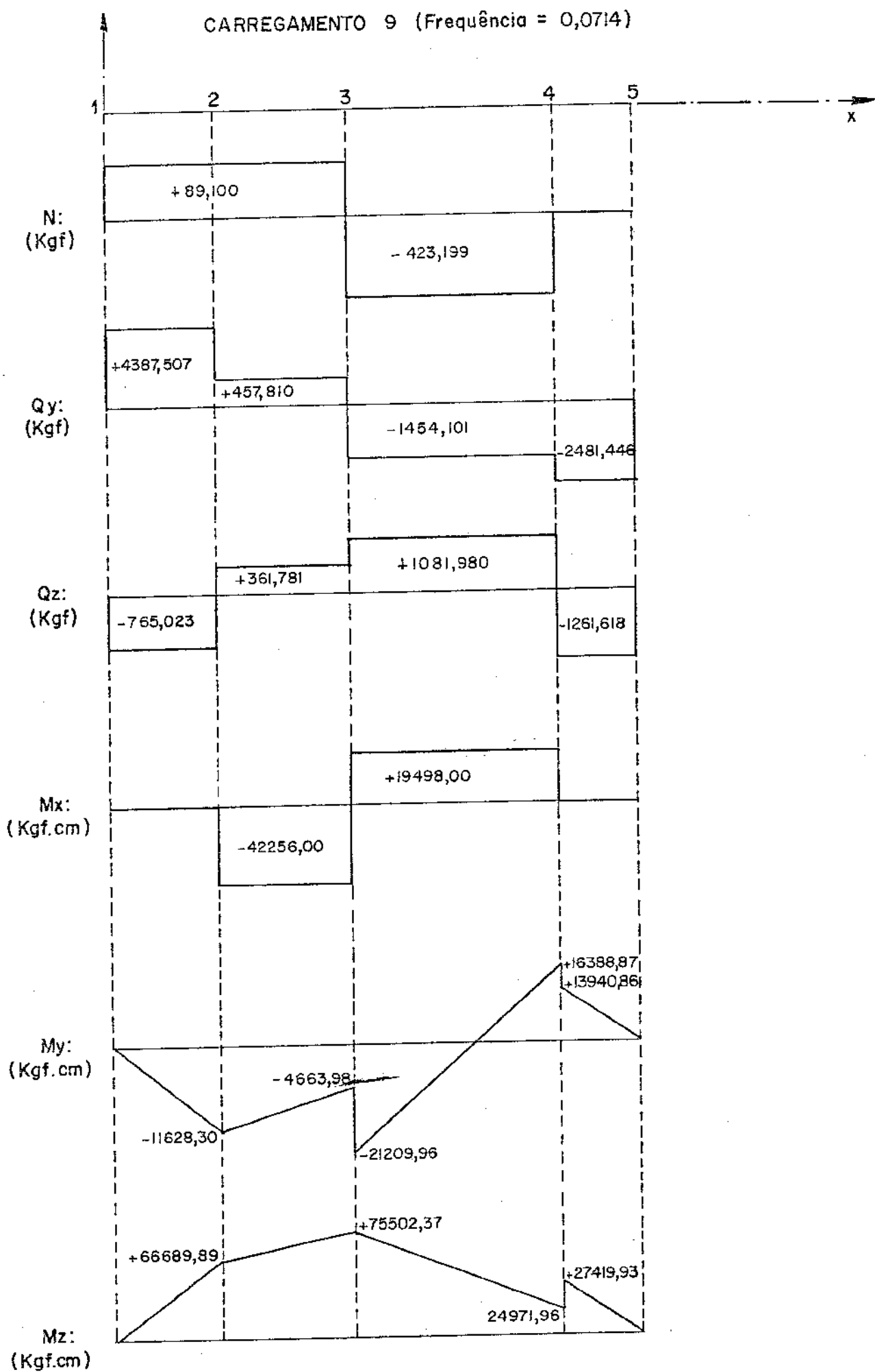




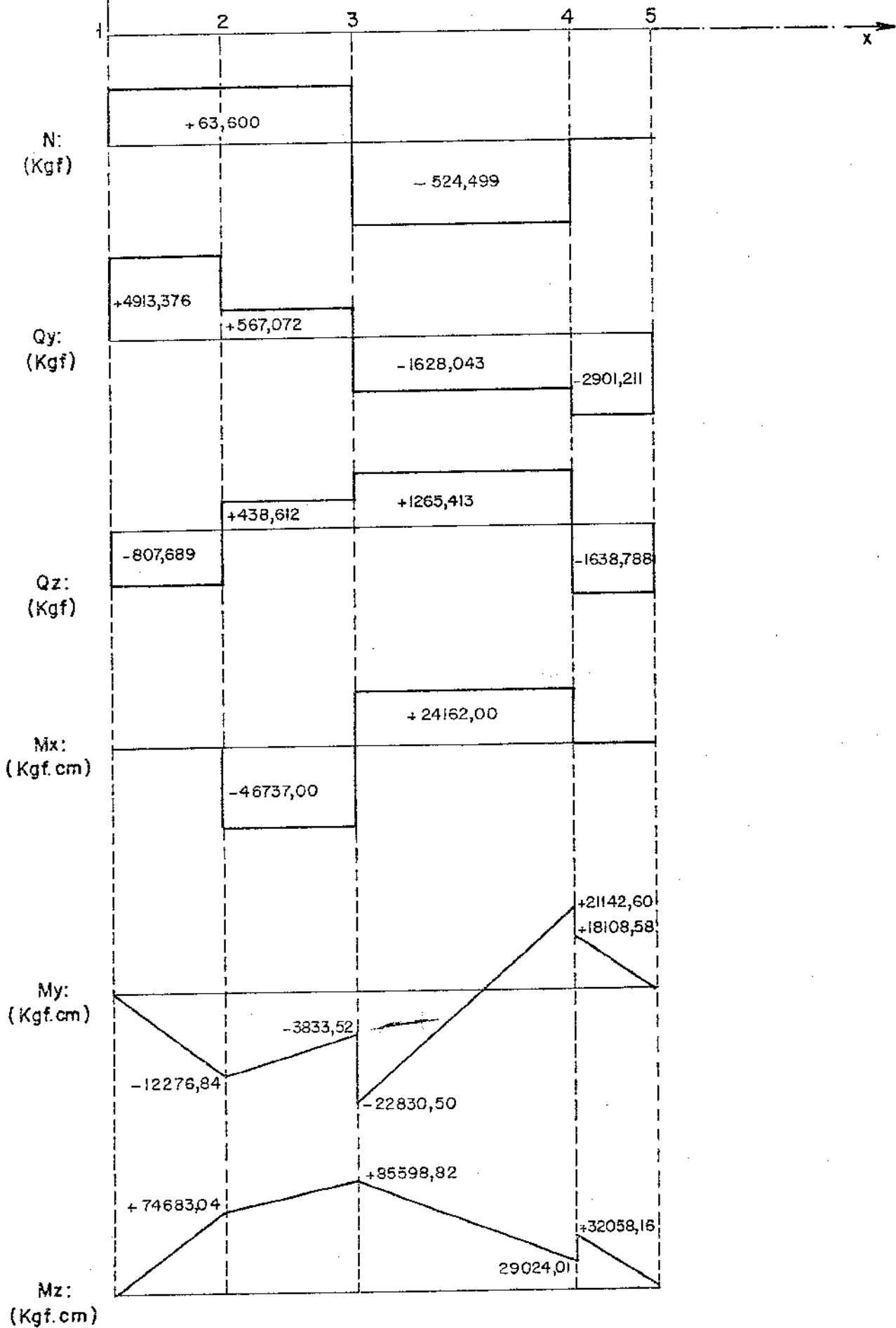
CARREGAMENTO 7 (Frequência = 0,1785)

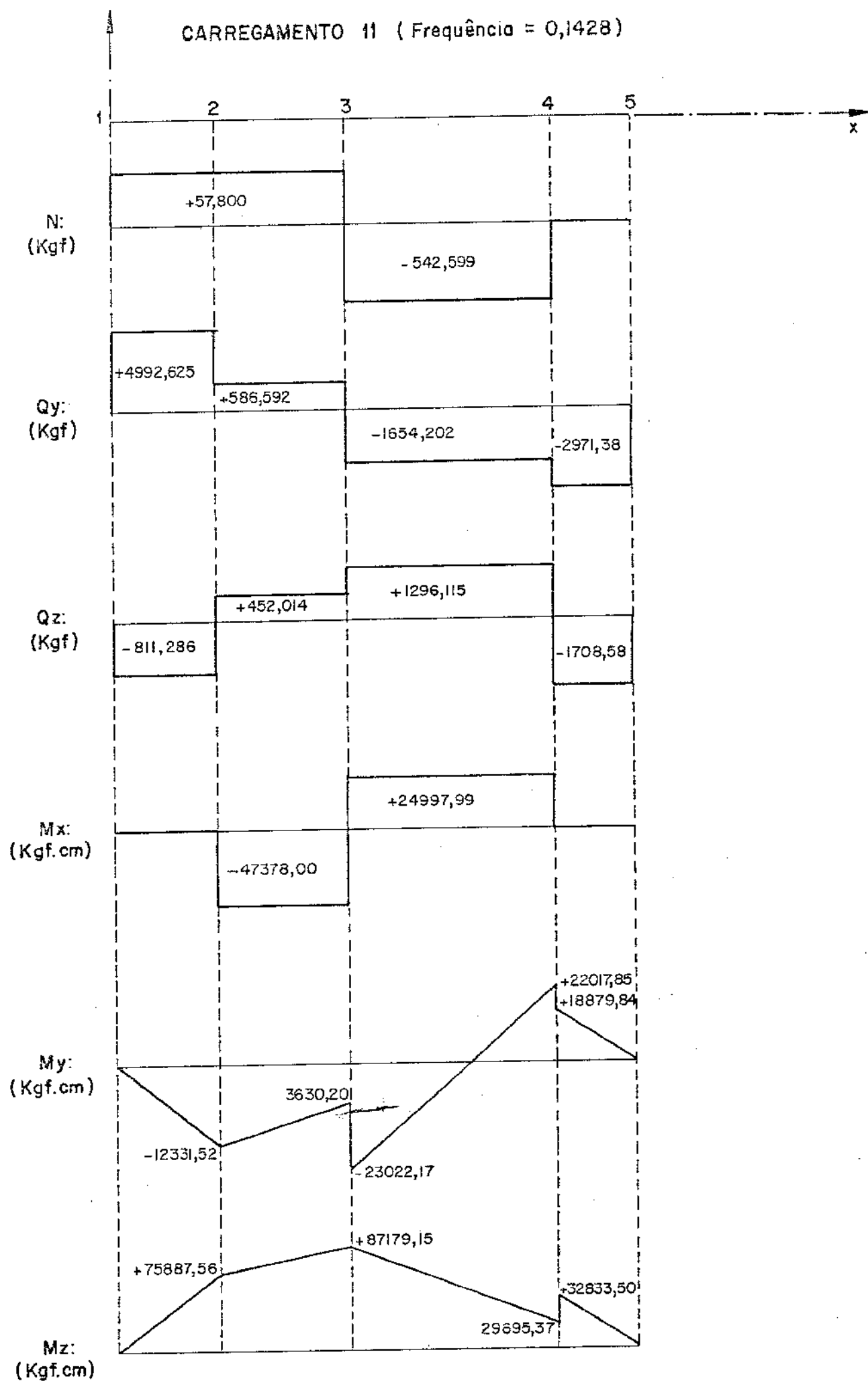




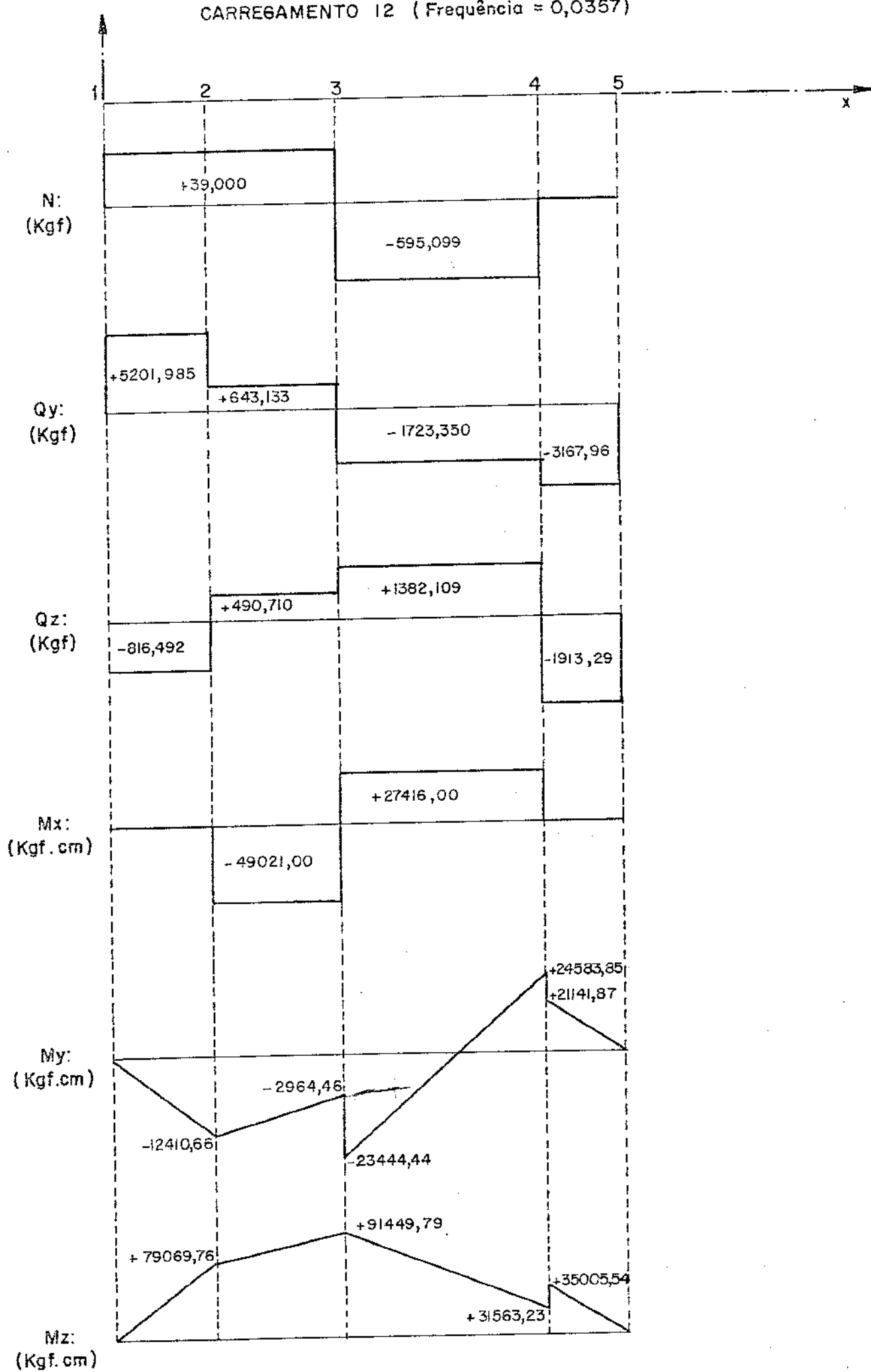


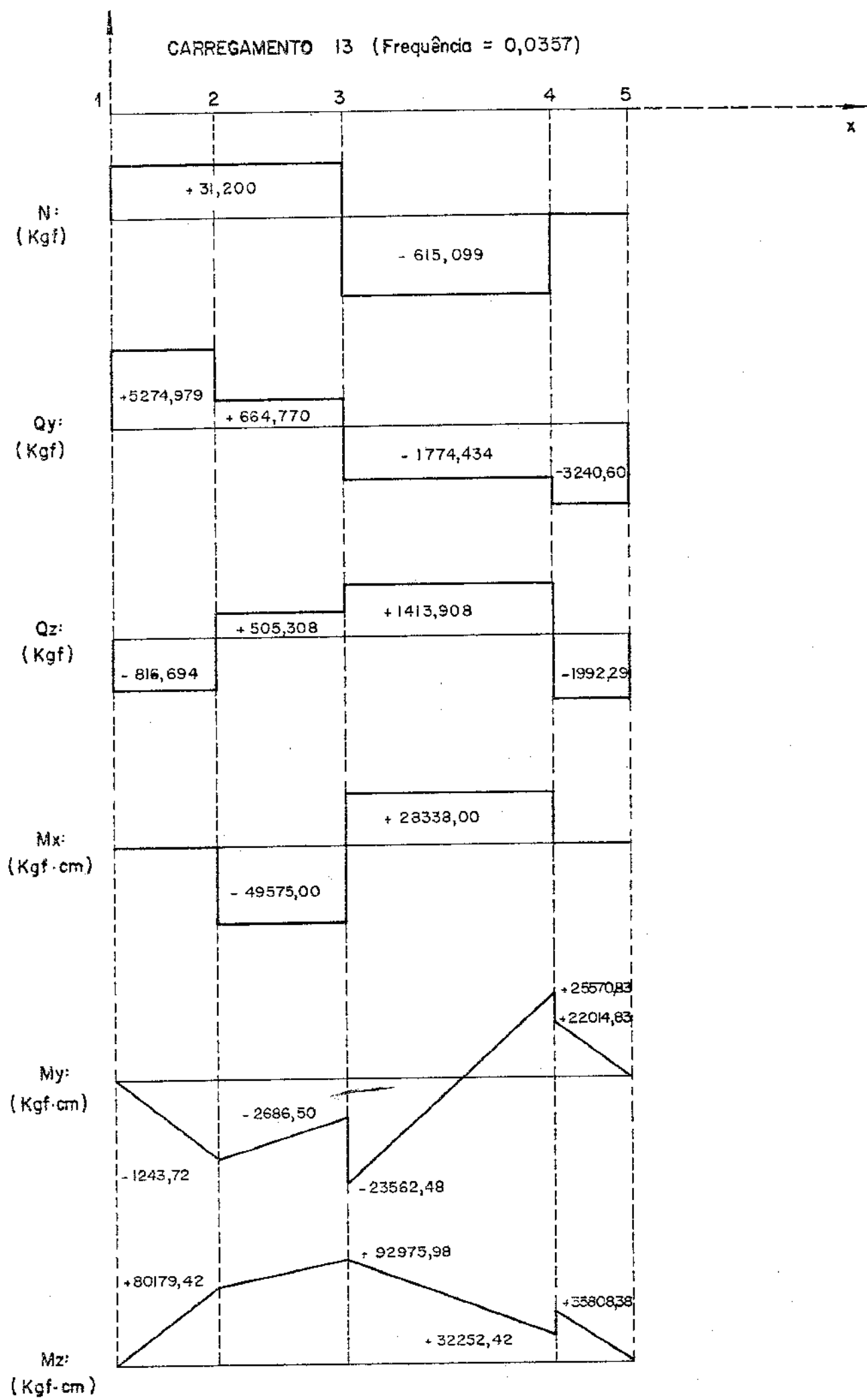
CARREGAMENTO 10 (Frequência = 0,0357)



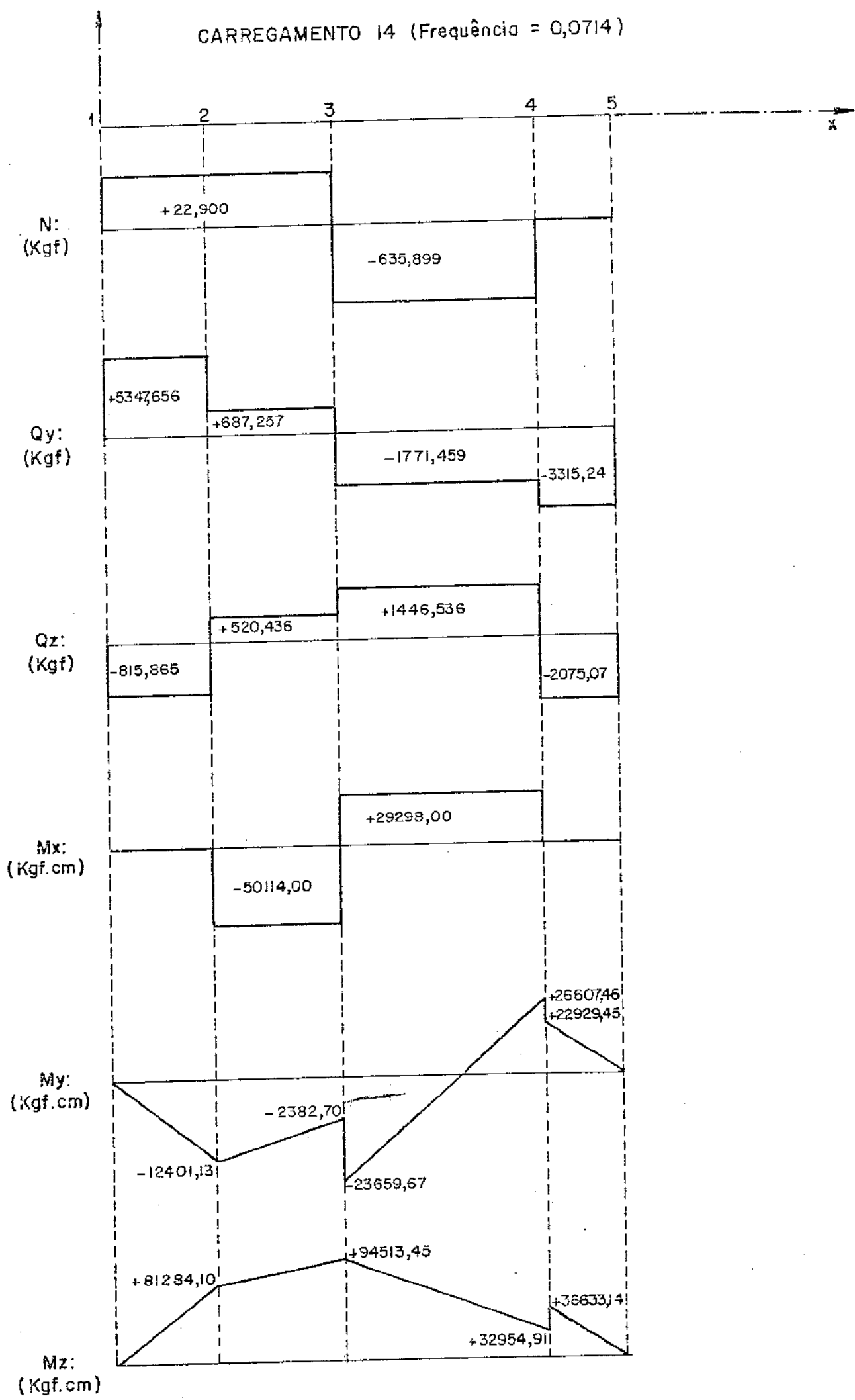


CARREGAMENTO 12 ( Frequência = 0,0357)

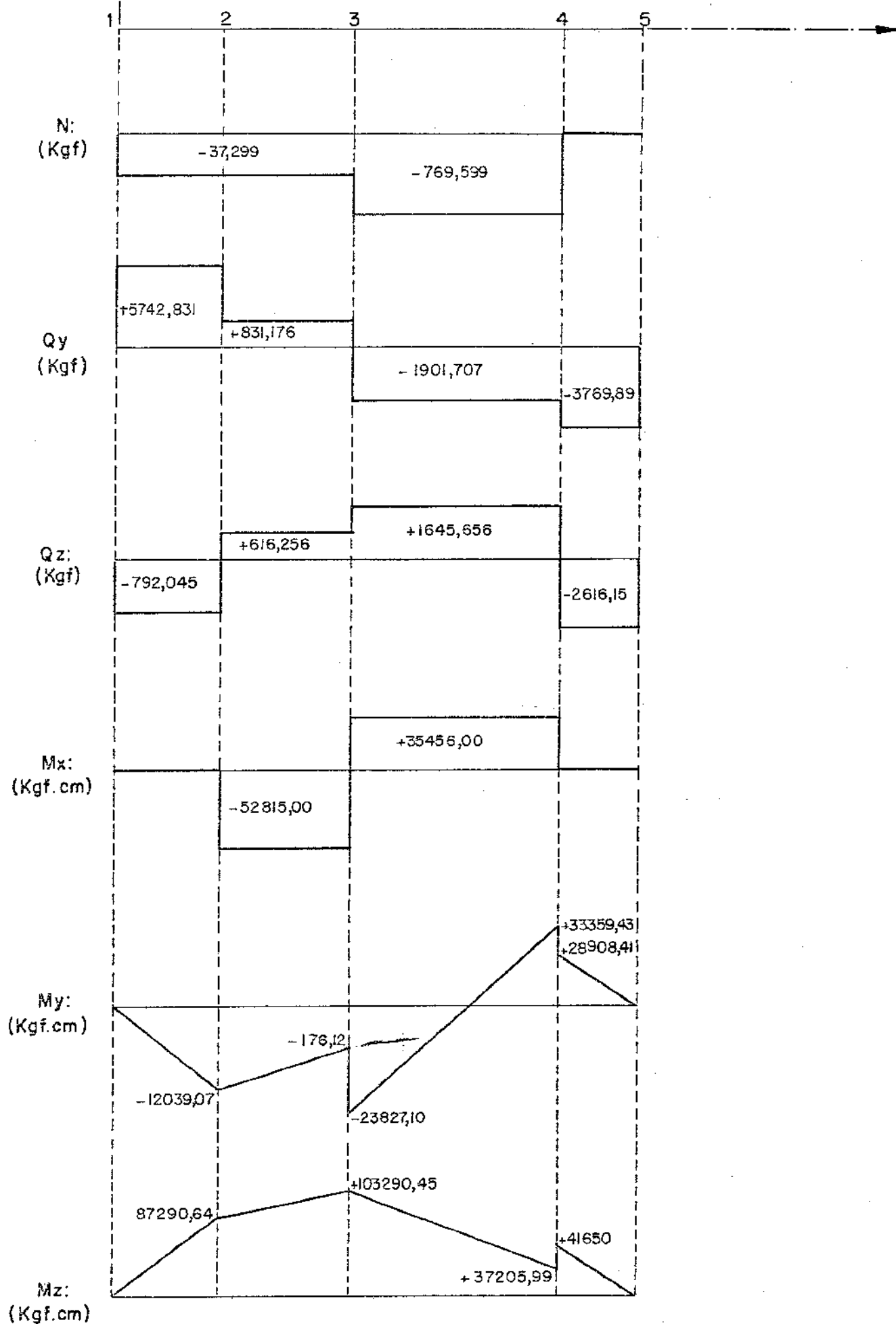


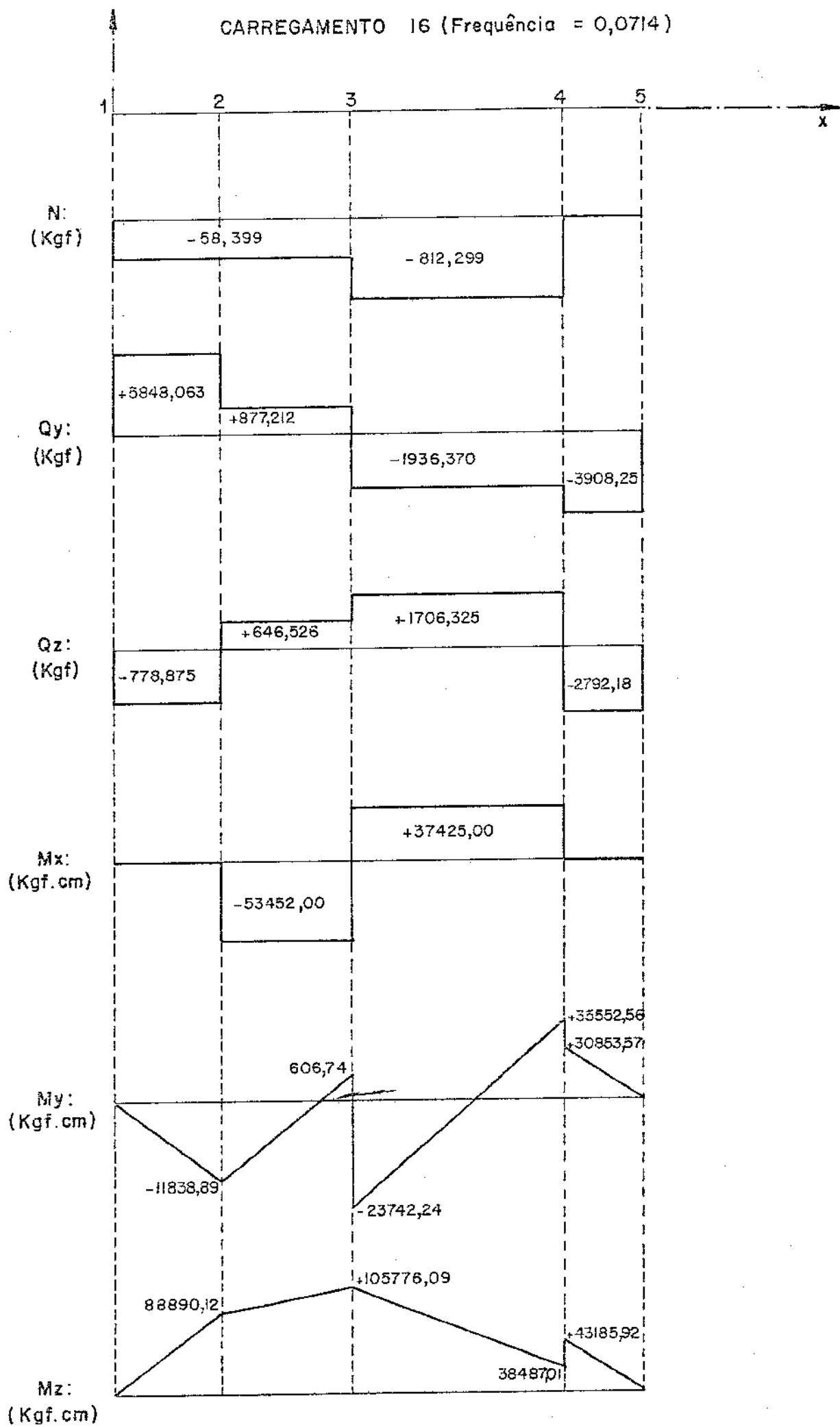


CARREGAMENTO 14 (Frequência = 0,0714)



CARREGAMENTO 15 (Frequência = 0,0357)





A figura 6.8 apresenta o EIXO INTERMEDIÁRIO, suas dimensões e SECÇÕES CRÍTICAS (I-I, II-II, III-III, IV-IV, V-V e VI-VI).

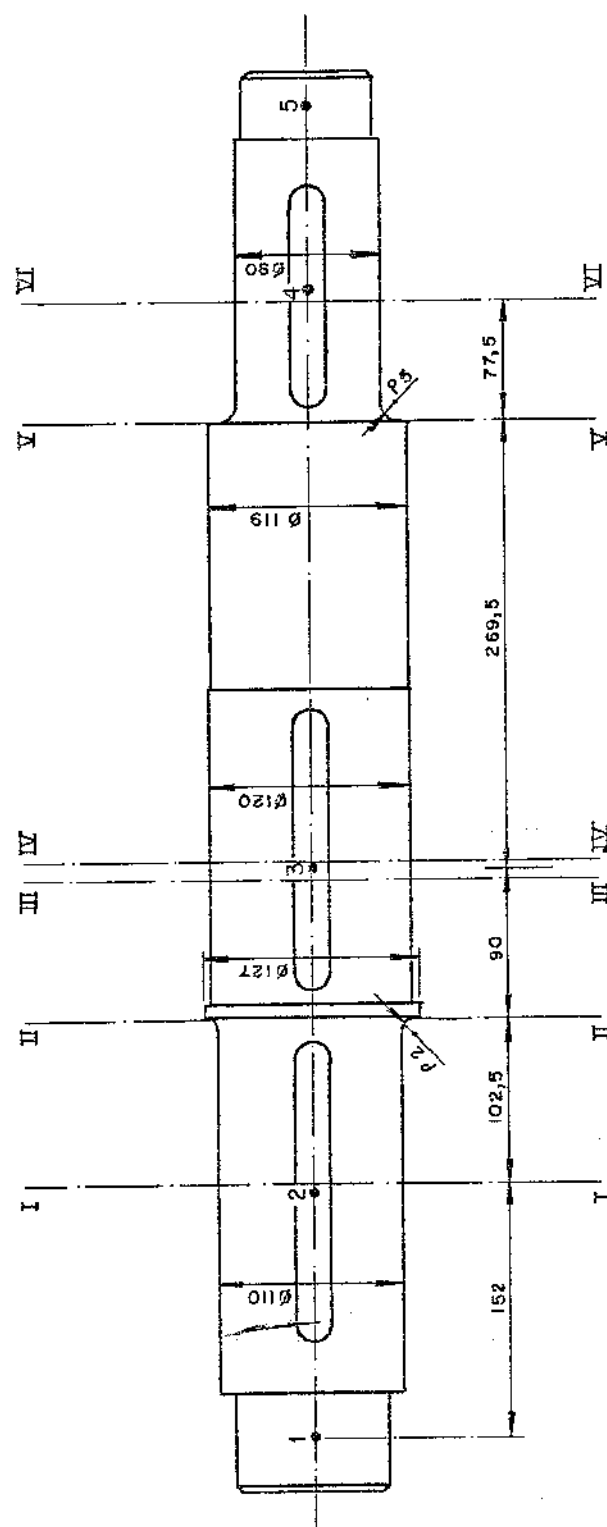


Fig 6.8 - Eixo Intermediário, suas Dimensões e Secções Críticas

O MOMENTO COMBINADO, em cada SECÇÃO CRÍTICA, será dado por [28]:

$$M_V = \sqrt{M_b^2 + \left(\frac{\alpha_0}{2} M_t\right)^2} \quad (6.5.1)$$

onde,

$M_b$  = MOMENTO FLETOR RESULTANTE NA SECÇÃO =  $\sqrt{M_y^2 + M_z^2}$

$M_t$  = MOMENTO TORÇOR NA SECÇÃO

$\alpha_0$  = QUOCIENTE ENTRE A TENSÃO LIMITE DE FADIGA A FLEXÃO ALTERADA,  $\sigma_{bw}$ , E A TENSÃO LIMITE DE FADIGA A TORÇÃO PULSANTE,  $\tau_{tsch}$ , OBTIDAS NO DIAGRAMA DE SMITH PARA O MATERIAL DO EIXO.

Admitindo-se EIXO de aço ABNT 4140 que na norma DIN corresponde ao aço 42CrMo4, de acordo com a referência [28], tem-se:

$$\sigma_{bw} = 50 \text{ kgf/mm}^2$$

$$\tau_{tsch} = 40 \text{ kgf/mm}^2$$

Assim, o coeficiente  $\alpha_0$  resulta:

$$\alpha_0 = \frac{\sigma_{bw}}{\tau_{tsch}} = 1,25$$

A TENSÃO COMBINADA, em cada SECÇÃO CRÍTICA, é dada por:

$$\sigma_V = \frac{M_V}{W_b} \quad (6.5.2)$$

onde,

$M_V$  = MOMENTO COMBINADO NA SECÇÃO

$$w_b = \text{MÓDULO DE RESISTÊNCIA A FLEXÃO} = \frac{\pi d^3}{32}$$

A TENSÃO ADMISSÍVEL A FLEXÃO será dada por:

$$\sigma_{zul} = \frac{b_1 \cdot b_2 \cdot \sigma_{bw}}{a_1 \cdot a_2 \cdot \psi \cdot \beta_{kb}} \quad (6.5.3)$$

onde,

$a_1$  = FATOR DEVIDO A INCERTEZA DA CARGA (1,0 ~ 1,3)

$a_2$  = FATOR DEVIDO A IMPORTÂNCIA VITAL DA PEÇA (1,2 ~ 1,5)

$\psi$  = COEFICIENTE DE GOLPE; DEPENDE DAS CONDIÇÕES DE TRABALHO DA MÁQUINA.

$b_1$  = FATOR DE DIMENSÃO DA PEÇA; DEPENDE DO DIÂMETRO DO EIXO

$b_2$  = FATOR DE ACABAMENTO DA PEÇA.

$\beta_{kb}$  = COEFICIENTE DE ENTALHE A FLEXÃO

ou ainda,

$$\sigma_{zul} = \frac{b_1 \cdot b_2 \cdot \sigma_{bw}}{a_1 \cdot a_2 \cdot \psi \cdot \beta_{Nb}} \quad (6.5.4)$$

onde,

$\beta_{Nb}$  = FATOR QUE LEVA EM CONTA O EFEITO DE CUBO CHAVETADO

No que se segue, adotaram-se:  $a_1 = 1,0$ ;  $a_2 = 1,2$ ;  $\psi = 1,2$  (TABELA 3 - pag. 94 da referência [28]);  $b_1 = 0,8$  (FIG. 246 - pag. 181 da referência [28]) e  $b_2 = 0,87$  (curva d da Fig. 247 - pag. 182 da referência [28]).

O COEFICIENTE DE SEGURANÇA EFETIVO,  $v_e$ , é definido como sendo a relação entre a TENSÃO ADMISSÍVEL A FLEXÃO e a TENSÃO COMBINADA. Portanto,

$$v_e = \frac{\sigma_{zul}}{\sigma_v} \quad (6.5.5)$$

Este coeficiente de segurança deve ser comparado ao COEFICIENTE DE SEGURANÇA ESPERADO,  $v$ , obtido em função da FREQUÊNCIA DE ATUAÇÃO,  $h_b$ , da TENSÃO COMBINADA MÁXIMA (Fig. 259 - pag. 191 da referência [28]).

#### 6.5.1. SECÇÃO I-I

Sendo o diâmetro do eixo nesta secção  $d = 11$  cm, o seu módulo de resistência a flexão resulta:

$$W_b = 130,67 \text{ cm}^3$$

A TABELA VI.8 fornece, para a SECÇÃO I-I, o momento fletor resultante, o momento torçor, o momento combinado, a tensão combinada e a frequência de atuação para cada carregamento.

TABELA VI.8 - VALORES DO MOMENTO FLETOR RESULTANTE, MOMENTO TORÇOR, MOMENTO COMBINADO, TENSÃO COMBINADA E FREQUÊNCIA DE ATUAÇÃO NA SECÇÃO I-I.

CARREGAMENTO (i)	$M_b$ [kgf.cm]	$M_t$ [kgf.cm]	$M_v$ [kgf.cm]	$\sigma_v$ [kgf/cm <sup>2</sup> ]	FREQUÊNCIA DE ATUAÇÃO ( $f_i$ )
1	46179,03	29046	49619,16	379,73	0,0357
2	50614,96	31868	54392,84	416,26	0,0357
3	52920,53	33318	56870,12	435,22	0,0357
4	54562,30	34343	58632,45	448,71	0,0357
5	56386,26	35473	60588,34	463,67	0,0714
6	58335,23	36671	62676,13	479,65	0,0714
7	61036,04	38313	65565,17	501,76	0,1785
8	63716,86	39919	68427,40	523,67	0,0357
9	67696,08	42256	72665,31	556,10	0,0714
10	75685,38	46737	81126,67	620,85	0,0357
11	76882,95	47378	82388,19	630,51	0,1428
12	80037,81	49021	85701,49	655,86	0,0357
13	81134,70	49575	86849,70	664,65	0,0357
14	82224,65	50114	87988,15	673,36	0,0714
15	88116,94	52815	94096,83	720,11	0,0357
16	89675,04	53452	95695,74	732,35	0,0714

Tratando-se de eixo de aço-liga chavetado com cubo de aço carbono, o fator de cubo  $s_{Nb}$  resulta igual a 2,36 (TABELA 8 - pag. 152 da referência [28]). Logo, a TENSÃO ADMISSÍVEL A FLEXÃO, de acordo com a equação (6.5.4), será:

$$\sigma_{zul} = \frac{0,8 \cdot 0,87 \cdot 50}{1,0 \cdot 1,2 \cdot 1,2 \cdot 2,36} = 10,24 \text{ kgf/mm}^2 = 1024 \text{ kgf/cm}^2$$

O COEFICIENTE DE SEGURANÇA EFETIVO, para a TENSÃO COMBINADA MÁXIMA (TABELA VI.8), é:

$$v_e = \frac{\sigma_{zul}}{\sigma_{v_{max}}} = \frac{1024}{732,35} = 1,40$$

Como a FREQUÊNCIA DE ATUAÇÃO desta tensão é 7,14%, o COEFICIENTE DE SEGURANÇA ESPERADO é [28]:

$$v = 1,08$$

significando que o diâmetro da secção I-I satisfaz as exigências requeridas.

#### 6.5.2. SECÇÃO III-II

Sendo o diâmetro do eixo nesta secção  $d=11$  cm, o seu módulo de resistência a flexão resulta:

$$w_b = 130,67 \text{ cm}^3$$

A TABELA VI.9 fornece, para a SECÇÃO III-II, o momento fletor resultante, o momento torçor, o momento combinado, a tensão combinada e a frequência de atuação para cada carregamento.

TABELA VI.9 - VALORES DO MOMENTO FLETOR RESULTANTE, MOMENTO TORÇOR,  
MOMENTO COMBINADO, TENSÃO COMBINADA E FREQUÊNCIA DE  
ATUAÇÃO NA SECÇÃO II-II

CARREGAMENTO (i)	$M_b$ [kgf.cm]	$M_t$ [kgf.cm]	$M_v$ [kgf.cm]	$\sigma_v$ [kgf/cm <sup>2</sup> ]	FREQUÊNCIA DE ATUAÇÃO ( $f_i$ )
1	48744,64	29046	52015,37	398,07	0,0357
2	53390,37	31868	56984,55	436,10	0,0357
3	55824,48	33318	59581,89	455,97	0,0357
4	57566,25	34343	61437,71	470,17	0,0357
5	59510,91	35473	63506,57	486,01	0,0714
6	61599,69	36671	65725,33	502,99	0,0714
7	64514,26	38313	68314,84	526,63	0,1785
8	67433,62	39919	71901,07	550,25	0,0357
9	71820,28	42256	76522,16	585,61	0,0714
10	80870,54	46737	85984,33	658,03	0,0357
11	82260,99	47378	87428,24	669,08	0,1428
12	85979,11	49021	91274,87	698,51	0,0357
13	87293,45	49575	92629,25	708,88	0,0357
14	88610,53	50114	93983,23	719,24	0,0714
15	95980,76	52815	101498,40	776,75	0,0357
16	98020,02	53452	103556,68	792,51	0,0714

A SECÇÃO II-II é uma secção de transição com diâmetros  $d=110$  mm e  $D=127$  mm e raio de concordância  $\rho=2$  mm. O coeficiente de entalhe  $\beta_{kbo}$  para as relações  $D/d=2$  e  $\rho/d = 0,018$  é 2,8 (Fig. 159 - pág. 128 da referência [28]) e o coeficiente de transformação  $c$  para  $D/d = 1,155$  é 0,35 (Fig. 163 - pág. 130 da referência [28]). Assim, o coeficiente de entalhe, para o caso em questão, será dado por:

$$\beta_{kb} = 1 + c(\beta_{kbo} - 1) = 1 + 0,35(2,8 - 1) = 1,63$$

Portanto, a *TENSÃO ADMISSÍVEL A FLEXÃO*, de acordo com a equação (6.5.3), será:

$$\sigma_{zul} = \frac{0,8 \cdot 0,87 \cdot 50}{1,0 \cdot 1,2 \cdot 1,2 \cdot 1,63} = 14,83 \text{ kgf/mm}^2 = 1483 \text{ kgf/cm}^2$$

O *COEFICIENTE DE SEGURANÇA EFETIVO*, para a *TENSÃO COMBINADA MÁXIMA* (TABELA VI.9), é:

$$v_e = \frac{\sigma_{zul}}{\sigma_{V_{max}}} = \frac{1483}{792,51} = 1,87$$

Como a *FREQUÊNCIA DE ATUAÇÃO* desta tensão é 7,14%, o *COEFICIENTE DE SEGURANÇA ESPERADO* é [28]:

$$v = 1,08$$

significando que o diâmetro da secção II-II satisfaz as exigências requeridas.

#### 6.5.3. SECÇÃO III-III

Sendo o diâmetro do eixo nesta secção  $d=12 \text{ cm}$ , o seu módulo de resistência a flexão resulta:

$$W_b = 169,65 \text{ cm}^3$$

A TABELA VI.10 fornece, para a secção III-III, o momento fletor resultante, o momento torçor, o momento combinado, a tensão combinada e a frequência de atuação para cada carregamento.

TABELA VI.10 - VALORES DO MOMENTO FLETOR RESULTANTE, MOMENTO TORCOR, MOMENTO COMBINADO, TENSÃO COMBINADA e FREQUÊNCIA DE ATUAÇÃO NA SECÇÃO III-III.

CARREGAMENTO (i)	$M_b$ [kgf.cm]	$M_t$ [kgf.cm]	$M_v$ [kgf.cm]	$\sigma_v$ [kgf/cm <sup>2</sup> ]	FREQUÊNCIA de ATUAÇÃO (fi)
1	51123,10	29046	54250,62	319,78	0,0357
2	55963,08	31868	59401,79	350,14	0,0357
3	58516,36	33318	62111,13	366,11	0,0357
4	60350,92	34343	64054,30	377,57	0,0357
5	62407,60	35473	66228,73	390,38	0,0714
6	64626,17	36671	68569,96	404,18	0,0714
7	67739,43	38313	71847,22	423,50	0,1785
8	70880,58	39919	75143,38	442,93	0,0357
9	75646,29	42256	80123,96	472,29	0,0714
10	85684,62	46737	90526,87	533,61	0,0357
11	87254,70	47378	92142,33	543,13	0,1428
12	91497,83	49021	96491,18	568,77	0,0357
13	93014,78	49575	98039,69	577,89	0,0357
14	94543,48	50114	99596,64	587,07	0,0714
15	103290,60	52815	108436,93	639,18	0,0357
16	105777,83	53452	110927,95	653,86	0,0714

Tratando-se de eixo de aço-liga chavetado com cubo de aço carbono, o fator de cubo  $\beta_{Nb}$  resulta igual a 2,36 [28]. Logo, a TENSÃO ADMISSÍVEL A FLEXÃO, de acordo com a equação (6.5.4), será:

$$\sigma_{zul} = \frac{0,8 \cdot 0,87 \cdot 50}{1,0 \cdot 1,2 \cdot 1,2 \cdot 2,36} = 10,24 \text{ kgf/mm}^2 = 1024 \text{ kgf/cm}^2$$

O COEFICIENTE DE SEGURANÇA EFETIVO, para a TENSÃO COMBINADA MÁXIMA (TABELA VI.10), é:

$$v_e = \frac{\sigma_{zul}}{\sigma_{V_{max}}} = \frac{1024}{653,86} = 1,57$$

Como a FREQUÊNCIA DE ATUAÇÃO desta tensão é 7,14%, o COEFICIENTE DE SEGURANÇA ESPERADO é [28]:

$$v = 1,08$$

significando que o diâmetro da secção III-III satisfaz as exigências requeridas.

#### 6.5.4. SECÇÃO IV-IV

As condições para a secção IV-IV são exatamente as mesmas da SECÇÃO III-III. Portanto,

$$w_b = 169,65 \text{ cm}^3$$

$$\sigma_{zul} = 1024 \text{ kgf/cm}^2$$

A TABELA VI.11 fornece, para a SECÇÃO IV-IV, o momento fletor resultante, o momento torçor, o momento combinado, a tensão combinada e a frequência de atuação para cada carregamento.

TABELA VI.11 - VALORES DO MOMENTO FLETOR RESULTANTE, MOMENTO TORCOR, MOMENTO COMBINADO, TENSÃO COMBINADO e FREQUÊNCIA DE ATUAÇÃO NA SECÇÃO IV-IV

CARREGAMENTO (i)	$M_b$ [kgf.cm]	$M_t$ [kgf.cm]	$M_v$ [kgf.cm]	$\sigma_v$ [kgf/cm <sup>2</sup> ]	FREQUÊNCIA DE ATUAÇÃO (fi)
1	53102,54	12264,00	53652,88	316,26	0,0357
2	58145,00	13287,99	58735,12	346,21	0,0357
3	60797,09	13901,99	61414,82	362,01	0,0357
4	62699,11	14375,99	63339,63	373,35	0,0357
5	64827,28	14941,00	65496,39	386,07	0,0714
6	67118,94	15591,00	67822,60	399,78	0,0714
7	70326,48	16577,00	71085,56	419,01	0,1785
8	73552,11	17664,00	74376,03	438,41	0,0357
9	78424,93	19498,00	79366,08	467,82	0,0714
10	88591,14	24162,00	89869,00	529,73	0,0357
11	90167,76	24997,99	91511,35	539,41	0,1428
12	94407,13	27416,00	95949,54	565,57	0,0357
13	95915,19	28338,00	97536,72	574,93	0,0357
14	97429,83	29298,00	99135,63	584,35	0,0714
15	106003,06	35456,00	108294,57	638,34	0,0357
16	108407,91	37425,00	110902,64	653,71	0,0714

O COEFICIENTE DE SEGURANÇA EFETIVO, para a TENSÃO COMBINADA MÁXIMA (TABELA VI.11), é:

$$v_e = \frac{\sigma_{zul}}{\sigma_{v_{max}}} = \frac{1024}{653,71} = 1,57$$

Como a FREQUÊNCIA DE ATUAÇÃO desta tensão é 7,14%, o COEFICIENTE DE SEGURANÇA ESPERADO é [28]:

$$v = 1,08$$

significando que o diâmetro da secção IV-IV satisfaz as exigências requeridas.

#### 6.5.5. SEÇÃO V-V

Sendo o diâmetro do eixo nesta secção  $d = 9\text{ cm}$ , o seu módulo de resistência a flexão resulta:

$$W_b = 71,57\text{ cm}^3$$

A TABELA VI.12 fornece para a SEÇÃO V-V, o momento fletor resultante, o momento torçor, o momento combinado, a tensão combinada e a frequência de atuação para cada carregamento.

TABELA VI.12 - VALORES DO MOMENTO FLETOR RESULTANTE, MOMENTO TORÇOR, MOMENTO COMBINADO, TENSÃO COMBINADA E FREQUÊNCIA DE ATUAÇÃO NA SECÇÃO V-V

CARREGAMENTO (i)	$M_b$ [kgf.cm]	$M_t$ [kgf.cm]	$M_v$ [kgf.cm]	$\sigma_v$ [kgf/cm <sup>2</sup> ]	FREQUÊNCIA DE ATUAÇÃO (f <sub>i</sub> )
1	24637,33	12264,00	25802,14	360,52	0,0357
2	26903,99	13287,99	28156,66	393,41	0,0357
3	28135,59	13901,99	29446,66	411,44	0,0357
4	29035,16	14375,99	30393,60	424,67	0,0357
5	30060,72	14941,00	31477,73	435,82	0,0714
6	31186,59	15591,00	32673,48	456,52	0,0714
7	32803,43	16577,00	34400,69	480,66	0,1785
8	34481,96	17664,00	36206,18	505,88	0,0357
9	37127,81	19498,00	39076,58	545,99	0,0714
10	43170,57	24162,00	45735,61	639,03	0,0357
11	44183,07	24997,99	46864,11	654,80	0,1428
12	47026,42	27416,00	50050,90	699,33	0,0357
13	48179,15	28338,00	51331,46	717,22	0,0357
14	49171,02	29298,00	52469,91	733,13	0,0714
15	55894,95	35456,00	60127,46	840,12	0,0357
16	57979,54	37425,00	62519,98	873,55	0,0714

A SECÇÃO V-V é uma secção de transição com diâmetros  $d = 90$  mm e  $D = 119$  mm e raio de concordância  $\rho = 5$  mm. O coeficiente de entalhe  $\beta_{kbo}$  para as relações  $D/d = 2$  e  $\rho/d = 0,056$  é 2,3 e o coeficiente de transformação  $c$  para  $D/d = 1,32$  é 0,58. Assim, o coeficiente de entalhe, para o caso em questão, será dado por:

$$\beta_{kb} = 1 + c(\beta_{kbo} - 1) = 1 + 0,58(2,3 - 1) = 1,75$$

Portanto, a TENSÃO ADMISSÍVEL A FLEXÃO, de acordo com a equação

(6.5.3), será:

$$\sigma_{zul} = \frac{0,8 \cdot 0,8750}{1,0 \cdot 1,2 \cdot 1,2 \cdot 1,75} = 13,81 \text{ kgf/mm}^2 = 1381 \text{ kgf/cm}^2$$

O COEFICIENTE DE SEGURANÇA EFETIVO, para a TENSÃO COMBINADA MÁXIMA (TABELA VI.12), é:

$$v_e = \frac{\sigma_{zul}}{\sigma_{V_{max}}} = \frac{1381}{873,55} = 1,58$$

Como a FREQUÊNCIA DE ATUAÇÃO desta tensão é 7,14%, o COEFICIENTE DE SEGURANÇA ESPERADO é [28]:

$$v = 1,08$$

significando que o diâmetro da secção V-V satisfaz as exigências requeridas.

#### 6.5.6. SECÇÃO VI-VI

Sendo o diâmetro do eixo nesta secção  $d = 9 \text{ cm}$ , o seu módulo de resistência a flexão resulta:

$$W_b = 71,57 \text{ cm}^3$$

A TABELA VI.13, fornece, para a SECÇÃO VI-VI, o momento fletor resultante, o momento torçor, o momento combinado, a tensão combinada e a frequência de atuação para cada carregamento.

TABELA VI.13 - VALORES DO MOMENTO FLETOR RESULTANTE, MOMENTO TORCOR, MOMENTO COMBINADO, TENSÃO COMBINADA E FREQUÊNCIA DE ATUAÇÃO NA SECÇÃO VI-VI

CARREGAMENTO (i)	$M_b$ [kgf.cm]	$M_t$ [kgf.cm]	$M_v$ [kgf.cm]	$\sigma_v$ [kgf/cm <sup>2</sup> ]	FREQUÊNCIA DE ATUAÇÃO (f <sub>i</sub> )
1	20643,04	12264,00	22020,16	307,67	0,0357
2	21005,16	13287,99	22587,38	315,60	0,0357
3	21971,56	13901,99	23627,18	330,13	0,0357
4	22695,78	14375,99	24409,60	341,06	0,0357
5	23540,01	14941,00	25324,55	353,84	0,0714
6	24489,49	15591,00	26356,93	368,27	0,0714
7	25893,16	16577,00	27889,04	389,67	0,1785
8	27399,74	17664,00	29540,27	412,75	0,0357
9	29869,61	19498,00	32259,86	450,75	0,0714
10	35908,25	24162,00	38954,46	544,28	0,0357
11	36967,56	24997,99	40133,55	560,76	0,1428
12	40007,54	27416,00	43522,54	608,11	0,0357
13	41159,28	28338,00	44808,20	626,08	0,0357
14	42355,44	29296,00	46144,18	644,74	0,0714
15	49971,36	35456,00	54664,45	763,79	0,0357
16	52394,99	37425,00	57379,06	801,72	0,0714

Tratando-se de eixo de aço-liga chavetado com cubo de aço carbono, o fator de cubo  $\beta_{Nb}$  resulta igual a 2,36 [28]. Logo, a TENSÃO ADMISSÍVEL A FLEXÃO, de acordo com a equação (6.5.4), será:

$$\sigma_{zul} = \frac{0,8 \cdot 0,87 \cdot 50}{1,0 \cdot 1,2 \cdot 1,2 \cdot 2,36} = 10,24 \text{ kgf/mm}^2 = 1024 \text{ kgf/cm}^2$$

O COEFICIENTE DE SEGURANÇA EFETIVO, para a TENSÃO COMBINADA MÁXIMA (TABELA VI.13), é:

$$v_e = \frac{\sigma_{zul}}{\sigma_{V_{max}}} = \frac{1024}{801,72} = 1,28$$

Como a FREQUÊNCIA DE ATUAÇÃO desta tensão é 7,14%, o COEFICIENTE DE SEGURANÇA ESPERADO é [28]:

$$v = 1,08$$

significando que o diâmetro da secção VI-VI satisfaz as exigências requeridas.

## CAPÍTULO VII

### CONSIDERAÇÕES FINAIS

O trabalho, a nosso ver, atingiu os objetivos propostos, quais sejam:

- 1 - Contribuir na otimização do projeto de MAROMBAS, através do fornecimento de uma técnica experimental e do procedimento analítico a ser adotado na análise destas máquinas.
- 2 - Fornecer aos engenheiros projetistas os elementos necessários para a otimização do projeto da MAROMBA MVB-14, em particular.

Tendo em vista a variação da carga durante o trabalho da máquina, pode-se, através de métodos experimentais, levantar o DIAGRAMA DE CARGA DO MOTOR (item 6.2) e também, com o auxílio da computação e de um procedimento estatístico, estabelecer as relações entre as cargas nos diversos componentes mecânicos e o momento torçor no eixo de acionamento. Estas relações estão expressas nos GRÁFICOS desenvolvidos no item 5.2.

A partir do DIAGRAMA DE CARGA DO MOTOR e dos referidos GRÁFICOS determina-se o DIAGRAMA DE DISTRIBUIÇÃO DE CARGA para cada componente mecânico. Desta forma, pode-se proceder a otimização da máquina, por meio do dimensionamento racional de seus elementos. Dimensionamento este, baseado não somente na resistência como também na vida do elemento.

Foram escolhidos, para exemplificar o critério a ser adotado no dimensionamento, alguns componentes representativos e de maior complexidade, tais sejam, o motor elétrico e os órgãos mecânicos referentes ao eixo intermediário: pares de rodas dentadas (nº 2, nº 3 e nº 4), os rolamentos e o eixo propriamente. No dimensionamento do motor (item 6.2), constatou-se que a potência nominal de 75 cv, ao invés da de 100 cv empregada pelo fabricante, seria suficiente para o acionamento da máquina em condições normais de trabalho. Verificou-se, também, (item 6.3) que as coroas dos pares de engrenagens nº 2, nº 3 e nº 4 estavam

vam subdimensionadas com relação a craterização, tendo-se sugerido a firma executante que as mesmas fossem tratadas termicamente, a fim de se aumentar a resistência ao desgaste. Na verificação dos rolamentos (item 6.4), notou-se que o rolamento do mancal A do eixo intermediário encontrava-se superdimensionado. Assim, ao invés de se empregar o rolamento Nº 23218 (de dimensões 90 x 180 x 52,4), pode-se utilizar o rolamento Nº 22218 (de dimensões 90 x 160 x 40). Foi constatado, também, que o eixo intermediário estava bem dimensionado (item 6.5).

Dos três dinamômetros executados, dois permaneceram na MAROMBA que serviu de teste para o estudo em questão. Uma vez que esta máquina se encontra trabalhando na *Cerâmica Santa Inês - Vinhedo - SP*, estes dinamômetros possibilitam, ainda, medidas suplementares caso houver necessidade. O dinamômetro do motor (DINAMÔMETRO I) foi retirado e acha-se em poder da *MECÂNICA BONFANTI S.A.*. Este dinamômetro permitirá o levantamento do *DIAGRAMA DE CARGA DO MOTOR* para outras marombas (semelhantes a estudada, porém, de capacidades diferentes) de sua linha de fabricação (MVB-12 e MVB-18). Assim, a partir deste *DIAGRAMA* e através dos *GRÁFICOS* desenvolvidos no item 5.2, podem-se determinar os *DIAGRAMAS DE DISTRIBUIÇÃO DE CARGA* nos diversos componentes mecânicos destas máquinas, podendo-se, então, proceder a otimização de seus projetos com base no critério de dimensionamento sugerido no CAPÍTULO VI.

O procedimento teórico e experimental apresentado neste trabalho pode ser estendido a outras máquinas onde se torna problemática a obtenção de dados de projeto como, por exemplo, máquinas agrícolas, máquinas ferramentas especiais, britadores, etc.

O dimensionamento a fadiga de eixos de aços-liga mostrou a falta de dados experimentais, dificultando a opção na escolha de diferentes materiais. Sugere-se, portanto, a realização de ensaios de fadiga (~~flexão~~ e torção) de aços-liga de fabricação nacional empregados na construção mecânica. Deveriam ser estudadas a influência dos efeitos de entalhe e montagem de elementos sob pressão na fadiga de eixos destes materiais (por exemplo: aços ABNT 4340 e 8640).

BIBLIOGRAFIA

- [1] TIMOSHENKO, S.P. - Resistência dos Materiais - Volume I - Livro Técnico S/A - 1969.
- [2] DALLY, J.W. & RILEY, W.F. - Experimental Stress Analysis - McGraw-Hill Book Company - 1965.
- [3] SHIGLEY, J.E. - Mechanical Engineering Design - McGraw-Hill Book Company - 1972.
- [4] COIMBRA, A.L. - Mecânica dos Meios Contínuos - Livro Técnico S/A - 1967
- [5] PRZEMIENIECKI, J.S. - Theory of Matrix Structural Analysis - McGraw-Hill Book Company - 1968
- [6] PHILIPS - Guide to Strain Gauges - The Nether Lands N.V. Philips Gloeilampenfabriken - 1960.
- [7] SARTORI, S. - Uma Contribuição ao Estudo das Medidas das Tensões em Estruturas e ao Ensaio de Motoniveladoras - Centro de Tecnologia da UNICAMP - 1970.
- [8] DOEBELIN, E.O. - Measurement Systems: Application and Design - McGraw-Hill Book Company - 1966.
- [9] LEME, R. A. S. - Curso de Estatística - Livro Técnico S/A - 1969.
- [10] ARAUJO, S. - Projeto de um Dinamômetro para a Determinação das Componentes da Força ~~de Usinagem~~, utilizando diferentes Geometrias das Ferramentas e Condições de Trabalho - Centro de Tecnologia da UNICAMP - 1974.
- [11] BONINI, E.E. & BONINI, S.E. - Estatística - 1972
- [12] SPIEGEL, M.R. - Estatística - Editora McGraw Hill do Brasil Ltda. - 1972

- [13] 1130 SCIENTIFIC SUBROUTINE PACKAGE - (1130 - CM - 02x) -  
Programmer's manual - H20 - 0252 - 3.
- [14] FERRARESI, D. - Equipamento Elétrico de Acionamento das Máquinas Operatrizes - Centro de Tecnologia da UNICAMP - 1976
- [15] SHOULTS, D.R. & RIFE, C.V. - Electric Motors in Industry - John Wiley & Sons Inc. - 1953.
- [16] LIPKIN, B.Y. - Electrical Equipment for Industry - Higher School - Publishing House - 1967.
- [17] LEONHARD, A. - Elektrische Antriebe - Ferdinand Enke Verlag - 1949.
- [18] CHARISOMENOV, I.W. - Elektrische Ausrüstung Spanabhebender Werkzeugmaschinen - VEB Verlag - Technik - 1953.
- [19] TCHILIKINE, M. - Cours de Commande Electrique - Editions Mir - 1972.
- [20] FITZGERALD ET ALLI - Máquinas Elétricas - McGraw-Hill do Brasil Ltda. - 1975.
- [21] DOBROVOLSKI, V. - Elementos de Máquinas - Editorial Mir - 1970.
- [22] NIEMANN, G. - Tratado Teórico Prático de Elementos de Máquinas - Editorial Labor S/A - 1967.
- [23] STRESS - Structural Engineering System Solver - (1130-EC-03x)  
- User's manual - H20-0340-2
- [24] FERRARESI, D. - Emprego de Rolamentos em Máquinas Ferramenta - Dimensionamento de Eixos-árvore - Centro de Tecnologia da UNICAMP - 1976.
- [25] ESCHMANN ET ALLI - Die Wälzlagerpraxis - Verlag von R. Oldenbourg - 1953

- [26] SKF - Kugellagerfabriken GmbH - Wälzlagern in Werkzeugmaschinen-Schweinfurt - 1967.
- [27] PALMGREN, A. - Técnica de los Rolamentos de Bolas y Rodillos-Editora SKF - 1947.
- [28] HÄNCHEN, R. - Neue Festigkeitsberechnung für den Maschinenbau - Carl Hanser Verlag - 1960.
- [29] KINASOSHVILI, R. - Strength of Materials - Mir Publishers - 1972.
- [30] SHANLEY, F. R. - Mechanics of Materials - McGraw-Hill Book Company - 1967.
- [31] TIMOSHENKO, S.P. & GOODIER, J.N. - Theory of Elasticity - McGraw-Hill Book Company - 1973.
- [32] PERRY, C.C. & LISSNER, H.R. - The Strain Gage Primer - McGraw-Hill Book Company - 1960
- [33] AÇOS VILLARES S/A - Catálogo sobre Aços Villares para Construção Mecânica - 1958
- [34] KIMMELMANN, D.N. - Berechnung von Maschinenteilen auf Dauer- und Zeitschwingfestigkeit - VEB Verlag Technik - 1953.